

3-เฟสเอช-เอชเมทริกซ์คอนเวอร์เตอร์สำหรับงานปรับความเร็วรอบมอเตอร์  
ด้วยการปรับค่าความถี่

3-PHASE AC-AC MATRIX CONVERTER FOR VARIABLE-FREQUENCY  
MOTOR SPEED DRIVE

ตัน จำปาทอง

TON JAMPEETHONG

วิทยานิพนธ์เสนอเป็นส่วนหนึ่งของการศึกษาตามหลักสูตรปริญญาวิศวกรรมศาสตรมหาบัณฑิต

สาขาวิชาวิศวกรรมไฟฟ้า

บัณฑิตวิทยาลัย

สถาบันเทคโนโลยีพระจอมเกล้าเจ้าคุณทหารลาดกระบัง

พ.ศ. 2551

KMITL-2008-EN-M-020-061

**3-เฟสเอซี-เอซีเมทริกซ์คอนเวอร์เตอร์สำหรับงานปรับความเร็วรอบมอเตอร์  
ด้วยการปรับค่าความถี่**

**3-PHASE AC-AC MATRIX CONVERTER FOR VARIABLE-FREQUENCY  
MOTOR SPEED DRIVE**

ตัน จำปีทอง

TON JAMPEETHONG

เลขหมู่.....  
เลขทะเบียน..... **82661**  
วันเดือนปี..... **21 ก.ค. 2551**

วิทยานิพนธ์นี้เป็นส่วนหนึ่งของการศึกษาตามหลักสูตรปริญญาวิศวกรรมศาสตรมหาบัณฑิต

สาขาวิชาวิศวกรรมไฟฟ้า

บัณฑิตวิทยาลัย

สถาบันเทคโนโลยีพระจอมเกล้าเจ้าคุณทหารลาดกระบัง

พ.ศ.2551

KMITL-2008-EN-M-020-061

**3-PHASE AC-AC MATRIX CONVERTER FOR VARIABLE-FREQUENCY  
MOTOR SPEED DRIVE**

**TON JAMPEETHONG**

**A THESIS SUBMITTED IN PARTIAL FULFILLMENT  
OF THE REQUIREMENT FOR THE DEGREE OF  
MASTER OF ENGINEERING IN ELECTRICAL ENGINEERING  
SCHOOL OF GRADUATE STUDIES  
KING MONGKUT'S INSTITUTE OF TECHNOLOGY LADKRABANG**

**2008**

**KMITL-2008-EN-M-020-061**

**COPYRIGHT 2008**

**SCHOOL OF GRADUATE STUDIES**

**KING MONGKUT'S INSTITUTE OF TECHNOLOGY LADKRANG**

หัวข้อวิทยานิพนธ์	3-เฟสเอช-เอชเมตริกซ์คอนเวอร์เตอร์สำหรับงานปรับความเร็ว รบบมอเตอร์ด้วยการปรับค่าความถี่
ชื่อนักศึกษา	ดั้น จำปีทอง
รหัสนักศึกษา	46060311
ปริญญา	วิศวกรรมศาสตรมหาบัณฑิต
สาขาวิชา	วิศวกรรมไฟฟ้า
พ.ศ.	2551
อาจารย์ที่ปรึกษาวิทยานิพนธ์	รศ.ดร.วิริยะ พิเชษฐจำริณู

### บทคัดย่อ

ในวิทยานิพนธ์นี้ได้นำเสนอพัฒนาการของ เอช-เอช เมตริกซ์คอนเวอร์เตอร์สามเฟสเพื่อใช้ขับเคลื่อนมอเตอร์เหนี่ยวนำสามเฟสตั้งแต่แบบง่ายขนาดพัลส์เท่ากัน (EPWM) ไปจนถึงขนาดพัลส์ไม่เท่า (SPWM) เพื่อใช้ในการปรับรอบด้วยความถี่ในย่าน 0 - 50 Hz ภายใต้เงื่อนไขอัตราส่วนแรงดันไลน์ fundamental ด้านเอาต์พุต  $V_1$  ต่อ ความถี่ fundamental  $f_1$  ที่มีค่าคงที่ ในส่วนแรกจะกล่าวถึงรายละเอียดการออกแบบสัญญาณควบคุมสวิทซ์ทั้ง 9 ของวงจรทั้งกรณี EPWM และ SPWM ซึ่งมีความสัมพันธ์กับแรงดันไลน์อินพุต  $V_L$  และรูปแบบของแรงดัน PWM 3 เฟส ที่ได้กำหนดขึ้นด้วยจำนวน Pulse และ Duty Ratio รวมทั้งความถี่ จากนั้นจะเป็นการคำนวณแรงดัน  $V_1$  ที่สัมพันธ์กับ  $f_1$  ในลักษณะเชิงเส้นโดยอาศัยการแตกอนุกรมฟูเรียร์ของคลื่น PWM เพื่อคำนวณหาองค์ประกอบ  $V_1$  ที่มีความสัมพันธ์กับค่า Duty Ratio และแรงดันไลน์  $V_L$  หลักการของเมตริกซ์คอนเวอร์เตอร์ 3-เฟสที่ได้นำเสนอนี้สามารถนำไปสร้างเป็นเครื่องทดสอบต้นแบบเพื่อใช้ในการขับเคลื่อนมอเตอร์ 3-เฟส ด้วยรูปแบบพัลส์ EPWM และ SPWM โดยได้มีการเพิ่มจำนวนพัลส์ไปอีก 8 เท่าตัวจากจำนวน 9 พัลส์ที่นำเสนอเพื่อให้ได้จำนวนพัลส์สูงขึ้นเป็น 72 พัลส์ซึ่งปรากฏว่ารูปแบบพัลส์ SPWM จะได้กระแสมอเตอร์ที่มีลักษณะใกล้เคียงคลื่นไซน์มากกว่าแบบ EPWM

<b>Thesis Title</b>	3-Phase AC-AC Matrix Converter for Variable-Frequency Motor Speed Drive
<b>Student</b>	Mr. Ton Jampeethong
<b>Student ID.</b>	46060311
<b>Degree</b>	Master of Engineering
<b>Program</b>	Electrical Engineering
<b>Year</b>	2008
<b>Thesis Advisor</b>	Assoc. Prof. Dr. Viriya Pichetjamroen

### ABSTRACT

This thesis presents the development of a 3-phase matrix converter, starting from a simple equal PWM pulse (EPWM) to a more complicated unequal sinusoidal PWM pulse (SPWM) for the application of variable speed drive under a constant voltage-to-frequency ratio  $v_1/f_1$  with variable frequency control range from 0 – 50 Hz. The design of control signal for the IGBT switching devices will be first described in details both for the case of EPWM and SPWM. These signals are variable in shape depending on ac line input voltage  $v_L$  and the desired 3-phase PWM pattern which is variable by changing the parameter of duty ratio and frequency. Then, the calculation of voltage  $v_1$  to obtain a constant ratio of  $v_1/f_1$  will be proposed, using the principle of Fourier analysis to calculate the fundamental component  $v_1$  of the PWM pattern which is also variable depending on duty ratio and the line voltage  $v_L$ . The principle of the proposed 3-phase matrix converter has been implemented in a prototype test-set and is used to drive the 3-phase motor with two proposed EPWM and SPWM pulse-patterns. The number of PWM-pulse is also increased from 9-pulse by eight times to a higher pulse density of 72 pulse per half-cycle. Under this condition, the result shows that the SPWM pattern can contribute a better sinusoidal motor current than that of the EPWM pattern.

## กิตติกรรมประกาศ

วิทยานิพนธ์เล่มนี้สามารถสำเร็จลุล่วงไปได้ด้วยดี ด้วยคำแนะนำทั้งด้านทฤษฎีและปฏิบัติ ตลอดจนคำปรึกษาในด้านต่างๆเกี่ยวกับการดำเนินงาน จากท่านอาจารย์ รศ.ดร.วิริยะ พิเชษฐจำเริญ ซึ่งท่านได้ให้ความรู้และประสบการณ์ที่ดีแก่ข้าพเจ้า ข้าพเจ้ารู้สึกซาบซึ้งในความอนุเคราะห์จากท่านและขอกราบขอบพระคุณเป็นอย่างสูง

ขอขอบพระคุณ อาจารย์ยงยุทธ นารายณ์ อาจารย์ประจำภาควิชาวิศวกรรมไฟฟ้า มหาวิทยาลัยสยาม ที่ให้ความช่วยเหลือและแนะนำในการจัดทำวิทยานิพนธ์ และเพื่อนๆที่ๆน้องๆทุกคนที่ไม่ได้กล่าวนามในที่นี้ที่ได้ช่วยเหลือทั้งร่างกายแรงใจจนงานวิจัยนี้สำเร็จไปด้วยดี

คุณค่าประโยชน์อันพึงมีจากวิทยานิพนธ์เล่มนี้ ข้าพเจ้าขอบขอบคุณค่าต่างๆเหล่านี้แต่ผู้มีพระคุณทุกท่าน ข้าพเจ้าหวังเป็นอย่างยิ่งว่าวิทยานิพนธ์เล่มนี้จะเป็นประโยชน์แก่ผู้ที่ได้ทำการศึกษาเพื่อที่จะนำไปประยุกต์ใช้ในงานวิจัยในด้านต่างๆ และสามารถพัฒนาประเทศชาติได้ต่อไป

คัน จำปีทอง

# สารบัญ

	หน้า
บทคัดย่อภาษาไทย .....	I
บทคัดย่อภาษาอังกฤษ .....	II
กิตติกรรมประกาศ .....	III
สารบัญ .....	IV
สารบัญตาราง .....	VIII
สารบัญรูป .....	IX
บทที่ 1 บทนำ .....	1
1.1 ความเป็นมาและความสำคัญของปัญหา.....	1
1.2 ความมุ่งหมายและวัตถุประสงค์ของการศึกษา.....	2
1.3 สมมุติฐานของการศึกษา.....	3
1.4 ทฤษฎีหรือแนวความคิดที่ใช้ในงานวิจัย.....	4
1.5 ขอบเขตการวิจัย.....	7
1.6 ขั้นตอนของการศึกษา.....	8
บทที่ 2 หลักการออกแบบคลื่นพัลส์แรงดันเอาต์พุต 3-เฟส แบบพัลส์เท่า (EPWM) และแบบพัลส์ไม่เท่า (SPWM) ที่ความถี่แรงดันเอาต์พุตเท่ากับ 50 Hz.....	10
2.1 บทนำ.....	10
2.2 แนวคิดในการออกแบบคลื่นแรงดันพัลส์เอาต์พุตแบบพัลส์เท่า (EPWM).....	11
2.3 แนวคิดในการออกแบบคลื่นแรงดันพัลส์เอาต์พุต แบบพัลส์ไม่เท่า (SPWM) .....	14
2.4 ทฤษฎีที่ใช้ในการออกหาค่าแรงดันอาร์เอ็มเอส (root mean square) ของคลื่นพัลส์.....	18
2.5 ทฤษฎีการควบคุมความเร็วรอบมอเตอร์ด้วยอัตราส่วนแรงดันต่อความถี่ที่.....	23
2.5.1 อัตราส่วนแรงดันต่อความถี่ที่มีค่าคงที่.....	25
2.5.2 อัตราส่วนแรงดันต่อความถี่ที่มีค่าคงที่และมีการบดแบบเชิงเส้น.....	26
2.5.3 อัตราส่วนแรงดันต่อความถี่ที่มีค่าคงที่และมีการบด แบบไม่เชิงเส้น.....	27

# สารบัญ(ต่อ)

หน้า

2.6	หลักการควบคุมแรงดันพีคดับลิวิตีเอ็มเอท์พุทโดยการปรับค่าดิวิเดอร์โ	28
2.6.1	การคำนวณหาค่าเฉลี่ย $V_{DC}$ ของแรงดัน 6ระลอกคลื่นไลน์ทูไลน์	29
2.6.2	การคำนวณหาค่าดิวิเดอร์โในแต่ละค่าความถี่เอท์พุท	30
2.7	ปัญหาในการควบคุมด้วย $v_i/f_i$ คงที่โดยไม่มีกรบรูส	31
2.8	หลักการบรูสแรงดันในย่านความถี่ต่ำ	32
2.9	สรุป	34
บทที่ 3 การทำงานของสวิทซ์และการออกแบบสัญญาณควบคุมสวิทซ์ทั้ง 9 ชุด		
	ในวงจร Matrix Converter	35
3.1	บทนำ	35
3.2	ความสัมพันธ์ระหว่างแรงดันอินพุทกับสวิทซ์ควบคุม	36
3.3	หลักการออกแบบคลื่นแรงดันพีคดับลิวิตีเอ็มเอท์พุท	
	แบบพัลส์ไม่เท่า (SPWM)	44
3.4	การทำงานของสวิทซ์ทั้ง 6ชุดแบบพัลส์ไม่เท่า(SPWM)	45
3.4.1	การทำงานในช่วงระลอกคลื่นแรงดันไลน์ $V_{ab}$ ที่มีค่าสูงสุด	44
3.5	สรุป	48
บทที่ 4 การคำนวณทางคณิตศาสตร์ของวงจรเมตริกซ์คอนเวอร์เตอร์แบบพัลส์เท่า (EPWM) และแบบพัลส์ไม่เท่า (SPWM)		
4.1	บทนำ	49
4.2	หลักการนำสมการอนุกรมฟูเรียร์มาใช้หาค่าแรงดันพีคดับลิวิตีเอ็มเอท์พุท	49
4.3	หลักการคำนวณและวิธีการหาสมการแรงดันพีคดับลิวิตีเอ็มเอท์พุท	54
4.3.1	การอินทิเกรตแรงดันพีคดับลิวิตีเอ็มเอท์พุททั้งคาบเวลา	54
4.3.2	การหาค่าประกอบสมการฟูเรียร์ของแบบพัลส์เท่า (EPWM) ที่มีจำนวน 18 พัลส์	55
4.3.3	สมการฟูเรียร์โดยทั่วไปของแบบพัลส์เท่า (EPWM)	60
4.3.4	การออกแบบความกว้างของแรงดันพีคดับลิวิตีเอ็มเอท์พุทแบบพัลส์ไม่เท่า (SPWM)	61

## สารบัญ(ต่อ)

	หน้า
4.1.1 สมการอนุกรมฟูรีเยร์ของแรงดันพีดับบลิวเอ็มแบบพัลส์ไม่เท่า (SPWM).....	63
4.3.6 สมการอนุกรมฟูรีเยร์โดยทั่วไปของแบบพัลส์ไม่เท่า (SPWM) .....	65
4.4 การคำนวณหาองค์ประกอบฮาร์มอนิกต่างๆของคลื่นพีดับบลิวเอ็ม.....	66
4.4.1 กรณีคลื่นพีดับบลิวเอ็มแบบพัลส์เท่า (EPWM) ที่มีค่าดีวีเรโซเท่ากับ 0.5.....	67
4.4.2 กรณีคลื่นพีดับบลิวเอ็มแบบพัลส์เท่า (EPWM) ที่มีค่าดีวีเรโซเท่ากับ 0.9.....	67
4.4.3 กรณีคลื่นพีดับบลิวเอ็มแบบพัลส์ไม่เท่า (SPWM) ที่มีค่าดีวีเรโซเท่ากับ 0.5.....	68
4.4.4 กรณีคลื่นพีดับบลิวเอ็มแบบพัลส์ไม่เท่า (SPWM) ที่มีค่าดีวีเรโซเท่ากับ 0.9.....	68
4.5 สรุป.....	69
บทที่ 5 ผลการทดลองและผลการขีมนูเลท	
5.1 บทนำ.....	70
5.2 วงจรเมตริกซ์คอนเวอร์เตอร์และวงจรควบคุมการทำงานของสวิตช์.....	70
5.2.1 ส่วนประกอบของเมตริกซ์คอนเวอร์เตอร์.....	71
5.2.2 รูปแบบของสวิตช์สองทางที่นำมาใช้.....	72
5.2.3 วงจรลดทอนแรงดันไลน์เพื่อใช้ในการตรวจจับแรงดันศูนย์.....	75
5.2.4 วงจรควบคุมการทำงานและปรับค่าความถี่.....	76
5.2.5 ชุดสร้างสัญญาณ 9 สัญญาณ.....	77
5.3 หลักการในการทำความถี่สวิตซ์ซึ่งให้สูงขึ้น.....	78
5.3.1 การแบ่งเป็นอัตราส่วนของแต่ละพัลส์ตามจำนวนเท่าที่ต้องการ.....	79
5.3.2 การเพิ่มพัลส์เข้าไปเพื่อให้มีความถี่สูงขึ้น.....	79
5.4 การควบคุมมอเตอร์ด้วยอัตราส่วนแรงดันต่อความถี่ที่มีค่าคงที่และมีการบูสท์แบบเชิงเส้น.....	82

# สารบัญ(ต่อ)

หน้า

5.5 การเปรียบเทียบผลจากการจำลองทางทฤษฎีและผลจากการทดลอง	
5.5.1 ผลที่ได้จากการทดลองที่ความถี่ 12.5 Hz, 25 Hz และ 50 Hz.....	83
5.5.2 เปรียบเทียบค่าที่ได้จากคำนวณกับผลการทดลองในกรณีพัลส์เท่า (SPWM) 18พัลส์ .....	84
5.5.3 เปรียบเทียบค่าที่ได้จากคำนวณกับผลการทดลองในกรณีพัลส์ไม่เท่า (EPWM) 18 พัลส์ .....	86
5.5.4 เปรียบเทียบค่าที่ได้จากการคำนวณแบบพัลส์เท่า (EPWM) เทียบกับแบบพัลส์ไม่เท่า (SPWM) กรณี 18พัลส์.....	87
5.5.5 การเปรียบเทียบผลการทดลองค่าแรงดันและกระแสของพัลส์เท่า (EPWM) กับพัลส์ไม่เท่า (SPWM) เมื่อนำไปใช้ .....	90
5.6 ผลการทดสอบค่าแรงบิดที่ได้จากการขับมอเตอร์เหนี่ยวนำ3-เฟส.....	91
5.6.1 กำลังไฟฟ้าและพิกัดของมอเตอร์ที่ใช้ในการทดสอบ.....	91
5.7 สรุป .....	93
บทที่ 6 สรุปผลการวิจัยและข้อเสนอแนะ.....	94
6.1 บทนำ.....	94
6.2 ความสัมพันธ์ระหว่างแรงดันอินพุตกับสวิทช์ควบคุม.....	94
6.3 การวิเคราะห์สมการแรงดันด้านออก ( $V_{O,1}$ ).....	94
6.4 นำหลักการที่ได้ออกแบบไว้มาปฏิบัติแล้วเก็บค่าผล.....	95
6.5 สรุป.....	98
เอกสารอ้างอิง .....	99
ภาคผนวก .....	100
ภาคผนวก ก .....	101
ประวัติผู้เขียน .....	107

## สารบัญตาราง

ตารางที่	หน้า
2.1 ตารางการตั้งค่าแรงดันที่ความถี่ต่างๆ.....	27
2.2 ตารางค่าแรงดันที่ความถี่ต่างๆที่ค่า $v/f$ คงที่.....	30
4.1 ตารางค่าเฉลี่ยของDuty Cycle ที่ช่วงเวลาต่างๆ.....	63

# สารบัญรูป

รูปที่	หน้า
1.1	วงจรถูกอินเวอร์เตอร์ทั่วไป.....1
1.2	วงจรถูกกำลังของ Matrix Converter.....3
1.3	บล็อกไดอะแกรมของวงจรถูกคิฟายและวงจรถูกอินเวอร์เตอร์.....4
1.4	รูปซ่ายเป็นสัญญาณไฟ AC ในรูปกลางเป็นสัญญาณไฟ DC และรูปขวาเป็นสัญญาณไฟ AC.....4
1.5	รูปซ่ายเป็นไฟ AC จะมีการแปลงเป็นไฟ AC โดยตรง.....5
1.6	รูปซ่ายเป็นสัญญาณไฟ AC ด้านขวาเป็นสัญญาณไฟ AC ที่ได้จากการแปลงโดยตรง.....5
1.7	ด้านบนเป็นสัญญาณควบคุมสวิทซ์ 9 สัญญาณ ด้านล่างเป็นแรงดันเอาท์พุท ความถี่ 50 Hz .....6
1.8	เป็นการนำสัญญาณควบคุมสวิทซ์ทั้ง 9 ที่ได้จากการออกแบบนำมาขยายใน 1 ไซเคิล.....7
2.1	ลักษณะคลื่นแรงดันเอซีไลน์ทูไลน์ 3เฟส.....10
2.2	คลื่นแรงดันพีคดับลิวเอ็มเอาท์พุทแบบพัลส์เท่า (EPWM) 12 พัลส์.....11
2.3	คลื่นแรงดันพีคดับลิวเอ็มเอาท์พุทแบบพัลส์เท่า (EPWM) 18 พัลส์.....12
2.4	คลื่นแรงดันเอาท์พุทไลน์ทูไลน์ $V_{AB}$ พีคดับลิวเอ็มแบบพัลส์เท่า (EPWM) 18 พัลส์.....12
2.5	คลื่นแรงดันเอาท์พุทไลน์ทูไลน์ $V_{BC}$ พีคดับลิวเอ็มแบบพัลส์เท่า (EPWM) 18 พัลส์.....12
2.6	คลื่นแรงดันเอาท์พุทไลน์ทูไลน์ $V_{CA}$ พีคดับลิวเอ็มแบบพัลส์เท่า (EPWM) 18 พัลส์.....13
2.7	คลื่นแรงดันเอาท์พุทไลน์ทูไลน์ $V_{AB}$ พีคดับลิวเอ็มแบบพัลส์เท่า (EPWM) 12 พัลส์.....13
2.8	คลื่นแรงดันเอาท์พุทไลน์ทูไลน์ $V_{AB}$ พีคดับลิวเอ็มแบบพัลส์เท่า (EPWM) 18 พัลส์.....14
2.9	แรงดันพีคดับลิวเอ็มแบบพัลส์ไม่เท่า (SPWM) 12 พัลส์ในหนึ่ง ไซเคิลแบบพัลส์ไม่เท่า.....15
2.10	แรงดันพีคดับลิวเอ็มเอาท์พุทแบบพัลส์ไม่เท่า (SPWM) 18 พัลส์ในหนึ่ง ไซเคิล.....15
2.11	คลื่นแรงดันเอาท์พุทไลน์ทูไลน์ $V_{AB}$ พีคดับลิวเอ็มแบบพัลส์ไม่เท่า(SPWM) 18 พัลส์ในหนึ่ง ไซเคิล.....16
2.12	แรงดันเอาท์พุทไลน์ทูไลน์ $V_{BC}$ พีคดับลิวเอ็มแบบพัลส์ไม่เท่า (SPWM) 18 พัลส์ในหนึ่ง ไซเคิล .....16
2.13	แรงดันพีคดับลิวเอ็มเอาท์พุทแบบพัลส์ไม่เท่า (SPWM) 18 พัลส์ ในหนึ่ง ไซเคิลไลน์ทูไลน์ $V_{CA}$ .....17
2.14	แรงดันเอาท์พุทไลน์ทูไลน์พีคดับลิวเอ็มแบบพัลส์ไม่เท่า (SPWM) 12 พัลส์ ในหนึ่ง ไซเคิล.....17

## สารบัญรูป(ต่อ)

รูปที่	หน้า
2.15 แรงดันเอาต์พุตไลน์ทูไลน์ที่ดับบลิวเอ็มแบบพัลส์ไม่เท่า (SPWM) 18 พัลส์ ในหนึ่งไซเคิล.....	18
2.16 ตัวอย่างของสัญญาณ กระแส หรือ แรงดัน ที่มีองค์ประกอบเป็นสัญญาณพื้นฐานไซน์.....	18
2.17 รูปแบบคลื่นแรงดันที่ดับบลิวเอ็มเอาต์พุต 18 พัลส์ ในหนึ่งไซเคิลที่ ค่าดีวีดีเรโซเท่ากับ 0.2.....	20
2.18 รูปแบบคลื่นแรงดันที่ดับบลิวเอ็มเอาต์พุต 18 พัลส์ ในหนึ่งไซเคิลที่ ค่าดีวีดีเรโซเท่ากับ 0.4.....	20
2.19 รูปแบบคลื่นแรงดันที่ดับบลิวเอ็มเอาต์พุต 18 พัลส์ ในหนึ่งไซเคิลที่ ค่าดีวีดีเรโซเท่ากับ 0.6.....	21
2.20 รูปแบบคลื่นแรงดันที่ดับบลิวเอ็มเอาต์พุต 18 พัลส์ ในหนึ่งไซเคิลที่ ค่าดีวีดีเรโซเท่ากับ 0.8.....	21
2.21 รูปแบบคลื่นแรงดันที่ดับบลิวเอ็มเอาต์พุต 18 พัลส์ ในหนึ่งไซเคิลที่ ค่าดีวีดีเรโซเท่ากับ 0.9.....	22
2.22 รูปแบบคลื่นแรงดันที่ดับบลิวเอ็มเอาต์พุต 18 พัลส์ ในหนึ่งไซเคิลที่ ค่าดีวีดีเรโซเท่ากับ 1.0.....	22
2.23 วงจรสมมูลของมอเตอร์อินดักชัน.....	23
2.24 เฟสเซอร์ไดอะแกรมของอินดักชันมอเตอร์.....	24
2.25 แสดงกราฟที่ได้จากการพล็อตค่าแรงดันมอเตอร์ 220 v ความถี่ 50 Hz (ที่มีขนาด $V_1/f_1$ คงที่).....	26
2.26 แสดงกราฟที่ได้จากการพล็อตค่าแรงดันมอเตอร์ 220 v ความถี่ 50 Hz (ที่มีการบูสแรงดัน) .....	26
2.27 แสดงกราฟที่ได้จากการพล็อตค่าแรงดันและความถี่โดยมีการบูสที่แรงดันในย่าน ความถี่ต่ำให้สูงกว่าการบูสที่แบบทั่วไป.....	27
2.28 รูปด้านซ้ายแสดงค่า $T_{ON}=50\%$ .....	28
2.29 แรงดันเฉลี่ยของเมตริกซ์คอนเวอร์เตอร์ในช่วงเวลา 1 Cycle .....	29
2.30 แสดงการหาค่าดีวีดีเรโซที่แรงดันเอาต์พุตต่างๆ.....	31
2.31 กราฟแสดงความสัมพันธ์ระหว่างTorque ที่ ค่า Slip .....	32
2.32 แสดงผลของความต้านทานในสเตเตอร์ที่ความถี่ต่ำ.....	32

## สารบัญรูป(ต่อ)

รูปที่	หน้า
2.33 กราฟแสดงการคำนวณที่สมที่อยู่ที่เส้น $V_s$ at rated torque .....	33
3.1 การต่อสวิทช์ 9 ตัวเชื่อมระหว่างแหล่งจ่ายไฟ 3 เฟสกับมอเตอร์ 3 เฟสโดยตรง .....	35
3.2 วงจรสวิทช์เมตริกซ์คอนเวอร์เตอร์ .....	36
3.3 แรงดันเฉลี่ย $V_{av}$ ในช่วงเวลา 1 ไซเคิล .....	36
3.4 แสดงช่วงที่แรงดัน $V_{ab}$ มีค่าสูงสุด .....	37
3.5 แสดงกลุ่มสวิทช์ที่ถูกเลือกเพื่อทำงานในระลอกคลื่น $V_{ab}$ สูงสุด .....	37
3.6 แสดงช่วงที่แรงดัน $V_{ac}$ มีค่าสูงสุด .....	38
3.7 แสดงกลุ่มสวิทช์ที่ถูกเลือกเพื่อทำงานในระลอกคลื่น $V_{ac}$ สูงสุด .....	38
3.8 แสดงช่วงที่แรงดัน $V_{bc}$ มีค่าสูงสุด .....	39
3.9 แสดงกลุ่มสวิทช์ที่ถูกเลือกเพื่อทำงานในระลอกคลื่น $V_{bc}$ สูงสุด .....	39
3.10 แสดงช่วงที่แรงดัน $V_{ba}$ มีค่าสูงสุด .....	40
3.11 แสดงกลุ่มสวิทช์ที่ถูกเลือกเพื่อทำงานในระลอกคลื่น $V_{ba}$ สูงสุด .....	40
3.12 แสดงช่วงที่แรงดัน $V_{ca}$ มีค่าสูงสุด .....	41
3.13 แสดงกลุ่มสวิทช์ที่ถูกเลือกเพื่อทำงานในระลอกคลื่น $V_{ca}$ สูงสุด .....	41
3.14 แสดงช่วงที่แรงดัน $V_{cb}$ มีค่าสูงสุด .....	42
3.15 แสดงสวิทช์ที่เกี่ยวข้องกับแรงดันเฟส $V_c$ และ $V_b$ .....	42
3.16 หลักการพิจารณาเลือก 6 สวิทช์ออกจากจำนวน 9 สวิทช์ของ Matrix Converter ในช่วงแต่ละระลอกคลื่นแรงดันไลน์ที่มีค่าสูงสุด .....	43
3.17 พีคดับลิแวมแบบพัลส์ไม่เท่า (SPWM) 18 pulse ซีกบวกลด .....	44
3.18 สัญญาณควบคุมสวิทช์ 9 สวิทช์ในช่วง 1 ไซเคิลของแรงดันเอาต์พุต 50 Hz .....	46
3.19 สัญญาณควบคุมสวิทช์ 6 สวิทช์ในระลอกคลื่นแรงดันไลน์ $V_{ab}$ .....	46
3.20 การทำงานของสวิทช์ 6 สวิทช์ในช่วงที่ 1-9 ของระลอกคลื่นแรงดันไลน์ $V_{ab}$ .....	47
4.1 ลำดับฮาโมนิกต่างๆ ของคลื่นแรงดันเอาต์พุต .....	50
4.2 คลื่นที่เกิดจากฟังก์ชันรวมกัน 13 องค์ประกอบ .....	50
4.3 สัญญาณพีคดับลิแวมพัลส์ .....	51
4.4 ค่าเฉลี่ยของแรงดันไลน์อินพุตในช่วงเวลา 1 ไซเคิลของ 50 Hz .....	54
4.5 แบบพัลส์ไม่เท่า (EPWM) 18 พัลส์ดิวิเดอร์ โขเท่ากับ 0.5 .....	56

## สารบัญรูป(ต่อ)

รูปที่	หน้า
4.6 แบบพัลส์ทำ (EPWM) 18 พัลส์ควิตีเร โซเท่ากับ 0.9 .....	59
4.7 การออกแบบจำนวนระดับของควิตีเร โซของแรงดันเอาท์พุท แบบพัลส์ไม่เท่า (SPWM) 18 พัลส์ที่ควิตีเร โซ 0.9 .....	62
4.8 แบบพัลส์ไม่เท่า (SPWM) 18 พัลส์มีค่าควิตีเร โซเท่ากับ 0.9 .....	64
4.9 แสดงลำดับฮาโมนิกส์ของแรงดันที่ดับบลิวเอ็มเอาท์พุท แบบพัลส์เท่า (EPWM) ที่ค่าควิตีเร โซ 0.5 .....	67
4.10 แสดงลำดับฮาโมนิกส์ของแรงดันที่ดับบลิวเอ็มเอาท์พุท แบบพัลส์เท่า (EPWM) ที่ค่าควิตีเร โซ 0.9 .....	67
4.11 แสดงลำดับฮาโมนิกส์ของแรงดันที่ดับบลิวเอ็มเอาท์พุท แบบพัลส์ไม่เท่า (SPWM) ที่ค่าควิตีเร โซ 0.5 .....	68
4.12 แสดงลำดับฮาโมนิกส์ของแรงดันที่ดับบลิวเอ็มเอาท์พุท แบบพัลส์ไม่เท่า (SPWM) ที่ค่าควิตีเร โซ 0.9 .....	68
5.1 วงจรเมตริกซ์คอนเวอร์เตอร์ .....	71
5.2 แสดงไคอะแกรมและ Matrix Converter Power Module .....	72
5.3 การต่อสวิตช์สองทางแบบ Diode Bridge .....	72
5.4 การต่อสวิตช์สองทางแบบ Back to Switch C .....	73
5.5 การต่อสวิตช์สองทางแบบ Back to Switch E .....	73
5.6 การต่อสวิตช์สองทางแบบ RB-IGBT. ....	74
5.7 สัญลักษณ์และรูปของ IGBT .....	74
5.8 วงจรลดทอนแรงดันไลน์ $V_a, V_b, V_c$ .....	75
5.9 วงจร zero crossing .....	76
5.10 วงจรควบคุมการปรับค่าความถี่และเปิดปิดการทำงาน .....	76
5.11 อุปกรณ์ DSP .....	77
5.12 ไคอะแกรมการสร้างสัญญาณ 6 ระลอกคลื่น .....	78
5.13 วงจรสร้างสัญญาณควบคุมสวิตช์ 9 ชุด .....	78
5.14 ด้านล่างเป็นสัญญาณพัลส์ที่สร้างจาก DSP ส่วนด้านบนเป็นสัญญาณควบคุมสวิตช์ .....	79
5.15 รูปพัลส์ที่ดับบลิวเอ็มก่อนที่จะเพิ่มจำนวน .....	79
5.16 รูปพัลส์ที่ดับบลิวเอ็มที่ได้มีการแบ่งพัลส์ .....	80

## สารบัญรูป(ต่อ)

รูปที่	หน้า
5.17 รูปพัลส์พีคดับลิวิตีที่มีการเพิ่มความถี่สูงขึ้นโดยที่ค่าดีวีเรโซเท่าเดิม .....	81
5.18 กราฟความสัมพันธ์ระหว่างความถี่เอาท์พุทกับความถี่สวิทซ์ซิ่ง .....	81
5.19 กราฟความสัมพันธ์ระหว่างความถี่เอาท์พุทกับแรงดันเอาท์พุท .....	82
5.20 แสดงกราฟค่าแรงดันมอเตอร์ 220 v ความถี่ 50 Hz .....	83
5.21 แสดงผลการทดลองที่ความถี่ 12.5 Hz ด้านซ้ายเป็นแรงดันและด้านขวาเป็นกระแส .....	83
5.22 แสดงผลการทดลองที่ความถี่ 25 Hz ด้านซ้ายเป็นแรงดันและด้านขวาเป็นกระแส .....	84
5.23 แสดงผลการทดลองที่ความถี่ 50 Hz ด้านซ้ายเป็นแรงดันและด้านขวาเป็นกระแส .....	84
5.24 เปรียบเทียบรูปคลื่นแรงดันการคำนวณกับผลการทดลอง แบบพัลส์ไม่เท่า (SPWM) Duty 0.5.....	85
5.25 เปรียบเทียบฮาโมนิกส์ต่างๆการคำนวณกับผลการทดลอง แบบพัลส์ไม่เท่า (SPWM) Duty 0.5 .....	85
5.26 เปรียบเทียบรูปคลื่นแรงดันการคำนวณกับผลการทดลอง แบบพัลส์ไม่เท่า (SPWM) Duty 0.9.....	86
5.27 เปรียบเทียบฮาโมนิกส์ต่างๆการคำนวณกับผลการทดลอง แบบพัลส์ไม่เท่า (SPWM) Duty 0.9 .....	86
5.28 แรงดันและฮาโมนิกส์ต่างๆแบบพัลส์เท่า (EPWM) Duty 0.5.....	87
5.29 เปรียบเทียบแรงดันและฮาโมนิกส์ต่างๆแบบพัลส์เท่า (EPWM) Duty 0.9.....	87
5.30 การเปรียบเทียบแรงดันระหว่างแรงดันพีคดับลิวิตีแบบพัลส์เท่า (EPWM) และพีคดับลิวิตีแบบพัลส์เท่า (EPWM) ที่ค่าดีวีเรโซเท่ากับ 0.1 .....	88
5.31 การเปรียบเทียบระหว่างค่าฮาโมนิกส์ของแรงดันพีคดับลิวิตีแบบพัลส์เท่า (EPWM) และพีคดับลิวิตีแบบพัลส์เท่า (EPWM) ที่ค่าดีวีเรโซเท่ากับ 0.1 .....	88
5.32 การเปรียบเทียบแรงดันระหว่างแรงดันพีคดับลิวิตีแบบพัลส์เท่า (EPWM) และพีคดับลิวิตีแบบพัลส์เท่า (EPWM) ที่ค่าดีวีเรโซเท่ากับ 0.5 .....	88
5.33 การเปรียบเทียบระหว่างค่าฮาโมนิกส์ของแรงดันพีคดับลิวิตีแบบพัลส์เท่า (EPWM) และพีคดับลิวิตีแบบพัลส์เท่า (EPWM) ที่ค่าดีวีเรโซเท่ากับ 0.5 .....	89
5.34 การเปรียบเทียบแรงดันระหว่างแรงดันพีคดับลิวิตีแบบพัลส์เท่า (EPWM) และพีคดับลิวิตีแบบพัลส์เท่า (EPWM) ที่ค่าดีวีเรโซเท่ากับ 0.9 .....	89

## สารบัญญรูป(ต่อ)

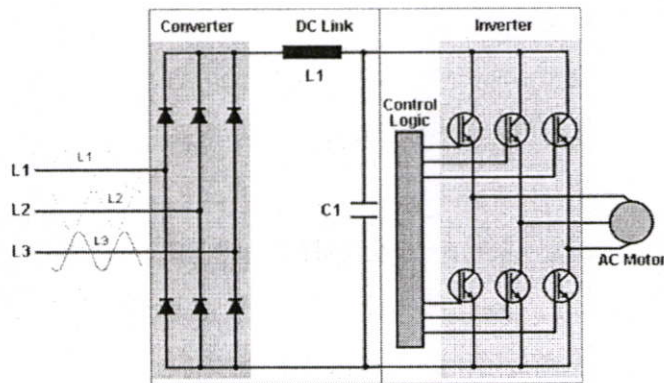
รูปที่	หน้า
5.35 การเปรียบเทียบระหว่างค่าฮาร์มอนิกของแรงดันพีดับลิวเอ็มแบบพัลส์เท่า (EPWM) และพีดับลิวเอ็มแบบพัลส์เท่า (EPWM) ที่ค่าดีวีเรโซเท่ากับ 0.9 .....	90
5.36 เปรียบเทียบค่า THDV ของแรงดันแบบพัลส์เท่า (EPWM) กับแบบพัลส์ไม่เท่า (SPWM).....	91
5.37 กราฟความสัมพันธ์ระหว่างความเร็วรอบกับแรงบิดของมอเตอร์ (ที่ไม่มีการบูสท์แรงดัน) .....	91
5.38 กราฟความสัมพันธ์ระหว่างแรงดันต่อความถี่ที่มีค่าคงที่ (มีการบูสท์) .....	92
5.39 กราฟความสัมพันธ์ระหว่างความเร็วรอบกับแรงบิดของมอเตอร์ (ที่มีการบูสท์แรงดัน) .....	92
5.40 กราฟความสัมพันธ์ระหว่างความเร็วรอบกับแรงบิดของมอเตอร์ (ที่มีการบูสท์แรงดัน).....	93
6.1 คลื่นแรงดันเอาต์พุทไลน์ทูไลน์ $V_{AB}, V_{BC}, V_{CA}$ .....	95
6.2 แบบพัลส์เท่า (EPWM) Duty cycle $D = 0.5$ กรณี 18 พัลส์ .....	95
6.3 แบบพัลส์เท่า (EPWM) Duty cycle $D = 0.9$ กรณี 18 พัลส์.....	96
6.4 พัลส์ไม่เท่า (SPWM) Duty cycle $D = 0.5$ กรณี 18 พัลส์ .....	96
6.5 พัลส์ไม่เท่า (SPWM) Duty cycle $D = 0.9$ กรณี 18 พัลส์ .....	96
6.6 รูปแมตริกคอนเวอร์เตอร์ที่ใช้ในการทดลอง.....	97
6.7 รูปมอเตอร์ที่ใช้ในการทดลอง.....	97

# บทที่ 1

## บทนำ

### 1.1 ความเป็นมาและความสำคัญของปัญหา

ปัจจุบันการประหยัดพลังงานและการเพิ่มประสิทธิภาพของระบบเป็นประเด็นปัญหาที่มีผู้ให้ความสนใจเป็นอย่างมาก ในด้านอุตสาหกรรมก็เช่นกันได้ให้ความสำคัญในส่วนนี้และอุปกรณ์ที่ใช้ในการควบคุมมอเตอร์ก็เป็นจุดหนึ่งที่น่าจะนำมาเป็นแนวทางในการเพิ่มประสิทธิภาพ และรูปแบบของการเพิ่มประสิทธิภาพมีอยู่หลากหลายรูปแบบด้วยกัน เช่น การลดขั้นตอนการแปลงกำลังไฟฟ้าให้น้อยลง ดังเช่น AC-AC Matrix Converter 3- Phase ซึ่งเป็นวงจรคอนเวอร์เตอร์ที่มีการลดอุปกรณ์และขั้นตอนการแปลงจาก 2 ขั้นตอน คือ AC-DC และ DC-AC รวม 2 ขั้นตอนดังรูปที่ 1.1 ให้เหลือเพียงขั้นตอนเดียวคือ AC - AC และแรงดัน AC ที่ได้นี้จะนำไปใช้ในการปรับแรงดันและความถี่ (VVVF) เพื่อป้อนให้กับ Induction Motor ในลักษณะรูปแบบที่กำหนด ดังหัวข้อที่ได้นำเสนอในวิทยานิพนธ์ฉบับนี้ซึ่งได้ทำการออกแบบ AC-AC Matrix Converter 3- Phase เพื่อแปลงแรงดัน AC จากแหล่งจ่ายไฟสลับ 3-Phase เป็นแรงดัน ไฟสลับ 3 Phase ที่สามารถปรับเปลี่ยนแรงดันและความถี่ที่สามารถกำหนดอัตราส่วนได้



รูปที่ 1.1 วงจรคอนเวอร์เตอร์ทั่วไป

ด้วยเหตุนี้จึงเกิดแนวความคิดที่จะกำจัดข้อเสียเหล่านี้โดยการแปลงไฟจากการไฟฟ้า 3-เฟสให้เป็นไฟเอซี 3-เฟส ที่สามารถปรับได้ ทั้งแรงดันและความถี่เพื่อจ่ายให้กับโหลดโดยตรงโดยอาศัยอุปกรณ์สวิตซ์ที่ทำ

การ ON-OFF ตามสัญญาณที่ป้อนเข้าที่ขาเกต เพื่อตัดต่อให้ได้แรงดันเอซี 3-เฟสที่มีคลื่นเอาต์พุตในลักษณะตามความต้องการได้ โดยจะเรียกว่า Matrix Converter สวิตช์ที่นำมาใช้ในวงจรนี้จะมีคุณสมบัติให้กระแสไหลได้ทั้งสองทิศทาง และมาต่อเชื่อมต่อกันในลักษณะของเมตริกซ์โดยวงจรเมตริกซ์คอนเวอร์เตอร์เดิมยังคงมีคุณสมบัติต่างๆเหมือนกับวงจรคอนเวอร์เตอร์ที่ประกอบด้วยวงจรเรกติฟาย-วงจรอินเวอร์เตอร์ แต่จะมีข้อได้เปรียบที่ไม่มีส่วนวงจร DC-Link [1, 2] ในกรณีนี้ทำให้การไหลของพลังงานระหว่างแหล่งจ่ายกับโหลดเป็นไปอย่างสะดวก และไม่เกิดการสูญเสียพลังงานขึ้น ซึ่งเป็นการใช้พลังงานเพื่อให้เกิดประโยชน์ได้สูงสุด

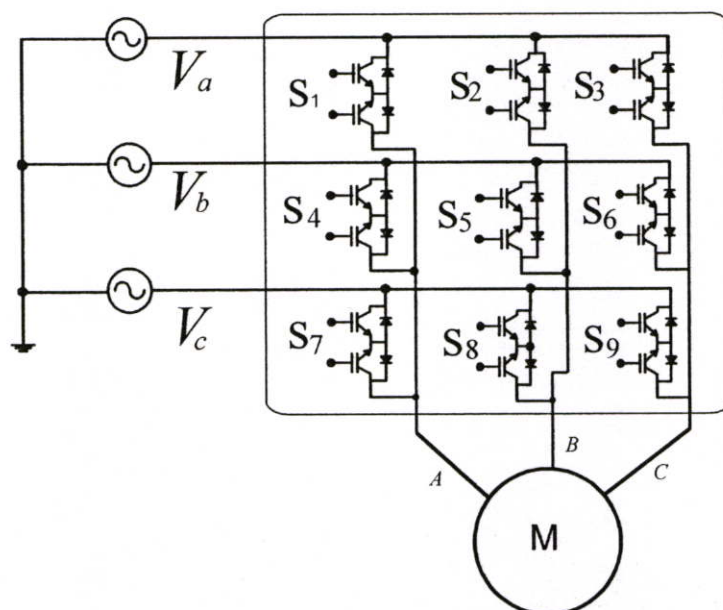
## 1.2 ความมุ่งหมายและวัตถุประสงค์ของการศึกษา

1. เพื่อศึกษาวิธีการการแก้อัปเดตของวงจรคอนเวอร์เตอร์ที่ประกอบด้วยวงจรเรกติฟาย-วงจรอินเวอร์เตอร์ และมีคาปาซิเตอร์ขนาดใหญ่ โดยการแทนด้วยวงจร Matrix Converter โดยตรง
2. เพื่อศึกษาการออกแบบสัญญาณ PWM ที่มีลักษณะของความกว้างของพัลส์ในแต่ละดิวิตรีโซเท่ากันและแบบในแต่ละดิวิตรีโซมีความกว้างแบ่งเป็นระดับ จนถึงการนำเอาสัญญาณ PWM ที่ได้ออกแบบไว้ทั้งสองรูปแบบนำมาสร้างเป็นคลื่นแรงดัน 3 เฟส แล้วทำการวิเคราะห์คุณภาพของคลื่นแรงดัน 3 เฟสที่ได้มาเปรียบเทียบกับเพื่อหาแนวทางที่จะปรับปรุงให้แรงดันที่ได้มีคุณภาพดีขึ้น
3. เพื่อศึกษาการทำงานของวงจร Matrix Converter ในรูปแบบการทำงานที่ประกอบด้วยสวิตช์สองทาง 9 ชุด โดยใช้อุปกรณ์ DSP และ FPGA เข้ามาควบคุมการทำงานของสวิตช์
4. เพื่อศึกษาความสัมพันธ์ระหว่างคลื่นแรงดันไลน์ 3 เฟสด้านอินพุตกับสวิตช์สองทาง 9 ชุดในวงจรวงจร Matrix Converter ซึ่งความสัมพันธ์นี้ทำให้เกิดการแบ่งกลุ่มของสวิตช์ 9 ชุด ออกเป็น 6 รูปแบบตามการเปลี่ยนแปลงของคลื่นแรงดันไลน์ 3 เฟสด้านอินพุต
5. เพื่อศึกษาการออกแบบแรงดันพีคบิดเบิ้ลเอมเอาต์พุตที่มีอัตราส่วนความถี่ต่อแรงดันเอาต์พุตที่มีค่าคงที่โดยที่สามารถปรับขนาดของแรงดันเอาต์พุตได้จากค่าของดิวิตรีโซในรูปแบบของวงจร Matrix Converter ที่มีการทำงานของสวิตช์ 9 ชุด
6. เพื่อศึกษาผลกระทบที่มาจากการขับ Induction Motor 3 เฟสในย่านความถี่ต่ำของ โดยวิธีการจ่ายให้อัตราส่วนแรงดันต่อความถี่เอาต์พุตที่มีค่าคง และเสนอแนวทางที่จะแก้ไขให้ดีขึ้น
7. เพื่อศึกษาการออกแบบความถี่สวิตช์ซึ่งให้มีค่าสูงขึ้นเพื่อลดฮาร์โมนิกส์ความถี่ต่ำที่ใกล้กับความถี่พินคาเมลทอล

## 8. เพื่อศึกษาการวิเคราะห์ข้อมูลที่ได้โดยใช้ทฤษฎีการวิเคราะห์สัญญาณ และ โปรแกรม MATLAB

### 1.3 สมมุติฐานของการศึกษา

วงจรเมตริกซ์คอนเวอร์เตอร์ที่ได้ทำการออกแบบและสร้างขึ้นนี้สวิทช์แต่ละชุดจะประกอบด้วย ไดโอดและ IGBT อย่างละ 2 ตัว ต่อในลักษณะขนานและรีเวอร์ไบอัสกันทำหน้าที่เป็นสวิทช์สองทิศทางเพื่อให้พลังงานสามารถไหลไปยังโหลดและไหลกลับคืนสู่แหล่งจ่ายได้โดยตรง สวิทช์สองทิศทางทั้ง 9 ชุดนั้นจะต่อโดยตรงเข้ากับแหล่งจ่ายการไฟฟ้า 3-เฟส โดยสวิทช์สองทิศทาง 3 ชุดบนคือสวิทช์  $S_1, S_2, S_3$  จะต่อกับแหล่งจ่ายการไฟฟ้าเฟส  $V_a$  สวิทช์สองทิศทางใน 3 ชุดกลางคือ  $S_4, S_5, S_6$  จะต่อเข้ากับแหล่งจ่ายการไฟฟ้าเฟส  $V_b$  และสวิทช์สองทิศทางใน 3 ชุดล่างคือ  $S_7, S_8, S_9$  จะต่อเข้ากับเฟส  $V_c$  ซึ่งมีลักษณะการต่อดังวงจรในรูปที่ 1.2



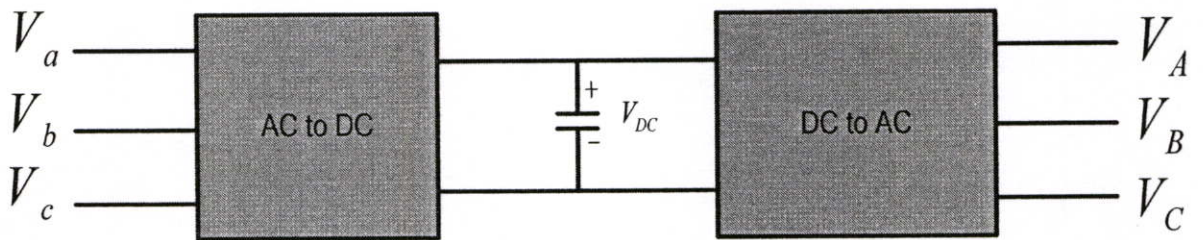
รูปที่ 1.2 วงจรชุดกำลังของ Matrix Converter

ลักษณะทั่วไปวงจรเมตริกซ์คอนเวอร์เตอร์ที่สร้างขึ้นด้วยสวิทช์สองทาง 9 ชุดนี้ คือสวิทช์  $S_1 - S_9$  จะเหมือนกับสัญญาณพีดับบลิวเอ็มที่ใช้ในวงจรอินเวอร์เตอร์ 3-เฟส ทั่วไป เพียงแต่จะมีการเปลี่ยนกลุ่ม

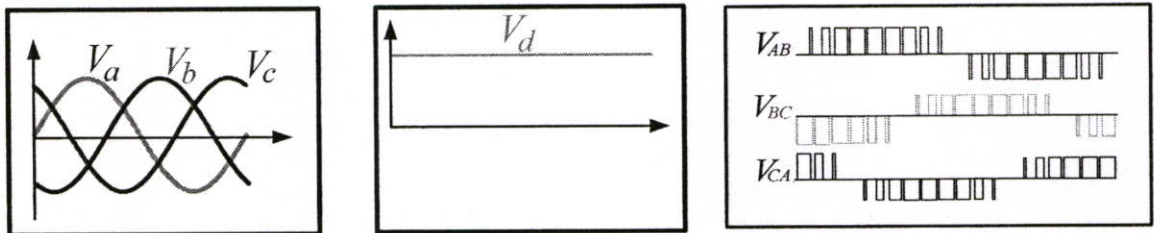
การทำงานไปตามแต่ละระลอกคลื่นที่มีการเปลี่ยนแปลงและจะมีการทำงานเพียงแค่ครึ่งละ 6 สวิตช์เท่านั้น

#### 1.4 ทฤษฎีหรือแนวความคิดที่ใช้ในการวิจัย

ในงานวิจัยนี้มีวัตถุประสงค์แรกจะเป็นการแก้ไขข้อเสียของวงจรคอนเวอร์เตอร์แบบเก่า คือส่วนของวงจรรีคิฟายของคอนเวอร์เตอร์ที่ใช้กันอยู่ ดังแสดงบล็อกไดอะแกรมในรูปที่ 1.3 ซึ่งวงจรคอนเวอร์เตอร์แบบนี้ มีการแปลงพลังงาน 2 ขั้นตอน คือ แปลงจาก AC ไปเป็น DC ด้วยวงจรรีคิฟายและแปลงจาก DC ไปเป็น AC ด้วยวงจรอินเวอร์เตอร์ ซึ่งแสดงรูปคลื่นแรงดันในแต่ละส่วนได้ดังในรูปที่ 1.4 เป็นรูปคลื่นแรงดันไฟฟ้าในระหว่างขั้นตอนการแปลงต่างๆ

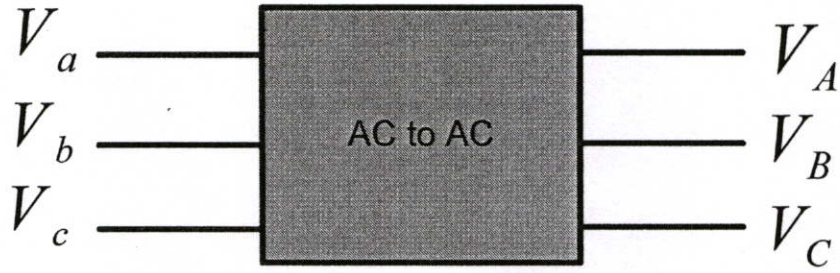


รูปที่ 1.3 บล็อกไดอะแกรมของวงจรรีคิฟายและวงจรอินเวอร์เตอร์

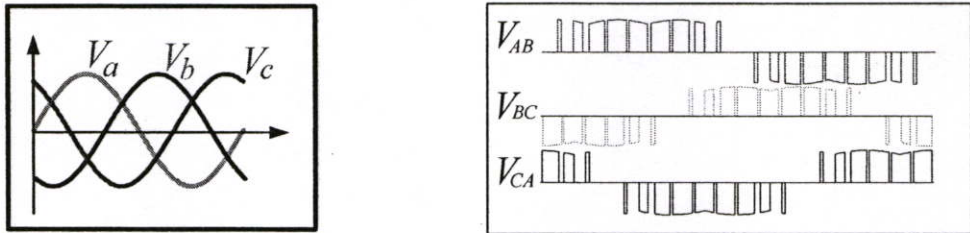


รูปที่ 1.4 รูปซายคลื่นแรงดันไฟ AC รูปกลางคลื่นแรงดันไฟ DC และรูปขวาคคลื่นแรงดันไฟ AC

ซึ่งจะทำให้เกิดการสูญเสียพลังงานขึ้นในแต่ละขั้นตอนของการแปลงพลังงาน รวมทั้งยังต้องใช้ส่วนวงจรดิซิงค์ที่ประกอบด้วย ตัวเหนี่ยวนำ และตัวเก็บประจุ ที่มีขนาดใหญ่ [2] เป็นตัวเชื่อมโยงในส่วนของ DC ซึ่งจะทำให้พลังงานคืนสู่แหล่งจ่ายไม่ได้โดยตรง



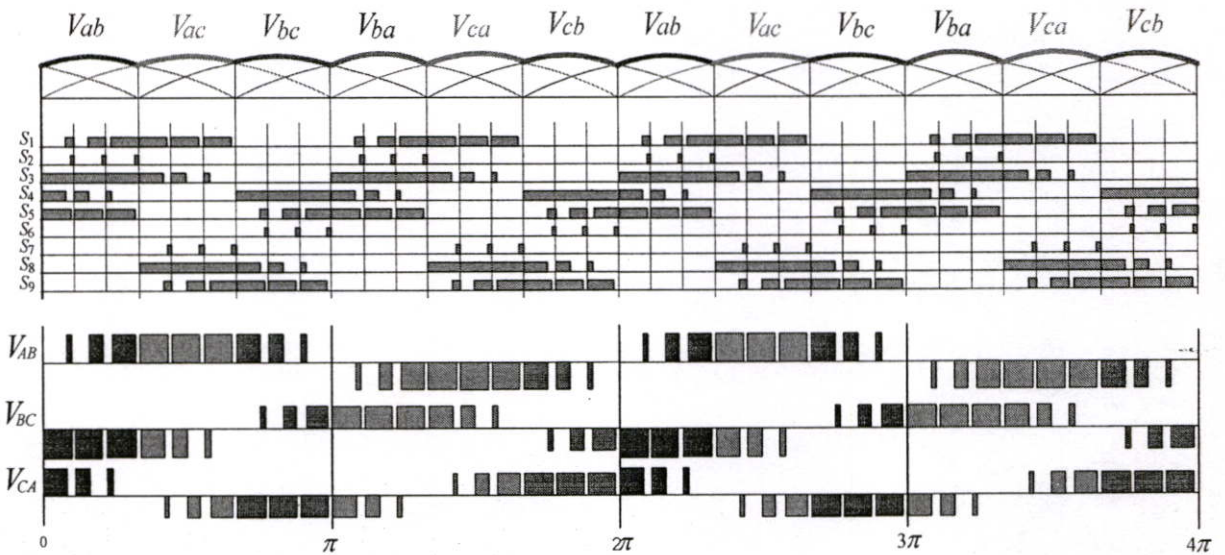
รูปที่ 1.5 บล็อกไดอะแกรมของวงจรเมตริกซ์คอนเวอร์เตอร์



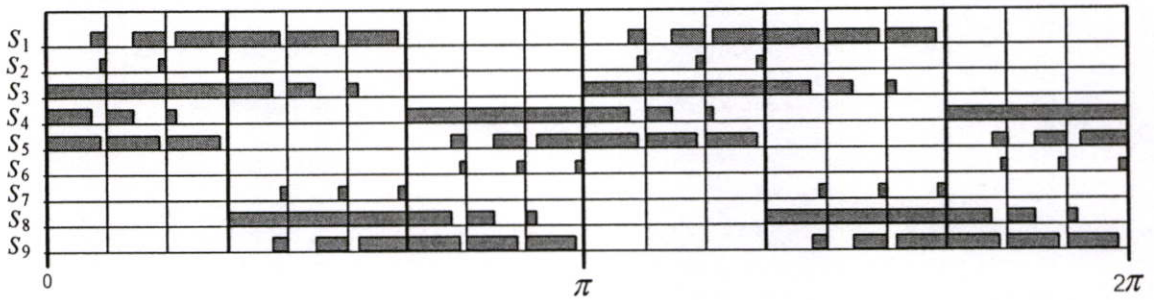
รูปที่ 1.6 รูปซายเป็นคลื่นแรงดันไฟ AC ด้านขวาเป็นคลื่นแรงดันไฟ AC ที่ได้จากการแปลงโดยตรง

ดังนั้นในงานวิจัยนี้ได้นำเสนอวงจรเมตริกซ์คอนเวอร์เตอร์โดยที่วงจรคอนเวอร์เตอร์จะประกอบด้วย สวิตช์ทั้งหมด 9 ชุด ทำหน้าที่ตัดต่อแรงดันจากแหล่งจ่ายไปยังโหลด โดยที่แต่ละสวิตช์แต่ละชุดเป็นสวิตช์สองทิศทาง ส่วนของสัญญาณที่ใช้ขับสวิตช์นั้นได้มาจากการออกแบบในหัวข้อของการสร้างสัญญาณ PWM หรือจะใช้สัญญาณควบคุมที่ใช้ในวงจรอินเวอร์เตอร์ 3-เฟส ทั่วไปก็ได้เพียงแต่ว่าไม่ได้นำไปขับสวิตช์โดยตรงเช่นเดียวกับอินเวอร์โดยทั่วไปเนื่องจากเมตริกซ์คอนเวอร์เตอร์จะสวิตช์มีอยู่ทั้งหมด 9 ชุดดังนั้นต้องไปพิจารณากับคลื่นแรงดัน โวลต์ 3 เฟสด้านอินพุตก่อนจึงจะนำไปใช้ควบคุมสวิตช์ได้ และผลที่ได้ของวงจรเมตริกซ์คอนเวอร์เตอร์นี้ยังคงทำงานได้เช่นเดียวกับวงจรคอนเวอร์เตอร์แบบเดิมแต่จะมีการแปลงพลังงานเพียงขั้นตอนเดียว คือมีการแปลงจาก AC ไปเป็น AC โดยตรง ดังรูปที่ 1.5 จึงทำให้การสูญเสียพลังงานจะเกิดขึ้นเพียงครั้งเดียวรวมทั้งยังไม่ต้องใช้ส่วนวงจรดีซีลิงค์จึงทำให้ไม่มีข้อจำกัดในการคืนพลังงานกลับสู่แหล่งจ่ายได้โดยตรงดังในรูปที่ 1.6 แสดงคลื่นแรงดันไฟฟ้าที่มีการแปลงเพียงขั้นตอนเดียวจากคลื่นแรงดันไฟฟ้า AC ด้านอินพุตไปเป็นคลื่นแรงดันไฟฟ้า AC ที่สามารถปรับแรงดันและความถี่ได้

วัตถุประสงค์อีกประการหนึ่งก็จะนำเสนอหลักการควบคุมเมตริกซ์คอนเวอร์เตอร์ 3 เฟสด้วยวิธีการปรับความกว้างพัลส์ที่ดับลิแอมเพื่อให้สามารถที่จะปรับความแรงดันเอาต์พุตให้ได้ตามต้องการและนำไปสู่การออกแบบคลื่นแรงดันไฟฟ้า 3 เฟสที่มีความสัมพันธ์กันด้วย แสดงดังในรูปที่ 1.7 และได้เสนอการออกแบบสร้างสัญญาณพัลส์ที่จะไปควบคุมสวิตช์โดยตรงดังในรูปที่ 1.8 เป็นการสร้างสัญญาณควบคุมที่ความถี่ 50 Hz คิวดีเรโซ เป็น 0.9 ด้านบนแสดงสัญญาณที่ได้มีการสร้างขึ้นที่ใช้ควบคุม  $S_1, S_2, S_3, S_4, S_5, S_6, S_7, S_8, S_9$  ทำให้ได้แรงดันที่ดับลิแอมเอาต์พุตรูปด้านล้างที่มีค่าแรงดัน 230V ที่ความถี่ 50 Hz (ตามขนาดพิกัดของมอเตอร์ที่ใช้) ซึ่งในคอนเวอร์เตอร์ที่ออกแบบในงานวิจัยนี้จะมีย่านการปรับความถี่ ตั้งแต่ 1 – 50 Hz และมีสปีดการปรับสปีดละ 1 Hz จากพัลส์ที่ได้ออกแบบไว้ขณะปรับความถี่ก็จะมีค่าคิวดีเรโซเกิดของพัลส์ที่ดับลิแอม โดยอัตโนมัติโดยที่ค่าคิวดีเรโซที่ปรับได้จะเป็นไปตามคุณสมบัติของเส้นกราฟ  $V_1/f_1$  ที่มีการบรูสค่าในย่านความถี่ต่ำในวิทยานิพนธ์ฉบับนี้ได้นำคอนเวอร์เตอร์ที่ได้ออกแบบไว้ไปขับมอเตอร์เหนี่ยวนำ 3 เฟสขนาดพิกัด 2 Hp เพื่อทดสอบหาเส้นกราฟคุณสมบัติของความเร็วยรอบและแรงบิดที่ความถี่ค่าต่างๆ



รูปที่ 1.7 ส่วนบนเป็นสัญญาณควบคุมสวิตช์ 9 สัญญาณ ส่วนล่างเป็นแรงดันเอาต์พุตความถี่ 50 Hz



รูปที่ 1.8 แสดงสัญญาณควบคุมสวิทซ์ทั้ง 9 ที่ได้จากการออกแบบนำมาขยายใน 1 ไซเคิล

### 1.5 ขอบเขตการวิจัย

รูปแบบของอัตราส่วนแรงดันต่อความถี่  $V_1/f_1$  ที่มีค่าคงที่พร้อมกับมีการ Boost แรงดันในย่านความถี่ต่ำเพื่อวัตถุประสงค์สำหรับใช้ในงานปรับความเร็วรอบมอเตอร์สามเฟสด้วยการปรับความถี่ในย่าน 0 - 50 Hz โดยจะใช้ Digital Signal Processor (DSP) เป็นตัวสร้างสัญญาณในส่วนแรก 3 สัญญาณ จากนั้นจะใช้ Field-Programmable Gate Array (FPGA) ในการแปลงสัญญาณทั้ง 3 นี้เป็น 9 สัญญาณ และส่งต่อไปยังวงจรขยายสัญญาณเพื่อนำไปใช้ในการควบคุมการทำงานของ Matrix Converter นี้ ซึ่งมีสวิทซ์ IGBT สองทิศทางจำนวน 9 ชุดต่อกันในลักษณะ Matrix ขนาด  $3 \times 3$  การสร้างแหล่งจ่ายไฟสลับซึ่งประกอบด้วยแรงดันทั้งซีกบวกและซีกลบนั้นวิธีที่สามารถสร้างขึ้นโดยง่ายจะเป็นลักษณะของคลื่นแรงดันพัลส์เต็ม แต่พัลส์ลักษณะนี้มีข้อเสียอยู่หลายประการจึงไม่เหมาะที่จะนำมาใช้ในการขับมอเตอร์สามเฟสดังนั้นจึงได้มีการแก้ไขคลื่นไปในลักษณะที่ในแต่ละพัลส์มีความกว้างไม่เท่ากัน โดยจะมีการสับแบ่งแรงดันออกเป็นหลายพัลส์ที่มีความกว้างพัลส์ของแต่ละพัลส์เท่าๆกัน Equal Pulse With Modulation (EPWM) ทั้งนี้เพื่อลดองค์ประกอบของฮาร์โมนิกส์ในลำดับต่างๆของคลื่นให้น้อยลง คลื่นไฟสลับในรูปแบบพัลส์เท่า Equal Pulse With Modulation (EPWM) ซึ่งเป็นลักษณะคลื่นที่สามารถสร้างขึ้นได้โดยง่าย โดยคลื่นดังกล่าวนี้จะนำมาใช้เป็นพื้นฐานในการสร้างคลื่นในลักษณะที่มีความกว้างพัลส์ไม่เท่า Sinusoidal Pulse With Modulation (SPWM) โดยจะแบ่งความกว้างพัลส์ออกเป็นหลายระดับ ซึ่งจะให้คุณภาพของคลื่นไฟสลับที่ดีกว่าและดียิ่งขึ้นสำหรับระดับที่มากขึ้น ความแตกต่างของคลื่นนี้จะเห็นได้ชัดเมื่อจำนวนพัลส์เพิ่มมากขึ้น

ในวิทยานิพนธ์นี้ได้แบ่งเนื้อหาออกเป็น 6 บท โดยในบทที่ 1 จะเป็นกล่าวถึงความเป็นมาและความสำคัญของปัญหา ความมุ่งหมายและวัตถุประสงค์ของการศึกษา สมมติฐานของการศึกษา ทฤษฎีหรือแนวความคิดที่ใช้ในการทำวิจัย ขั้นตอนของการศึกษา ขอบเขตของการทำวิจัยและประโยชน์ที่คาดว่าจะได้รับจากงานวิจัยในวิทยานิพนธ์ บทที่ 2 กล่าวถึงลักษณะการสร้างคลื่นแรงดันพี

ดับบลิวเอ็มเอชที่พุทของวงจรเมตริกซ์คอนเวอร์เตอร์ โดยอธิบายการออกแบบลักษณะคลื่นแรงดันพีดับบลิวเอ็มเอชที่พุทที่สามารถปรับจำนวนพัลส์ ความถี่ และค่าดิวตี้เรโซ พร้อมทั้งได้ทำการคำนวณหาค่าองค์ประกอบฮาร์โมนิกส์อันดับต่างๆ เพื่อนำไปเปรียบเทียบกับผลการทดลอง บทที่ 3 กล่าวถึงหลักการทํางานของสวิทช์เมื่อแรงดันไลน์ด้านเข้าเปลี่ยนเฟสทำให้การทํางานของสวิทช์ทั้ง 9 เปลี่ยนไปและยังได้กล่าวถึงการออกแบบสัญญาณพีดับบลิวเอ็มที่ใช้นําสวิทช์สองทิศทางทั้ง 9 ชุด โดยเริ่มจากอธิบายการทํางานของวงจรเมตริกซ์คอนเวอร์เตอร์ซึ่งแบ่งได้เป็น 6 โหมดตามการเปลี่ยนแปลงของระลอกคลื่นใน 1 ไซเคิลของแรงดันไลน์อินพุทเพื่อให้การทํางานของสวิทช์สองทิศทางทั้ง 9 ชุด ทํางานถูกต้องในแต่ละโหมดการทํางาน และหาความสัมพันธ์ของแรงดันไลน์การไฟฟ้ากับการทํางานของสวิทช์สองทิศทางแต่ละชุดเพื่อสร้างสัญญาณพีดับบลิวเอ็มที่นําสวิทช์สองทิศทางทั้ง 9 ชุด ต่อไป บทที่ 4 กล่าวถึงการสร้างสัญญาณเพื่อควบคุมการทํางานของสวิทช์สองทิศทางทั้ง 9 ชุด ด้วยหลักการทางคณิตศาสตร์ทั้งแบบพัลส์เท่า Equal Pulse With Modulation (EPWM) และ แบบพัลส์ไม่เท่า Sinusoidal Pulse With Modulation (SPWM) และการสร้างสมการที่ใช้ในการหาค่าแรงดันอาร์เอ็มเอส (Root Mean Square; RMS) ของพัลส์แรงดันพีดับบลิวเอ็ม การสร้างสัญญาณพัลส์พีดับบลิวเอ็มโดยจะใช้ Digital Signal Processor (DSP) และวงจรมัลติเพล็กซ์จะทําหน้าที่แปลงสัญญาณพีดับบลิวเอ็มที่สร้างได้จาก Digital Signal Processor (DSP) 3 สัญญาณไปเป็นสัญญาณพีดับบลิวเอ็มที่ใช้ในการนําสวิทช์ทั้ง 9 ชุดจะใช้ Field-Programmable Gate Array (FPGA) ให้ทํางานตามสัญญาณพีดับบลิวเอ็มที่ได้ออกแบบไว้ รวมถึงการใช้โปรแกรม MATLAB เขียนตามสมการที่ได้เพื่อพิสูจน์ผลลัพธ์ที่เพื่อยืนยันความถูกต้องของสมการ บทที่ 5 กล่าวถึงผลการทดลองและผลของการคำนวณในเชิงคณิตศาสตร์แล้วใช้โปรแกรม MATLAB ช่วยในการวิเคราะห์รูปคลื่นแรงดันที่ความถี่ต่างๆ รวมทั้งเปรียบเทียบคลื่นแรงดันพีดับบลิวเอ็มเอชที่พุทที่ได้จากวงจรเมตริกซ์คอนเวอร์เตอร์ของเครื่องต้นแบบไปทดสอบกับโหลด 3- เฟส ที่ความถี่ต่างๆ บทที่ 6 เป็นการสรุปผลการวิจัยและข้อเสนอแนะของวิทยานิพนธ์ทั้งหมดที่ได้นําสอนและสำหรับในส่วนของภาคผนวกนั้นจะเป็นผลงานวิจัยที่เกี่ยวข้องกับวิทยานิพนธ์นี้ที่ได้รับการตีพิมพ์เพื่อเผยแพร่ในบทความ EECN 30 พร้อมกับรายละเอียดอื่นๆที่น่าสนใจ ท้ายสุดของวิทยานิพนธ์นี้เป็นประวัติของผู้เขียน

## 1.6 ขั้นตอนของการศึกษา

การสร้างแหล่งจ่ายไฟสลับซึ่งประกอบด้วยแรงดันทั้งซีกบวกและซีกลบนั้นวิธีที่สามารถสร้างขึ้นโดยง่ายจะเป็นลักษณะของคลื่นแรงดันพัลส์เต็ม แต่ก็มีข้อเสียอยู่หลายประการดังที่ได้กล่าวมาแล้ว จึงไม่เหมาะที่จะนำมาใช้ในการขับมอเตอร์สามเฟส ดังนั้นจึงได้มีการแก้ไขคลื่นไปในลักษณะที่มีการ

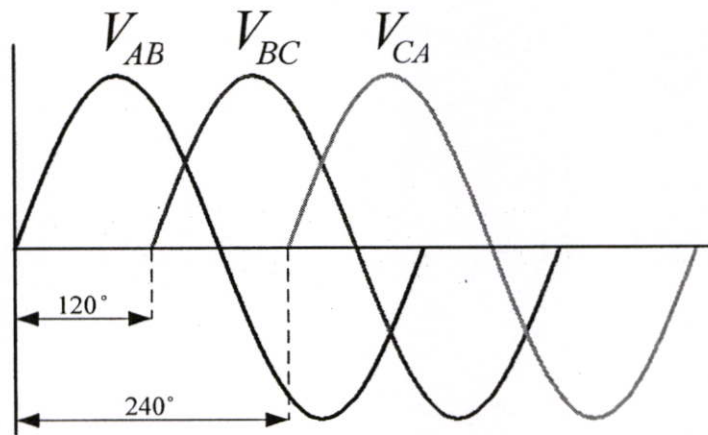
สับแบ่งแรงดันออกเป็นหลายๆ พัลส์ที่มีความกว้างพัลส์แต่ละพัลส์เท่าๆกันเรียกว่า “Equal Pulse With Modulation” (EPWM) ทั้งนี้เพื่อลดองค์ประกอบของฮาร์โมนิกส์ให้น้อยลง ซึ่งคลื่นพีคดับลิวเอ็มที่มีลักษณะพัลส์เท่ากันทุกพัลส์นั้นมีข้อดีที่ทำให้สามารถที่จะนำไปออกแบบสัญญาณและสามารถกำหนดหาขนาดของคลื่นได้ง่าย โดยคลื่นพีคดับลิวเอ็มแบบพัลส์เท่า (EPWM) นี้ใช้เป็นแนวทางการสร้างคลื่นในลักษณะที่มีความกว้างพัลส์ไม่เท่ากัน “Sinusoidal Pulse With Modulation” (SPWM) โดยจะออกแบบให้ความกว้างพัลส์แต่ละพัลส์ไม่เท่ากันแบ่งความกว้างพัลส์ออกเป็นระดับต่างๆ และยังสามารถปรับขนาดความกว้างของพัลส์ที่เรียกว่า “Duty ratio” เป็นอัตราส่วนการปรับขนาดความกว้างของพัลส์ที่ ON และ OFF จึงสามารถที่จะปรับค่าของแรงดันได้จากการปรับดิ้วเรโซ แล้วนำวิธีการปรับดังกล่าวมาใช้ให้สัมพันธ์กับค่าความถี่ได้เป็นรูปแบบที่เรียกว่าอัตราส่วนแรงดันต่อความถี่  $V_1/f_1$  ที่มีค่าคงเพื่อให้สามารถใช้ขับมอเตอร์ได้ พร้อมกับมีการ Boost แรงดันในย่านความถี่ต่ำเพื่อวัตถุประสงค์สำหรับใช้ในงานปรับความเร็วรอบมอเตอร์สามเฟสด้วยการปรับความถี่ในย่าน 0 - 50 Hz โดยจะใช้ Digital Signal Processor (DSP) เป็นตัวสร้างสัญญาณในส่วนแรก 3 สัญญาณ จากนั้นจะใช้ Field-Programmable Gate Array (FPGA) ในการแปลงสัญญาณทั้ง 3 นี้เป็น 9 สัญญาณพร้อมทั้งตั้งเวลาขับไม่ให้ขับสัญญาณซ้อนกันและสัญญาณจะขับต่อไปยังวงจรถายสัญญาณเพื่อนำไปใช้ในการควบคุมการทำงานของวงจรมอเตอร์คอนเวอร์เตอร์นี้ ซึ่งมีสวิทซ์ IGBT สองทิศทางจำนวน 9 ชุดต่อกันในลักษณะ Matrix ขนาด  $3 \times 3$  แบ่งเป็นหลายระดับ ซึ่งจะให้คุณภาพของคลื่นไฟสลบที่ดีกว่าการแบ่งความกว้างพัลส์น้อยและ ความแตกต่างของคลื่นทั้งสองประเภทนี้จะเห็นได้ชัดเมื่อจำนวนพัลส์เพิ่มมากขึ้น

## บทที่ 2

# หลักการออกแบบคลื่นพีคดับลิแวมแรงดันเอาต์พุต 3-เฟส แบบพัลส์ เท่า (EPWM) และแบบพัลส์ไม่เท่า (SPWM) ที่ความถี่แรงดัน เอาต์พุตเท่ากับ 50 Hz

### 2.1 บทนำ

ในบทนี้จะกล่าวถึงลักษณะคลื่นของแรงดันพีคดับลิแวมเอาต์พุต 3-เฟส ของวงจรเมตริกซ์คอนเวอร์เตอร์ซึ่งแรงดันที่ได้จากการออกแบบนั้นจะมีลักษณะของแรงดันพินดามทอลเป็นไซน์ 3เฟส และยังสามารถแสดงวิธีการออกแบบลักษณะคลื่นแรงดันพีคดับลิแวมเอาต์พุตที่มีจำนวนพัลส์ 12 พัลส์และ 18 พัลส์ในหนึ่งไซเคิลที่ค่าความถี่ต่างๆ เช่น 12.5 Hz, 25 Hz และ 50 Hz รวมทั้งลักษณะของคลื่นพีคดับลิแวมแบบพัลส์เท่า Equal Pulse With Modulation (EPWM) และแบบพัลส์ไม่เท่า Sinusoidal Pulse With Modulation (SPWM) ของแรงดันเอาต์พุต ที่จำนวนพัลส์และความถี่ต่างๆ โดยที่มีค่าอัตราส่วน  $v_1/f_1$  ที่มีค่าคงที่พร้อมกันนั้นได้ทำการคำนวณหาค่าองค์ประกอบฮาร์โมนิกอันดับต่างๆ ของคลื่นแรงดันพีคดับลิแวมเอาต์พุตที่จำนวนพัลส์ 12 และ 18 พัลส์ในหนึ่งไซเคิล ที่ความถี่ 12.5 Hz, 25 Hz และ 50 Hz

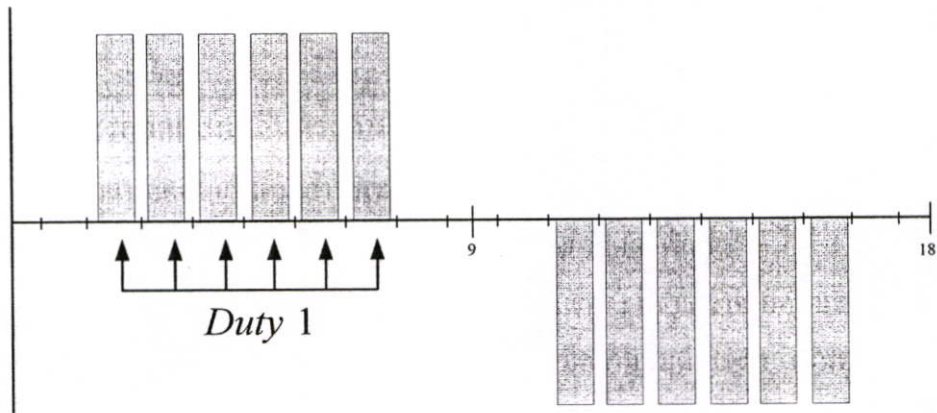


รูปที่ 2.1 ลักษณะคลื่นแรงดันเอซีไลน์ทูไลน์ 3เฟส

และในตอนท้ายยังได้ทำการคำนวณ หาค่าแรงดันอาร์เอ็มเอสของคลื่นพีดับบลิวเอ็มเอทพุท แล้วนำมาสร้างกราฟความสัมพันธ์ของแรงดันกับความถี่ที่มีค่าความถี่โรค่าต่างๆ

## 2.2 แนวคิดในการออกแบบคลื่นแรงดันพีดับบลิวเอ็มเอทพุทแบบพัลส์เท่า (EPWM)

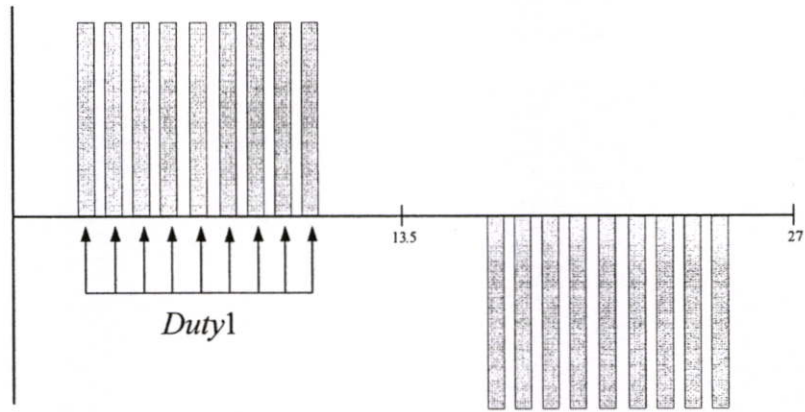
ในการออกแบบคลื่นแรงดันเอทพุท 3 เฟส แบบพัลส์เท่า(EPWM) ลักษณะคลื่นแรงดันเอทพุท ซึ่งประกอบด้วยพัลส์จำนวน 12 พัลส์สำหรับพีดับบลิวเอ็มแบบ 12 พัลส์ต่อหนึ่งไซเคิล และจำนวน 18 พัลส์สำหรับพีดับบลิวเอ็มแบบ 18 พัลส์ในหนึ่งไซเคิล ขั้นแรกจะพิจารณาจากลักษณะคลื่นแรงดันด้านเอทพุทเอชี่ไลน์ทุไลน์  $V_{AB}$ ,  $V_{BC}$ , และ  $V_{CA}$  ดังรูปที่ 2.1 ซึ่งมีความมุมต่างระหว่างเฟสไลน์สองไลน์เป็น 120 และมุม 240 ตามลำดับเริ่มต้นการออกแบบคลื่นแรงดันพีดับบลิวเอ็มเอทพุทแบบพัลส์เท่า (EPWM)



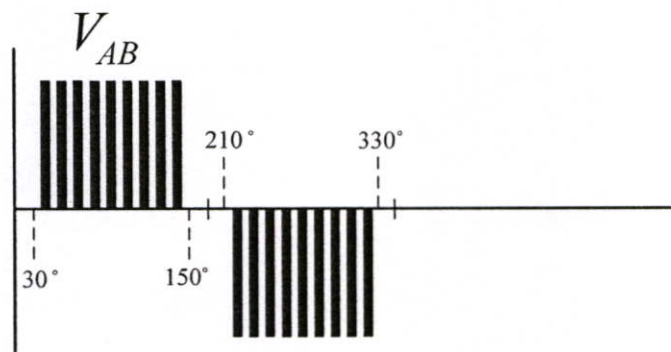
รูปที่ 2.2 คลื่นแรงดันพีดับบลิวเอ็มเอทพุทแบบพัลส์เท่า (EPWM) 12 พัลส์

กรณีคลื่นแรงดันพีดับบลิวเอ็มเอทพุท 12 พัลส์จะแบ่งทั้งไซเคิลแบ่งออกเป็น 18 ช่วงโดยจะมีช่วงละ 20 องศา ดังรูปที่ 2.2 จะมีจำนวนพัลส์ซิกบวก และซิกลบซิกละเท่าๆกันซิกละ 6 พัลส์ สำหรับกรณี 18 พัลส์ก็เช่นเดียวกันแต่จะแบ่งออกเป็น 27 ช่วงดังรูปที่ 2.3 จำนวนพัลส์ซิกบวก และซิกลบซิกละเท่าๆกันซิกละ 9 พัลส์ ต่อไปจะอธิบายถึงลักษณะคลื่นแรงดันพีดับบลิวเอ็มเอทพุทแบบพัลส์เท่า(EPWM) กรณี 18 พัลส์ในหนึ่งไซเคิลโดยที่แรงดันเอทพุทไลน์ทุไลน์  $V_{AB}$

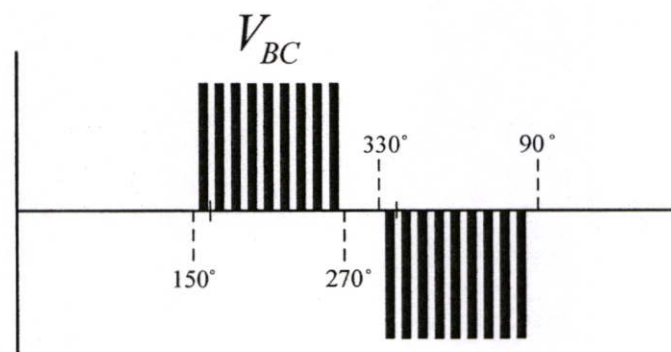
ในช่วงระหว่าง  $30^\circ$  ถึง  $150^\circ$  จะมีจำนวน 9 พัลส์ระดับแรงดันเป็นบวกและในช่วงระหว่าง  $210^\circ$  ถึง  $330^\circ$  มีจำนวนพัลส์ 9 พัลส์เช่นกันแต่จะมีระดับแรงดันเป็นลบ ดังแสดงในรูปที่ 2.4



รูปที่ 2.3 คลื่นแรงดันพีคดับลิวิตีเอ็มเอชท์พุทแบบพัลส์เท่า (EPWM) 18 พัลส์

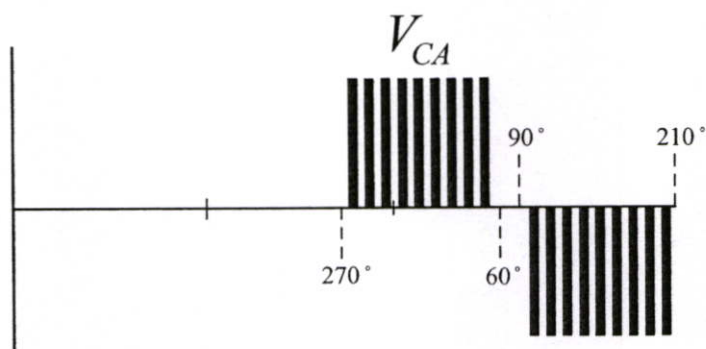


รูปที่ 2.4 คลื่นแรงดันพีคดับลิวิตีเอ็มเอชท์พุทไลน์ทูไลน์  $V_{AB}$  แบบพัลส์เท่า (EPWM) 18 พัลส์



รูปที่ 2.5 คลื่นแรงดันพีคดับลิวิตีเอ็มเอชท์พุทไลน์ทูไลน์  $V_{BC}$  แบบพัลส์เท่า (EPWM) 18 พัลส์

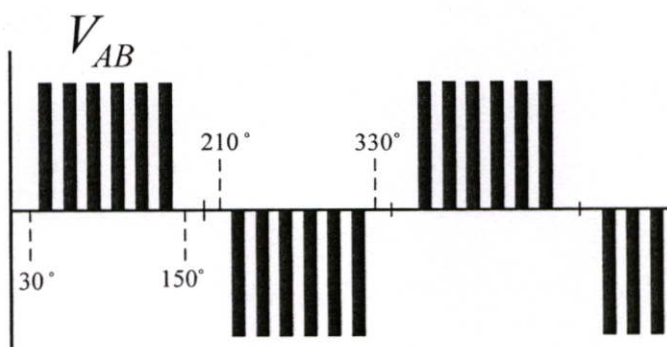
ในรูปที่ 2.5 แสดงแรงดันเอาต์พุตทุไลน์  $V_{BC}$  ในช่วงระหว่าง  $150^\circ$  ถึง  $270^\circ$  จะมีจำนวน 9 พัลส์ ระดับแรงดันเป็นบวกและในช่วงระหว่าง  $330^\circ$  ถึง  $90^\circ$  มีจำนวนพัลส์ 9 พัลส์เช่นกันแต่จะมีระดับแรงดันเป็นลบ



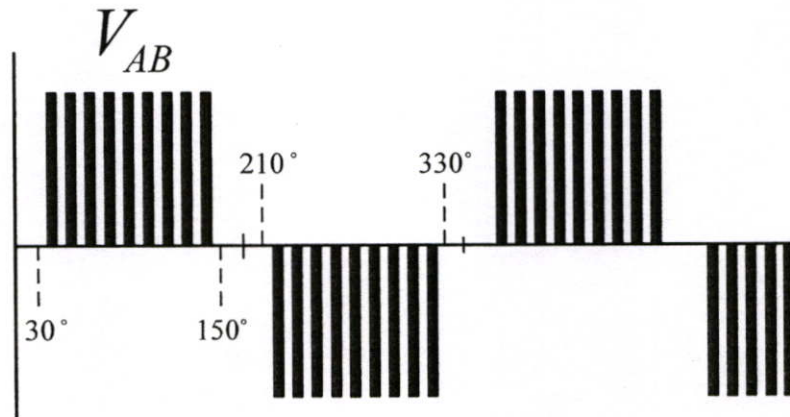
รูปที่ 2.6 คลื่นแรงดันพีคดับลิวิตีเอาต์พุตทุไลน์  $V_{CA}$  แบบพัลส์เท่า (EPWM) 18 พัลส์

ในรูปที่ 2.6 แสดงแรงดันพีคดับลิวิตีเอาต์พุตทุไลน์  $V_{CA}$  ในช่วงระหว่าง  $270^\circ$  ถึง  $60^\circ$  จะมีจำนวน 9 พัลส์ระดับแรงดันเป็นบวกและในช่วงระหว่าง  $90^\circ$  ถึง  $210^\circ$  มีจำนวนพัลส์ 9 พัลส์เช่นกันแต่จะมีระดับแรงดันเป็นลบ

ในช่วงระหว่าง  $120^\circ$  ของแรงดันเอาต์พุตทุไลน์ช่วงแรงดันเป็นบวกและลบก็จะมี การแบ่ง ออกเป็นพัลส์ โดยในแต่ละพัลส์จะมีค่าดิวิตีเรโซที่เท่ากันส่วนจำนวนพัลส์จะมีจำนวนเท่ากับจำนวนของ พัลส์พีคดับลิวิตี ในแต่ละแบบ เช่น 12 พัลส์, 18 พัลส์ เป็นต้น ซึ่งจะแสดงในรูปที่ 2.7 พีคดับลิวิตี แบบ 12 พัลส์ในหนึ่งไซเคิลและรูปที่ 2.8 พีคดับลิวิตีแบบ 18 พัลส์ในหนึ่งไซเคิล



รูปที่ 2.7 คลื่นแรงดันพีคดับลิวิตีเอาต์พุตทุไลน์  $V_{AB}$  แบบพัลส์เท่า (EPWM) 12 พัลส์



รูปที่ 2.8 คลื่นแรงดันพีดับบลิวเอ็มเอท์พุทไลน์ทูไลน์  $V_{AB}$  แบบพัลส์เท่า (EPWM) 18 พัลส์

### 2.3 แนวคิดในการออกแบบคลื่นแรงดันพีดับบลิวเอ็มเอท์พุทแบบพัลส์ไม่เท่า (SPWM)

ในการออกแบบลักษณะคลื่นพีดับบลิวเอ็มในคลื่นแรงดันเอท์พุท 3- เฟส แบบพัลส์ไม่เท่า (SPWM) ลักษณะคลื่นแรงดันพีดับบลิวเอ็มเอท์พุทซึ่งประกอบด้วย

พัลส์จำนวน 12 พัลส์สำหรับพีดับบลิวเอ็มแบบ 12 พัลส์ต่อหนึ่งไซเคิล

พัลส์จำนวน 18 พัลส์สำหรับพีดับบลิวเอ็มแบบ 18 พัลส์ในหนึ่งไซเคิล

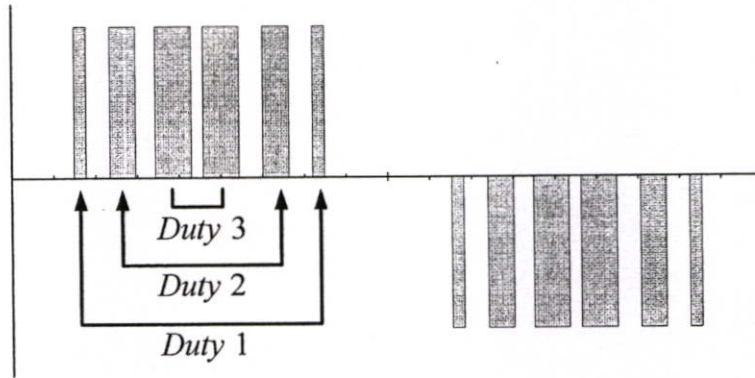
ขั้นแรกจะพิจารณาจากลักษณะคลื่นแรงดันเอซีไลน์ทูไลน์  $V_{AB}$ ,  $V_{BC}$ , และ  $V_{CA}$  จากรูปที่ 2.1 ซึ่งมีความต่างเฟสระหว่างไลน์สองไลน์เป็น 120 และมุม 240 ตามลำดับ โดยแรงดันพีดับบลิวเอ็มเอท์พุทแบบพัลส์ไม่เท่ากัน (SPWM) นี้ ในแต่ละพัลส์จะมีค่าดีวีเรโชที่ไม่เท่ากันสามารถแบ่งขนาดของดีวีเรโชได้ดังนี้

แรงดันพีดับบลิวเอ็มเอท์พุทแบบ 12 พัลส์ในหนึ่งไซเคิล จะแบ่งดีวีเรโชออกเป็น 3 ระดับ Duty

รูปที่ 2.9

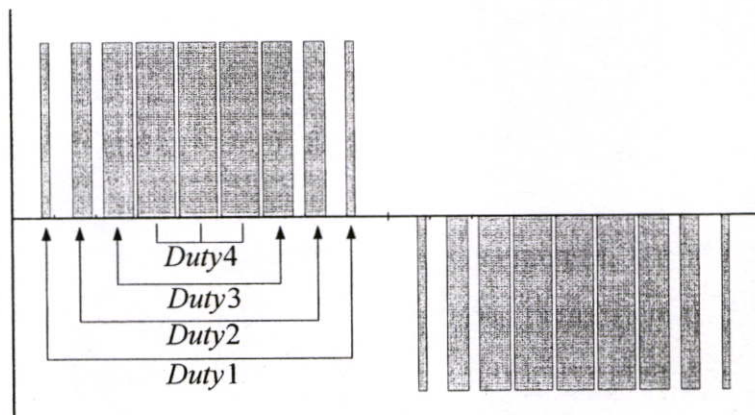
แรงดันพีดับบลิวเอ็มเอท์พุทแบบ 18 พัลส์ในหนึ่งไซเคิล จะแบ่งดีวีเรโชออกเป็น 4 ระดับ Duty

รูปที่ 2.10



รูปที่ 2.9 คลื่นแรงดันพีดับบลิวเอ็มเอชที่พุกแบบพัลส์ไม่เท่า (SPWM) 12 พัลส์

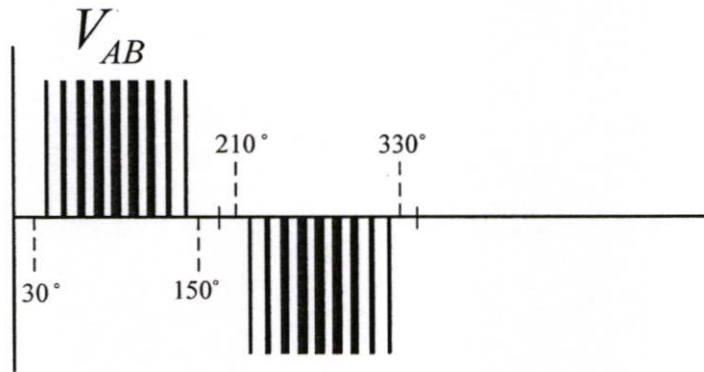
โดยที่พีดับบลิวเอ็มเอชแบบ 12 พัลส์ในหนึ่งไซเคิล จะแบ่งคิวด์เรโชออกเป็น 3 ขนาด คือ Duty1, Duty2 และ Duty3 ความกว้างของแต่ละคิวด์เรโชจะมีความสัมพันธ์กัน Duty1 จะมีขนาดเล็กที่สุด Duty2 จะมีขนาดกลาง และ Duty3 จะมีขนาดใหญ่ เมื่อ Duty1 รวมกับ Duty2 จะเท่ากับขนาดของ Duty3 และคิวด์เรโชตัวที่ 3 จะถือว่าเป็นคิวด์เรโชของพัลส์พีดับบลิวเอ็มเอชด้วย เช่น พัลส์พีดับบลิวเอ็มเอชมีค่าคิวด์เรโชเท่ากับ 0.9 แสดงว่า Duty3 มีค่าคิวด์เรโชเท่ากับ 0.9 ด้วย



รูปที่ 2.10 คลื่นแรงดันพีดับบลิวเอ็มเอชที่พุกแบบพัลส์ไม่เท่า (SPWM) 18 พัลส์

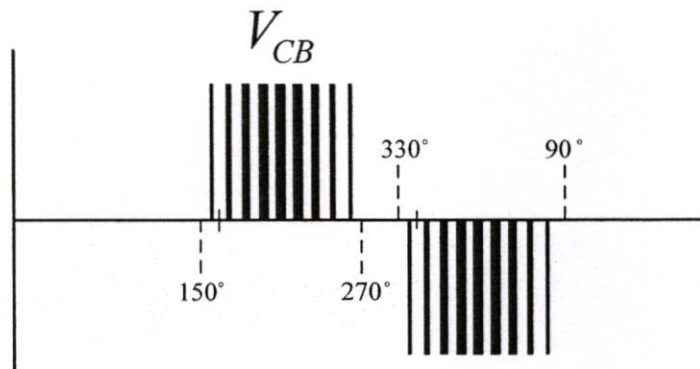
โดยที่แรงดันพีดับบลิวเอ็มเอชที่พุกแบบ 18 พัลส์ในหนึ่งไซเคิล จะแบ่งคิวด์เรโชออกเป็น 4 ขนาด คือ Duty1, Duty2, Duty3 และ Duty4 ความกว้างของแต่ละคิวด์เรโชจะมีความสัมพันธ์กัน Duty1 จะมีขนาดเล็กที่สุด Duty2 จะมีขนาดกลาง Duty3 จะมีขนาดที่ใหญ่กว่า Duty2 และ Duty4 จะมีขนาดใหญ่ที่สุด และ เมื่อ Duty1 รวมกับ Duty3 จะมีขนาดเป็นสองเท่าของ Duty2 และเท่ากับขนาดของ Duty4

ค่าดีวีเรโซของตัวที่ 4 นั้น จะถือว่าเป็นดีวีเรโซของพัลส์พีดับบลิวเอ็มด้วย เช่น พัลส์พีดับบลิวเอ็มมีค่าดีวีเรโซเท่ากับ 0.9 แสดงว่า Duty4 มีค่าดีวีเรโซเท่ากับ 0.9 ด้วย และจะอธิบายรายละเอียดต่อไป



รูปที่ 2.11 คลื่นแรงดันพีดับบลิวเอ็มเอาท์พุทไลน์ทูไลน์  $V_{AB}$  แบบพัลส์ไม่เท่า (SPWM) 18 พัลส์

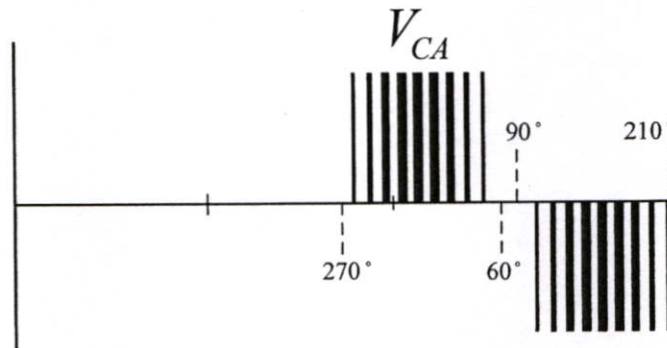
แรงดันพีดับบลิวเอ็มเอาท์พุทไลน์ทูไลน์  $V_{AB}$  ในช่วงระหว่าง  $30^\circ$  ถึง  $150^\circ$  จะมีจำนวน 9 พัลส์ระดับแรงดันเป็นบวกและในช่วงระหว่าง  $210^\circ$  ถึง  $330^\circ$  มีจำนวนพัลส์ 9 พัลส์เช่นกันแต่จะมีระดับแรงดันเป็นลบในช่วง  $120^\circ$  ของช่วงแรงดันเป็นบวกและลบจะมีการแบ่งดีวีเรโซหลายขนาดส่วนจำนวนพัลส์จะมีจำนวนเท่ากับจำนวนของพัลส์พีดับบลิวเอ็ม แสดงในรูปที่ 2.11



รูปที่ 2.12 แรงดันพีดับบลิวเอ็มเอาท์พุทไลน์ทูไลน์  $V_{BC}$  แบบพัลส์ไม่เท่า (SPWM) 18 พัลส์

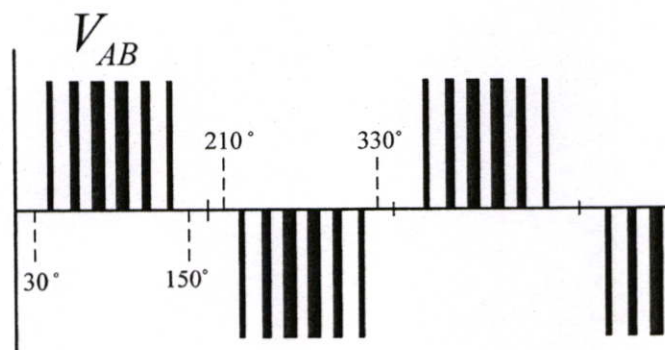
แรงดันพีดับบลิวเอ็มเอาท์พุทไลน์ทูไลน์  $V_{BC}$  ในช่วงระหว่าง  $150^\circ$  ถึง  $270^\circ$  จะมีจำนวน 9 พัลส์ระดับแรงดันเป็นบวกและในช่วงระหว่าง  $330^\circ$  ถึง  $90^\circ$  มีจำนวนพัลส์ 9 พัลส์เช่นกันแต่จะมีระดับแรงดันเป็น

ลบในช่วง  $120^\circ$  ของช่วงแรงดันเป็นบวกและลบจะมีการแบ่งควิตรีโซหลายขนาดส่วนจำนวนพัลส์จะมีจำนวนเท่ากับจำนวนของพัลส์ที่ดับบลิวเอ็ม แสดงในรูปที่ 2.12

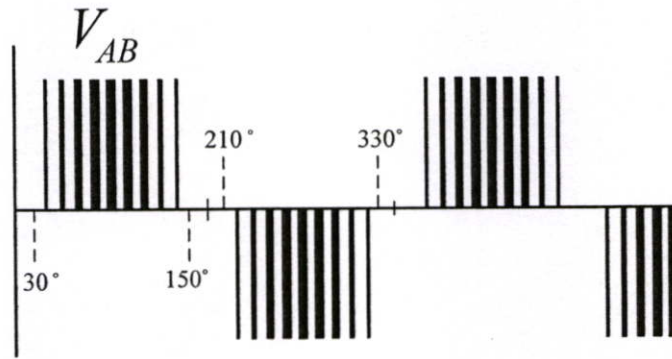


รูปที่ 2.13 แรงดันที่ดับบลิวเอ็มเอาท์พุทไลน์  $V_{CA}$  แบบพัลส์ไม่เท่า (SPWM) 18 พัลส์

ในรูปที่ 2.13 เป็นแรงดันที่ดับบลิวเอ็มเอาท์พุทไลน์  $V_{CA}$  ในช่วงระหว่าง  $270^\circ$  ถึง  $60^\circ$  จะมีจำนวน 9 พัลส์ระดับแรงดันเป็นบวกและในช่วงระหว่าง  $90^\circ$  ถึง  $210^\circ$  มีจำนวนพัลส์ 9 พัลส์เช่นกันแต่จะมีระดับแรงดันเป็นลบในระหว่าง  $120^\circ$  ของช่วงแรงดันเป็นบวกและลบก็จะมีการแบ่งออกเป็นพัลส์โดยในแต่ละพัลส์จะมีค่าควิตรีโซที่เท่ากันส่วนจำนวนพัลส์จะมีจำนวนเท่ากับจำนวนของพัลส์ที่ดับบลิวแต่ละแบบ เช่น 12 พัลส์, 18 พัลส์ เป็นต้น ซึ่งจะแสดงในรูปที่ 2.14 แรงดันที่ดับบลิวเอ็มเอาท์พุทแบบพัลส์ไม่เท่า (SPWM) 12 พัลส์ในหนึ่งไซเคิลและรูปที่ 2.15 แรงดันที่ดับบลิวเอ็มเอาท์พุทแบบพัลส์ไม่เท่า (SPWM) 18 พัลส์ในหนึ่งไซเคิล



รูปที่ 2.14 แรงดันที่ดับบลิวเอ็มเอาท์พุทไลน์แบบพัลส์ไม่เท่า (SPWM) 12 พัลส์

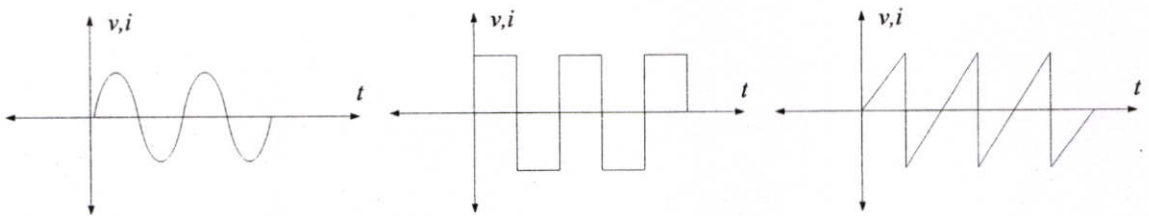


รูปที่ 2.15 แรงดันที่คัปปลิงลิแวนเออร์พุทไลน์ทูไลน์แบบพัลส์ไม่เท่า (SPWM) 18 พัลส์

## 2.4 ทฤษฎีที่ใช้ในการออกหาค่าแรงดันอาร์เอ็มเอสของคลื่นพัลส์ลิแวนเออร์

นิยามของค่าอาร์เอ็มเอส (Root Mean Square; RMS) โดยความหมายในทางคณิตศาสตร์ค่าของอาร์เอ็มเอสคือ รากที่ 2 ของค่าเฉลี่ยของเทอมยกกำลังสอง แสดงได้ด้วยสมการที่ (2.1)

$$X_{RMS} = \sqrt{\frac{1}{T} \int_0^T x^2(t) dt} \quad (2.1)$$



รูปที่ 2.16 ตัวอย่างของสัญญาณ กระแส หรือ แรงดัน ที่มีองค์ประกอบเป็นสัญญาณพื้นฐานไซน์

ในกรณีที่สัญญาณในการวิเคราะห์(แรงดันหรือกระแส)เป็นองค์ประกอบของสัญญาณพื้นฐานไซน์ซึ่งรูปคลื่นมีทั้งด้านบวกและด้านลบดังตัวอย่างในรูปที่ 2.16 และสามารถสร้างกำลังงานได้เป็นบวก

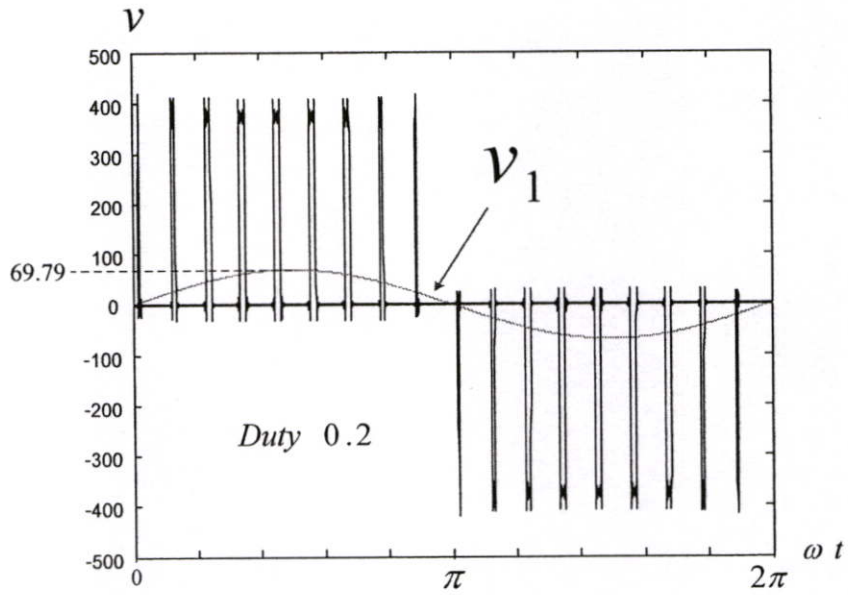
เสมอ เนื่องจากสมการที่ (2.2) แสดงให้เห็นอย่างชัดเจนว่าเทอมของกำลังงานจะอยู่ในรูปฟังก์ชันของ กระแส หรือแรงดันยกกำลังสอง แต่ถ้าเราใช้วิธีเฉลี่ยกระแสหรือแรงดันตามสมการที่ (2.1) จะได้คำตอบ ของค่าเฉลี่ยของกระแสหรือแรงดันที่เป็นศูนย์หรือใกล้เคียงศูนย์เสมอ ดังนั้นค่าอาร์เอ็มเอสจึงได้ถูก กำหนดขึ้น เพื่อเป็นค่าใหม่ที่ใช้ทดแทนค่าเฉลี่ยของสัญญาณที่เป็นองค์ประกอบของสัญญาณไซน์ พื้นฐานโดยพิจารณาใน 1 คาบเวลา และเนื่องจากเทอมของตัวแปรถูกยกกำลัง 2 ก่อนดังสมการที่ (2.1) ค่าที่คำนวณได้จึงเป็นบวกเสมอ ซึ่งเมื่อพิจารณาเทอมตัวแปรยกกำลังสองนี้ในสมการที่ (2.1) และสมการ ที่ (2.2) ( แรงดันยกกำลัง 2 หรือ กระแสยกกำลัง 2 ) จะเห็นว่าค่าอาร์เอ็มเอสเป็นเทอมที่มีความสัมพันธ์ อย่างยิ่งกับค่ากำลังงานของสัญญาณหรืออาจจะกล่าวได้ว่าเทอมของค่าอาร์เอ็มเอสสร้างขึ้นเพื่อใช้บ่งบอก หรือเปรียบเทียบว่ารูปคลื่นนั้นๆสามารถสร้างกำลังงานออกมาเท่ากับค่าคงที่(ไฟตรง) เท่าใด

$$p(t) = v(t) \cdot i(t) = \frac{v^2(t)}{R} = i^2(t) \cdot R \quad (2.2)$$

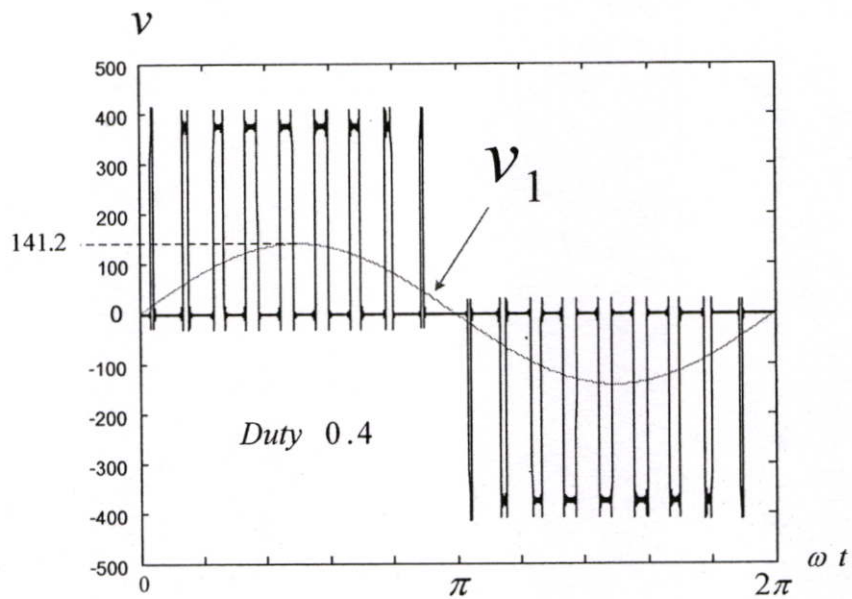
ในการหาค่าอาร์เอ็มเอส (Root Mean Square; RMS) ของพัลส์พีคดับลิวเอ็มนั้นเมื่อโหลดเป็นมอเตอร์ กำลังที่คิดไม่ได้รวมไปถึงความถี่ฮาร์โมนิกส์ลำดับอื่นๆ เนื่องจากว่าความถี่นั้นๆจะอยู่ในรูปของความถี่อื่น จะคิดเฉพาะพินดามเมททอลที่ 1 เท่านั้นจึงได้ว่า

$$V_{1,rms} = \frac{V_{1,peak}}{\sqrt{2}}$$

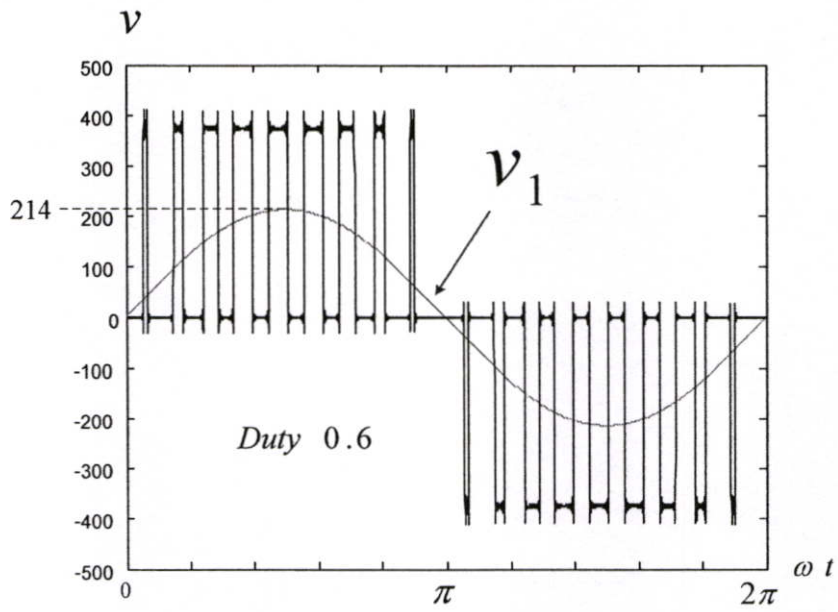
ต่อไปจะแสดงค่าแรงดัน  $V_1$  ของพัลส์พีคดับลิวเอ็มแบบ 18 พัลส์ในหนึ่งไซเคิลที่ค่าคิวดีเรโซ 0.2, 0.4, 0.6, 0.8, 0.9 และ 1 ตามลำดับ ดังรูปที่ 2.17 ถึง รูปที่ 2.22



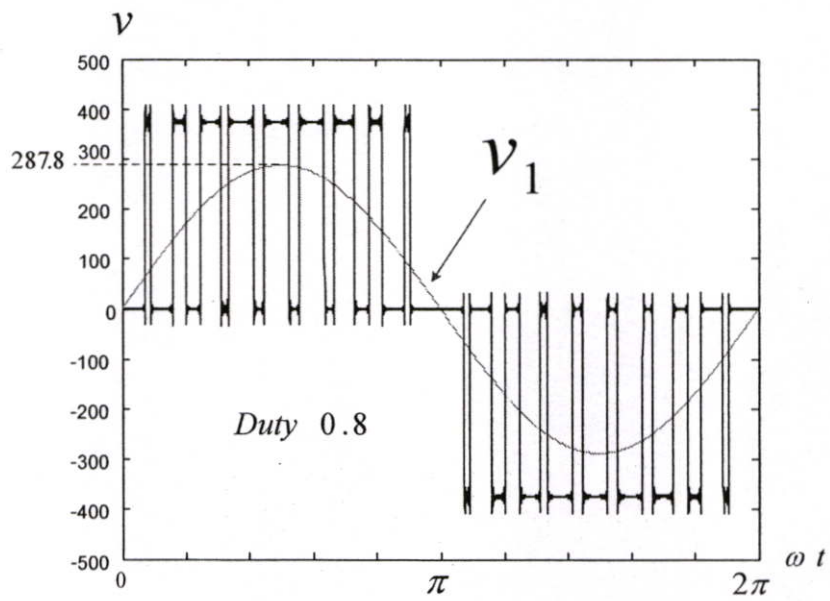
รูปที่ 2.17 รูปแบบคลื่นแรงดันพีคดับลิวเอ็มเอชท์พุท 18 พัลส์ ในหนึ่งไซเคิลที่ค่าดีวตี้เรโซเท่ากับ 0.2



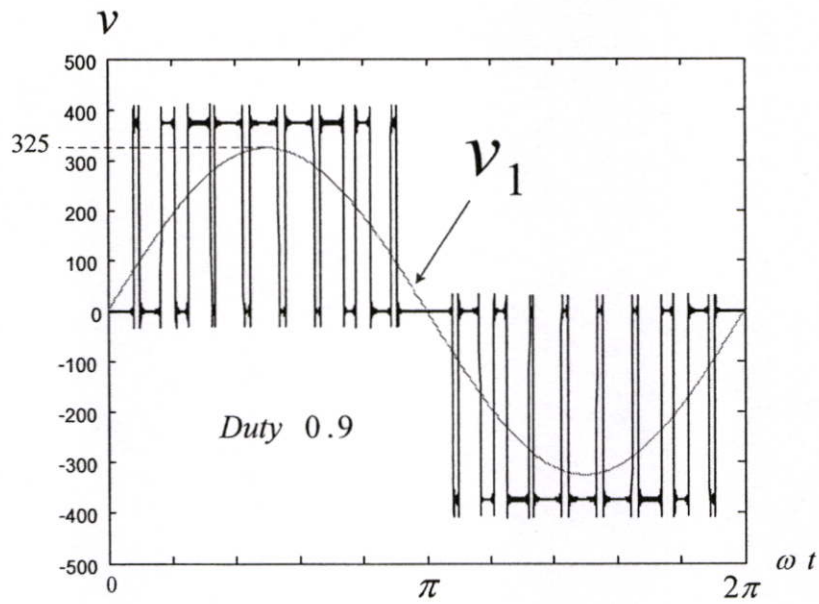
รูปที่ 2.18 รูปแบบคลื่นแรงดันพีคดับลิวเอ็ม เอชท์พุท 18 พัลส์ ในหนึ่งไซเคิลที่ค่าดีวตี้เรโซเท่ากับ 0.4



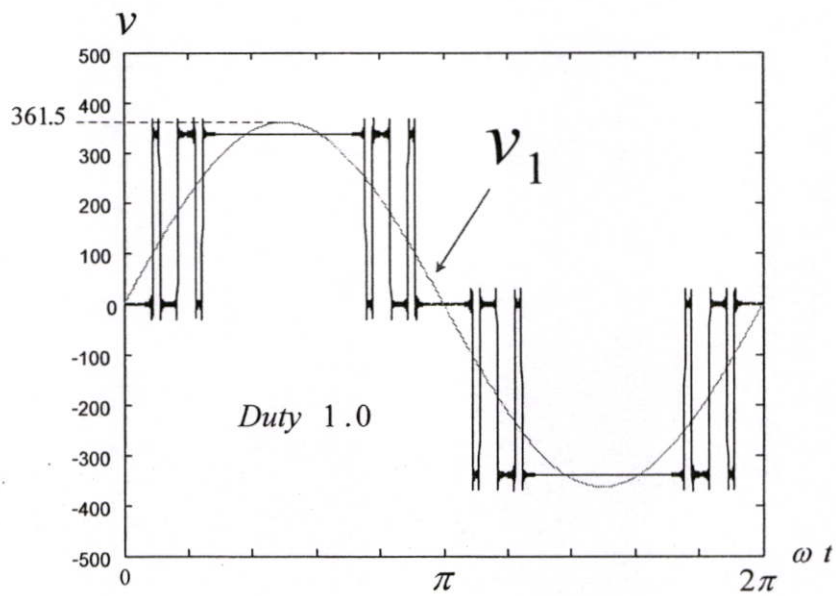
รูปที่ 2.19 รูปแบบคลื่นแรงดันพัลส์บวกลวเอ็ม เอชท์พูท 18 พัลส์ ในหนึ่งไซเคิลที่ค่าคิวดีเรโชเท่ากับ 0.6



รูปที่ 2.20 รูปแบบคลื่นแรงดันพัลส์บวกลวเอ็ม เอชท์พูท 18 พัลส์ ในหนึ่งไซเคิลที่ค่าคิวดีเรโชเท่ากับ 0.8



รูปที่ 2.21 รูปแบบคลื่นแรงดันพีดับบลิวเอ็ม เอทพุท 18 พัลส์ ในหนึ่งไซเคิลที่ค่าดีวตี้เรโซเท่ากับ 0.9

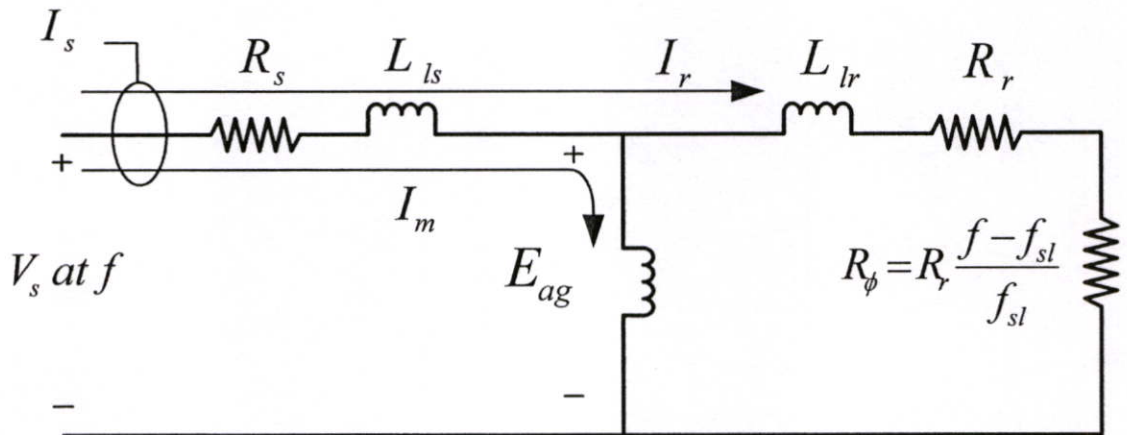


รูปที่ 2.22 รูปแบบคลื่นแรงดันพีดับบลิวเอ็ม เอทพุท 18 พัลส์ ในหนึ่งไซเคิลที่ค่าดีวตี้เรโซเท่ากับ 1.0

จากที่ได้แสดงถึงการออกแบบการปรับค่าดีวตี้เรโซของพัลส์เพื่อควบคุมแรงดันดังนั้นก็จะสามารถควบคุมแรงดันพีดับบลิวเอ็มเอทพุทด้วยการปรับค่าดีวตี้เรโซของพัลส์ที่ค่าต่างๆ

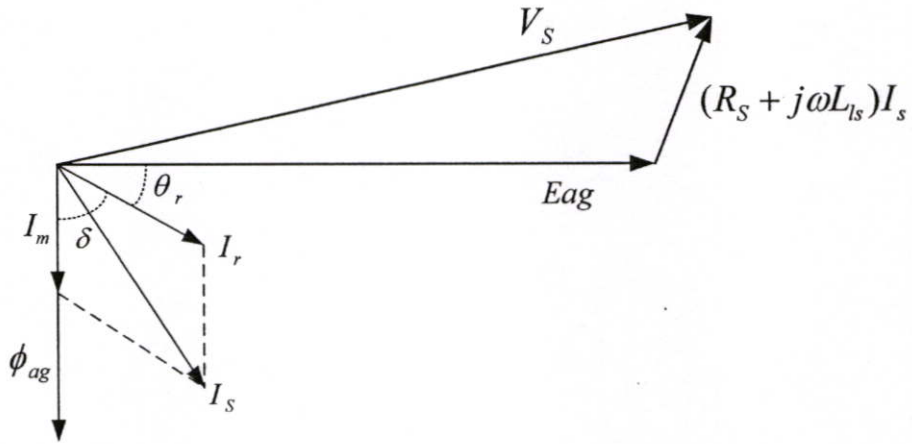
## 2.5 ทฤษฎีการควบคุมความเร็วรอบมอเตอร์ด้วยอัตราส่วนแรงดันต่อความถี่ที่คงที่

วิธีการควบคุมการทำงานของอินดักชันมอเตอร์นั้นมีอยู่หลายวิธีซึ่งแต่ละวิธีก็เพื่อให้มอเตอร์สามารถปรับความเร็วรอบได้โดยที่ยังคงมีแรงบิด (Torque) ที่พิกัดทุกความถี่ ซึ่งการควบคุมแบบอัตราส่วนแรงดันต่อความถี่ที่คงที่ก็เป็นวิธีหนึ่งที่จะควบคุมให้มีแรงบิดคงที่ได้ ซึ่งการควบคุมแบบนี้มีข้อดีคือ สามารถใช้กับมอเตอร์ทั่วไปได้โดยไม่ต้องทราบข้อมูลพารามิเตอร์ภายใน ดังรูปที่ 2.23



รูปที่ 2.23 วงจรสมมูลของมอเตอร์อินดักชัน

เมื่อ	$V_s$	คือ แรงดันเฟสที่ป้อนมอเตอร์
	$E_{ag}$	คือ Air gap voltage
	$R_s$	ค่าความต้านขดลวดสเตเตอร์
	$L_{ls}$	คือ Leakage inductance ของขดลวดสเตเตอร์
	$I_m$	คือ Magnetizing current
	$I_s$	คือ Stator current
	$N_s$	คือจำนวนรอบของขดลวดสเตเตอร์
	$L_m$	Magnetizing inductance



รูปที่ 2.24 เฟสเซอร์ไคอะแกรมของอินดักชันมอเตอร์

เมื่อพิจารณาโครงสร้างของวงจร Magnetic ของมอเตอร์เหนี่ยวนำจะได้

$$\phi_{ag}(t) = \Phi_{ag} \sin \omega t$$

จากกฎของฟาราเดย์ จะได้

$$e_{ag} = N_s \frac{d\phi_{ag}(t)}{dt}$$

แทนฟลักซ์ที่เกิดขึ้นที่ขดลวดสเตเตอร์

$$e_{ag} = N_s \omega \Phi_{ag} \cos \omega t$$

คิดเป็นค่าอาร์เอ็มเอสจะได้

$$E_{ag} = kf\phi_{ag}$$

$$\phi_{ag} = \frac{kE_{ag}}{f} \quad (2.3)$$

ดังนั้นการที่จะควบคุมให้ฟลักซ์แม่เหล็กคงที่นั้นจะต้องควบคุมค่า  $E_{ag} / f$  ให้มีค่าคงที่หรือจะกล่าวได้ว่าการที่จะควบคุมให้ฟลักซ์แม่เหล็กของมอเตอร์คงที่นั้นต้องรักษาอัตราส่วนแรงดันต่อความถี่ให้มีค่าคงที่ การควบคุมแบบนี้เรียกว่าการควบคุมแบบ “ $v/f$ ” คงที่ที่ส่วนความเร็วรอบมอเตอร์สามารถควบคุมได้ด้วยการปรับความถี่ ( $f$ ) ซึ่งจะสร้างความเร็วรอบซิงโครนัส (Synchronous Speed) ดังสมการที่ 2.4

$$N_s = \frac{120f}{p} \quad (2.4)$$

โดยที่  $p$  เป็นค่าคงที่และเมื่อ Slip มีค่าน้อยความเร็วรอบมอเตอร์จะขึ้นกับความเร็วรอบซิงโครนัส ( $N_s$ ) ซึ่งสามารถควบคุมความเร็วซิงโครนัสได้จากการปรับค่าความถี่ ( $f$ ) ของแรงดันที่ป้อนมอเตอร์

### 2.5.1 อัตราส่วนแรงดันต่อความถี่ที่มีค่าคงที่

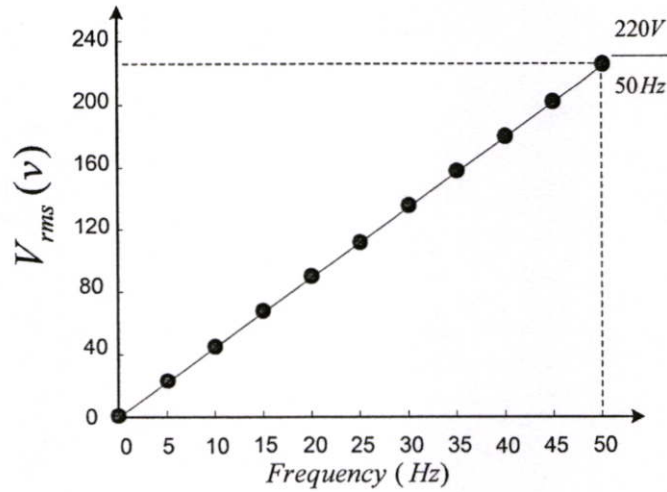
การใช้อัตราส่วนแรงดันต่อความถี่ให้มีค่าคงที่นั้นจากทฤษฎีการควบคุมมอเตอร์ที่จะขับมอเตอร์เหนี่ยวนำ 3 เฟสที่ได้อธิบายไปแล้วนั้นจะเห็นได้ว่าการควบคุมแบบนี้เพื่อให้ฟลักในมอเตอร์มีค่าคงที่และนำไปใช้สร้างทอร์กขึ้น วิธีการหาค่านี้ได้จากพิกัดแรงดันและพิกัดของความถี่ของมอเตอร์ที่ต้องการจะควบคุมความเร็วรอบ นำพิกัดแรงดันหารด้วยพิกัดของความถี่ ตัวอย่างเช่น มอเตอร์มีขนาดพิกัดแรงดัน 220 v ความถี่ 50 Hz ค่าคงที่ของอัตราส่วนแรงดันต่อความถี่ ( $v/f$ ) นี้จะเท่ากับ

$$\frac{v}{f} = \frac{220}{50} = 4.4$$

ดังนั้นในแต่ละความถี่ที่ต้องการปรับจะต้องเปลี่ยนแรงดันที่จ่ายให้ทุกๆค่าความถี่จะได้

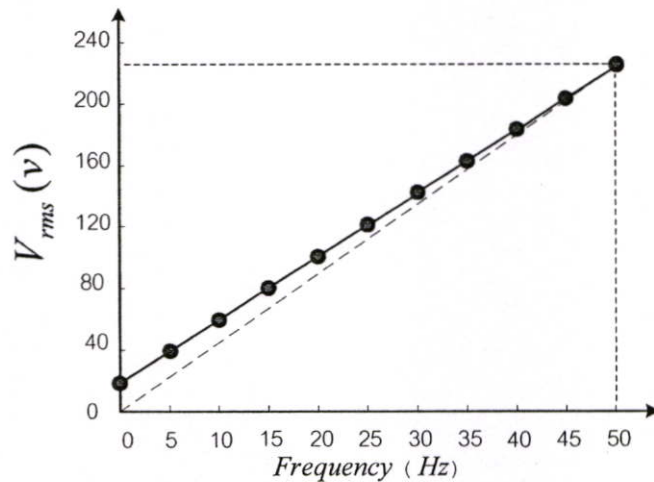
$$v_s = 4.4f \quad (2.5)$$

เมื่อนำมาพล็อตกราฟจะได้ดังนี้



รูปที่ 2.25 กราฟที่ได้จากการพล็อตค่าแรงดันมอเตอร์ 220 v ความถี่ 50 Hz (ที่มีขนาด  $v/f$  คงที่)

### 2.5.2 อัตราส่วนแรงดันต่อความถี่ที่มีค่าคงที่และมีการบวมแบบเชิงเส้น



รูปที่ 2.26 กราฟที่ได้จากการพล็อตค่าแรงดันมอเตอร์ 220 v ความถี่ 50 Hz (ที่มีการบวมแรงดัน)

การควบคุมอินดักชันมอเตอร์ด้วยอัตราส่วนแรงดันต่อความถี่มีค่าคงที่นั้นจะพบปัญหาในย่านความถี่ต่ำเนื่องจากว่าเมื่อความถี่ลดลงค่า Leakage Impedance ขดลวดสเตเตอร์จะลดลงขณะที่ความต้านทาน  $R_s$  ในสเตเตอร์ไม่มีการเปลี่ยนแปลงซึ่งในย่านความถี่สูงค่าอิมพีแดนซ์ดังกล่าวจะมีค่ามากกว่าความต้านทาน  $R_s$  ในสเตเตอร์มากแต่เมื่อความถี่ลดลงจนมีค่าใกล้เคียงกันจะส่งผลให้มีการตกคร่อม

ที่  $R_s$  และ  $L_s$  ใกล้เคียงกันทำให้แรงดันตามค่าที่คำนวณลดลงจึงต้องมีการบูสท์แรงดันเพิ่มในย่านความถี่ต่ำดังในรูปที่ 2.26

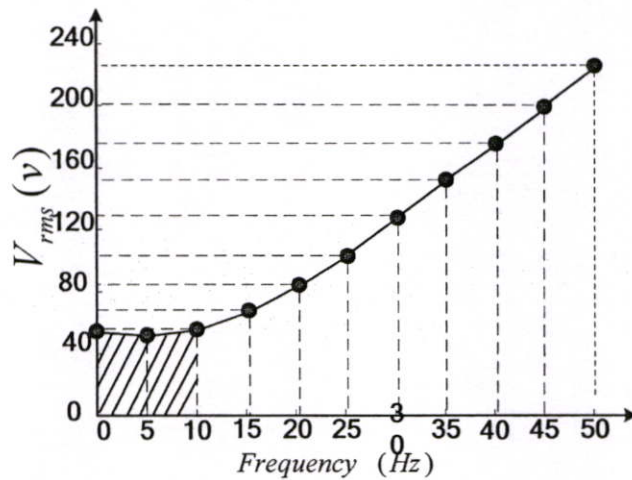
### 2.5.3 อัตราส่วนแรงดันต่อความถี่ที่มีค่าคงที่และมีการบูสแบบไม่เป็นเชิงเส้น

หลักการนี้เหมาะสำหรับงานที่มอเตอร์ต้องการแรงบิดเพิ่มมากกว่าปกติเฉพาะในบางย่านของความถี่รอบ โดยเฉพาะในย่านความถี่ต่ำกว่า 50Hz ซึ่งผู้ใช้งานจะเป็นผู้กำหนดค่าแรงดันที่เหมาะสม ใช้กับงานบางประเภทที่แรงบิดไม่คงที่ส่งผลให้ถ้าใช้การบูสท์แรงดันคงที่จะทำให้ความเร็วไม่คงที่

ตารางที่ 2.1 ตารางการตั้งค่าแรงดันที่ค่าความถี่ต่างๆ

ลำดับ	1	2	3	4	5	6	7	8	9	10	11
Hz	0	5	10	15	20	25	30	35	40	45	50
Vs	50	40	60	65	83	110	130	155	175	200	220

ดังนั้นในการบูสท์ลักษณะนี้สามารถที่จะตั้งค่าแรงดันที่จะใช้ในแต่ละความถี่ได้โดยอิสระไม่เป็นไปตามค่าอัตราส่วนแรงดันต่อความถี่แต่จะตั้งค่าแรงดันไปตามลักษณะของงานที่จะใช้หรือเข้าใจง่ายๆว่าสามารถที่จะพล็อตแรงดันต่อความถี่ได้หลายๆ ค่า ดังตารางที่ 2.1

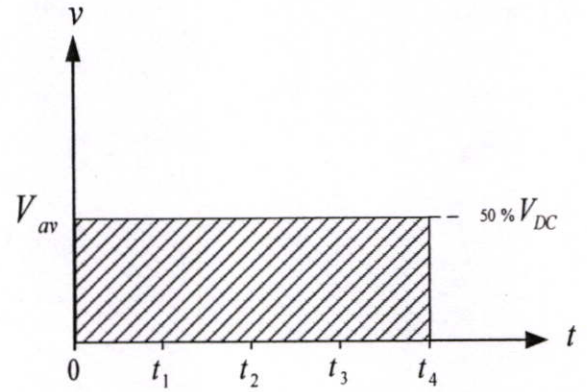
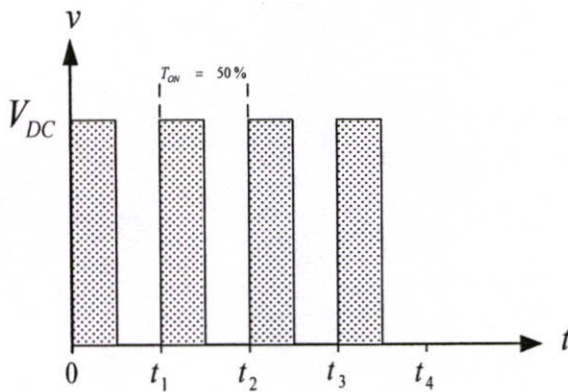


รูปที่ 2.27 กราฟที่ได้จากการพล็อตค่าแรงดันและความถี่โดยมีการบูสท์แรงดันในย่านความถี่ต่ำให้สูงกว่าการบูสท์แบบทั่วไป

และสามารถที่จะนำมาพล็อตกราฟแรงดันต่อความถี่ได้ดังแสดงในรูปที่ 2.27 กราฟที่ได้จะไม่เป็นเส้นตรงเหมือนกับการนูนแบบลิเนียร์

### 2.6 หลักการควบคุมแรงดันพีดับบลิวเอ็มเอท์พุกโดยการปรับค่าดิวิตีเรโซ

ในอินเวอร์เตอร์โดยทั่วไปที่มีการแปลงไฟเป็นดิซีตรงเรียบก่อนนั้นการที่จะทำให้แรงดันด้านเอาท์พุกสามารถปรับเปลี่ยนได้นั้นต้องมีการปรับขนาดทางด้านแกนเวลา (t) เพื่อให้แรงดันด้านออกมีการเปลี่ยนแปลง การปรับค่าทางแกนเวลาจะเรียกว่า "Duty ratio" หรืออัตราส่วนเวลาในการ ON ของพัลส์ต่อคาบเวลาดังรูปที่ 2.28 แสดงค่าการ "ON" ของพัลส์ต่อคาบเวลาเท่ากับ 50% ด้านซ้ายและด้านขวาเป็นค่าเฉลี่ย ( $V_{av}$ ) ที่ได้ เป็น 50%ของ  $V_{DC}$  ซึ่งแรงดันด้านออกสามารถหาได้จากสมการที่ (2.7)



รูปที่ 2.28 รูปด้านซ้ายแสดงค่า  $T_{ON}=50\%$

รูปด้านขวาแสดงค่า  $V_{av}$  ทางด้านเอาท์พุกที่ลดลง

$$v_{av} = \frac{1}{T} \int_{t_0}^{t_1} f(t) dt \tag{2.6}$$

แทนค่าสมการที่ (2.7)

$$v_{av} = \frac{1}{2x} \int_0^x v_{DC} dt$$

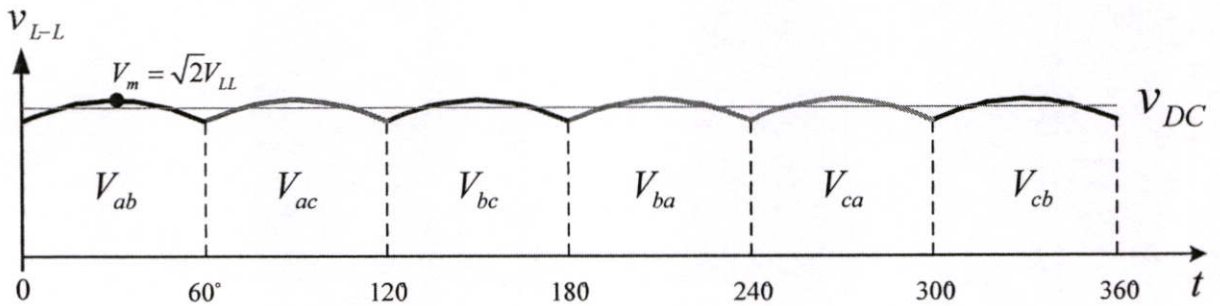
$$v_{av} = \left( \frac{x}{2x} \right) (v_{DC})$$

$$v_{av} = (Duty) v_{DC}$$

(2.7)

ในเมตริกซ์คอนเวอร์เตอร์ก็สามารถที่จะคิดแบบค่าเฉลี่ยแทนการแปลงไฟเป็นดิซีตรงเรียบก่อนดังนั้นก็  
ใช้หลักการที่จะใช้ค่าเฉลี่ยจากระลอกคลื่นทั้ง 6 ระลอกในหนึ่งไซเคิล

### 2.6.1 การคำนวณหาค่าเฉลี่ย $V_{DC}$ ของแรงดัน 6 ระลอกคลื่นไลน์ทูไลน์



รูปที่ 2.29 แรงดันเฉลี่ยของเมตริกซ์คอนเวอร์เตอร์ในช่วงเวลา 1 Cycle

แรงดันนี้ได้จากการคิดเฉลี่ยระลอกคลื่นแรงดัน  $V_{ab}, V_{ac}, V_{bc}, V_{ba}, V_{ca}, V_{cb}$  จะเลือกใช้แรงดันไลน์ที่มี  
ค่าสูงที่สุดในขณะนั้น เช่นในช่วง 0-60 องศาแรงดันไลน์ของ  $V_{ab}$  จะมีค่าสูงสุดก็จะใช้ค่าเฉลี่ยของระลอก  
คลื่น  $V_{ab}$  และเมื่อครบช่วงเวลา 60 องศาแรงดันไลน์  $V_{ab}$  จะลดต่ำลงก็จะใช้แรงดันไลน์  $V_{ac}$  ที่เริ่มมีค่า  
สูงขึ้นทดแทนกันเป็นลำดับไปซึ่งมีการเปลี่ยนแปลงเฟสดังนี้

ในช่วง 0-60 องศา จะใช้ค่าเฉลี่ยของระลอกคลื่นแรงดัน  $V_{ab}$

ในช่วง 60-120 องศา จะใช้ค่าเฉลี่ยของระลอกคลื่นแรงดัน  $V_{ac}$

ในช่วง 120-180 องศา จะใช้ค่าเฉลี่ยของระลอกคลื่นแรงดัน  $V_{bc}$

ในช่วง 180-240 องศา จะใช้ค่าเฉลี่ยของระลอกคลื่นแรงดัน  $V_{ba}$

ในช่วง 240-300 องศา จะใช้ค่าเฉลี่ยของระลอกคลื่นแรงดัน  $V_{ca}$

ในช่วง 300-360 องศา จะใช้ค่าเฉลี่ยของระลอกคลื่นแรงดัน  $V_{cb}$

การหาค่าเฉลี่ย  $V_{DC}$  ของแรงดัน 6 ระลอกคลื่นไลน์ทูไลน์สามารถ พิจารณาได้จากรูปที่ 2.29 ซึ่งคิดใน  
หนึ่งช่วงระลอกคลื่นเขียนได้เป็นสมการดังนี้

$$\text{ให้} \quad V_m = \sqrt{2}V_{LL}$$

แต่

$$V_{DC} = \frac{3}{\pi}V_m$$

แทนค่า  $V_m$  ด้วย  $\sqrt{2}V_{LL}$

$$V_{DC} = \frac{3\sqrt{2}}{\pi}V_{LL} \quad (2.8)$$

### 2.6.2 การคำนวณหาค่าดิฟเฟอเรนเชียลในแต่ละค่าความถี่อาทพุท

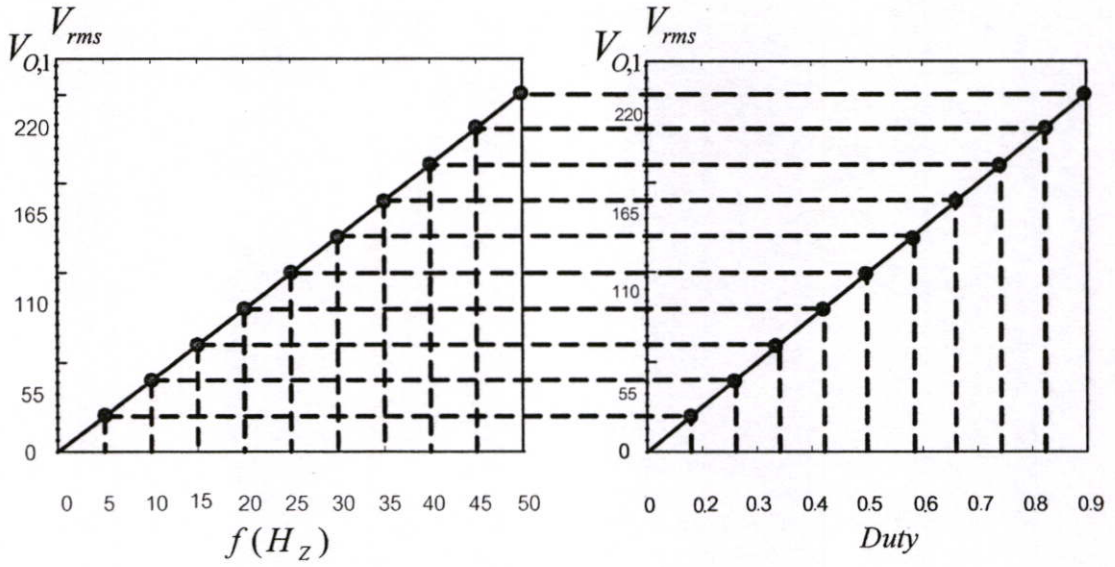
ในการขับอินดักชันมอเตอร์ 3 เฟสในที่นี่จะอาศัยหลักการทำให้ฟลัก ( $\phi$ ) ของมอเตอร์มีค่าคงที่ตลอดช่วงการปรับความถี่ซึ่งที่นี้คือ 0 – 50 Hz เพื่อให้แรงบิดมีค่าคงที่ แรงดันที่เหมาะสมจะหาได้จากค่าแรงดันและความถี่ที่พิกัดของอินดักชันมอเตอร์ตามที่ได้กล่าวไว้แล้ว ในวิทยานิพนธ์นี้ใช้พิกัดอินดักชันมอเตอร์ SIEMENS 3 Phase, 400/230 V, 3.2/5.5 A, 1.5kW ดังนั้นจะได้ว่าแรงดันพิกัดของมอเตอร์ 230 V, ความถี่ 50 Hz ซึ่งจะหาค่าแรงดันที่ความถี่ต่างๆ ได้ดังนี้

$$v/f = \frac{230}{50}$$

ลำดับที่	ความถี่ (Hz)	แรงดัน(volt)
1	0	0
2	10	46
3	20	92
4	30	138
5	40	184
6	50	230

ตารางที่ 2.2 ตารางค่าแรงดันที่ความถี่ต่างๆ ที่ค่า  $v/f$  คงที่

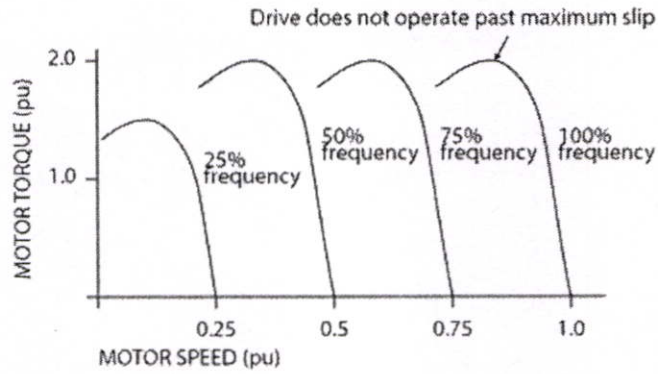
เมื่อหาค่าแรงดันที่ความถี่ต่างๆ ได้แล้วนำมาพล็อตกราฟกับค่าดิฟเฟอเรนเชียลที่ได้จากการคำนวณดังรูปที่ 2.30



รูปที่ 2.30 แสดงการหาค่าความถี่เรโซแนนซ์ที่แรงดันเอาต์พุตต่างๆ

## 2.7 ปัญหาในการควบคุมด้วย $v/f$ คงที่โดยไม่มีการบูส

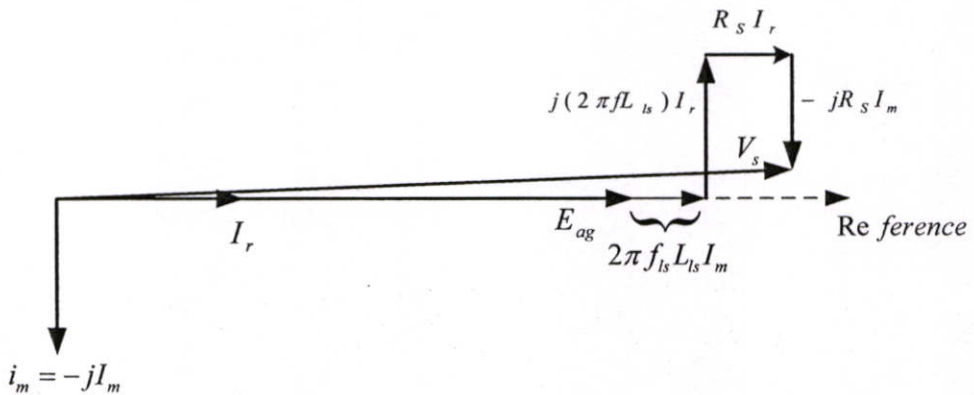
ในการปรับรอบมอเตอร์ด้วย  $v/f$  คงที่นั้นจะมีปัญหาของการควบคุมในย่านความถี่ต่ำ เนื่องจาก Stator Leakage Resistance ซึ่งปกติมีค่าน้อยๆเมื่อเทียบกับ  $X_m$  ในย่านการทำงานแถบความถี่สูงของการควบคุมและสามารถไม่ต้องนำมาพิจารณาในเรื่องแรงดันตกคร่อม  $R_s$  นั้น กลับกลายเป็นต้องนำมาพิจารณาในย่านความถี่ต่ำใกล้ 0Hz ของย่านควบคุม ดังนั้นถ้าใช้แถบความถี่ต่ำนี้ยังใช้แรงดันที่ป้อนมอเตอร์ด้วยอัตราส่วน  $v/f$  คงที่เหมือนแถบย่านความถี่สูงแล้ว ก็จะทำให้แรงดันที่จะไปสร้าง Peak Torque ของมอเตอร์ลดต่ำลงดังรูปที่ 2.31 ทำให้มอเตอร์ไม่สามารถจ่ายทอร์กได้ตามที่ควร ดังนั้นจึงต้องทำให้ Peak Torque ของมอเตอร์เพิ่มขึ้นเท่ากับ Peak Torque ของมอเตอร์ในย่านความถี่สูง โดยบูสท์แรงดันให้สูงกว่าค่าอัตราส่วน  $v/f$  ในย่านความถี่สูง



รูปที่ 2.31 กราฟแสดงความสัมพันธ์ระหว่าง Torque ที่ ค่า Slip

### 2.8 หลักการบวสแรงดันในย่านความถี่ต่ำ

จากวงจรสมมูลในย่านความถี่ต่ำมากๆ ในรูปที่ 2.32 สามารถอธิบายได้ว่า  $R_s$  จะสร้างผลกระทบเมื่อใช้งานในย่านความถี่ต่ำ ดังนั้นในการออกแบบอินดักชันมอเตอร์ทั่วไปไม่ต้องคิด  $2\pi f L_{ls}$  เมื่อเทียบกับ  $R_s (f/f_s)$  ในวงจรสมมูล ดังนั้น  $I_r$  จะอินเฟสกับ  $E_{ag}$  เมื่อ  $E_{ag}$  เป็น Reference Phasor และให้  $I_s = I_r - jI_m$  และนั้นสามารถเขียนสมการได้ดังนี้



รูปที่ 2.32 แสดงผลของความต้านทานในสเตเตอร์ที่ความถี่ต่ำ

$$v_s = [E_{ag} + (2\pi f L_{ls}) I_m + R_s I_r] + j[(2\pi f L_{ls}) I_r - R_s I_m] \tag{2.10}$$

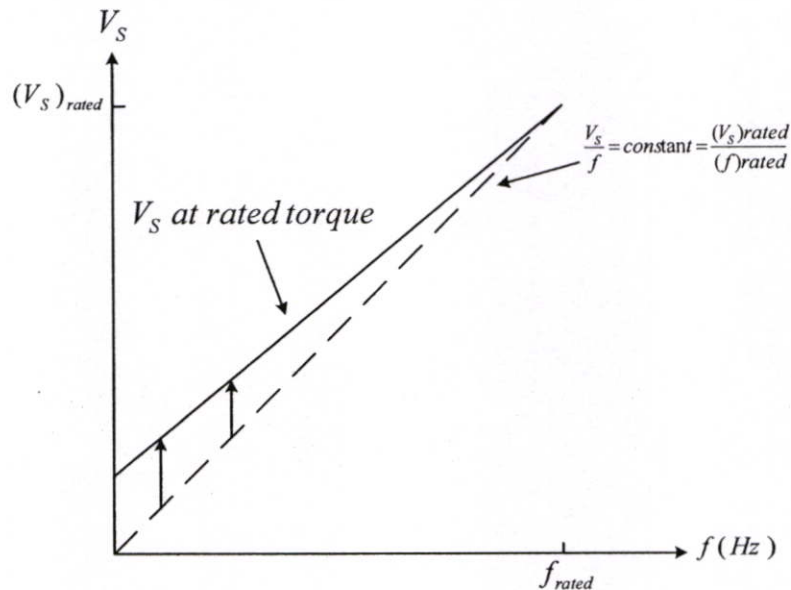
จากสมการที่(2.11) ในเทอมที่สองด้านขวามือเวกเตอร์นี้จะตั้งกับแรงดัน  $V_s$  และถ้าฟลักซ์ ( $\phi_{ag}$ ) มีค่าคงที่ค่า  $E_{ag}$  จะเปลี่ยนแปลงแบบเส้นตรงกับความเร็ว และถ้า  $\phi_{ag}$  ยังคงมีค่าคงที่  $I_m$  จะยังมีค่าคงที่ด้วย ดังนั้นการเพิ่มแรงดันจึงจำเป็นเนื่องจาก  $L_{1s}$  ในสมการที่ 2.10 เป็นสัดส่วนโดยตรงกับความเร็วที่ใช้งานในขณะนั้น

$$v_s = E_{ag} + (2\pi f L_{1s}) I_m + R_s I_r \quad (2.11)$$

ค่าคงที่ของฟลักซ์  $\phi_{ag}$  ทำให้สมการที่ 2.12 เปลี่ยนเป็น

$$V_s = kf + R_s I_r$$

การเพิ่มแรงดันเพื่อชดเชย Voltage drop ที่  $R_s$  เพื่อให้ฟลักซ์  $\phi_{ag}$  คงที่ไม่ขึ้นอยู่กับความเร็วแต่ขึ้นอยู่กับ  $I_r$  เป็นสัดส่วนกับ  $T_{em}$ , ค่า terminal voltage  $V_s$  จะทำให้ค่าฟลักซ์  $\phi_{ag}$  คงที่ที่ rated torque ดังแสดงในรูปที่ 2.33



รูปที่ 2.33 กราฟแสดงการคำนวณที่เหมาะสมที่อยู่บนเส้น  $V_s$  at rated torque

## 2.9 สรุป

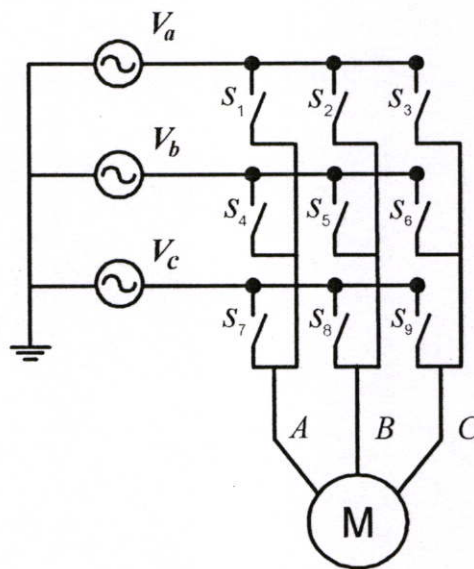
การออกแบบลักษณะคลื่นแรงดันพีคดับลิเวียม 12 และ 18 พัลส์ในรูปคลื่นแรงดันเอาท์พุท 3-เฟส ที่ความถี่ 50Hz และอัตราการมีอดเท่ากับ 0.9 เมื่อวงจรควบคุมทำงานร่วมกับวงจรกำลัง ทำให้สามารถสร้างคลื่นแรงดันพีคดับลิเวียมสามเฟสในเอซีไลน์ได้หลายลักษณะ เช่น สามารถเลือกจำนวนพัลส์ ได้จำนวน 12 และ 18พัลส์ในแต่ละไซเคิล และเลือกความถี่คลื่นสัญญาณพีคดับลิเวียมได้ 10Hz, 20 Hz, 30Hz, 40 Hz และ 50 ตลอดจนสามารถเลือกปรับความกว้างของพัลส์พีคดับลิเวียมได้ ขึ้นตอนต่อไปจะกล่าวถึงการออกแบบลักษณะคลื่นแรงดันพีคดับลิเวียม 12 พัลส์ ในแต่ละไซเคิลดังนี้ การออกแบบลักษณะคลื่นพีคดับลิเวียม 12 พัลส์ของคลื่นแรงดันเอาท์พุท 3เฟส ที่ความถี่ 50 Hzและอัตราการมีอดเท่ากับ 0.9 การออกแบบลักษณะคลื่นพีคดับลิเวียมที่มีจำนวนพัลส์ 12 พัลส์ในครึ่งไซเคิลที่ความถี่ 12.5 Hz, 25 Hz และ 50 Hz ที่อัตราการมีอดเท่ากับ 0.9 ใช้หลักการในการออกแบบคลื่นพีคดับลิเวียมที่มีจำนวน 12 พัลส์ดังที่กล่าวมาในหัวข้อ 2.3 ข้างต้นแล้วนั้น ซึ่งได้ทำการออกแบบที่ความถี่ 50 Hz จะทำการแบ่งแรงดันใน 1 ไซเคิลออกเป็น 6 ช่วงๆละ 60 องศา โดยแต่ละช่วงจะมีจำนวนพัลส์เท่ากัน คือ 2 พัลส์ โดยความกว้างพัลส์แต่ละพัลส์ใน 1 ไซเคิล ดังนั้นในการออกแบบที่ความถี่ 12.5 Hz, 25 Hz และ 50 Hz จะใช้หลักการเดียวกับที่ออกแบบพัลส์ที่ความถี่ 50 Hz และในส่วนท้ายจะแสดงการคำนวณค่าแรงดันที่จะจ่ายให้กับมอเตอร์อินคันชั่นในรูปแบบของแรงดันต่อค่าความถี่ที่คงที่พร้อมๆกับการคิดคำนวณการเพิ่มแรงดันในย่านความถี่ต่ำ

### บทที่ 3

## การทำงานของสวิตช์และการออกแบบสัญญาณควบคุมสวิตช์ทั้ง 9 ในวงจร Matrix Converter

### 3.1 บทนำ

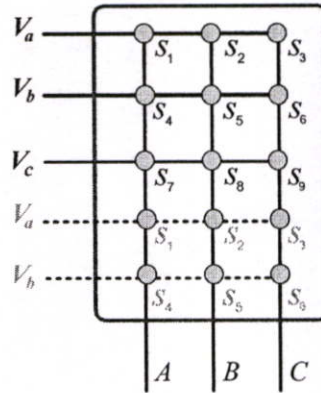
ในวงจร Matrix Converter จะประกอบด้วยสวิตช์สองทาง 9 ชุดซึ่งสวิตช์ทั้ง 9 ตัวนี้จะต่อเข้ากับแหล่งจ่ายและโหลดโดยตรงดังรูปที่ 3.1 และจะทำงานครั้งละ 6 ตัวตามระลอกคลื่นไลน์การไฟฟ้าด้านอินพุทในกลุ่มของสวิตช์ 6 ตัวนี้สามารถที่จะพิจารณาให้เหมือนกับอินเวอร์เตอร์ทั่วไปที่ใช้ไฟดิซีซึ่งมีวิธีสร้างสัญญาณควบคุมการทำงานได้หลายรูปแบบ ซึ่งวิธีการแต่ละแบบสามารถสร้างไฟสลับ 3 เฟสได้เช่นเดียวกัน ซึ่งในที่นี้จะใช้วิธีการควบคุมแรงดันต่อความถี่ที่มีค่าคงที่ ในบทนี้จะกล่าวถึงหลักการเลือกกลุ่มของสวิตช์ที่ใช้ทั้ง 6 ตัวจากทั้งหมด 9 ชุด โดยสวิตช์แต่ละกลุ่มที่เลือกจะขึ้นอยู่กับแต่ละระลอกคลื่นซึ่งมีจำนวนทั้งหมด 6 ระลอกคลื่นที่แตกต่างกันใน 1 ไซเคิล พร้อมกับได้นำหลักที่ได้นี้ไปสร้างเครื่องต้นแบบเพื่อใช้ทดลองและนำผลที่ได้จากการทดลองนี้ไปสร้างเป็นแรงดันพีคดับลิวเอ็มเอท์พุทที่มีอัตราส่วนแรงดันต่อความถี่เอาท์พุทที่มีค่าคงที่โดยที่สามารถปรับขนาดของแรงดันเอาท์พุทได้จากค่าของดิวิตีเรโซ



รูปที่ 3.1 การต่อสวิตช์ 9 ตัวเชื่อมระหว่างแหล่งจ่ายไฟ 3 เฟสกับมอเตอร์ 3 เฟสโดยตรง

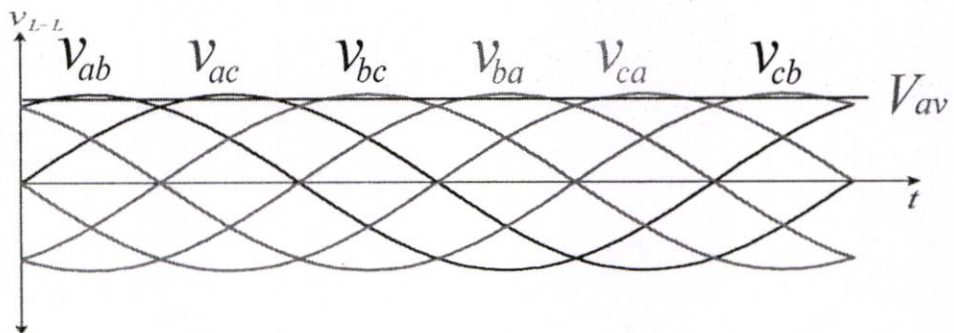
### 3.2 ความสัมพันธ์ระหว่างแรงดันอินพุทกับสวิตช์ควบคุม

เพื่อให้เข้าใจหลักการทำงานของ AC – AC Matrix Converter ได้ง่ายขึ้น โดยหลักการของ Matrix Converter นี้จะป้อนแรงดัน 3 เฟส  $V_a, V_b, V_c$  ทางด้านซ้ายของ Matrix Converter ซึ่งประกอบด้วยสวิตช์ในแถวที่ 1 คือ  $S_1, S_2, S_3$  สวิตช์ในแถวที่ 2 คือ  $S_4, S_5, S_6$  และสวิตช์ในแถวที่ 3 คือ  $S_7, S_8, S_9$  และเมื่อเพิ่มแรงดันเฟส a ( $V_a$ ) และแรงดันเฟส b ( $V_b$ ) เข้าทางด้านซ้ายดังแสดง



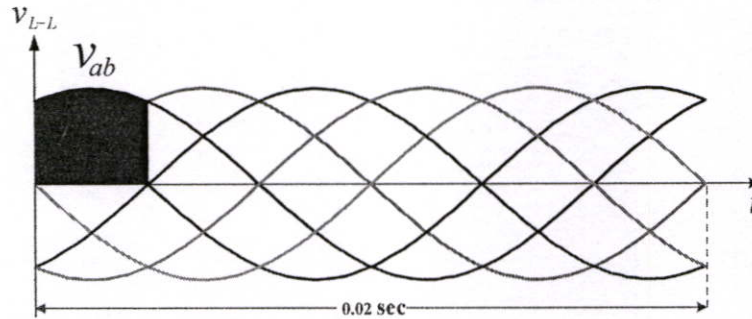
รูปที่ 3.2 วงจรสวิตช์เมตริกซ์คอนเวอร์เตอร์

ด้วยเส้นประอีก 2 เฟสเพื่อป้อนสวิตช์ชุดเดิมของแต่ละเฟสก็จะได้สวิตช์เป็นจำนวนรวม 5 แถวในบล็อกสี่เหลี่ยมสวิตช์ดังรูปที่ 3.2 ซึ่งจะทำหน้าที่ในการตัดต่อแรงดันเฟส  $V_a, V_b, V_c, V_a, V_b$  จากอินพุทด้านซ้ายให้มาออกเป็นแรงดันเอาต์พุท  $V_A, V_B, V_C$  ที่อยู่ในบริเวณส่วนล่างของสวิตช์โดยแรงดันไลน์ทูไลน์  $V_{ab}, V_{ac}, V_{bc}, V_{ba}, V_{ca}, V_{cb}$  จำนวนรวม 6 ระลอก



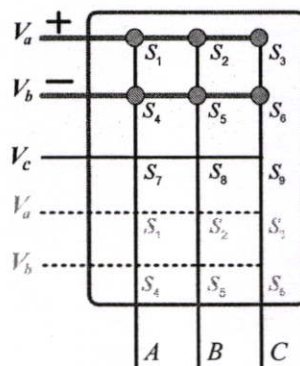
รูปที่ 3.3 แรงดันเฉลี่ย  $V_{av}$  ในช่วงเวลา 1 ไซเคิล

ซึ่งมีช่วงมุมระลอกละ 60 องศา นั้นประกอบขึ้นจากแรงดันแหล่งจ่าย 3 เฟส 50 Hz จะมีช่วงละ 60 องศาต่อ 1 ระลอก มีทั้งหมด 6 ช่วง ดังรูปที่ 3.3 เพื่อเรียงกันเป็นแรงดัน dc ที่มีระดับแรงดันสูงสุดเมื่อเทียบกับ จากรูปที่ 3.4 ซึ่งเป็นระลอกคลื่นที่ 1 ในช่วง 60° จะเป็นระลอกคลื่นที่แรงดันไลน์ทูไลน์  $V_{ab}$  มีค่าสูงสุดเมื่อเทียบกับระลอกอื่นอีก 5 ระลอก โดยที่  $V_a$  สูงกว่า  $V_b$



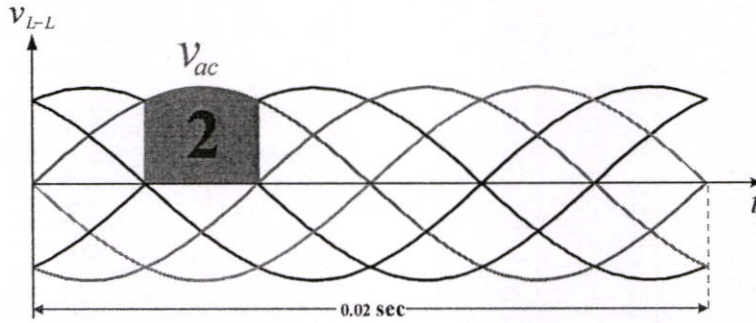
รูปที่ 3.4 แสดงช่วงที่แรงดัน  $V_{ab}$  มีค่าสูงสุด

เมื่อแรงดันไลน์ทูไลน์  $V_{ab}$  มีค่าสูงที่สุดทำให้กลุ่มของสวิตช์ที่เกี่ยวข้องกับเฟส  $V_a$  และ  $V_b$  ถูกเลือกให้ทำงานในช่วงนี้โดยสวิตช์ที่เกี่ยวข้องกับแรงดันเฟส  $V_a$  คือ  $S_1, S_2, S_3$  และสวิตช์เกี่ยวข้องกับ  $V_b$  คือ  $S_4, S_5, S_6$  พร้อมทั้งจะทำงานในลักษณะเหมือนกับอินเวอร์เตอร์โดยทั่วไป ส่วนสวิตช์อีก 3 ชุดที่เหลือจะไม่มีการทำงานในระลอกคลื่นนี้ สวิตช์ที่ทำงานแทนด้วยจุดกลมและสวิตช์ที่ไม่ทำงานจะไม่มีจุดกลมดังแสดงในรูปที่ 3.5 ดังนั้นในระลอกที่ 1 ซึ่งเป็นแรงดัน  $V_{ab}$  เข้ามาทางด้านไลน์  $V_a$  และ  $V_b$  เฉพาะสวิตช์  $S_1, S_2, S_3, S_4, S_5, S_6$  เท่านั้นที่จะมีโอกาสทำงาน



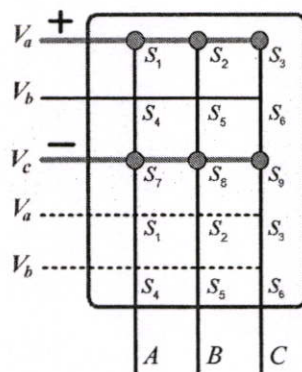
รูปที่ 3.5 แสดงกลุ่มสวิตช์ที่ถูกเลือกเพื่อทำงานในระลอกคลื่น  $V_{ab}$  สูงสุด

จากรูปที่ 3.6 แรงดันเฟส  $V_a$  มีค่าเป็นบวกและแรงดันเฟส  $V_c$  มีค่าเป็นลบ ดังนั้นระลอกคลื่นที่มีค่าสูงที่สุดคือแรงดันไลน์ทูไลน์  $V_{ac}$  ซึ่งในช่วง 60 องศาแรงดันไลน์ทูไลน์  $V_{ac}$  จะทำหน้าที่เป็นแหล่งจ่ายไฟให้กับชุดคอนเวอร์เตอร์แทนแรงดันไลน์ทูไลน์  $V_{ac}$



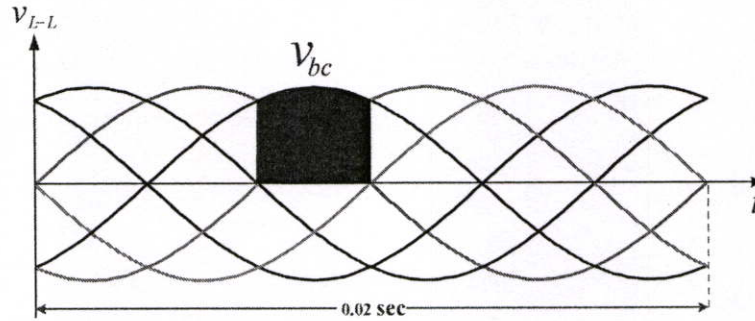
รูปที่ 3.6 แสดงช่วงที่แรงดัน  $V_{ac}$  มีค่าสูงสุด

เมื่อแรงดันไลน์ทูไลน์  $V_{ac}$  มีค่าสูงที่สุดทำให้กลุ่มของสวิตช์ที่เกี่ยวข้องกับเฟส  $V_a$  และ  $V_c$  ถูกเลือกให้ทำงานในช่วงนี้โดยสวิตช์ที่เกี่ยวข้องกับแรงดันเฟส  $V_a$  คือ  $S_1, S_2, S_3$  และสวิตช์เกี่ยวข้องกับ  $V_c$  คือ  $S_7, S_8, S_9$  พร้อมทั้งจะทำงานในลักษณะเช่นเดียวกับอินเวอร์เตอร์โดยทั่วไปส่วนสวิตช์อีก 3 ชุดที่เหลือจะไม่มีการทำงานในระลอกคลื่นนี้สวิตช์ที่ทำงานแทนด้วยจุดกลมและสวิตช์ที่ไม่ทำงานจะไม่มีจุดกลมดังแสดงในที่ 3.7 ดังนั้นในระลอกที่ 2 ซึ่งเป็นแรงดัน  $V_{ac}$  เข้ามาทางด้านไลน์  $V_a$  และ  $V_c$  เฉพาะสวิตช์  $S_1, S_2, S_3, S_7, S_8, S_9$  เท่านั้นที่จะมีโอกาสทำงาน



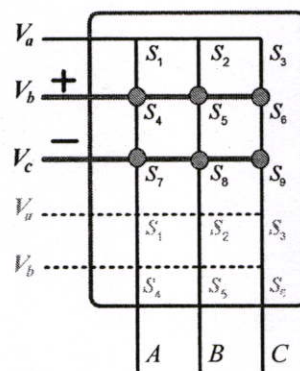
รูปที่ 3.7 แสดงกลุ่มสวิตช์ที่ถูกเลือกเพื่อทำงานในระลอกคลื่น  $V_{ac}$  สูงสุด

จากรูปที่ 3.8 แรงดันเฟส  $V_b$  มีค่าเป็นบวกและแรงดันเฟส  $V_c$  มีค่าเป็นลบ ดังนั้นระลอกคลื่นที่มีค่าสูงที่สุดคือแรงดันไลน์ทูไลน์  $V_{bc}$  ซึ่งในช่วง 60 องศาที่แรงดันไลน์ทูไลน์  $V_{bc}$  จะทำหน้าที่เป็นแหล่งจ่ายไฟให้กับชุดคอนเวอร์เตอร์



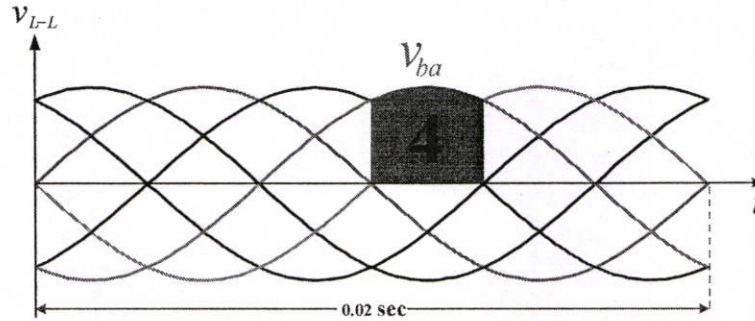
รูปที่ 3.8 แสดงช่วงที่แรงดัน  $V_{bc}$  มีค่าสูงสุด

เมื่อแรงดันไลน์ทูไลน์  $V_{bc}$  มีค่าสูงที่สุดทำให้กลุ่มของสวิตช์ที่เกี่ยวข้องกับเฟส  $V_b$  และ  $V_c$  ถูกเลือกให้ทำงานในช่วงนี้โดยสวิตช์ที่เกี่ยวข้องกับแรงดันเฟส  $V_b$  คือ  $S_4, S_5, S_6$  และสวิตช์ที่เกี่ยวข้องกับ  $V_c$  คือ  $S_7, S_8, S_9$  พร้อมทั้งจะทำงานในลักษณะเช่นเดียวกับอินเวอร์เตอร์โดยทั่วไปส่วนสวิตช์อีก 3 ชุดที่เหลือจะไม่มีการทำงานในระลอกคลื่นนี้สวิตช์ที่ทำงานแทนด้วยจุดกลมและสวิตช์ที่ไม่ทำงานจะไม่มีจุดกลมดังแสดงในที่ 3.9 ดังนั้นในระลอกที่ 3 ซึ่งเป็นแรงดัน  $V_{bc}$  เข้ามาทางด้านไลน์  $V_b$  และ  $V_c$  เฉพาะสวิตช์  $S_4, S_5, S_6, S_7, S_8, S_9$  เท่านั้นที่จะมีโอกาสทำงาน



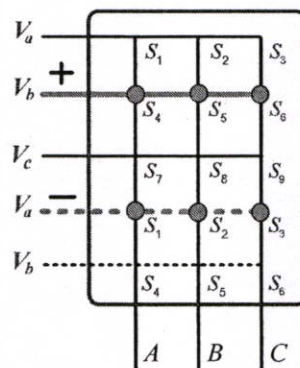
รูปที่ 3.9 แสดงกลุ่มสวิตช์ที่ถูกเลือกเพื่อทำงานในระลอกคลื่น  $V_{bc}$  สูงสุด

จากรูปที่ 3.10 แรงดันเฟส  $V_b$  มีค่าเป็นบวกและแรงดันเฟส  $V_a$  มีค่าเป็นลบ ดังนั้นระลอกคลื่นที่มีค่าสูงที่สุดคือแรงดันไลน์ทูไลน์  $V_{ba}$  ซึ่งในช่วง 60 องศาแรงดันไลน์ทูไลน์  $V_{ba}$  จะทำหน้าที่เป็นแหล่งจ่ายไฟให้กับชุดคอนเวอร์เตอร์



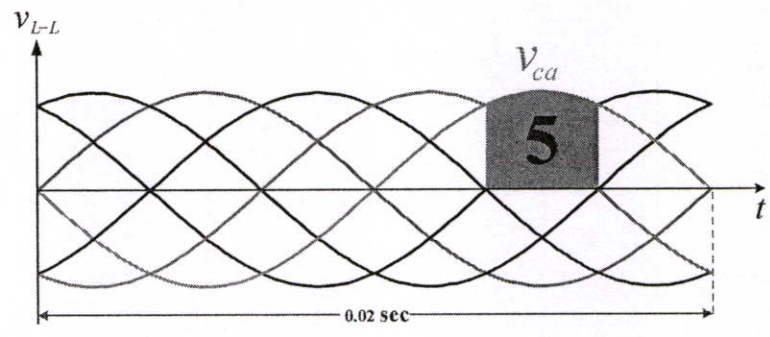
รูปที่ 3.10 แสดงช่วงที่แรงดัน  $V_{ba}$  มีค่าสูงสุด

เมื่อแรงดันไลน์ทูไลน์  $V_{ba}$  มีค่าสูงที่สุดทำให้กลุ่มของสวิตช์ที่เกี่ยวข้องกับเฟส  $V_b$  และ  $V_a$  ถูกเลือกให้ทำงานในช่วงนี้โดยสวิตช์ที่เกี่ยวข้องกับแรงดันเฟส  $V_b$  คือ  $S_4, S_5, S_6$  และสวิตช์ที่เกี่ยวข้องกับ  $V_a$  คือ  $S_1, S_2, S_3$  พร้อมทั้งจะทำงานในลักษณะเช่นเดียวกับอินเวอร์เตอร์โดยทั่วไปส่วนสวิตช์อีก 3 ชุดที่เหลือจะไม่มีการทำงานในระลอกคลื่นนี้สวิตช์ที่ทำงานแทนด้วยจุดกลมและสวิตช์ที่ไม่ทำงานจะไม่มีจุดกลมดังแสดงในที่ 3.11 ดังนั้นในระลอกที่ 4 ซึ่งเป็นแรงดัน  $V_{ba}$  เข้ามาทางด้านไลน์  $V_b$  และ  $V_a$  เฉพาะสวิตช์  $S_4, S_5, S_6, S_1, S_2, S_3$  เท่านั้นที่จะมีโอกาสทำงาน



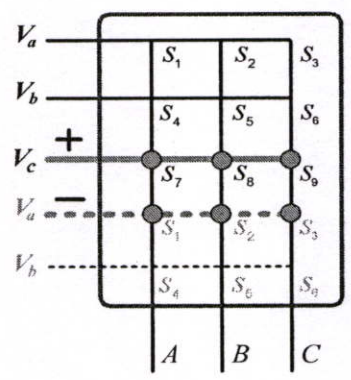
รูปที่ 3.11 แสดงกลุ่มสวิตช์ที่ถูกเลือกเพื่อทำงานในระลอกคลื่น  $V_{ba}$  สูงสุด

จากรูปที่ 3.12 แรงดันเฟส  $V_c$  มีค่าเป็นบวกและแรงดันเฟส  $V_a$  มีค่าเป็นลบ ดังนั้นระลอกคลื่นที่มีค่าสูงที่สุดคือแรงดันไลน์ทูไลน์  $V_{ca}$  ซึ่งในช่วง 60 องศาแรงดันไลน์ทูไลน์  $V_{ca}$  จะทำหน้าที่เป็นแหล่งจ่ายไฟให้กับชุดคอนเวอร์เตอร์



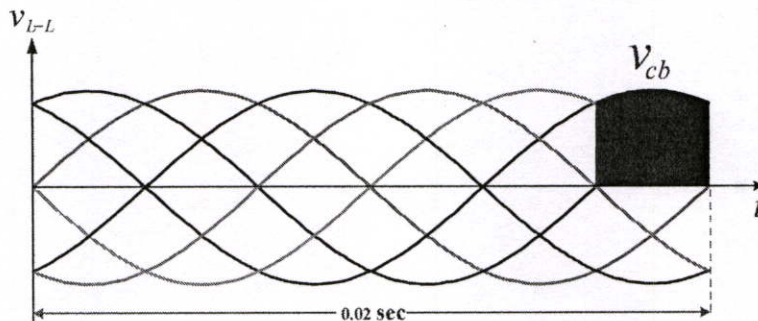
รูปที่ 3.12 แสดงช่วงที่แรงดัน  $V_{ca}$  มีค่าสูงสุด

เมื่อแรงดันไลน์ทูไลน์  $V_{ca}$  มีค่าสูงที่สุดทำให้กลุ่มของสวิตช์ที่เกี่ยวข้องกับเฟส  $V_c$  และ  $V_a$  ถูกเลือกให้ทำงานในช่วงนี้โดยสวิตช์ที่เกี่ยวข้องกับแรงดันเฟส  $V_c$  คือ  $S_7, S_8, S_9$  และสวิตช์ที่เกี่ยวข้องกับ  $V_a$  คือ  $S_1, S_2, S_3$  พร้อมทั้งจะทำงานในลักษณะเช่นเดียวกับอินเวอร์เตอร์โดยทั่วไปส่วนสวิตช์อีก 3 ชุดที่เหลือจะไม่มีการทำงานในระลอกคลื่นสวิตช์ที่ทำงานแทนด้วยจุดกลมและสวิตช์ที่ไม่ทำงานจะไม่มีจุดกลมดังแสดงในที่ 3.13 ดังนั้นในระลอกที่ 5 ซึ่งเป็นแรงดัน  $V_{ca}$  เข้ามาทางด้านไลน์  $V_c$  และ  $V_a$  เฉพาะสวิตช์  $S_7, S_8, S_9, S_1, S_2, S_3$  เท่านั้นที่จะมีโอกาสทำงาน



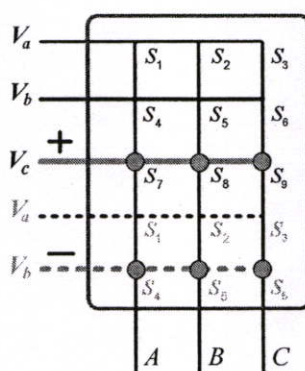
รูปที่ 3.13 แสดงกลุ่มสวิตช์ที่ถูกเลือกเพื่อทำงานในระลอกคลื่น  $V_{ca}$  สูงสุด

จากรูปที่ 3.14 แรงดันเฟส  $V_c$  มีค่าเป็นบวกและแรงดันเฟส  $V_b$  มีค่าเป็นลบ ดังนั้นระลอกคลื่นที่มีค่าสูงที่สุดคือแรงดันไลน์ทูไลน์  $V_{cb}$  ซึ่งในช่วง 60 องศาแรงดันไลน์ทูไลน์  $V_{cb}$  จะทำหน้าที่เป็นแหล่งจ่ายไฟให้กับชุดคอนเวอร์เตอร์

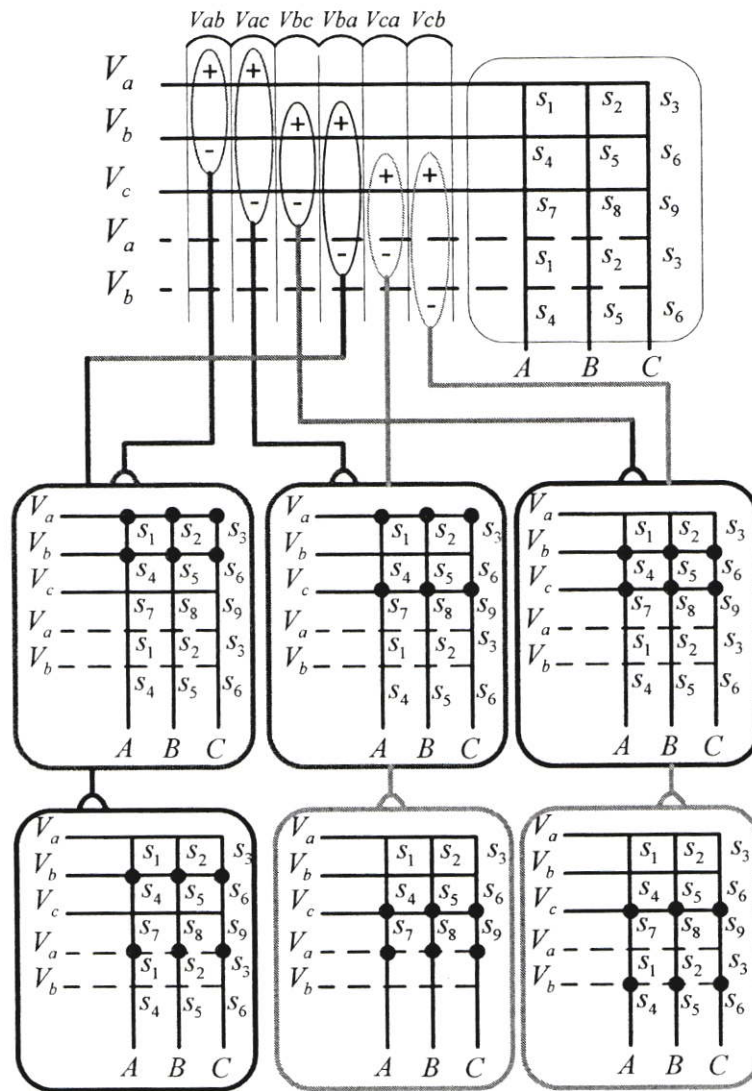


รูปที่ 3.14 แสดงช่วงที่แรงดัน  $V_{cb}$  มีค่าสูงสุด

เมื่อแรงดันไลน์ทูไลน์  $V_{cb}$  มีค่าสูงที่สุดทำให้กลุ่มของสวิตช์ที่เกี่ยวข้องกับเฟส  $V_c$  และ  $V_b$  ถูกเลือกให้ทำงานในช่วงนี้โดยสวิตช์ที่เกี่ยวข้องกับแรงดันเฟส  $V_c$  คือ  $S_7, S_8, S_9$  และสวิตช์ที่เกี่ยวข้องกับ  $V_b$  คือ  $S_4, S_5, S_6$  พร้อมทั้งจะทำงานในลักษณะเช่นเดียวกับอินเวอร์เตอร์โดยทั่วไปส่วนสวิตช์อีก 3 ชุดที่เหลือจะไม่มีการทำงานในระลอกคลื่นนี้สวิตช์ที่ทำงานแทนด้วยจุดกลมและสวิตช์ที่ไม่ทำงานจะไม่มีจุดกลมดังแสดงในที่ 3.20 ดังนั้นในระลอกที่ 6 ซึ่งเป็นแรงดัน  $V_{cb}$  เข้ามาทางด้านไลน์  $V_c$  และ  $V_b$  เฉพาะสวิตช์  $S_7, S_8, S_9, S_4, S_5, S_6$  เท่านั้นที่จะมีโอกาทำงาน



รูปที่ 3.15 แสดงสวิตช์ที่เกี่ยวข้องกับแรงดันเฟส  $V_c$  และ  $V_b$

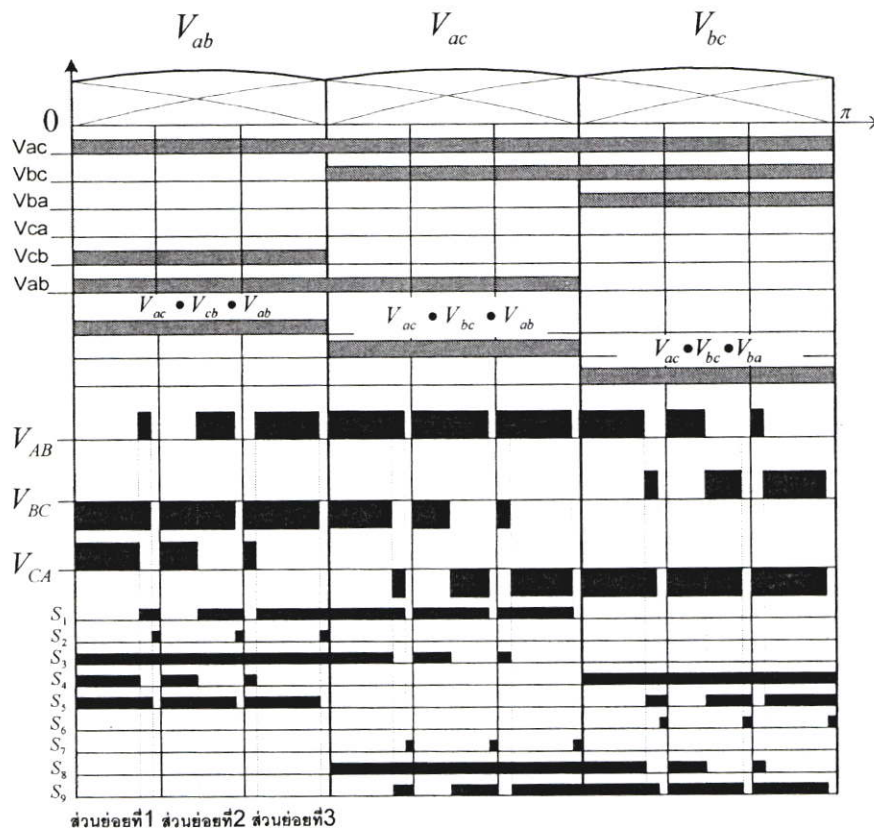


รูปที่ 3.16 หลักการพิจารณาเลือก 6 สวิตช์ออกจากจำนวน 9 สวิตช์ของ Matrix Converter

จากความสัมพันธ์ระหว่างแรงดันอินพุตกับสวิตช์ควบคุมดังรูปที่ 3.16 สามารถสรุปได้ว่าในระลอกที่ 1 ซึ่งเป็นแรงดัน  $V_{ab}$  เข้ามาทางด้านไลน์  $V_a$  และ  $V_b$  เฉพาะสวิตช์  $S_1, S_2, S_3, S_4, S_5, S_6$  เท่านั้นที่จะมีโอกาทำงาน ดังแสดงด้วยรูป 3.16 (ก) ในไดอะแกรมส่วนล่าง และเมื่อแรงดันไลน์ทุไลน์ในระลอกที่ 2,3,4,5,6 ดังแสดงด้วยรูป 3.16 (ข),(ค),(ง),(จ),(ฉ) เข้ามาในลำดับถัดๆ ไปจนครบ Cycle ก็จะมีสวิตช์อื่นๆ ที่จะมีโอกาทำงานได้ครั้งละ 6 ตัวเช่นกัน ดังแสดงในส่วนล่างของไดอะแกรมด้วยรูปที่ 3.16(ข), (ค), (ง), (จ) และ (ฉ) ตามลำดับในไดอะแกรมส่วนล่าง

### 3.3 หลักการออกแบบคลื่นแรงดันพีคดับลิแอมเอาท์พุทแบบพัลส์ไม่เท่า (SPWM)

การคำนวณแรงดันเอาท์พุท  $V_{o,1}$  สำหรับกรณีคลื่นรูปแบบพัลส์ไม่เท่า (SPWM) การคำนวณแรงดันเอาท์พุท  $V_{o,1}$  ในกรณีนี้สามารถทำได้โดย การกำหนดรูปแบบคลื่นแรงดันพีคดับลิแอมเอาท์พุทในแต่ละเฟส ซึ่งต้องมีลักษณะเดียวกันแต่จะมีมุมต่างเฟสต่างกันชุดละ 120 องศา โดยในวิทยานิพนธ์นี้ได้มีจำนวน 9 พัลส์เท่ากันในช่วงครึ่งไซเคิลหรือ 18 Pulse ในหนึ่งไซเคิลของความถี่ 50 Hz ที่ค่าคัตออฟเรโซของพัลส์ซึ่งกำหนดให้เท่ากับ 0.9 โดยสามารถคำนวณหาค่าความถี่สวิตช์ซึ่งของวงจรนี้ได้เท่ากับ  $18 \times 50 = 900$  Hz โดยจะปรับคัตออฟเรโซไว้ที่ค่าสูงสุดเท่ากับ 0.9 ลักษณะคลื่นพีคดับลิแอมเอานี้สามารถนำมาพิจารณาพร้อมกับระลอกคลื่นทั้ง 6 ของแรงดันไลน์ที่มีในหนึ่งไซเคิลของแรงดันแหล่งจ่าย 50 Hz



รูปที่ 3.17 พีคดับลิแอมเอานแบบพัลส์ไม่เท่า (SPWM) 18 pulse ซีกบวก

เพื่อใช้ในการกำหนดลักษณะรูปแบบของสัญญาณควบคุมของสวิตช์ทั้ง 6 ที่ได้เลือกไว้แล้วด้วยกำหนดรูปแบบขึ้นในลักษณะดังแสดงด้วยคลื่นแรงดันไลน์ทุไลน์  $V_{AB}, V_{BC}, V_{CA}$  ดังในส่วนบนของรูปที่ แรงดันไลน์แต่ละระลอกในวงจร Matrix Converter ที่นำเสนอ โดยในการออกแบบสัญญาณควบคุมในแต่ละ

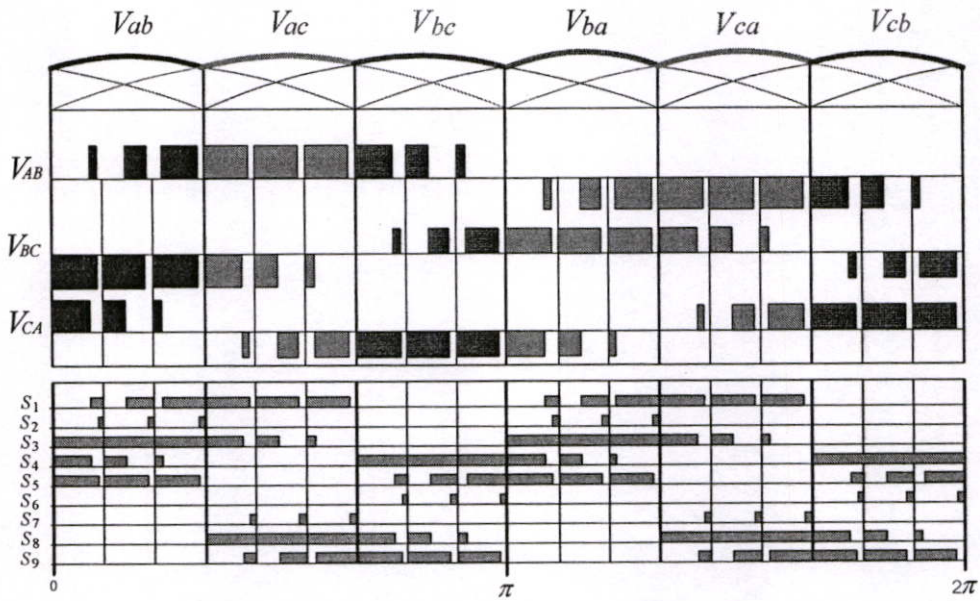
ไซเคลสามารถแบ่งออกได้เป็น 6 ส่วน โดยแต่ละส่วนจะตรงกับช่วงแต่ละระลอกคลื่นทั้ง 6 และแต่ละส่วนจะมีการพิจารณาที่เหมือนกัน ดังนั้นในการพิจารณาจะกล่าวถึงการออกแบบเฉพาะในระลอกคลื่นที่ 1 ซึ่งเป็นของแรงดันไลน์ทุไลน์  $V_{ab}$  เท่านั้น ในหนึ่งระลอกคลื่นของแรงดันไลน์  $V_{ab}$ ,  $V_{bc}$ ,  $V_{ca}$  ปรากฏว่าสามารถแบ่งออกเป็นส่วนย่อยๆ ได้ 3 ส่วน โดยมีอัตราส่วนจากส่วนย่อยที่ 1 ถึงส่วนย่อยที่ 3 จะมีค่าเท่ากับ  $[(0.9) \times (0.2) \times 20] : [(0.9) \times (0.5) \times 20] : [(0.9) \times (0.8) \times 20]$  โดยที่ค่า 0.9 เป็นคิวดั้เรโซ ของพีคดับลิวเอ็่ม ที่เลือกกำหนดไว้ในกรณีนี้ สำหรับในส่วนย่อยที่ 1 ซึ่งมีช่วงคิวดั้เรโซของพีคดับลิวเอ็่ม เท่ากับ  $0.1 \times 20 = 2$  องศา ในขณะที่แรงดัน  $V_{AB}$  มีค่าเป็นศูนย์,  $V_{BC}$  มีค่าเป็นลบ และ  $V_{CA}$  มีค่าเป็นบวกสวิทซ์ทั้ง 6 ที่เลือกไว้จะทำงานเพียง 3 ตัวคือ  $S_3, S_4, S_5$  ดังนั้นในช่วงนี้สวิทซ์ทั้ง 3 จะต้องมีสัญญาณพัลส์พีคดับลิวเอ็่ม เข้ามาดังแสดงในรูปที่ 7 ต่อไปสำหรับในส่วนย่อยที่ 2 ซึ่งมีช่วงคิวดั้เรโซของพีคดับลิวเอ็่ม เท่ากับ  $0.9 \times 0.5 \times 20 = 7.2$  องศา ในขณะที่แรงดัน  $V_{AB}$  มีค่าเป็นบวก,  $V_{BC}$  มีค่าเป็นลบ และ  $V_{CA}$  มีค่าเป็นศูนย์ สวิทซ์ทั้ง 6 ที่เลือกไว้จะทำงานเพียง 3 ตัวคือ  $S_1, S_3, S_5$  เพื่อให้ได้แรงดันไลน์ 3 phase ตามที่กำหนด ดังนั้นในช่วงนี้สวิทซ์ทั้ง 3 จะต้องมีสัญญาณพัลส์ เข้ามาดังแสดงในรูปที่ 3.22 ในส่วนสุดท้ายซึ่งเป็นส่วนย่อยที่ 3 นั้นมีช่วงพีคดับลิวเอ็่มเท่ากับ  $0.9 \times 0.8 \times 20 = 14.4$  องศา ในขณะที่แรงดัน  $V_{AB}$  มีค่าเป็นศูนย์,  $V_{BC}$  มีค่าเป็นศูนย์และ  $V_{CA}$  มีค่าเป็นศูนย์ สวิทซ์ทั้ง 6 ที่เลือกไว้จะทำงานเพียง 3 ตัวคือ  $S_1, S_2, S_3$  เพื่อให้ได้แรงดัน ไลน์ 3 phase ตามที่กำหนด ดังนั้นในช่วงนี้สวิทซ์ทั้ง 3 จะต้องมีสัญญาณ Pulse เข้ามาดังแสดงในรูปที่ 3.22 ในส่วนที่ 2 และ 3 ซึ่งต่างมีช่วงระยะมุม 20 องศา นั้นจะมีรูปแบบของแรงดัน PWM เหมือนในส่วนที่ 1 ทุกประการ ดังนั้นการพิจารณาจะเริ่มต่อด้วยส่วนที่ 4 ซึ่งมีช่วงระยะมุม 20 องศา เช่นกันแต่เนื่องจากขั้นตอนการพิจารณาจะเหมือนการพิจารณาในส่วนที่ 1 ทุกประการ

### 3.4 การทำงานของสวิทซ์ทั้ง 6 ชุดแบบพัลส์ไม่เท่า (SPWM)

ในแต่ละระลอกคลื่นแรงดันไลน์ที่ความถี่คลื่นแรงดันเอาท์พุทเท่ากับ 50 Hz จะมีค่าเท่ากับ 6 ระลอกคลื่นของแรงดันไลน์ทุไลน์  $V_{ab}, V_{ac}, V_{bc}, V_{ba}, V_{ca}, V_{cb}$  ด้านอินพุทเนื่องจากมีความถี่ 50 Hz เท่ากันดังนั้นแรงดันพีคดับลิวเอ็่มเอาท์พุทที่ความถี่เท่ากับ 50 Hz จึงมี 6 ระลอกคลื่นซึ่งในแต่ละระลอกคลื่นสวิทซ์จะทำงานครั้งละ 6 ชุด

#### 3.4.1 การทำงานในช่วงระลอกคลื่นแรงดันไลน์ $V_{ab}$ ที่มีค่าสูงสุด

ในระลอกคลื่นที่  $V_{ab}$  มีค่าสูงสุดที่สุดจะมีสวิทซ์ที่ทำงานคือ  $S_1, S_2, S_3, S_4, S_5, S_6$  ดังรูปที่ 3.18 ในส่วนล่างส่วนบนจะเป็นแรงดันพีคดับลิวเอ็่มเอาท์พุทที่ได้

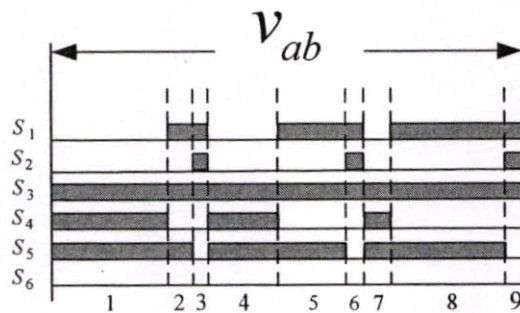


รูปที่ 3.18 สัญญาณควบคุมสวิตช์ 9 สวิตช์ในช่วง 1 ไซเคิลของแรงดันเอาต์พุต 50 Hz

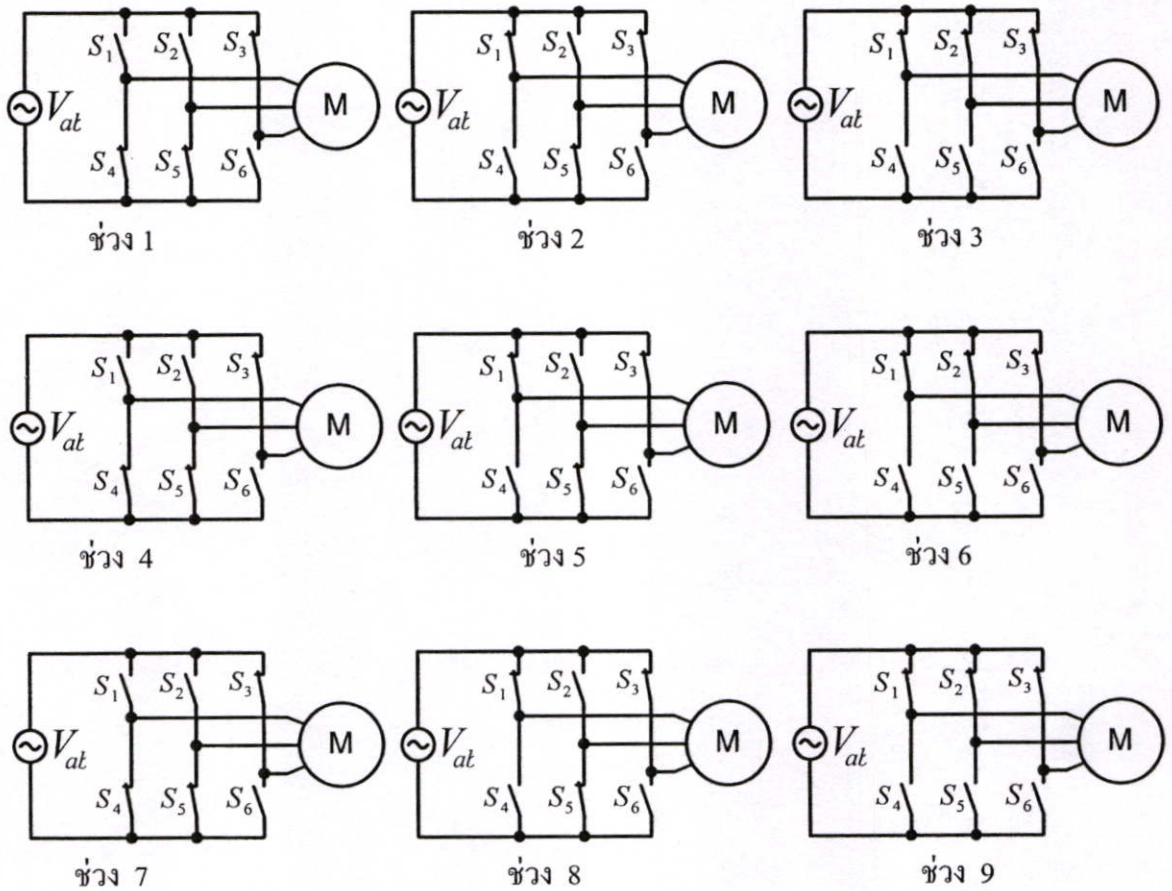
ในช่วงที่  $S_1, S_2, S_3, S_4, S_5, S_6$  ทำงานนั้นจะมีการทำงานเหมือนกับอินเวอร์เตอร์ที่ใช้ไฟตรงเรียบจะอธิบายได้ดังนี้ จากรูปที่ 3.19 เป็นแรงดันช่วง  $V_{ab}$  ที่มีการแบ่งเป็นช่วงของการสวิตช์ได้ 9 ช่วงในแต่ละช่วงก็จะมีการทำงานของสวิตช์เพียงครั้งละ 3 ตัวเท่านั้น

ในช่วงที่ 1 สวิตช์ที่ทำงานประกอบไปด้วย  $S_3, S_4, S_5$  ที่ทำงานส่งผลให้แรงดันเอาต์พุต  $V_{AB}$  มีค่าเป็นศูนย์  $V_{BC}$  มีค่าเป็นลบและ  $V_{CA}$  มีค่าเป็นบวก

ในช่วงที่ 2 สวิตช์ที่ทำงานประกอบไปด้วย  $S_1, S_3, S_5$  ที่ทำงานส่งผลให้แรงดันเอาต์พุต  $V_{AB}$  มีค่าเป็นบวก  $V_{BC}$  มีค่าเป็นลบและ  $V_{CA}$  มีค่าเป็นบวก



รูปที่ 3.19 สัญญาณควบคุมสวิตช์ 6 สวิตช์ในระลอกคลื่นแรงดันไลน์  $V_{ab}$



รูปที่ 3.20 การทำงานของสวิตช์ 6 สวิตช์ในช่วงที่ 1-9 ของระลอกคลื่นแรงดันไลน์  $V_{ab}$

จากรูปที่ 3.19 เป็นสัญญาณควบคุมสวิตช์ในระลอกคลื่นที่แรงดันไลน์  $V_{ab}$  มีค่าสูงที่สุดในระลอกคลื่นนี้ จะแบ่งเป็นทั้งหมด 9 ช่วงตามจังหวะการทำงาน โดยจะเรียงลำดับจากช่วงที่ 1 ถึง 9 ในช่วงที่ 1 นั้นจะมีสวิตช์ที่ทำงานดังนี้คือ  $S_3, S_4, S_5$  ในช่วงที่ 2 จะมีสวิตช์ที่ทำงานดังนี้คือ  $S_3, S_1, S_5$  ในช่วงที่ 3 จะมีสวิตช์ที่ทำงานดังนี้คือ  $S_1, S_2, S_3$  และจะทำงานเรียงลำดับไปจนถึงช่วงที่ 9 ซึ่งจบช่วงของระลอกคลื่น  $V_{ab}$  ดังรูปที่ 3.26 เป็นการแสดงตำแหน่งของสวิตช์โดยในช่วงของระลอกคลื่น  $V_{ab}$  การทำงานของสวิตช์ทั้ง 6 เพียง 3 รูปดังนี้ในช่วงเวลาที่ 1,4,7 จะใช้รูปแบบในรูปที่ 3.20 ด้านซ้าย ในช่วงเวลาที่ 2,5,8 จะใช้รูปแบบในรูปที่ 3.20 กลางและในช่วงเวลาที่ 3,6,9 จะใช้รูปแบบในรูปที่ 3.20 ด้านขวาในระลอกคลื่นถัดไปก็จะมีระลอกคลื่นละ 9 ช่วงตามจังหวะการทำงานดังในรูปที่ 3.24 และสวิตช์ 6 ชุดต่อไปจะเข้ามาทำงานแทนไปที่ละระลอกจนจบไซเคิล

### 3.5 สรุป

ในบทนี้ได้อธิบายถึงลักษณะการต่อสวิตช์ทั้ง 9 ชุดซึ่งจะต่อโดยตรงระหว่างแหล่งจ่ายไฟ 3 เฟสไปยังมอเตอร์ในลักษณะ  $3 \times 3$  ในเฟส  $V_a$  จะด้วยสวิตช์  $S_1, S_2, S_3$  ในเฟส  $V_b$  จะด้วยสวิตช์  $S_4, S_5, S_6$  และในเฟส  $V_c$  จะด้วยสวิตช์  $S_7, S_8, S_9$  ซึ่งสวิตช์ทั้ง 9 ตัวนี้จะทำงานครั้งละเพียง 6 ตัวเท่านั้นขึ้นอยู่กับระลอกของแรงดันโวลต์โวลต์ด้านอินพุตเช่น ระลอกคลื่นที่ 1 ซึ่งเป็นแรงดัน  $V_{ab}$  เข้ามาเฉพาะสวิตช์  $S_1, S_2, S_3, S_4, S_5, S_6$  ที่จะมีโอกาสที่จะทำงาน และในระลอกอื่นก็จะทำงานเรียงลำดับไป จากนั้นได้มีการออกแบบสัญญาณควบคุมสวิตช์ทั้ง 6 ตัวที่ได้เลือกไว้ในรูปแบบพัลส์เท่า (EPWM) และรูปแบบพัลส์ไม่เท่า (SPWM) ในตอนท้ายได้แสดงการทำงานของสวิตช์ทั้ง 6 ตามที่ได้ออกแบบไว้

## บทที่ 4

# การคำนวณทางคณิตศาสตร์ของวงจรเมตริกซ์คอนเวอร์เตอร์ แบบพัลส์เท่า(EPWM) และพัลส์ไม่เท่า (SPWM)

### 4.1 บทนำ

การคำนวณแรงดันพินคาเมนทอลเอาต์พุต  $V_{o,1}$  สำหรับกรณีคลื่นรูปแบบพัลส์เท่า (EPWM) สามารถทำได้โดยใช้สมการอนุกรมฟูเรียร์ ซึ่งเป็นสมการที่เกิดจากการรวมกันของสัญญาณที่มีความถี่ต่างๆ ในการที่จะนำสมการอนุกรมฟูเรียร์มาใช้ในการคำนวณหาแรงดันเอาต์พุต  $V_{o,1}$  ในกรณีนี้สามารถทำได้โดยการตั้งช่วงอินทิเกรตแรงดันแต่ละพัลส์เพื่อให้ได้องค์ประกอบทั้งหมดของสมการดังสมการที่ (4.1) ซึ่งในพัลส์พีดับบลิวแบบพัลส์เท่าจะมีขนาดกว้างเท่ากันทุกพัลส์ทั้งสี่เหลี่ยมพีดับบลิวเอ็มแบบพัลส์ไม่เท่า(SPWM) นั้นสามารถหาได้เช่นเดียวกันต่างกันที่แต่ละพัลส์จะมีขนาดที่แตกต่างกันตามระดับของคิวตี้เรโซลชั่นแรงดันเอาต์พุต

### 4.2 หลักการนำสมการอนุกรมฟูเรียร์มาใช้หาค่าแรงดันพีดับบลิวเอ็มเอาต์พุต

โดยที่สมการอนุกรมฟูเรียร์เป็นสมการที่ประกอบด้วยสมการฟังก์ชันคู่และฟังก์ชันคี่ซึ่งในทางคณิตศาสตร์คลื่นโคไซน์ (Cosine) จะเป็นฟังก์ชันคู่และคลื่นไซน์ (Sine) จะเป็นฟังก์ชันคี่ประกอบรวมกันหลายๆความถี่และหลายขนาดรวมเข้าด้วยกันจึงเขียนเป็นสมการอนุกรมฟูเรียร์ได้ดังนี้

$$v_{o,n} = a_0 + \sum_{n=1,2,3}^{n=\infty} a_n \cos(n\omega t) + b_n \sin(n\omega t) \quad (4.1)$$

$$a_0 = \frac{1}{T} \int_0^{2\pi} f(t) dt \quad (4.2)$$

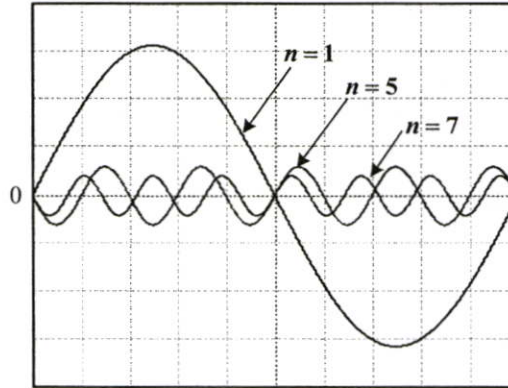
$$a_n = \frac{2}{T} \int_0^{2\pi} f(t) \cos(n\omega t) dt \quad (4.3)$$

$$b_n = \frac{2}{T} \int_0^{2\pi} f(t) \sin(n\omega t) dt \quad (4.4)$$

$V_{o,n}$  คือ แรงดันเอาต์พุตของพีดับบลิวเอ็ม

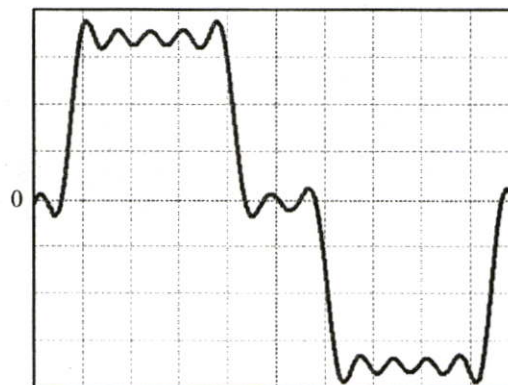
$n$  คือ ลำดับฮาร์โมนิกที่เป็นจำนวนเท่าของความถี่พินคาเมนทอล

การที่จะหาค่า  $V_{o,n}$  ได้นั้นต้องหาขนาดของคลื่น  $a_n$  ที่ความถี่  $n\omega$  ซึ่งเป็นฟังก์ชันคู่และขนาดของคลื่น  $b_n$  ที่ความถี่  $n\omega$  ซึ่งเป็นฟังก์ชันคี่รวมทั้งหมดเป็นจำนวน  $n$  เทอม จากรูปที่ 4.1 เป็นตัวอย่างของรูปคลื่นองค์ประกอบของฮาโมนิกส์ที่ลำดับที่ 1, 5, 7 ของสัญญาณสแควร์เวฟของแรงดันไฟฟ้า 3 เฟส



รูปที่ 4.1 ลำดับฮาโมนิกส์ต่างๆ ของคลื่นแรงดันเอาต์พุต

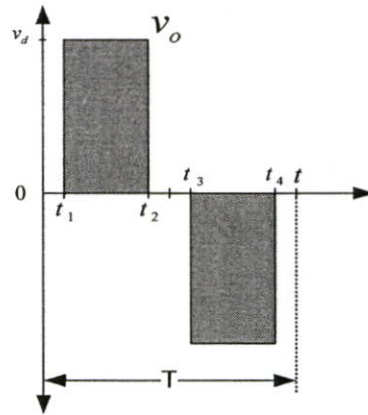
เมื่อนำสัญญาณที่เป็นองค์ประกอบเฉพาะฮาโมนิกส์ในลำดับที่ 1, 5, 7 มารวมกันจะได้ดังรูปที่ 4.2 ซึ่งจะ เป็นรูปสัญญาณที่มีลักษณะคล้ายสแควร์เวฟ 3 เฟส แนวความคิดของสมการอนุกรมฟูเรียร์นั้นก็คือ สัญญาณต่างๆจะเกิดจากองค์ประกอบด้วยสัญญาณรูปคลื่น Sine และรูปคลื่น Cosine หลาย ๆ ตัวมา รวมกัน



รูปที่ 4.2 คลื่นที่เกิดจากฟังก์ชันรวมกัน 3 องค์ประกอบ

จากตัวอย่างนี้มีการนำเอาสัญญาณฮาร์โมนิกส์ในลำดับที่ 1, 5, 7 มารวมกันเพียง 3 ลำดับจึงได้ดังรูปที่ 4.2 และถ้ามีการรวมกันมากเท่าไรก็จะทำให้สัญญาณใกล้เคียงคลื่นสแควร์เวฟขึ้นจนเป็นสัญญาณสแควร์เวฟของไฟฟ้า 3 เฟสในที่สุด

ดังนั้นในรูปคลื่นแรงดันเอาต์พุตที่ดับขั้วก็เช่นเดียวกันก็สามารถที่จะใช้วิธีการหาแรงดันที่ดับขั้วเอ็มเอาต์พุตด้วยสมการอนุกรมฟูเรียร์ได้เช่นกัน จากรูปที่ 4.3 เป็นรูปพัลส์ที่ดับขั้วเอ็มจำนวน 1 พัลส์ที่มีค่าควัตซ์โรเป็น 1.0



รูปที่ 4.3 สัญญาณที่ดับขั้วเอ็ม 1 พัลส์

จะทำการหาแรงดัน  $V_{o,n}$  เริ่มจากการหาค่าองค์ประกอบ  $a_0, a_n, b_n$  ของรูปพัลส์ที่ดับขั้วเอ็มจำนวน 1 พัลส์ที่มีค่าควัตซ์โรเป็น 1.0 โดยเริ่มจากหาค่าองค์ประกอบ  $a_0, a_n, b_n$  ได้จากสมการที่ 4.2, 4.3 และ 4.4 ตามลำดับ จากสมการที่ (4.2) หาค่าองค์ประกอบ  $a_0$  ได้ดังนี้

$$a_0 = \frac{1}{T} \left[ \int_{t_1}^{t_2} v_d dt + \int_{t_3}^{t_4} (-v_d) dt \right]$$

$$a_0 = \frac{v_d - v_d}{T} \quad ; \quad \text{เมื่อ} \quad (t_2 - t_1) = (t_4 - t_3)$$

$$a_0 = 0$$

เมื่อพิจารณาค่าคลื่นแรงดันที่ระดับทวิเอมเอชที่พุทซึกบวทที่มีพัลส์ค่าเป็นบวกและซีกลบที่มีพัลส์ค่าเป็นลบ ซึ่งจะมีขนาดและความกว้างเท่ากันจึงสมมาตรกันนั้นจะทำให้ค่าแรงดันไฟดีซีมีค่าเป็นศูนย์ และทำการหาค่าประกอบ  $a_n$  จากสมการที่ (4.3) ได้ดังนี้

$$\begin{aligned}
 a_n &= \frac{2}{T} \left[ \int_{t_1}^{t_2} v_d \cos(n\omega t) dt + \int_{t_3}^{t_4} (-v_d) \cos(n\omega t) dt \right] \\
 a_n &= \frac{2}{n\omega T} \left[ v_d (\sin(n\omega t_2) - \sin(n\omega t_1)) - v_d (\sin(n\omega t_4) - \sin(n\omega t_3)) \right] \\
 a_n &= \frac{v_d}{n\pi} \left[ (\sin(n\omega t_2) - \sin(n\omega t_1)) - (\sin(n\omega t_4) - \sin(n\omega t_3)) \right]
 \end{aligned} \tag{4.5}$$

จากนี้ได้ทำการหาค่าประกอบ  $b_n$  จากสมการที่ (4.4) หาค่าประกอบ  $b_n$  ได้ดังนี้

$$\begin{aligned}
 b_n &= \frac{2}{T} \left[ \int_{t_1}^{t_2} v_d \sin(n\omega t) dt + \int_{t_3}^{t_4} (-v_d) \sin(n\omega t) dt \right] \\
 b_n &= \frac{2}{n\omega T} \left[ -v_d (\cos(n\omega t_2) - \cos(n\omega t_1)) + v_d (\cos(n\omega t_4) - \cos(n\omega t_3)) \right] \\
 b_n &= -\frac{v_d}{n\pi} \left[ (\cos(n\omega t_2) - \cos(n\omega t_1)) - (\cos(n\omega t_4) + \cos(n\omega t_3)) \right]
 \end{aligned} \tag{4.6}$$

จากสมการที่ (4.1)

$$v_{o,n} = a_0 + \sum_{n=1,2,3}^{n=\infty} [a_n \cos(n\omega t) + b_n \sin(n\omega t)]$$

แทนค่า  $n$  ในสมการที่ (4.1) เพื่อคำนวณหาค่า  $v_{o,1}$

$$v_{o,1} = a_0 + \sum_{n=1} [a_1 \cos(\omega t) + b_1 \sin(\omega t)]$$

$$v_{o,1} = a_1 \cos(\omega t) + b_1 \sin(\omega t)$$

$$v_{o,1} = \left[ \frac{v_d}{n\pi} \left[ (\sin(n\omega t_2) - \sin(n\omega t_1)) - (\sin(n\omega t_4) + \sin(n\omega t_3)) \right] \cos(n\omega t) \right] \\ + \left[ -\frac{2v_d}{n\pi} \left[ (\cos(n\omega t_2) - \cos(n\omega t_1)) - (\cos(n\omega t_4) + \cos(n\omega t_3)) \right] \sin(n\omega t) \right] \quad (4.7)$$

ช่วงเวลาแต่ละช่วงในรูปที่ 4.3 มีค่าเท่ากับ

$$t_1 = \frac{\pi}{6}, \quad t_2 = \frac{5\pi}{6}, \quad t_3 = \frac{7\pi}{6}, \quad t_4 = \frac{11\pi}{6}, \quad t = 2\pi$$

แทนค่าช่วงเวลาต่างๆลงในสมการที่(4.7)

$$v_{o,1} = \left[ \frac{v_d}{\pi} \left[ \left( \sin\left(\frac{5}{6}\pi\right) - \sin\left(\frac{1}{6}\pi\right) \right) - \left( \sin\left(\frac{11}{6}\pi\right) + \sin\left(\frac{7}{6}\pi\right) \right) \right] \cos(\omega t) \right] \\ + \left[ -\frac{v_d}{\pi} \left[ \left( \cos\left(\frac{5}{6}\pi\right) - \cos\left(\frac{1}{6}\pi\right) \right) - \left( \cos\left(\frac{11}{6}\pi\right) + \cos\left(\frac{7}{6}\pi\right) \right) \right] \sin(\omega t) \right]$$

สามารถหาขนาดแรงดันเอาต์พุต  $V_{o,1}$  ได้ดังนี้

$$v_{o,1} = \frac{\sqrt{3}}{\pi} v_d \sin \omega t$$

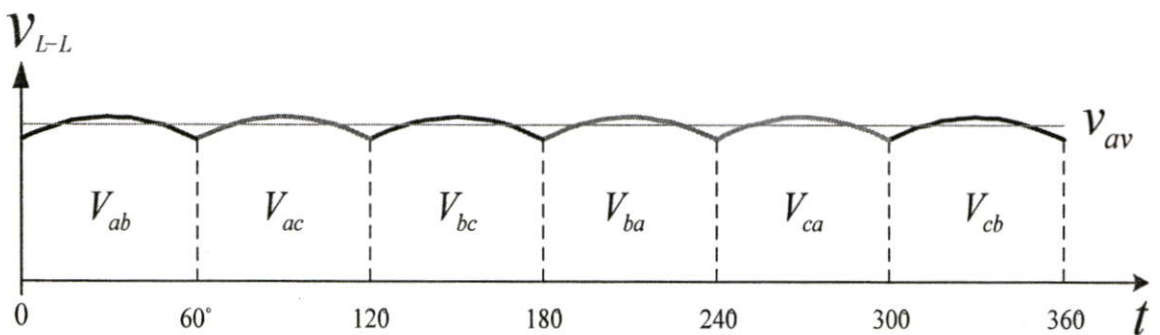
$$V_{o1,peak} = \sqrt{\frac{(\sqrt{3})^2}{\pi^2} (V_d)^2}$$

$$V_{o1,peak} = \sqrt{|a_1|^2 + |b_1|^2}$$

จากสมการที่ (4.7) เมื่อแทนค่าช่วงเวลาต่าง ๆ สามารถอธิบายสัญญาณแรงดันพีคดับลิวิตีเอ็ม ซึ่งสมมาตรกันดังนั้นจึงไม่มีแรงดันดิสทอร์ชันเกิดขึ้นทำให้อัฒกัประกอบของ  $a_0$  มีค่าเท่ากับศูนย์และทำให้อัฒกัประกอบ  $a_n$  เป็นศูนย์ด้วยแต่จะมีเฉพาะองคัประกอบของ  $b_n$  ที่ได้จากการอินทิเกรตแรงดันพีคดับลิวิตีเอ็ม

#### 4.3 หลักการคำนวณและวิธีการหาสมการแรงดันพีคดับลิวิตีเอ็มเอาท์พุท

ตามที่ได้อธิบายไปในบทที่ผ่านมาคอนเวอร์เตอร์ชนิดนี้มีการแปลงไฟฟ้าเพียงขั้นตอนเดียวโดยไม่มีส่วนของแรงดันไฟดิซี ( $V_d$ ) มาขึ้นกลางจึงทำให้แรงดันเอาท์พุทที่ได้นั้นมีค่าแรงดันสูงสุด (Peak) ไม่สม่ำเสมอจากหลักการที่ได้นำเสนอไว้บทที่ 2 ก็จะคิดเป็นค่าเฉลี่ยของระลอกคลื่นซึ่งการคิดค่าเฉลี่ยนี้จะไม่ส่งผลมากนักเนื่องจากการเปลี่ยนแปลงของระลอกคลื่นนั้น เมื่อเปรียบเทียบกับแรงดันสูงสุดถือว่าม้ค่าน้อยในการออกแบบแรงดันพีคดับลิวิตีเอ็มเอาท์พุทนี้จึงคิดแบบเป็นค่าแรงดันเฉลี่ย ( $V_{av}$ ) ระลอกคลื่น 6 ระลอก ดังรูปที่ 4.4



รูปที่ 4.4 ค่าเฉลี่ยของแรงดันไลน์อินพุทในช่วงเวลา 1 ไซเคิลของ 50 Hz

##### 4.3.1 การอินทิเกรตแรงดันพีคดับลิวิตีเอ็มเอาท์พุททั้งคาบเวลา

ในหัวข้อนี้จะเป็นการแสดงวิธีการอินทิเกรตแรงดันพีคดับลิวิตีเอ็มเอาท์พุททั้งสองแบบคือพีคดับลิวิตีเอ็มแบบพัลส์เท่า (EPWM) และพีคดับลิวิตีเอ็มแบบพัลส์ไม่เท่า (SPWM) โดยแรงดันพีคดับลิวิตีเอ็มทั้งสองรูปแบบนี้จะใช้หลักการตั้งช่วงอินทิเกรตเฉพาะช่วงแรงดันที่มีค่าเป็นบวกหรือว่าลบเท่านั้นหรือว่าเป็นการอินทิเกรตแห่งพัลส์แรงดันพีคดับลิวิตีเอ็มเอาท์พุทเท่านั้นซึ่งจำนวนพัลส์แต่ละพัลส์ก็คือจำนวนฟังก์ชันแต่ละช่วงเวลาที่จะอินทิเกรต แต่พีคดับลิวิตีเอ็มทั้งสองแบบนี้ที่จำนวนของพัลส์ที่เท่ากัน(EPWM) ตำแหน่งที่จะเริ่มต้นของคาบเวลาช่วงที่จะอินทิเกรตนั้นไม่เท่ากันนั้นก็เพราะว่าแรงดันพีคดับลิวิตีเอ็มเอาท์พุทแบบพัลส์เท่า (EPWM) จะมีโครงสร้างมาจากรูปแบบของแรงดันสแควร์เวฟ 3

เฟสคือเมื่อพัลส์ของพีคดับทวิเอ็มแบบพัลส์เท่า (EPWM) มีค่าดีวีเรโชมี่ค่าเป็น 1.0 จะได้แรงดันออกมาเป็นสแควร์เวฟ 3 เฟสส่วนพีคดับทวิเอ็มแบบพัลส์ไม่เท่า (SPWM) นั้นจะต่างกันคือที่ค่าดีวีเรโชมี่ค่าเป็น 1.0 แรงดันที่ได้จะยังคงใกล้เคียงคลื่นไซน์

#### 4.3.2 การหาค่าประกอบสมการฟูเรียร์ของแบบพัลส์เท่า (EPWM) ที่มีจำนวน 18 พัลส์

จากพัลส์พีคดับทวิเอ็มแบบพัลส์เท่าในรูปที่ 4.5 มีจำนวน 18 พัลส์ค่าดีวีเรโชมี่เท่ากับ 0.5 สามารถที่จะกำหนดขอบเขตการอินทิเกรตได้เริ่มจากการหาค่าความถี่ของสวิตซ์ซึ่งต่อค่าความถี่เอาท์พุท  $f_s / f_1$  เพื่อให้หาช่วงเวลาของจำนวนพัลส์ 18 พัลส์ใน 1 ไซเคิล ดังนี้

$$f_s / f_1 = \frac{3}{2} \times \text{จำนวนพัลส์ (ช่วงเวลาต่อ 1 ไซเคิล)}$$

$$f_s / f_1 = \frac{3}{2} \times 18$$

$$= 27 \text{ ช่วงเวลาต่อ 1 ไซเคิล}$$

เมื่อ

$f_s$  คือ ความถี่สวิตซ์ซึ่งที่จำนวนพัลส์ใดๆ

$f_1$  คือ ความถี่ของแรงดันพีคดับทวิเอ็มเอาท์พุท

ดังนั้นในหนึ่งไซเคิลมี 27 ช่วงเวลา และเมื่อค่าช่วงเวลาสุดท้ายของไซเคิลเท่ากับ  $2\pi$  ดังนั้นในตำแหน่งสุดท้ายของไซเคิลจะมีค่า  $\frac{54}{27}\pi$  และในซีกบวกจะทำการตั้งช่วงเวลาทั้งหมด 13.5 ช่วงเวลาเนื่องจากคิดตามจำนวนที่มีรูปคลื่นพัลส์ด้านบวกมีทั้งหมด 9 ช่วงเวลา และในช่วงเวลาที่ไม่มีคลื่นพัลส์จะมีค่าเท่ากับศูนย์จึงไม่นำมาคำนวณด้วย ดังนั้นช่วงเวลาการคำนวณเริ่มจาก

$$\text{พัลส์ที่ 1 เริ่มที่ } \frac{5\pi}{27} \text{ ถึง } \frac{6\pi}{27}$$

$$\text{พัลส์ที่ 2 เริ่มที่ } \frac{7\pi}{27} \text{ ถึง } \frac{8\pi}{27}$$

$$\text{พัลส์ที่ 3 เริ่มที่ } \frac{9\pi}{27} \text{ ถึง } \frac{10\pi}{27}$$

$$\text{พัลส์ที่ 4 เริ่มที่ } \frac{11\pi}{27} \text{ ถึง } \frac{12\pi}{27}$$

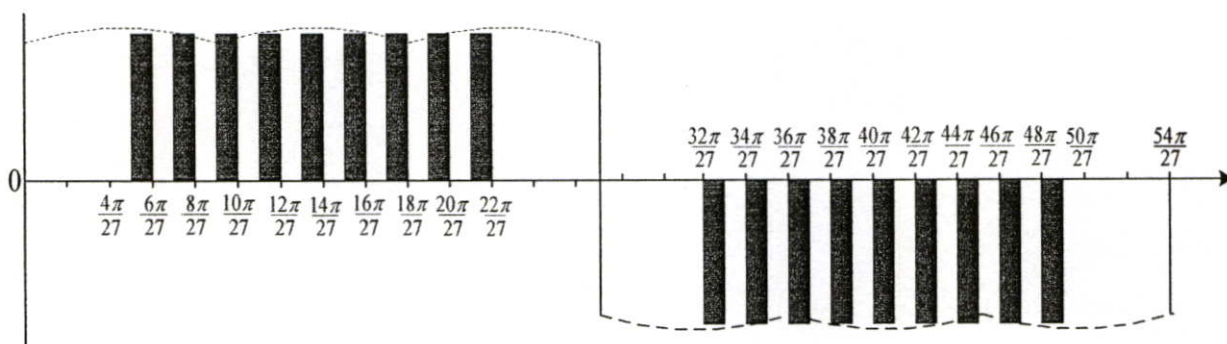
$$\text{พัลส์ที่ 5 เริ่มที่ } \frac{13\pi}{27} \text{ ถึง } \frac{14\pi}{27}$$

$$\text{พัลส์ที่ 6 เริ่มที่ } \frac{15\pi}{27} \text{ ถึง } \frac{16\pi}{27}$$

$$\text{พัลส์ที่ 7 เริ่มที่ } \frac{17\pi}{27} \text{ ถึง } \frac{18\pi}{27}$$

$$\text{พัลส์ที่ 8 เริ่มที่ } \frac{19\pi}{27} \text{ ถึง } \frac{20\pi}{27}$$

$$\text{พัลส์ที่ 9 เริ่มที่ } \frac{21\pi}{27} \text{ ถึง } \frac{22\pi}{27}$$



รูปที่ 4.5 แบบพัลส์เท่า (EPWM) 18 พัลส์ควิต์เรโซเท่ากับ 0.5

ในส่วนซีกลบจะทำการตั้งช่วงเวลาทั้งหมด 9 ช่วงเวลาเช่นเดียวกับซีกบวก และจำนวนพัลส์ด้านลบเริ่มการคำนวณดังนี้

พัลส์ที่ 10 เริ่มที่ $\frac{32\pi}{27}$ ถึง $\frac{33\pi}{27}$	พัลส์ที่ 11 เริ่มที่ $\frac{34\pi}{27}$ ถึง $\frac{35\pi}{27}$	พัลส์ที่ 12 เริ่มที่ $\frac{36\pi}{27}$ ถึง $\frac{37\pi}{27}$
พัลส์ที่ 13 เริ่มที่ $\frac{38\pi}{27}$ ถึง $\frac{39\pi}{27}$	พัลส์ที่ 14 เริ่มที่ $\frac{40\pi}{27}$ ถึง $\frac{41\pi}{27}$	พัลส์ที่ 15 เริ่มที่ $\frac{42\pi}{27}$ ถึง $\frac{43\pi}{27}$
พัลส์ที่ 16 เริ่มที่ $\frac{44\pi}{27}$ ถึง $\frac{45\pi}{27}$	พัลส์ที่ 17 เริ่มที่ $\frac{46\pi}{27}$ ถึง $\frac{47\pi}{27}$	พัลส์ที่ 18 เริ่มที่ $\frac{48\pi}{27}$ ถึง $\frac{49\pi}{27}$

ในส่วนที่แรงดันมีค่าเป็นศูนย์หรือส่วนที่ไม่มีเนื้อแรงดันพัลส์นั้นจะไม่นำมาคำนวณ และจะคำนวณเฉพาะครึ่งไซเคิลบวกและครึ่งไซเคิลลบของคลื่นแรงดันเอทพุทดังได้แสดงในรูปที่ 4.5 โดยหลักการที่ว่าจำนวนเทอมของสมการ  $a_n$  และ  $b_n$  จะเท่ากับจำนวนช่วงเวลาที่มียุคคลื่นของพัลส์พีดับบลิวเอ็ม และคำนวณหาค่าได้ดังนี้

$$a_n = \frac{2}{2\pi} \left[ \int_{\frac{6\pi}{27}}^{\frac{5\pi}{27}} Vd \cos(n\omega t) dt + \int_{\frac{7\pi}{27}}^{\frac{8\pi}{27}} Vd \cos(n\omega t) dt + \int_{\frac{9\pi}{27}}^{\frac{10\pi}{27}} Vd \cos(n\omega t) dt + \int_{\frac{11\pi}{27}}^{\frac{12\pi}{27}} Vd \cos(n\omega t) dt + \int_{\frac{13\pi}{27}}^{\frac{14\pi}{27}} Vd \cos(n\omega t) dt + \int_{\frac{15\pi}{27}}^{\frac{16\pi}{27}} Vd \cos(n\omega t) dt \right. \\ \left. + \int_{\frac{17\pi}{27}}^{\frac{18\pi}{27}} Vd \cos(n\omega t) dt + \int_{\frac{19\pi}{27}}^{\frac{20\pi}{27}} Vd \cos(n\omega t) dt + \int_{\frac{21\pi}{27}}^{\frac{22\pi}{27}} Vd \cos(n\omega t) dt + \int_{\frac{32\pi}{27}}^{\frac{33\pi}{27}} (-Vd) \cos(n\omega t) dt + \int_{\frac{34\pi}{27}}^{\frac{35\pi}{27}} (-Vd) \cos(n\omega t) dt + \int_{\frac{36\pi}{27}}^{\frac{37\pi}{27}} (-Vd) \cos(n\omega t) dt \right. \\ \left. + \int_{\frac{38\pi}{27}}^{\frac{39\pi}{27}} (-Vd) \cos(n\omega t) dt + \int_{\frac{40\pi}{27}}^{\frac{41\pi}{27}} (-Vd) \cos(n\omega t) dt + \int_{\frac{42\pi}{27}}^{\frac{43\pi}{27}} (-Vd) \cos(n\omega t) dt + \int_{\frac{44\pi}{27}}^{\frac{45\pi}{27}} (-Vd) \cos(n\omega t) dt + \int_{\frac{46\pi}{27}}^{\frac{47\pi}{27}} (-Vd) \cos(n\omega t) dt + \int_{\frac{48\pi}{27}}^{\frac{49\pi}{27}} (-Vd) \cos(n\omega t) dt \right]$$

$$a_n = \frac{Vd}{n\pi} \left[ \sin\left(\frac{6n\pi}{27}\right) - \sin\left(\frac{5n\pi}{27}\right) + \sin\left(\frac{8n\pi}{27}\right) - \sin\left(\frac{7n\pi}{27}\right) + \sin\left(\frac{10n\pi}{27}\right) - \sin\left(\frac{9n\pi}{27}\right) + \sin\left(\frac{12n\pi}{27}\right) - \sin\left(\frac{11n\pi}{27}\right) + \sin\left(\frac{14n\pi}{27}\right) - \sin\left(\frac{13n\pi}{27}\right) + \sin\left(\frac{16n\pi}{27}\right) - \sin\left(\frac{15n\pi}{27}\right) \right. \\ \left. + \sin\left(\frac{18n\pi}{27}\right) - \sin\left(\frac{17n\pi}{27}\right) + \sin\left(\frac{20n\pi}{27}\right) - \sin\left(\frac{19n\pi}{27}\right) + \sin\left(\frac{22n\pi}{27}\right) - \sin\left(\frac{21n\pi}{27}\right) - \sin\left(\frac{33n\pi}{27}\right) + \sin\left(\frac{32n\pi}{27}\right) - \sin\left(\frac{35n\pi}{27}\right) + \sin\left(\frac{34n\pi}{27}\right) - \sin\left(\frac{37n\pi}{27}\right) + \sin\left(\frac{36n\pi}{27}\right) \right. \\ \left. - \sin\left(\frac{39n\pi}{27}\right) + \sin\left(\frac{38n\pi}{27}\right) - \sin\left(\frac{41n\pi}{27}\right) + \sin\left(\frac{40n\pi}{27}\right) - \sin\left(\frac{43n\pi}{27}\right) + \sin\left(\frac{42n\pi}{27}\right) - \sin\left(\frac{45n\pi}{27}\right) + \sin\left(\frac{44n\pi}{27}\right) - \sin\left(\frac{47n\pi}{27}\right) + \sin\left(\frac{46n\pi}{27}\right) - \sin\left(\frac{49n\pi}{27}\right) - \sin\left(\frac{48n\pi}{27}\right) \right] \quad (4.8)$$

$$b_n = \frac{2}{2\pi} \left[ \int_{\frac{6\pi}{27}}^{\frac{5\pi}{27}} Vd \sin(n\omega t) dt + \int_{\frac{7\pi}{27}}^{\frac{8\pi}{27}} Vd \sin(n\omega t) dt + \int_{\frac{9\pi}{27}}^{\frac{10\pi}{27}} Vd \sin(n\omega t) dt + \int_{\frac{11\pi}{27}}^{\frac{12\pi}{27}} Vd \sin(n\omega t) dt + \int_{\frac{13\pi}{27}}^{\frac{14\pi}{27}} Vd \sin(n\omega t) dt + \int_{\frac{15\pi}{27}}^{\frac{16\pi}{27}} Vd \sin(n\omega t) dt \right. \\ \left. + \int_{\frac{17\pi}{27}}^{\frac{18\pi}{27}} Vd \sin(n\omega t) dt + \int_{\frac{19\pi}{27}}^{\frac{20\pi}{27}} Vd \sin(n\omega t) dt + \int_{\frac{21\pi}{27}}^{\frac{22\pi}{27}} Vd \sin(n\omega t) dt + \int_{\frac{32\pi}{27}}^{\frac{33\pi}{27}} (-Vd) \sin(n\omega t) dt + \int_{\frac{34\pi}{27}}^{\frac{35\pi}{27}} (-Vd) \sin(n\omega t) dt + \int_{\frac{36\pi}{27}}^{\frac{37\pi}{27}} (-Vd) \sin(n\omega t) dt \right. \\ \left. + \int_{\frac{38\pi}{27}}^{\frac{39\pi}{27}} (-Vd) \sin(n\omega t) dt + \int_{\frac{40\pi}{27}}^{\frac{41\pi}{27}} (-Vd) \sin(n\omega t) dt + \int_{\frac{42\pi}{27}}^{\frac{43\pi}{27}} (-Vd) \sin(n\omega t) dt + \int_{\frac{44\pi}{27}}^{\frac{45\pi}{27}} (-Vd) \sin(n\omega t) dt + \int_{\frac{46\pi}{27}}^{\frac{47\pi}{27}} (-Vd) \sin(n\omega t) dt + \int_{\frac{48\pi}{27}}^{\frac{49\pi}{27}} (-Vd) \sin(n\omega t) dt \right]$$

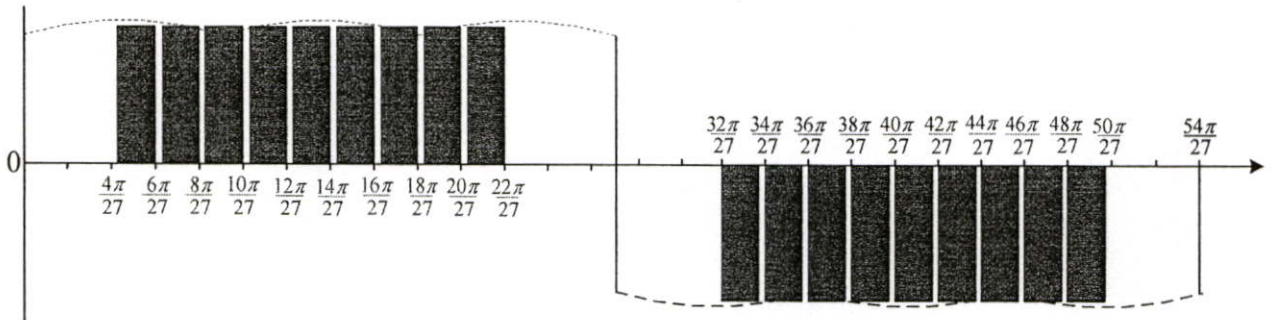
$$b_n = -\frac{Vd}{n\pi} \left[ \cos\left(\frac{6n\pi}{27}\right) - \cos\left(\frac{5n\pi}{27}\right) + \cos\left(\frac{8n\pi}{27}\right) - \cos\left(\frac{7n\pi}{27}\right) + \cos\left(\frac{10n\pi}{27}\right) - \cos\left(\frac{9n\pi}{27}\right) + \cos\left(\frac{12n\pi}{27}\right) - \cos\left(\frac{11n\pi}{27}\right) + \cos\left(\frac{14n\pi}{27}\right) - \cos\left(\frac{13n\pi}{27}\right) + \cos\left(\frac{16n\pi}{27}\right) - \cos\left(\frac{15n\pi}{27}\right) \right. \\ \left. + \cos\left(\frac{18n\pi}{27}\right) - \cos\left(\frac{17n\pi}{27}\right) + \cos\left(\frac{20n\pi}{27}\right) - \cos\left(\frac{19n\pi}{27}\right) + \cos\left(\frac{22n\pi}{27}\right) - \cos\left(\frac{21n\pi}{27}\right) - \cos\left(\frac{33n\pi}{27}\right) + \cos\left(\frac{32n\pi}{27}\right) - \cos\left(\frac{35n\pi}{27}\right) + \cos\left(\frac{34n\pi}{27}\right) - \cos\left(\frac{37n\pi}{27}\right) + \cos\left(\frac{36n\pi}{27}\right) \right. \\ \left. - \cos\left(\frac{39n\pi}{27}\right) + \cos\left(\frac{38n\pi}{27}\right) - \cos\left(\frac{41n\pi}{27}\right) + \cos\left(\frac{40n\pi}{27}\right) - \cos\left(\frac{43n\pi}{27}\right) + \cos\left(\frac{42n\pi}{27}\right) - \cos\left(\frac{45n\pi}{27}\right) + \cos\left(\frac{44n\pi}{27}\right) - \cos\left(\frac{47n\pi}{27}\right) + \cos\left(\frac{46n\pi}{27}\right) - \cos\left(\frac{49n\pi}{27}\right) - \cos\left(\frac{48n\pi}{27}\right) \right] \quad (4.9)$$

จากสมการที่ (4.8) และ (4.9) เป็นองค์ประกอบสมการฟูเรียร์  $a_n$  และ  $b_n$  ที่ได้ของแบบพัลส์เท่า (EPWM) ที่มีจำนวน 18 พัลส์ในหนึ่งคาบเวลา มีค่าดิวตี้เรโซเท่ากับ 0.5 นำมาเขียนเป็นสมการของ  $v_{o,1}$  ได้ดังนี้

$$\begin{aligned}
 v_{o,n} = & \frac{V_{av}}{n\pi} \sum_{x=0}^{x=nn} \left\{ \begin{array}{l} \sin \left[ \frac{(6)n\pi}{27} \right] - \sin \left[ \frac{(5)n\pi}{27} \right] + \sin \left[ \frac{(8)n\pi}{27} \right] - \sin \left[ \frac{(7)n\pi}{27} \right] \\ + \sin \left[ \frac{(10)n\pi}{27} \right] - \sin \left[ \frac{(9)n\pi}{27} \right] + \sin \left[ \frac{(12)n\pi}{27} \right] - \sin \left[ \frac{(11)n\pi}{27} \right] \\ + \sin \left[ \frac{(14)n\pi}{27} \right] - \sin \left[ \frac{(13)n\pi}{27} \right] + \sin \left[ \frac{(16)n\pi}{27} \right] - \sin \left[ \frac{(15)n\pi}{27} \right] \\ + \sin \left[ \frac{(18)n\pi}{27} \right] - \sin \left[ \frac{(17)n\pi}{27} \right] + \sin \left[ \frac{(20)n\pi}{27} \right] - \sin \left[ \frac{(19)n\pi}{27} \right] \\ + \sin \left[ \frac{(22)n\pi}{27} \right] - \sin \left[ \frac{(21)n\pi}{27} \right] - \sin \left[ \frac{(33)n\pi}{27} \right] + \sin \left[ \frac{(32)n\pi}{27} \right] \\ - \sin \left[ \frac{(35)n\pi}{27} \right] + \sin \left[ \frac{(34)n\pi}{27} \right] - \sin \left[ \frac{(37)n\pi}{27} \right] + \sin \left[ \frac{(36)n\pi}{27} \right] \\ - \sin \left[ \frac{(39)n\pi}{27} \right] + \sin \left[ \frac{(38)n\pi}{27} \right] - \sin \left[ \frac{(41)n\pi}{27} \right] + \sin \left[ \frac{(40)n\pi}{27} \right] \\ - \sin \left[ \frac{(43)n\pi}{27} \right] + \sin \left[ \frac{(42)n\pi}{27} \right] - \sin \left[ \frac{(45)n\pi}{27} \right] + \sin \left[ \frac{(44)n\pi}{27} \right] \\ - \sin \left[ \frac{(47)n\pi}{27} \right] + \sin \left[ \frac{(46)n\pi}{27} \right] - \sin \left[ \frac{(49)n\pi}{27} \right] + \sin \left[ \frac{(48)n\pi}{27} \right] \end{array} \right\} \cos n\omega t \\
 & + \frac{V_{av}}{n\pi} \sum_{x=0}^{x=nn} \left\{ \begin{array}{l} \cos \left[ \frac{(6)n\pi}{27} \right] - \cos \left[ \frac{(5)n\pi}{27} \right] + \cos \left[ \frac{(8)n\pi}{27} \right] - \cos \left[ \frac{(7)n\pi}{27} \right] \\ + \cos \left[ \frac{(10)n\pi}{27} \right] - \cos \left[ \frac{(9)n\pi}{27} \right] + \cos \left[ \frac{(12)n\pi}{27} \right] - \cos \left[ \frac{(11)n\pi}{27} \right] \\ + \cos \left[ \frac{(14)n\pi}{27} \right] - \cos \left[ \frac{(13)n\pi}{27} \right] + \cos \left[ \frac{(16)n\pi}{27} \right] - \cos \left[ \frac{(15)n\pi}{27} \right] \\ + \cos \left[ \frac{(18)n\pi}{27} \right] - \cos \left[ \frac{(17)n\pi}{27} \right] + \cos \left[ \frac{(20)n\pi}{27} \right] - \cos \left[ \frac{(19)n\pi}{27} \right] \\ + \cos \left[ \frac{(22)n\pi}{27} \right] - \cos \left[ \frac{(21)n\pi}{27} \right] - \cos \left[ \frac{(33)n\pi}{27} \right] + \cos \left[ \frac{(32)n\pi}{27} \right] \\ - \cos \left[ \frac{(35)n\pi}{27} \right] + \cos \left[ \frac{(34)n\pi}{27} \right] - \cos \left[ \frac{(37)n\pi}{27} \right] + \cos \left[ \frac{(36)n\pi}{27} \right] \\ - \cos \left[ \frac{(39)n\pi}{27} \right] + \cos \left[ \frac{(38)n\pi}{27} \right] - \cos \left[ \frac{(41)n\pi}{27} \right] + \cos \left[ \frac{(40)n\pi}{27} \right] \\ - \cos \left[ \frac{(43)n\pi}{27} \right] + \cos \left[ \frac{(42)n\pi}{27} \right] - \cos \left[ \frac{(45)n\pi}{27} \right] + \cos \left[ \frac{(44)n\pi}{27} \right] \\ - \cos \left[ \frac{(47)n\pi}{27} \right] + \cos \left[ \frac{(46)n\pi}{27} \right] - \cos \left[ \frac{(49)n\pi}{27} \right] + \cos \left[ \frac{(48)n\pi}{27} \right] \end{array} \right\} \sin n\omega t
 \end{aligned}$$

ในจำนวน 18 พัลส์เดียวกัน เมื่อเปลี่ยนดิโตรีโซเป็น 0.9 จะสามารถหาแรงดันได้โดยที่ตำแหน่งสุดท้ายของไซเคิลจะมีค่า  $\frac{54}{27}\pi$  เช่นเดียวกันในซิกบวกจะทำการตั้งช่วงทั้งหมด 9 ช่วงเวลาตามจำนวนพัลส์  
 ด้านบวกรเริ่มการคำนวณจาก

พัลส์ที่ 1 เริ่มที่ $\frac{4.1\pi}{27}$ ถึง $\frac{6\pi}{27}$	พัลส์ที่ 2 เริ่มที่ $\frac{6.1\pi}{27}$ ถึง $\frac{8\pi}{27}$	พัลส์ที่ 3 เริ่มที่ $\frac{8.1\pi}{27}$ ถึง $\frac{10\pi}{27}$
พัลส์ที่ 4 เริ่มที่ $\frac{10.1\pi}{27}$ ถึง $\frac{12\pi}{27}$	พัลส์ที่ 5 เริ่มที่ $\frac{12.1\pi}{27}$ ถึง $\frac{14\pi}{27}$	พัลส์ที่ 6 เริ่มที่ $\frac{14.1\pi}{27}$ ถึง $\frac{16\pi}{27}$
พัลส์ที่ 7 เริ่มที่ $\frac{16.1\pi}{27}$ ถึง $\frac{18\pi}{27}$	พัลส์ที่ 8 เริ่มที่ $\frac{18.1\pi}{27}$ ถึง $\frac{20\pi}{27}$	พัลส์ที่ 9 เริ่มที่ $\frac{20.1\pi}{27}$ ถึง $\frac{22\pi}{27}$



รูปที่ 4.6 แบบพัลส์ทำ (EPWM) 18 พัลส์คิวตี้เรโซเท่ากับ 0.9

ในส่วนซีกลบจะทำการตั้งช่วงทั้งหมด 9 ช่วงเช่นเดียวกับซีกบวก และการคำนวณจำนวนพัลส์ด้านลบสามารถคำนวณได้ดังนี้

พัลส์ที่ 10 เริ่มที่ $\frac{32\pi}{27}$ ถึง $\frac{33.9\pi}{27}$	พัลส์ที่ 11 เริ่มที่ $\frac{34\pi}{27}$ ถึง $\frac{35.9\pi}{27}$	พัลส์ที่ 12 เริ่มที่ $\frac{36\pi}{27}$ ถึง $\frac{37.9\pi}{27}$
พัลส์ที่ 13 เริ่มที่ $\frac{38\pi}{27}$ ถึง $\frac{39.9\pi}{27}$	พัลส์ที่ 14 เริ่มที่ $\frac{40\pi}{27}$ ถึง $\frac{41.9\pi}{27}$	พัลส์ที่ 15 เริ่มที่ $\frac{42\pi}{27}$ ถึง $\frac{43.9\pi}{27}$
พัลส์ที่ 16 เริ่มที่ $\frac{44\pi}{27}$ ถึง $\frac{45.9\pi}{27}$	พัลส์ที่ 17 เริ่มที่ $\frac{46\pi}{27}$ ถึง $\frac{47.9\pi}{27}$	พัลส์ที่ 18 เริ่มที่ $\frac{48\pi}{27}$ ถึง $\frac{49.9\pi}{27}$

ในหนึ่งช่วงเวลา ในบริเวณครึ่งไซเคิลบวกและครึ่งไซเคิลลบของคลื่นแรงดันเอาต์พุตในรูปที่ 4.6 จำนวนทอมในการคำนวณหาค่าของสมการ  $a_n$  และ  $b_n$  จะเท่ากับจำนวนช่วงเวลาที่มีย่อแรงดันพัลส์พีดับบลิวเอ็ม และจากการแบ่งช่วงเวลาในรูปที่ 4.6 สามารถจะหาค่าได้ดังนี้

$$a_n = \frac{2}{2\pi} \left[ \int_{\frac{6.1\pi}{27}}^{\frac{6\pi}{27}} Vd \cos(n\omega t) dt + \int_{\frac{6.1\pi}{27}}^{\frac{8\pi}{27}} Vd \cos(n\omega t) dt + \int_{\frac{8.1\pi}{27}}^{\frac{10\pi}{27}} Vd \cos(n\omega t) dt + \int_{\frac{10.1\pi}{27}}^{\frac{12\pi}{27}} Vd \cos(n\omega t) dt + \int_{\frac{12.1\pi}{27}}^{\frac{14\pi}{27}} Vd \cos(n\omega t) dt + \int_{\frac{14.1\pi}{27}}^{\frac{16\pi}{27}} Vd \cos(n\omega t) dt \right. \\ \left. + \int_{\frac{16.1\pi}{27}}^{\frac{18\pi}{27}} Vd \cos(n\omega t) dt + \int_{\frac{18.1\pi}{27}}^{\frac{20\pi}{27}} Vd \cos(n\omega t) dt + \int_{\frac{20.1\pi}{27}}^{\frac{22\pi}{27}} Vd \cos(n\omega t) dt + \int_{\frac{22.1\pi}{27}}^{\frac{24\pi}{27}} (-Vd) \cos(n\omega t) dt + \int_{\frac{24.1\pi}{27}}^{\frac{26\pi}{27}} (-Vd) \cos(n\omega t) dt + \int_{\frac{26.1\pi}{27}}^{\frac{28\pi}{27}} (-Vd) \cos(n\omega t) dt \right. \\ \left. + \int_{\frac{37.1\pi}{27}}^{\frac{39\pi}{27}} (-Vd) \cos(n\omega t) dt + \int_{\frac{39.1\pi}{27}}^{\frac{41\pi}{27}} (-Vd) \cos(n\omega t) dt + \int_{\frac{41.1\pi}{27}}^{\frac{43\pi}{27}} (-Vd) \cos(n\omega t) dt + \int_{\frac{43.1\pi}{27}}^{\frac{45\pi}{27}} (-Vd) \cos(n\omega t) dt + \int_{\frac{45.1\pi}{27}}^{\frac{47\pi}{27}} (-Vd) \cos(n\omega t) dt + \int_{\frac{47.1\pi}{27}}^{\frac{49\pi}{27}} (-Vd) \cos(n\omega t) dt \right]$$

$$a_n = \frac{Vd}{n\pi} \left[ \sin\left(\frac{6n\pi}{27}\right) - \sin\left(\frac{4.1n\pi}{27}\right) + \sin\left(\frac{8n\pi}{27}\right) - \sin\left(\frac{6.1n\pi}{27}\right) + \sin\left(\frac{10n\pi}{27}\right) - \sin\left(\frac{8.1n\pi}{27}\right) + \sin\left(\frac{12n\pi}{27}\right) - \sin\left(\frac{10.1n\pi}{27}\right) + \sin\left(\frac{14n\pi}{27}\right) - \sin\left(\frac{12.1n\pi}{27}\right) + \sin\left(\frac{16n\pi}{27}\right) - \sin\left(\frac{14.1n\pi}{27}\right) \right. \\ \left. + \sin\left(\frac{18n\pi}{27}\right) - \sin\left(\frac{16.1n\pi}{27}\right) + \sin\left(\frac{20n\pi}{27}\right) - \sin\left(\frac{18.1n\pi}{27}\right) + \sin\left(\frac{22n\pi}{27}\right) - \sin\left(\frac{20.1n\pi}{27}\right) - \sin\left(\frac{33n\pi}{27}\right) + \sin\left(\frac{31.1n\pi}{27}\right) - \sin\left(\frac{35n\pi}{27}\right) + \sin\left(\frac{33.1n\pi}{27}\right) - \sin\left(\frac{37n\pi}{27}\right) + \sin\left(\frac{35.1n\pi}{27}\right) \right. \\ \left. - \sin\left(\frac{39n\pi}{27}\right) + \sin\left(\frac{37.1n\pi}{27}\right) - \sin\left(\frac{41n\pi}{27}\right) + \sin\left(\frac{39.1n\pi}{27}\right) - \sin\left(\frac{43n\pi}{27}\right) + \sin\left(\frac{41.1n\pi}{27}\right) - \sin\left(\frac{45n\pi}{27}\right) + \sin\left(\frac{43.1n\pi}{27}\right) - \sin\left(\frac{47n\pi}{27}\right) + \sin\left(\frac{45.1n\pi}{27}\right) - \sin\left(\frac{49n\pi}{27}\right) - \sin\left(\frac{47.1n\pi}{27}\right) \right] \quad (4.10)$$

$$b_n = \frac{2}{2\pi} \left[ \int_{\frac{4.1\pi}{27}}^{\frac{6\pi}{27}} Vd \sin(n\omega t) dt + \int_{\frac{6.1\pi}{27}}^{\frac{8\pi}{27}} Vd \sin(n\omega t) dt + \int_{\frac{8.1\pi}{27}}^{\frac{10\pi}{27}} Vd \sin(n\omega t) dt + \int_{\frac{10.1\pi}{27}}^{\frac{12\pi}{27}} Vd \sin(n\omega t) dt + \int_{\frac{12.1\pi}{27}}^{\frac{14\pi}{27}} Vd \sin(n\omega t) dt + \int_{\frac{14.1\pi}{27}}^{\frac{16\pi}{27}} Vd \sin(n\omega t) dt \right. \\ \left. + \int_{\frac{16.1\pi}{27}}^{\frac{18\pi}{27}} Vd \sin(n\omega t) dt + \int_{\frac{18.1\pi}{27}}^{\frac{20\pi}{27}} Vd \sin(n\omega t) dt + \int_{\frac{20.1\pi}{27}}^{\frac{22\pi}{27}} Vd \sin(n\omega t) dt + \int_{\frac{22.1\pi}{27}}^{\frac{24\pi}{27}} (-Vd) \sin(n\omega t) dt + \int_{\frac{24.1\pi}{27}}^{\frac{26\pi}{27}} (-Vd) \sin(n\omega t) dt + \int_{\frac{26.1\pi}{27}}^{\frac{28\pi}{27}} (-Vd) \sin(n\omega t) dt \right. \\ \left. + \int_{\frac{37.1\pi}{27}}^{\frac{39\pi}{27}} (-Vd) \sin(n\omega t) dt + \int_{\frac{39.1\pi}{27}}^{\frac{41\pi}{27}} (-Vd) \sin(n\omega t) dt + \int_{\frac{41.1\pi}{27}}^{\frac{43\pi}{27}} (-Vd) \sin(n\omega t) dt + \int_{\frac{43.1\pi}{27}}^{\frac{45\pi}{27}} (-Vd) \sin(n\omega t) dt + \int_{\frac{45.1\pi}{27}}^{\frac{47\pi}{27}} (-Vd) \sin(n\omega t) dt + \int_{\frac{47.1\pi}{27}}^{\frac{49\pi}{27}} (-Vd) \sin(n\omega t) dt \right]$$

$$b_n = \frac{Vd}{n\pi} \left[ \cos\left(\frac{6n\pi}{27}\right) - \cos\left(\frac{4.1n\pi}{27}\right) + \cos\left(\frac{8n\pi}{27}\right) - \cos\left(\frac{6.1n\pi}{27}\right) + \cos\left(\frac{10n\pi}{27}\right) - \cos\left(\frac{8.1n\pi}{27}\right) + \cos\left(\frac{12n\pi}{27}\right) - \cos\left(\frac{10.1n\pi}{27}\right) + \cos\left(\frac{14n\pi}{27}\right) - \cos\left(\frac{12.1n\pi}{27}\right) + \cos\left(\frac{16n\pi}{27}\right) - \cos\left(\frac{14.1n\pi}{27}\right) \right. \\ \left. + \cos\left(\frac{18n\pi}{27}\right) - \cos\left(\frac{16.1n\pi}{27}\right) + \cos\left(\frac{20n\pi}{27}\right) - \cos\left(\frac{18.1n\pi}{27}\right) + \cos\left(\frac{22n\pi}{27}\right) - \cos\left(\frac{20.1n\pi}{27}\right) - \cos\left(\frac{33n\pi}{27}\right) + \cos\left(\frac{31.1n\pi}{27}\right) - \cos\left(\frac{35n\pi}{27}\right) + \cos\left(\frac{33.1n\pi}{27}\right) - \cos\left(\frac{37n\pi}{27}\right) + \cos\left(\frac{35.1n\pi}{27}\right) \right. \\ \left. - \cos\left(\frac{39n\pi}{27}\right) + \cos\left(\frac{37.1n\pi}{27}\right) - \cos\left(\frac{41n\pi}{27}\right) + \cos\left(\frac{39.1n\pi}{27}\right) - \cos\left(\frac{43n\pi}{27}\right) + \cos\left(\frac{41.1n\pi}{27}\right) - \cos\left(\frac{45n\pi}{27}\right) + \cos\left(\frac{43.1n\pi}{27}\right) - \cos\left(\frac{47n\pi}{27}\right) + \cos\left(\frac{45.1n\pi}{27}\right) - \cos\left(\frac{49n\pi}{27}\right) - \cos\left(\frac{47.1n\pi}{27}\right) \right] \quad (4.11)$$

จากสมการที่ (4.10) และ (4.11) เป็นองค์ประกอบสมการฟูรีเยร์  $a_n$  และ  $b_n$  ตามลำดับ จากค่า องค์ประกอบ  $a_n$  และ  $b_n$  ที่ได้ของแบบพัลส์เท่า (EPWM) ที่มีจำนวน 18 พัลส์ในหนึ่งคาบเวลามีค่าคิวดั้เรโซเท่ากับ 0.9 ซึ่งนำมาเขียนเป็นสมการของแรงดัน  $v_1$  ดังนี้

### 4.3.3 สมการฟูรีเยร์โดยทั่วไปของแบบพัลส์เท่า (EPWM)

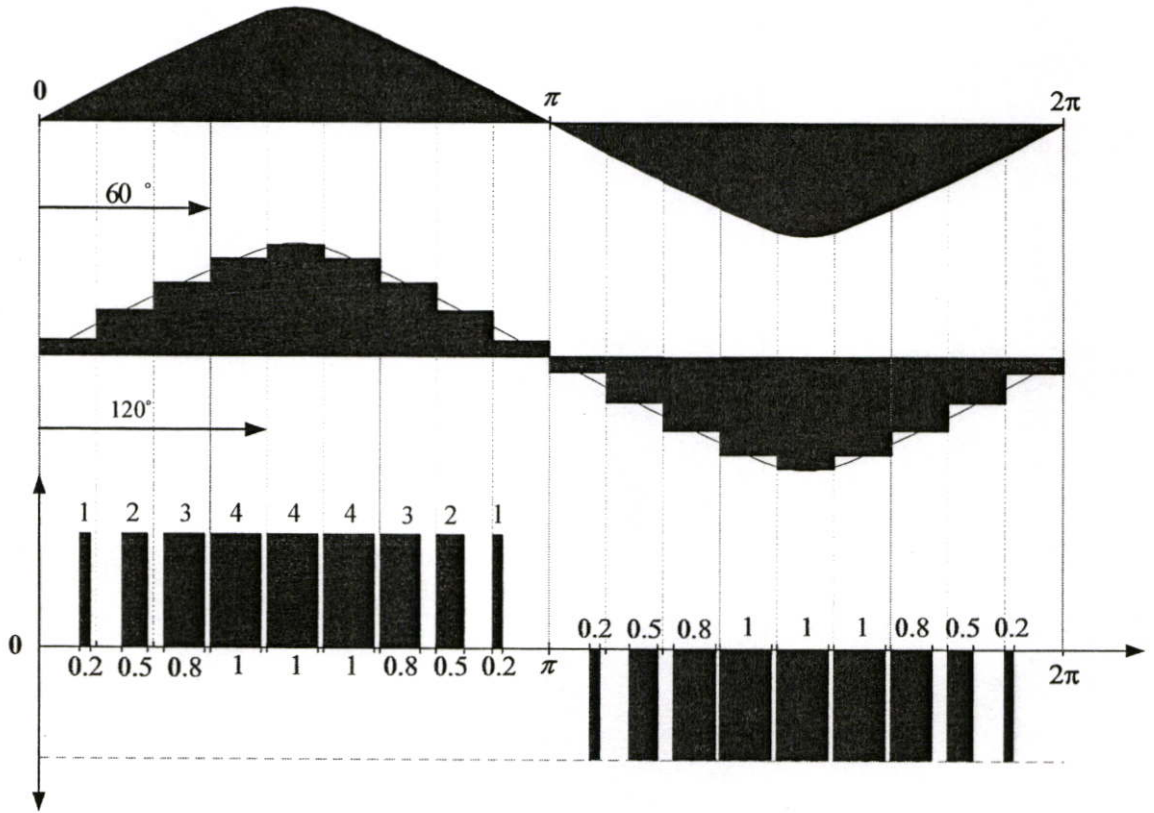
จากที่ได้ทำการหาแรงดันพีคดับทิวเอ็มที่ค่าคิวดั้เรโซต่าง ๆ จึงสามารถนำมาเขียนเป็นสมการทั่วไปที่มีการเปลี่ยนแปลงค่าคิวดั้เรโซต่าง ๆ ได้ดังต่อไปนี้

$$\begin{aligned}
 V_{o,1} = & \frac{V_{av}}{n\pi} \sum_{x=0}^{x=nn} \left\{ \begin{array}{l} \sin \left[ \frac{(6)n\pi}{27} \right] - \sin \left[ \frac{(6-D)n\pi}{27} \right] + \sin \left[ \frac{(8)n\pi}{27} \right] - \sin \left[ \frac{(8-D)n\pi}{27} \right] \\ + \sin \left[ \frac{(10)n\pi}{27} \right] - \sin \left[ \frac{(10-D)n\pi}{27} \right] + \sin \left[ \frac{(12)n\pi}{27} \right] - \sin \left[ \frac{(12-D)n\pi}{27} \right] \\ + \sin \left[ \frac{(14)n\pi}{27} \right] - \sin \left[ \frac{(14-D)n\pi}{27} \right] + \sin \left[ \frac{(16)n\pi}{27} \right] - \sin \left[ \frac{(16-D)n\pi}{27} \right] \\ + \sin \left[ \frac{(18)n\pi}{27} \right] - \sin \left[ \frac{(18-D)n\pi}{27} \right] + \sin \left[ \frac{(20)n\pi}{27} \right] - \sin \left[ \frac{(20-D)n\pi}{27} \right] \\ + \sin \left[ \frac{(22)n\pi}{27} \right] - \sin \left[ \frac{(22-D)n\pi}{27} \right] - \sin \left[ \frac{(D+32)n\pi}{27} \right] + \sin \left[ \frac{(32)n\pi}{27} \right] \\ - \sin \left[ \frac{(D+34)n\pi}{27} \right] + \sin \left[ \frac{(34)n\pi}{27} \right] - \sin \left[ \frac{(D+36)n\pi}{27} \right] + \sin \left[ \frac{(36)n\pi}{27} \right] \\ - \sin \left[ \frac{(D+38)n\pi}{27} \right] + \sin \left[ \frac{(38)n\pi}{27} \right] - \sin \left[ \frac{(D+40)n\pi}{27} \right] + \sin \left[ \frac{(40)n\pi}{27} \right] \\ - \sin \left[ \frac{(D+42)n\pi}{27} \right] + \sin \left[ \frac{(42)n\pi}{27} \right] - \sin \left[ \frac{(D+44)n\pi}{27} \right] + \sin \left[ \frac{(44)n\pi}{27} \right] \\ - \sin \left[ \frac{(D+46)n\pi}{27} \right] + \sin \left[ \frac{(46)n\pi}{27} \right] - \sin \left[ \frac{(D+48)n\pi}{27} \right] + \sin \left[ \frac{(48)n\pi}{27} \right] \end{array} \right\} \cos n\omega t \\
 & + \frac{V_{av}}{n\pi} \sum_{x=0}^{x=nn} \left\{ \begin{array}{l} \cos \left[ \frac{(6-D)n\pi}{27} \right] - \cos \left[ \frac{(6)n\pi}{27} \right] + \cos \left[ \frac{(8-D)n\pi}{27} \right] - \cos \left[ \frac{(8)n\pi}{27} \right] \\ + \cos \left[ \frac{(10-D)n\pi}{27} \right] - \cos \left[ \frac{(10)n\pi}{27} \right] + \cos \left[ \frac{(12-D)n\pi}{27} \right] - \cos \left[ \frac{(12)n\pi}{27} \right] \\ + \cos \left[ \frac{(14-D)n\pi}{27} \right] - \cos \left[ \frac{(14)n\pi}{27} \right] + \cos \left[ \frac{(16-D)n\pi}{27} \right] - \cos \left[ \frac{(16)n\pi}{27} \right] \\ + \cos \left[ \frac{(18-D)n\pi}{27} \right] - \cos \left[ \frac{(18)n\pi}{27} \right] + \cos \left[ \frac{(20-D)n\pi}{27} \right] - \cos \left[ \frac{(20)n\pi}{27} \right] \\ + \cos \left[ \frac{(22-D)n\pi}{27} \right] - \cos \left[ \frac{(22)n\pi}{27} \right] - \cos \left[ \frac{(D+32)n\pi}{27} \right] + \cos \left[ \frac{(32)n\pi}{27} \right] \\ - \cos \left[ \frac{(D+32)n\pi}{27} \right] + \cos \left[ \frac{(32)n\pi}{27} \right] - \cos \left[ \frac{(D+34)n\pi}{27} \right] + \cos \left[ \frac{(34)n\pi}{27} \right] \\ - \cos \left[ \frac{(D+32)n\pi}{27} \right] + \cos \left[ \frac{(32)n\pi}{27} \right] - \cos \left[ \frac{(D+34)n\pi}{27} \right] + \cos \left[ \frac{(34)n\pi}{27} \right] \\ - \cos \left[ \frac{(D+36)n\pi}{27} \right] + \cos \left[ \frac{(36)n\pi}{27} \right] - \cos \left[ \frac{(D+38)n\pi}{27} \right] + \cos \left[ \frac{(38)n\pi}{27} \right] \\ - \cos \left[ \frac{(D+40)n\pi}{27} \right] + \cos \left[ \frac{(40)n\pi}{27} \right] - \cos \left[ \frac{(D+42)n\pi}{27} \right] + \cos \left[ \frac{(42)n\pi}{27} \right] \end{array} \right\} \sin n\omega t
 \end{aligned}$$

#### 4.3.4 การออกแบบความกว้างของแรงดันที่ดับลิวิตเอ็มแบบพัลส์ไม่เท่า (SPWM)

การออกแบบแรงดันที่ดับลิวิตเอ็มเอาท์พุทในกรณีที่เป็นที่ดับลิวิตเอ็มแบบพัลส์ไม่เท่า (SPWM) หรือว่ามีลักษณะเป็นไซน์ซึ่งสามารถออกแบบได้ดังนี้ กำหนดชนิดของที่ดับลิวิตเอ็มตามพัลส์ที่ต้องการ

ออกแบบเช่น พีคดับบลิวเอ็ม 12 พัลส์, พีคดับบลิวเอ็ม 18 พัลส์เป็นต้น จากนั้นทำการแบ่งรูปคลื่นแรงดันไซน์ออกเป็นช่วง โดยให้มีจำนวนช่วงเท่ากับจำนวนของพัลส์พีคดับบลิวเอ็มเอาต์พุตที่ต้องการจะสร้างดังแสดงในรูปที่ 4.7



รูปที่ 4.7 การออกแบบจำนวนระดับของควิตีเรโซของแรงดันเอาต์พุตแบบพัลส์ไม่เท่า (SPWM) 18 พัลส์ที่ควิตีเรโซ 0.9

เช่น พีคดับบลิวเอ็มแบบพัลส์ไม่เท่า (SPWM) 18 พัลส์ก็จะแบ่งได้ 18 ช่วง จากนั้นทำการหาจำนวนระดับควิตีเรโซที่จะได้โดยพิจารณาจาก  $60^\circ$  แรก (ดังรูปที่ 4.7 บน) ว่ามีช่วงย่อยที่แบ่งไว้อยู่เท่าไรก็จะนับได้เป็นรูปไซน์ที่มีการแบ่งออกเป็น 18 ช่วง แล้วหาค่าเฉลี่ยพื้นที่ของรูปคลื่นไซน์ในแต่ละช่วง ดังแสดงในรูปที่ 4.7 รูปกลางเป็นค่าเฉลี่ยพื้นที่ของแรงดันเอาต์พุตในแต่ละช่วง ทำได้โดยการแบ่งเป็นช่วงคาบเวลา

ตารางที่ 4.1 ตารางค่าเฉลี่ยของDuty Cycle ที่ช่วงเวลาต่างๆ

ช่วงคาบเวลา	0 – 20 องศา	20 – 40 องศา	40 – 60 องศา	60 – 80 องศา
ค่าแรงดันเฉลี่ย	14.0733	40.5225	62.0841	76.1575
Duty Cycle คิดเป็นเปอร์เซ็นต์	20%	50%	80%	100%

หลักการแบ่งความกว้างของแต่ละพัลส์ในจำนวนทั้งหมด 9 พัลส์ในช่วงครึ่งคาบเวลาที่ Duty 0.9 กรณีพัลส์ไม่เท่า (SPWM) โดยใน 4 พัลส์แรกและ 4 พัลส์หลังจะมีเนื้อที่ของแต่ละพัลส์เพิ่มขึ้นและลดลงในลักษณะเชิงเส้น ส่วนในตำแหน่งพัลส์กลางจะมีเนื้อที่มากที่สุดและได้เป็นสัดส่วนดังต่อไปนี้

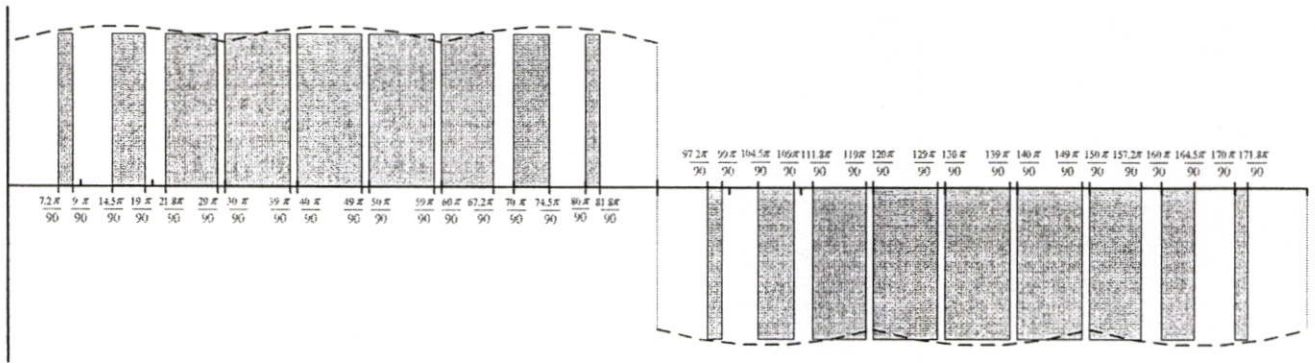
duty1: duty2: duty3: duty4: duty4: duty4: duty3: duty2: duty1 เป็นดังนี้  
 0.2: 0.5: 0.8: 1: 1: 1: 0.8: 0.5: 0.2

#### 4.3.5 สมการอนุกรมฟูเรียร์ของแรงดันที่ดับลิเวียมแบบพัลส์ไม่เท่า (SPWM)

การทดลองนี้จะใช้จำนวน 18 พัลส์ใน 1 ไซเคิลในที่นี้จึงได้แสดงการคำนวณการหาแรงดันที่ดับลิเวียมเอาท์พุทแบบพัลส์เท่า (SPWM) กรณี 18 พัลส์ซึ่งในกรณีที่เป็นที่ดับลิเวียมพัลส์แบบพัลส์เท่าอื่น (SPWM) สามารถที่จะหาได้ในลักษณะเดียวกันนี้ จากหลักการอินทิเกรตที่กล่าวมาตั้งแต่ต้นนั้นสามารถนำมาคำนวณแรงดันที่ดับลิเวียมเอาท์พุทแบบพัลส์ไม่เท่า (SPWM) ในรูปที่ 4.8 มีจำนวน 18 พัลส์ค่าคิวตี้โรโธเท่ากับ 0.9 สามารถที่จะกำหนดขอบเขตการอินทิเกรตได้โดยเริ่มแบ่งช่วงตามจำนวนพัลส์ใน 1 ไซเคิลจากรูปที่ 4.8 จะได้ 1 ไซเคิลมี 18 ช่วงและเพื่อให้การกำหนดช่วงการอินทิเกรตเป็นช่วงที่เป็นค่าที่ลงตัวจึงกำหนดให้ครึ่งไซเคิลแบ่งรายละเอียดเป็น 90 ส่วน ดังนั้นในตำแหน่งสุดท้ายของ 1 ไซเคิลจะมีค่า  $\frac{180}{90} \pi$  ส่วนในซีกบวกจะทำการอินทิเกรตได้ทั้งหมด 9 pulse ดังนี้

duty1: duty2: duty3: duty4: duty4: duty4: duty3: duty2: duty1 เป็นดังนี้  
 0.2: 0.5: 0.8: 1: 1: 1: 0.8: 0.5: 0.2

พัลส์ที่ 1 เริ่มที่ $\frac{7.2\pi}{90}$ ถึง $\frac{9\pi}{90}$	พัลส์ที่ 2 เริ่มที่ $\frac{14.5\pi}{90}$ ถึง $\frac{19\pi}{90}$
พัลส์ที่ 3 เริ่มที่ $\frac{21.8\pi}{90}$ ถึง $\frac{29\pi}{90}$	พัลส์ที่ 4 เริ่มที่ $\frac{30\pi}{90}$ ถึง $\frac{39\pi}{90}$
พัลส์ที่ 5 เริ่มที่ $\frac{40\pi}{90}$ ถึง $\frac{49\pi}{90}$	พัลส์ที่ 6 เริ่มที่ $\frac{50\pi}{90}$ ถึง $\frac{59\pi}{90}$
พัลส์ที่ 7 เริ่มที่ $\frac{60\pi}{90}$ ถึง $\frac{67.2\pi}{90}$	พัลส์ที่ 8 เริ่มที่ $\frac{70\pi}{90}$ ถึง $\frac{74.5\pi}{90}$
พัลส์ที่ 9 เริ่มที่ $\frac{80\pi}{90}$ ถึง $\frac{81.8\pi}{90}$	



รูปที่ 4.8 แบบพัลส์ไม่เท่า (SPWM) 18 พัลส์มีค่าดิวตี้เรโซเท่ากับ 0.9

ในส่วนซีกลบจะทำการอินทิเกรตได้ทั้งหมด 9 pulse ดังนี้

duty1: duty2: duty3: duty4: duty4: duty4: duty3: duty2: duty1 เป็นดังนี้

0.2: 0.5: 0.8: 1: 1: 0.8: 0.5: 0.2 การกำหนดช่วงของพัลส์เรียงลำดับไป

พัลส์ที่ 10 เริ่มที่ $\frac{97.2\pi}{90}$ ถึง $\frac{99\pi}{90}$	พัลส์ที่ 11 เริ่มที่ $\frac{104.5\pi}{90}$ ถึง $\frac{109\pi}{90}$
พัลส์ที่ 12 เริ่มที่ $\frac{111.8\pi}{90}$ ถึง $\frac{37.9\pi}{27}$	พัลส์ที่ 13 เริ่มที่ $\frac{120\pi}{90}$ ถึง $\frac{129\pi}{90}$
พัลส์ที่ 14 เริ่มที่ $\frac{130\pi}{90}$ ถึง $\frac{139\pi}{90}$	พัลส์ที่ 15 เริ่มที่ $\frac{140\pi}{90}$ ถึง $\frac{149\pi}{90}$
พัลส์ที่ 16 เริ่มที่ $\frac{150\pi}{90}$ ถึง $\frac{157.2\pi}{90}$	พัลส์ที่ 17 เริ่มที่ $\frac{160\pi}{90}$ ถึง $\frac{164.5\pi}{90}$
พัลส์ที่ 18 เริ่มที่ $\frac{170\pi}{90}$ ถึง $\frac{171.8\pi}{90}$	

$$\begin{aligned}
 a_n &= \frac{2}{2\pi} \left[ \int_{\frac{7.2\pi}{90}}^{\frac{9\pi}{90}} Vd \cos(n\omega t) dt + \int_{\frac{14.5\pi}{90}}^{\frac{19\pi}{90}} Vd \cos(n\omega t) dt + \int_{\frac{21.8\pi}{90}}^{\frac{29\pi}{90}} Vd \cos(n\omega t) dt + \int_{\frac{30\pi}{90}}^{\frac{39\pi}{90}} Vd \cos(n\omega t) dt + \int_{\frac{40\pi}{90}}^{\frac{49\pi}{90}} Vd \cos(n\omega t) dt + \int_{\frac{50\pi}{90}}^{\frac{59\pi}{90}} Vd \cos(n\omega t) dt \right. \\
 &+ \int_{\frac{60\pi}{90}}^{\frac{67.2\pi}{90}} Vd \cos(n\omega t) dt + \int_{\frac{70\pi}{90}}^{\frac{74.5\pi}{90}} Vd \cos(n\omega t) dt + \int_{\frac{80\pi}{90}}^{\frac{81.8\pi}{90}} Vd \cos(n\omega t) dt + \int_{\frac{97.2\pi}{90}}^{\frac{99\pi}{90}} (-Vd) \cos(n\omega t) dt + \int_{\frac{104.5\pi}{90}}^{\frac{109\pi}{90}} (-Vd) \cos(n\omega t) dt + \int_{\frac{111.8\pi}{90}}^{\frac{119\pi}{90}} (-Vd) \cos(n\omega t) dt \\
 &+ \int_{\frac{120\pi}{90}}^{\frac{129\pi}{90}} (-Vd) \cos(n\omega t) dt + \int_{\frac{130\pi}{90}}^{\frac{139\pi}{90}} (-Vd) \cos(n\omega t) dt + \int_{\frac{140\pi}{90}}^{\frac{149\pi}{90}} (-Vd) \cos(n\omega t) dt + \int_{\frac{150\pi}{90}}^{\frac{157.2\pi}{90}} (-Vd) \cos(n\omega t) dt + \int_{\frac{160\pi}{90}}^{\frac{164.5\pi}{90}} (-Vd) \cos(n\omega t) dt + \left. \int_{\frac{170\pi}{90}}^{\frac{171.8\pi}{90}} (-Vd) \cos(n\omega t) dt \right] \\
 a_n &= \frac{Vd}{n\pi} \left[ \sin\left(\frac{9n\pi}{90}\right) - \sin\left(\frac{7.2n\pi}{90}\right) + \sin\left(\frac{19n\pi}{90}\right) - \sin\left(\frac{14.5n\pi}{90}\right) + \sin\left(\frac{29n\pi}{90}\right) - \sin\left(\frac{21.8n\pi}{90}\right) + \sin\left(\frac{39n\pi}{90}\right) - \sin\left(\frac{30n\pi}{90}\right) + \sin\left(\frac{49n\pi}{90}\right) - \sin\left(\frac{40n\pi}{90}\right) + \sin\left(\frac{59n\pi}{90}\right) - \sin\left(\frac{50n\pi}{90}\right) \right. \\
 &+ \sin\left(\frac{67.2n\pi}{90}\right) - \sin\left(\frac{60n\pi}{90}\right) + \sin\left(\frac{74.5n\pi}{90}\right) - \sin\left(\frac{70n\pi}{90}\right) + \sin\left(\frac{81.8n\pi}{90}\right) - \sin\left(\frac{80n\pi}{90}\right) - \sin\left(\frac{99n\pi}{90}\right) + \sin\left(\frac{97.2n\pi}{90}\right) - \sin\left(\frac{109n\pi}{90}\right) + \sin\left(\frac{104.5n\pi}{90}\right) - \sin\left(\frac{119n\pi}{90}\right) + \sin\left(\frac{111.8n\pi}{90}\right) \\
 &\left. - \sin\left(\frac{120n\pi}{90}\right) + \sin\left(\frac{129n\pi}{90}\right) - \sin\left(\frac{139n\pi}{90}\right) + \sin\left(\frac{130n\pi}{90}\right) - \sin\left(\frac{149n\pi}{90}\right) + \sin\left(\frac{140n\pi}{90}\right) - \sin\left(\frac{157.2n\pi}{90}\right) + \sin\left(\frac{150n\pi}{90}\right) - \sin\left(\frac{164.5n\pi}{90}\right) + \sin\left(\frac{160n\pi}{90}\right) - \sin\left(\frac{171.8n\pi}{90}\right) + \sin\left(\frac{170n\pi}{90}\right) \right] \quad (4.13) \\
 b_n &= \frac{2}{2\pi} \left[ \int_{\frac{7.2\pi}{90}}^{\frac{9\pi}{90}} Vd \sin(n\omega t) dt + \int_{\frac{14.5\pi}{90}}^{\frac{19\pi}{90}} Vd \sin(n\omega t) dt + \int_{\frac{21.8\pi}{90}}^{\frac{29\pi}{90}} Vd \sin(n\omega t) dt + \int_{\frac{30\pi}{90}}^{\frac{39\pi}{90}} Vd \sin(n\omega t) dt + \int_{\frac{40\pi}{90}}^{\frac{49\pi}{90}} Vd \sin(n\omega t) dt + \int_{\frac{50\pi}{90}}^{\frac{59\pi}{90}} Vd \sin(n\omega t) dt \right. \\
 &+ \int_{\frac{60\pi}{90}}^{\frac{67.2\pi}{90}} Vd \sin(n\omega t) dt + \int_{\frac{70\pi}{90}}^{\frac{74.5\pi}{90}} Vd \sin(n\omega t) dt + \int_{\frac{80\pi}{90}}^{\frac{81.8\pi}{90}} Vd \sin(n\omega t) dt + \int_{\frac{97.2\pi}{90}}^{\frac{99\pi}{90}} (-Vd) \sin(n\omega t) dt + \int_{\frac{104.5\pi}{90}}^{\frac{109\pi}{90}} (-Vd) \sin(n\omega t) dt + \int_{\frac{111.8\pi}{90}}^{\frac{119\pi}{90}} (-Vd) \sin(n\omega t) dt \\
 &+ \int_{\frac{120\pi}{90}}^{\frac{129\pi}{90}} (-Vd) \sin(n\omega t) dt + \int_{\frac{130\pi}{90}}^{\frac{139\pi}{90}} (-Vd) \sin(n\omega t) dt + \int_{\frac{140\pi}{90}}^{\frac{149\pi}{90}} (-Vd) \sin(n\omega t) dt + \int_{\frac{150\pi}{90}}^{\frac{157.2\pi}{90}} (-Vd) \sin(n\omega t) dt + \int_{\frac{160\pi}{90}}^{\frac{164.5\pi}{90}} (-Vd) \sin(n\omega t) dt + \left. \int_{\frac{170\pi}{90}}^{\frac{171.8\pi}{90}} (-Vd) \sin(n\omega t) dt \right] \\
 b_n &= \frac{Vd}{n\pi} \left[ \cos\left(\frac{9n\pi}{90}\right) - \cos\left(\frac{7.2n\pi}{90}\right) + \cos\left(\frac{19n\pi}{90}\right) - \cos\left(\frac{14.5n\pi}{90}\right) + \cos\left(\frac{29n\pi}{90}\right) - \cos\left(\frac{21.8n\pi}{90}\right) + \cos\left(\frac{39n\pi}{90}\right) - \cos\left(\frac{30n\pi}{90}\right) + \cos\left(\frac{49n\pi}{90}\right) - \cos\left(\frac{40n\pi}{90}\right) + \cos\left(\frac{59n\pi}{90}\right) - \cos\left(\frac{50n\pi}{90}\right) \right. \\
 &+ \cos\left(\frac{67.2n\pi}{90}\right) - \cos\left(\frac{60n\pi}{90}\right) + \cos\left(\frac{74.5n\pi}{90}\right) - \cos\left(\frac{70n\pi}{90}\right) + \cos\left(\frac{81.8n\pi}{90}\right) - \cos\left(\frac{80n\pi}{90}\right) - \cos\left(\frac{99n\pi}{90}\right) + \cos\left(\frac{97.2n\pi}{90}\right) - \cos\left(\frac{109n\pi}{90}\right) + \cos\left(\frac{104.5n\pi}{90}\right) - \cos\left(\frac{119n\pi}{90}\right) + \cos\left(\frac{111.8n\pi}{90}\right) \\
 &\left. - \cos\left(\frac{120n\pi}{90}\right) + \cos\left(\frac{129n\pi}{90}\right) - \cos\left(\frac{139n\pi}{90}\right) + \cos\left(\frac{130n\pi}{90}\right) - \cos\left(\frac{149n\pi}{90}\right) + \cos\left(\frac{140n\pi}{90}\right) - \cos\left(\frac{157.2n\pi}{90}\right) + \cos\left(\frac{150n\pi}{90}\right) - \cos\left(\frac{164.5n\pi}{90}\right) + \cos\left(\frac{160n\pi}{90}\right) - \cos\left(\frac{171.8n\pi}{90}\right) + \cos\left(\frac{170n\pi}{90}\right) \right] \quad (4.14)
 \end{aligned}$$

จากสมการที่(4.13) และสมการที่ (4.14) สามารถนำไปแทนหาแรงดันพีคดับลิแวมเอ๊าท์พุทได้โดยใช้สมการอนุกรมฟูเรียร์แทนค่าหาแรงดัน RMS ของพินดามทอล

#### 4.3.6 สมการอนุกรมฟูเรียร์โดยทั่วไปของแบบพัลส์ไม่เท่า (SPWM)

จากหลักการสร้างสมการของแรงดันเอ๊าท์พุท SPWM พีคดับลิแวมเอ๊าท์พุทแบบ 18 พัลส์ที่มีค่าดิวิตีเรโฆ 0.9 ในหัวข้อที่ 4.36 ที่ผ่านมานี้ในลักษณะเดียวกันนั้นได้สร้างสมการแรงดันพีคดับลิแวมเอ๊าท์พุทแบบ 18 พัลส์ที่ดิวิตีเรโฆค่าต่างๆ ได้นำมาสรุปเป็นสมการแรงดันพีคดับลิแวมเอ๊าท์พุทแบบ 18 พัลส์ที่ดิวิตีเรโฆค่าใดๆ ได้เป็นสมการทั่วไปดังนี้

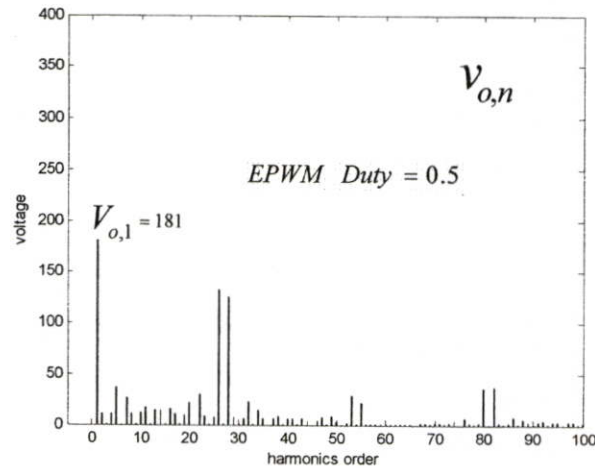
$$\begin{aligned}
 V_{o,1} = & \frac{V_{av}}{n\pi} \sum_{x=0}^{x=nm} \left\{ \begin{aligned} & \sin \left[ \frac{(D)n\pi}{9} \right] - \sin \left[ \frac{(D-(D)duty 1)n\pi}{9} \right] + \sin \left[ \frac{(D+1)n\pi}{9} \right] - \sin \left[ \frac{(D+1-(D)duty 2)n\pi}{9} \right] \\ & + \sin \left[ \frac{(D+2)n\pi}{9} \right] - \sin \left[ \frac{(D+2-(D)duty 3)n\pi}{9} \right] + \sin \left[ \frac{(3+(D)duty 4)n\pi}{9} \right] - \sin \left[ \frac{3n\pi}{9} \right] \\ & + \sin \left[ \frac{(4+(D)duty 4)n\pi}{9} \right] - \sin \left[ \frac{4n\pi}{9} \right] + \sin \left[ \frac{(5+(D)duty 4)n\pi}{9} \right] - \sin \left[ \frac{5n\pi}{9} \right] \\ & + \sin \left[ \frac{(6+(D)duty 3)n\pi}{9} \right] - \sin \left[ \frac{6n\pi}{9} \right] + \sin \left[ \frac{(7+(D)duty 2)n\pi}{9} \right] - \sin \left[ \frac{7n\pi}{9} \right] \\ & + \sin \left[ \frac{(8+(D)duty 1)n\pi}{9} \right] - \sin \left[ \frac{8n\pi}{9} \right] - \sin \left[ \frac{(D+9)n\pi}{9} \right] + \sin \left[ \frac{(D+9-(D)duty 1)n\pi}{9} \right] \\ & - \sin \left[ \frac{(D+10)n\pi}{9} \right] + \sin \left[ \frac{(D+10-(D)duty 2)n\pi}{9} \right] - \sin \left[ \frac{(D+11)n\pi}{9} \right] + \sin \left[ \frac{(D+11-(D)duty 3)n\pi}{9} \right] \\ & - \sin \left[ \frac{(D+12)duty 4)n\pi}{9} \right] + \sin \left[ \frac{12n\pi}{9} \right] - \sin \left[ \frac{(13+(D)duty 4)n\pi}{9} \right] + \sin \left[ \frac{13n\pi}{9} \right] \\ & - \sin \left[ \frac{(14+(D)duty 4)n\pi}{9} \right] + \sin \left[ \frac{14n\pi}{9} \right] - \sin \left[ \frac{(15+(D)duty 3)n\pi}{9} \right] + \sin \left[ \frac{15n\pi}{9} \right] \\ & - \sin \left[ \frac{(16+(D)duty 2)n\pi}{9} \right] + \sin \left[ \frac{16n\pi}{9} \right] - \sin \left[ \frac{(17+(D)duty 1)n\pi}{9} \right] + \sin \left[ \frac{17n\pi}{9} \right] \end{aligned} \right\} \cos n\omega t \\
 & + \frac{V_{av}}{n\pi} \sum_{x=0}^{x=nm} \left\{ \begin{aligned} & \cos \left[ \frac{(D)n\pi}{9} \right] - \cos \left[ \frac{(D-(D)duty 1)n\pi}{9} \right] + \cos \left[ \frac{(D+1)n\pi}{9} \right] - \cos \left[ \frac{(D+1-(D)duty 2)n\pi}{9} \right] \\ & + \cos \left[ \frac{(D+2)n\pi}{9} \right] - \cos \left[ \frac{(D+2-(D)duty 3)n\pi}{9} \right] + \cos \left[ \frac{(3+(D)duty 4)n\pi}{9} \right] - \cos \left[ \frac{3n\pi}{9} \right] \\ & + \cos \left[ \frac{(4+(D)duty 4)n\pi}{9} \right] - \cos \left[ \frac{4n\pi}{9} \right] + \cos \left[ \frac{(5+(D)duty 4)n\pi}{9} \right] - \cos \left[ \frac{5n\pi}{9} \right] \\ & + \cos \left[ \frac{(6+(D)duty 3)n\pi}{9} \right] - \cos \left[ \frac{6n\pi}{9} \right] + \cos \left[ \frac{(7+(D)duty 2)n\pi}{9} \right] - \cos \left[ \frac{7n\pi}{9} \right] \\ & + \cos \left[ \frac{(8+(D)duty 1)n\pi}{9} \right] - \cos \left[ \frac{8n\pi}{9} \right] - \cos \left[ \frac{(D+9)n\pi}{9} \right] + \cos \left[ \frac{(D+9-(D)duty 1)n\pi}{9} \right] \\ & - \cos \left[ \frac{(D+10)n\pi}{9} \right] + \cos \left[ \frac{(D+10-(D)duty 2)n\pi}{9} \right] - \cos \left[ \frac{(D+11)n\pi}{9} \right] + \cos \left[ \frac{(D+11-(D)duty 3)n\pi}{9} \right] \\ & - \cos \left[ \frac{(12+(D)duty 4)n\pi}{9} \right] + \cos \left[ \frac{12n\pi}{9} \right] - \cos \left[ \frac{(13+(D)duty 4)n\pi}{9} \right] + \cos \left[ \frac{13n\pi}{9} \right] \\ & - \cos \left[ \frac{(14+(D)duty 4)n\pi}{9} \right] + \cos \left[ \frac{14n\pi}{9} \right] - \cos \left[ \frac{(15+(D)duty 3)n\pi}{9} \right] + \cos \left[ \frac{15n\pi}{9} \right] \\ & - \cos \left[ \frac{(16+(D)duty 2)n\pi}{9} \right] + \cos \left[ \frac{16n\pi}{9} \right] - \cos \left[ \frac{(17+(D)duty 1)n\pi}{9} \right] + \cos \left[ \frac{17n\pi}{9} \right] \end{aligned} \right\} \sin n\omega t
 \end{aligned}$$

#### 4.4 การคำนวณหาองค์ประกอบฮาร์โมนิกต่างๆของคลื่นพีคดับบลิวเอ็ม

จากสมการทั่วไปของแรงดันพีคดับบลิวเอ็มเอาต์พุทแบบพัลส์เท่า (EPWM) และแรงดันพีคดับบลิวเอ็มเอาต์พุทแบบพัลส์ไม่เท่า (SPWM) ที่สร้างขึ้นนั้นได้นำมาแทนค่าตัวแปรโฆเท่ากับ 0.5 และ 0.9 ของพีคดับบลิวเอ็มทั้งสองแบบนำมาสร้างแถบสเปกตรัมของฮาร์โมนิกที่ลำดับต่างๆ ได้เป็นกรณีต่างๆดังนี้

#### 4.4.1. กรณีคลื่นพีคดับลิแวมแบบพัลส์เท่า (EPWM) ที่มีค่าดีวีเรโซเท่ากับ 0.5

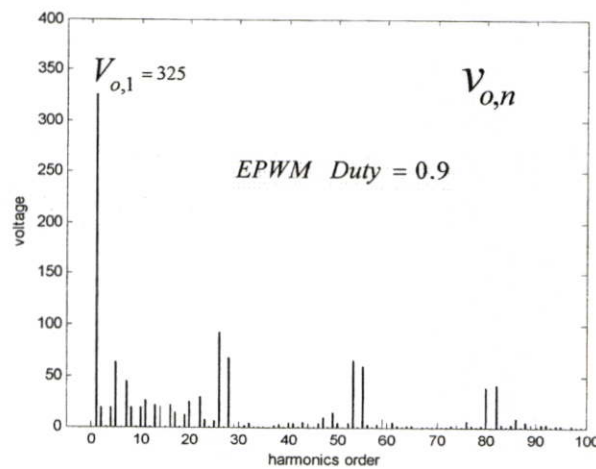
กรณีแรงดันพีคดับลิแวมเอาท์พุทแบบพัลส์เท่า(EPWM) ที่มีค่าดีวีเรโซเท่ากับ 0.5 จะให้ค่าแรงดันเอาท์พุทพินคาเมลทอลเท่ากับ 181 โวลต์และจะมีฮาร์โมนิกส์ลำดับต่ำที่มีค่าสูงแสดงในรูปที่ 4.9



รูปที่ 4.9 แสดงลำดับฮาร์โมนิกส์ของแรงดันพีคดับลิแวมเอาท์พุทแบบพัลส์เท่า (EPWM) ที่ค่าดีวีเรโซ 0.5

#### 4.4.2. กรณีคลื่นพีคดับลิแวมแบบพัลส์เท่า (EPWM) ที่มีค่าดีวีเรโซเท่ากับ 0.9

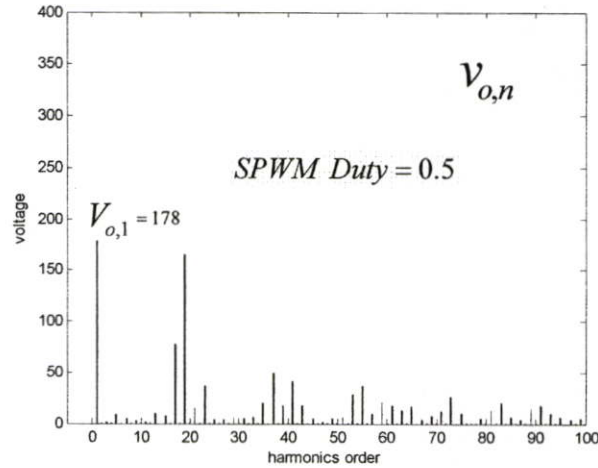
กรณีแรงดันพีคดับลิแวมเอาท์พุทแบบพัลส์เท่า(EPWM) ที่มีค่าดีวีเรโซเท่ากับ 0.9 จะให้ค่าแรงดันเอาท์พุทพินคาเมลทอลเท่ากับ 325 V และจะมีฮาร์โมนิกส์ลำดับต่ำที่มีค่าสูงดังแสดงในรูปที่ 4.10



รูปที่ 4.10 แสดงลำดับฮาร์โมนิกส์ของแรงดันพีคดับลิแวมเอาท์พุทแบบพัลส์เท่า (EPWM) ที่ค่าดีวีเรโซ 0.9

#### 4.4.3. กรณีคลื่นพัลส์บวกลวเอ็มแบบพัลส์ไม่เท่า (SPWM) ที่มีค่าดีวีเรโเท่ากับ 0.5

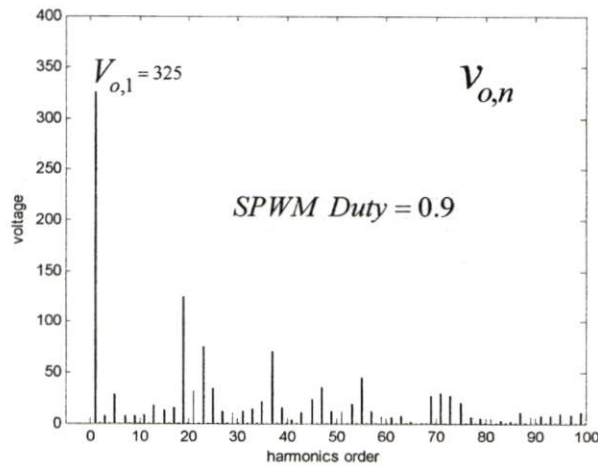
กรณีแรงดันพัลส์บวกลวเอ็มเอาท์พุทแบบพัลส์เท่า (SPWM) ที่มีค่าดีวีเรโเท่ากับ 0.5 จะให้ค่าแรงดันเอาท์พุทพินดามลทอลเท่ากับ 178 V และจะมีฮาโมนิกส์ลำดับต่ำที่มีค่าสูงคั้งแสดงในรูปที่ 4.11



รูปที่ 4.11 แสดงลำดับฮาโมนิกส์ของแรงดันพัลส์บวกลวเอ็มเอาท์พุทแบบพัลส์ไม่เท่า (SPWM) ที่ค่าดีวีเรโ 0.5

#### 4.4.4. กรณีคลื่นพัลส์บวกลวเอ็มแบบพัลส์ไม่เท่า (SPWM) ที่มีค่าดีวีเรโเท่ากับ 0.9

จากรูปที่ 4.7 ถึง 4.10 พิจารณาได้ว่าในคลื่นแรงดันพัลส์บวกลวเอ็มเอาท์พุทแบบพัลส์ไม่เท่า (SPWM) จะมีฮาโมนิกส์ย่านความถี่ต่ำมีขนาดน้อยกว่าคลื่นแรงดันพัลส์บวกลวเอ็มเอาท์พุทแบบพัลส์เท่า (EPWM)



รูปที่ 4.12 แสดงลำดับฮาโมนิกส์ของแรงดันพัลส์บวกลวเอ็มเอาท์พุทแบบพัลส์ไม่เท่า (SPWM) ที่ค่าดีวีเรโ 0.9

#### 4.5 สรุป

ในบทนี้ได้กล่าวถึงการสร้างสมการแรงดันพีคดับลิแอมเอ๊าท์พุทแบบพัลส์เท่า EPWM และพีคดับลิแอมแบบพัลส์ไม่เท่า (SPWM) และสามารถคำนวณแรงดันพีคดับลิแอมเอ๊าท์พุท  $V_{o,1}$  ได้ด้วยสมการอนุกรมฟูเรียร์ซึ่งเป็นสมการที่เกิดจากการรวมกันของสัญญาณที่มีความถี่ต่างๆ สำหรับกรณีคลื่นรูปแบบพัลส์เท่า (EPWM) ซึ่งเป็นรูปแบบที่สามารถสร้างเป็นสมการได้ง่ายซึ่งในพัลส์พีคดับลิแอมแบบพัลส์เท่าจะมีขนาดกว้างเท่ากันทุกพัลส์ทั้งไซเคิลส่วนพีคดับลิแอมแบบพัลส์ไม่เท่ามันจะต้องหาค่าคิวดี้ของแต่ละคิวดี้เรโซโดยจำนวนคิวดี้เรโซนั้นขึ้นอยู่กับจำนวนของพัลส์พีคดับลิแอมแต่ละรูปแบบเช่น พีคดับลิแอมแบบพัลส์ไม่เท่า (SPWM) 18พัลส์ใน 1 ไซเคิลในการที่จะนำสมการอนุกรมฟูเรียร์มาใช้ในการคำนวณแรงดันด้านออกในที่นี้สามารถทำได้โดยการตั้งช่วงอินทิเกรตแรงดันแต่ละพัลส์เพื่อให้ได้องค์ประกอบทั้งหมดของสมการอนุกรมฟูเรียร์ซึ่งสามารถใช้หาค่าได้ทั้งพีคดับลิแอมแบบพัลส์ไม่เท่า (SPWM) และพีคดับลิแอมแบบพัลส์เท่า (EPWM)

## บทที่ 5

### ผลการทดลองและผลการซิมูเลท

#### 5.1 บทนำ

จากบทที่ 4 ที่ผ่านมาได้แสดงให้เห็นถึงวิธีการคำนวณแรงดันพีคดับลิวเอ็มเอท์ที่สามารถปรับเปลี่ยนได้ตามค่าคิวตี้เรโซที่ได้ออกแบบไว้ในพีคดับลิวเอ็มแบบพัลส์เท่า (EPWM) และพีคดับลิวเอ็มแบบพัลส์ไม่เท่า (SPWM) ตลอดจนได้แสดงการหาค่าฮาร์มอนิกส์ในแต่ละลำดับของพัลส์แรงดันพีคดับลิวเอ็มเพื่อใช้ในการเปรียบเทียบคุณลักษณะของแรงดันพีคดับลิวเอ็มเอท์พุทในรูปแบบต่างๆ

แรงดันพีคดับลิวเอ็มแบบพัลส์เท่า (EPWM) ที่มี 12 พัลส์ต่อหนึ่งไซเคิล ด้วยคิวตี้เรโซ 0.1

แรงดันพีคดับลิวเอ็มแบบพัลส์เท่า (EPWM) ที่มี 12 พัลส์ต่อหนึ่งไซเคิล ด้วยคิวตี้เรโซ 0.5

แรงดันพีคดับลิวเอ็มแบบพัลส์เท่า (EPWM) ที่มี 12 พัลส์ต่อหนึ่งไซเคิล ด้วยคิวตี้เรโซ 0.9

แรงดันพีคดับลิวเอ็มแบบพัลส์เท่า (EPWM) ที่มี 18 พัลส์ต่อหนึ่งไซเคิล ด้วยคิวตี้เรโซ 0.1

แรงดันพีคดับลิวเอ็มแบบพัลส์เท่า (EPWM) ที่มี 18 พัลส์ต่อหนึ่งไซเคิล ด้วยคิวตี้เรโซ 0.5

แรงดันพีคดับลิวเอ็มแบบพัลส์เท่า (EPWM) ที่มี 18 พัลส์ต่อหนึ่งไซเคิล ด้วยคิวตี้เรโซ 0.9

แรงดันพีคดับลิวเอ็มแบบพัลส์ไม่เท่า (SPWM) ที่มี 12 พัลส์ต่อหนึ่งไซเคิล ด้วยคิวตี้เรโซ 0.1

แรงดันพีคดับลิวเอ็มแบบพัลส์ไม่เท่า (SPWM) ที่มี 12 พัลส์ต่อหนึ่งไซเคิล ด้วยคิวตี้เรโซ 0.5

แรงดันพีคดับลิวเอ็มแบบพัลส์ไม่เท่า (SPWM) ที่มี 12 พัลส์ต่อหนึ่งไซเคิล ด้วยคิวตี้เรโซ 0.9

แรงดันพีคดับลิวเอ็มแบบพัลส์ไม่เท่า (SPWM) ที่มี 18 พัลส์ต่อหนึ่งไซเคิล ด้วยคิวตี้เรโซ 0.1

แรงดันพีคดับลิวเอ็มแบบพัลส์ไม่เท่า (SPWM) ที่มี 18 พัลส์ต่อหนึ่งไซเคิล ด้วยคิวตี้เรโซ 0.5

แรงดันพีคดับลิวเอ็มแบบพัลส์ไม่เท่า (SPWM) ที่มี 18 พัลส์ต่อหนึ่งไซเคิล ด้วยคิวตี้เรโซ 0.9

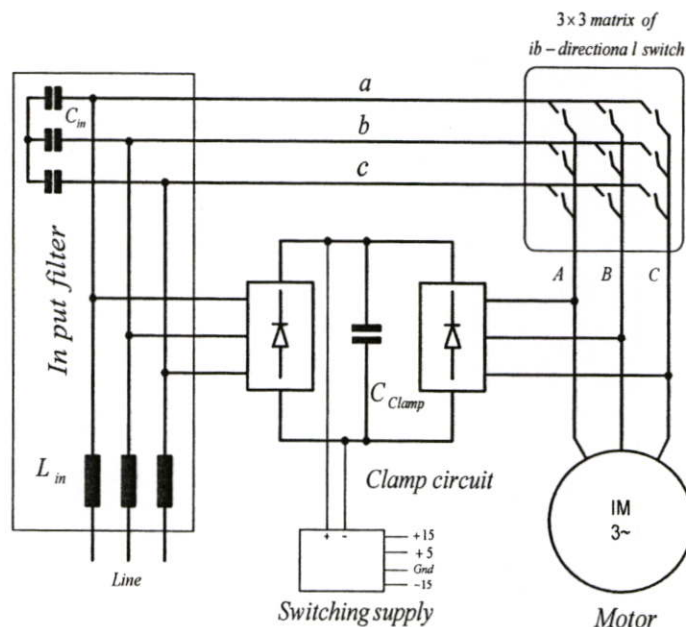
ซึ่งในบทนี้จะได้นำสมการแรงดันพีคดับลิวเอ็มเอท์พุทที่ได้จากการออกแบบ และทำการวิเคราะห์หาสมการรูปคลื่นแรงดัน เพื่อยืนยันความถูกต้องของสมการจึงได้นำสมการไปคำนวณด้วยโปรแกรม MATLAB เพื่อแสดงผลรูปคลื่นแรงดันเอท์พุทไปเปรียบเทียบกับแรงดันเอท์พุทที่ได้จากการทดลอง

#### 5.2 วงจรเมตริกซ์คอนเวอร์เตอร์และวงจรควบคุมการทำงานของสวิทซ์

ลักษณะทั่วไปวงจรเมตริกซ์คอนเวอร์เตอร์ที่สร้างขึ้นประกอบด้วยสวิทซ์สองทาง 9 ชุด คือ สวิทซ์  $S_1 - S_9$  จะทำงานครั้งละ 6 ชุดซึ่งสวิทซ์ทั้ง 6 ชุดนี้จะมีการทำงานลักษณะเดียวกับสัญญาณพี

คัปบลิวเอ็มที่ใช้ในวงจรอินเวอร์เตอร์ 3-เฟส ทั่วไป เพียงแค่จะมีการเปลี่ยนกลุ่มการทำงานไปตามแต่ละระลอกคลื่นที่มีการเปลี่ยนแปลงและจะเรียงลำดับกันไป

### 5.2.1 ส่วนประกอบของเมตริกซ์คอนเวอร์เตอร์



รูปที่ 5.1 วงจรเมตริกซ์คอนเวอร์เตอร์

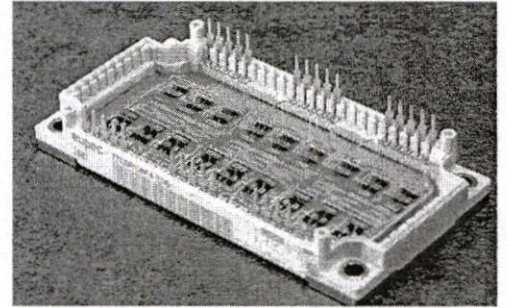
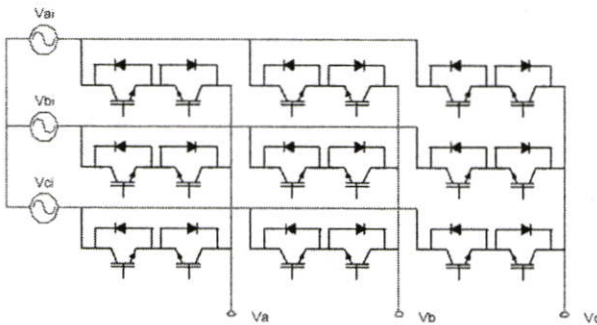
วงจรของเมตริกซ์คอนเวอร์เตอร์จะประกอบด้วย อินพุทฟิลเตอร์, ชุดสวิตช์สองทิศทาง, ชุดแคลมป์และสวิตช์ซึ่งซับซ้อนดังในรูปที่ 5.1 จะมีการทำงานดังนี้ อินพุทฟิลเตอร์ทำหน้าที่ในการกรองฮาร์โมนิกส์ที่เกิดขึ้นจากคอนเวอร์เตอร์ให้เข้าสู่ไลน์ของระบบมีค่าลดลงและยังช่วยชดเชยแรงดันในช่วงที่มีการทำงานของสวิตช์ไม่ให้ลดลง ชุดสวิตช์สองทิศทางทำหน้าที่จ่ายกำลังไปยังโหลด ชุดของแคลมป์และสวิตช์ซึ่งซับซ้อนทำหน้าที่เป็นสแน็บเบอร์ป้องกันสวิตช์เสียหายในขณะที่สวิตช์ off แล้วส่งพลังงานที่ได้ไปใช้เลี้ยงวงจรควบคุมทั้งหมด

ส่วนประกอบที่สำคัญที่ใช้ในการทำงานทั้งหมดมีอยู่ด้วยกันดังนี้

- ชุดสวิตช์สองทาง 9 ชุด โดยใช้ Insulated-gate bipolar transistor (IGBT) ชนิดที่มี Diode
- ชุดตรวจจับแรงดันศูนย์ zero crossing
- ชุดสร้างสัญญาณ PWM ออกแบบโดยใช้ DSP ของไมโครชิป
- ชุดสร้างสัญญาณ 9 สัญญาณ ทำมาจาก Fpga Xilinx
- ชุดควบคุมและแสดงผล

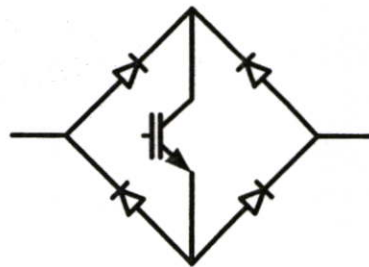
### 5.2.2 รูปแบบของสวิตช์สองทางที่นำมาใช้

สวิตช์ที่สามารถนำมาใช้ได้จะต้องเป็นสวิตช์ที่ยอมให้กระแสไหลได้ทั้งสองทิศทางดังนั้นจึงจำเป็นที่จะต้องนำสวิตช์สองตัวมาต่อร่วมกันนอกจากจะยอมให้ไหลได้ทั้งสองทิศทางแล้วยังต้องสามารถหยุดการนำกระแสได้อีกด้วยในปัจจุบันนี้ได้มีการผลิตเพาเวอร์ โมดูลที่เป็นเมตริกซ์คอนเวอร์เตอร์ที่ประกอบเป็นวงจรอยู่ในแพ็คเกจเดียวกันเริ่มออกมาจำหน่ายแล้วดังเช่น ในรูปที่ 5.2 เป็น Matrix Converter Power Module ของบริษัท Eupec ซึ่งเป็นหนึ่งในบริษัทที่เป็นผู้ผลิต IGBT สำหรับ อินเวอร์เตอร์ และ Matrix Converter Power Module ในรูปที่ 5.2 ตัวอย่างนี้มีพิกัด 400 V, 35 A, 7.5kW



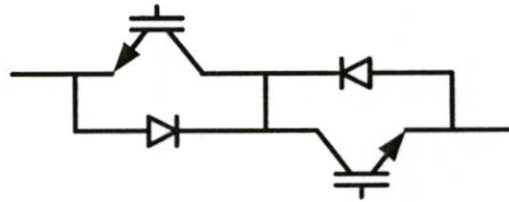
รูปที่ 5.2 ด้านซ้ายเป็น ไดอะแกรมส่วน ด้านขวา เป็น Matrix Converter Power Module

ซึ่งในการทดลองนี้ไม่ได้ใช้เป็นเพาเวอร์ โมดูลแต่จะใช้เป็นตัวแพ็คเกจเดี่ยวๆ แล้วนำมาต่อกัน ในการทดลองนี้ได้ใช้ Insulated-gate bipolar transistor (IGBT) ชนิด *N* Channel เพียงชนิดเดียวซึ่งวิธีการต่อนี้จะนำ Diode เข้ามาต่อร่วมเพื่อให้สามารถที่จะบังคับทิศทางของกระแสให้ไหลไปในทิศทางที่ต้องการดังแสดงในรูปต่อไปนี้



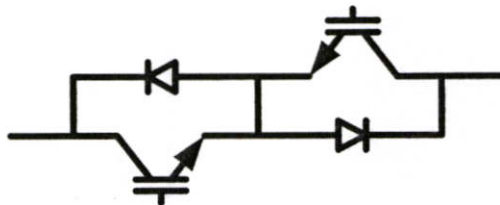
รูปที่ 5.3 การต่อสวิตช์สองทางแบบ Diode Bridge

สวิตช์สองทางแบบ Diode Bridge ดังรูปที่ 5.3 มีลักษณะการต่อที่ใช้เป็นรูปแบบที่ต่อได้ง่ายใช้สวิตช์ไอจีบีทีเพียงตัวเดียวต่อร่วมกับ ไดโอด 4 ตัวการและใช้สวิตช์ไอจีบีทีเพียงตัวเดียวต่อรูปแบบนี้จะใช้ชุดเกทไครว์เพียงชุดเดียวต่อสวิตช์สองทางหนึ่งตัวแต่การต่อแบบนี้มันจะมีการสูญเสียสูงกว่าแบบอื่นเนื่องจากในขณะที่สวิตช์ทำงานนั้นกระแสจะต้องผ่าน ไดโอด 2 ตัว และสวิตช์ไอจีบีทีอีก 1 ตัวทำให้เกิดการสูญเสีย 3 ช่วง



รูปที่ 5.4 การต่อสวิตช์สองทางแบบ Back to Switch C

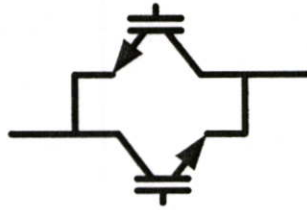
สวิตช์สองทางแบบ Back to Switch C ดังรูปที่ 5.4 มีลักษณะการต่อที่ใช้สวิตช์ไอจีบีที 2 ตัว และไดโอด 2 ตัว ทำงานร่วมกัน หรือเรียกการต่อแบบนี้ว่า “Common Collector” การต่อรูปแบบนี้จะใช้ชุดเกทไครว์ 2 ชุดเพื่อขับสวิตช์สองทิศทางหนึ่งตัว การสูญเสียจะเกิดขึ้นในไดโอด 1 ตัวและในสวิตช์ไอจีบีทีอีก 1 ตัวหนึ่งตัว ดังนั้นการต่อแบบนี้ทำให้เกิดการสูญเสียอยู่ 2 ช่วง



รูปที่ 5.5 การต่อสวิตช์สองทางแบบ Back to Switch E

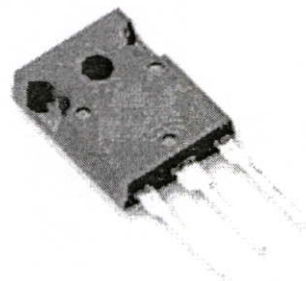
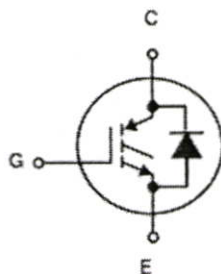
สวิตช์สองทางแบบ Back to Switch E ดังรูปที่ 5.5 มีลักษณะการต่อที่ใช้สวิตช์ไอจีบีที 2 ตัว และไดโอด 2 ตัว ทำงานร่วมกัน หรือเรียกการต่อแบบนี้ว่า “Common Emitter” การต่อรูปแบบนี้จะใช้ชุดเกทไครว์ 1 ชุดเพื่อขับสวิตช์สองทิศทางหนึ่งตัว การสูญเสียจะเกิดขึ้นในไดโอด 1 ตัวและสวิตช์ไอจีบีทีอีก 1 ตัวหนึ่งตัวทำงานร่วมกัน ดังนั้นการต่อรูปแบบนี้ทำให้เกิดการสูญเสียอยู่ 2 ช่วง จากรูปแบบการ

ต่อสวิตช์สองทางต่างๆที่ได้กล่าวไว้แล้วในการทดลองนี้ได้เลือกรูปแบบที่สามซึ่งใช้ชุดเกทไดรว์เดียวกันได้ในขณะที่สวิตช์ทำงานจะมีแรงดันตกคร่อมอยู่ 2 ช่วง คือตกคร่อมที่ไอจีบีที และไดโอด



รูปที่ 5.6 การต่อสวิตช์สองทางแบบ RB-IGBTs

สวิตช์สองทางแบบ Reverse-blocking IGBTs (RB-IGBTs) ดังรูปที่ 5.6 ลักษณะการต่อที่ใช้สวิตช์ไอจีบีที 2 ตัวโดยไม่ต้องใช้ไดโอดทำให้ไม่เกิดการสูญเสียจะเกิดขึ้นในไดโอด [6] จะเกิดการสูญเสียเฉพาะในส่วนสวิตช์ไอจีบีทีอีก 1ตัวหนึ่งตัว ดังนั้นการต่อรูปแบบนี้ทำให้เกิดการสูญเสียน้อยมาก ในการทดลองนี้ใช้สวิตช์ไอจีบีที ชนิด  $N$  Channel เบอร์ HGTG18N120BND ในรูปที่ 5.7 ซึ่งมีคุณสมบัติ ดังนี้ พิกัดกระแส 54A พิกัดแรงดัน 1200V NPT

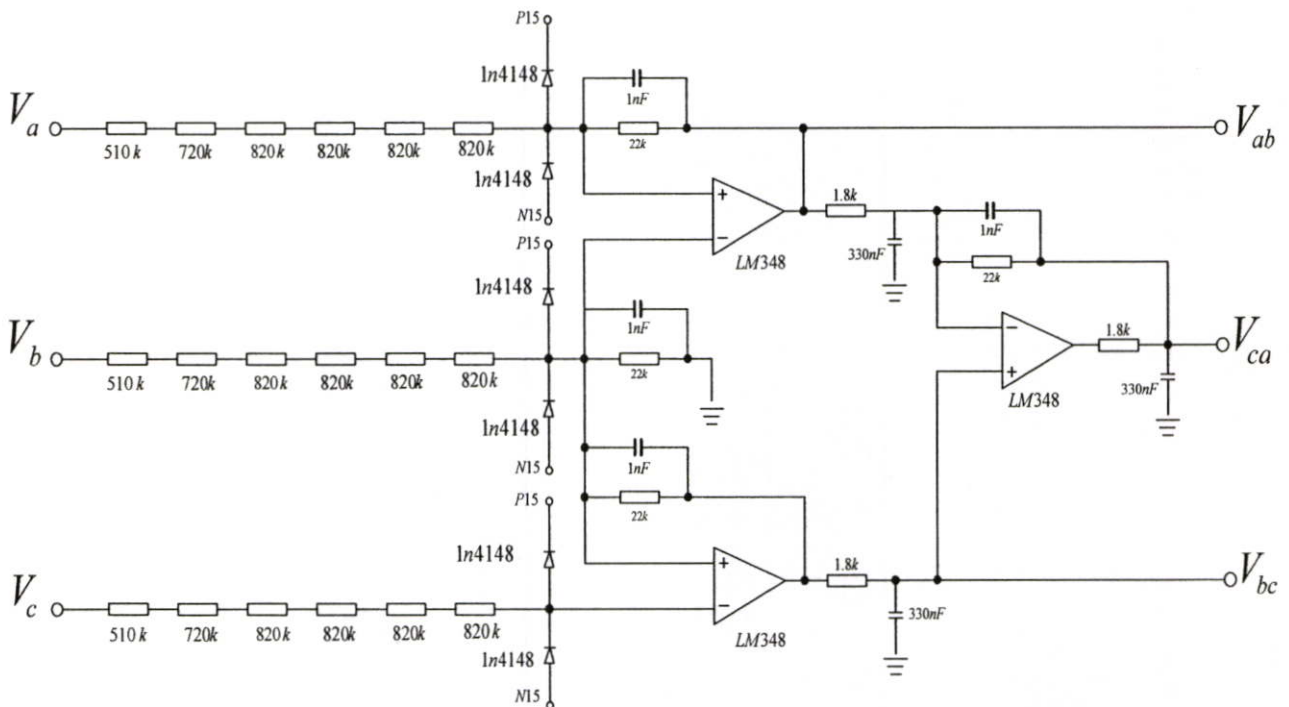


รูปที่ 5.7 สัญลักษณ์และรูปของ IGBT

ชนิด  $N$ -Channel เป็น IGBT ที่มีการออกแบบเพื่อใช้ต่อแบบ ANTI PARALLEL มี HYPERFAST DIODE (ไดโอดความถี่สูงที่มีพิกัดเท่ากับพิกัดของ IGBT) อยู่ภายใน

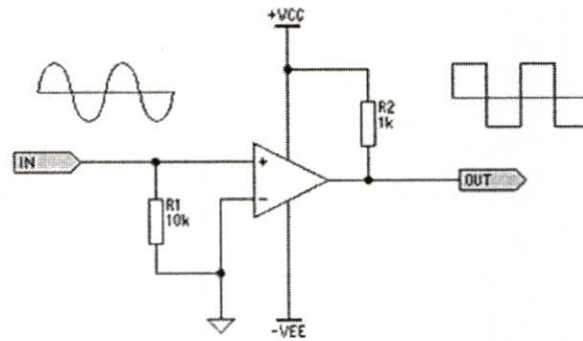
### 5.2.3 วงจรลดทอนแรงดันไลน์เพื่อใช้ในการตรวจจับแรงดันศูนย์

ในวงจรเมตริกซ์คอนเวอร์เตอร์มีความจำเป็นที่จะต้องตรวจจับแรงดันไลน์ของเฟส  $V_{ab}, V_{ac}, V_{bc}, V_{ba}, V_{ca}, V_{cb}$  ด้านอินพุตตามที่ได้อธิบายในบทที่ 3 เพื่อนำไปเลือกไปเลือกกลุ่มของ สวิตช์ที่จะให้ทำงาน 6 สวิตช์จากทั้งหมด 9 สวิตช์ แต่แรงดันไลน์ด้านเข้ามีค่าแรงดันที่สูงมากเมื่อเทียบ แรงดันที่ใช้ในระบบควบคุม และการที่มีออกแบบให้ใช้ตัวต้านทานหลายตัวต่ออนุกรมกันนั้นมีข้อดี คือ ทำให้แรงดันตกคร่อมตัวต้านทานแต่ละตัวมีค่าต่ำลงซึ่งในวงจรนี้ได้ออกแบบแรงดันสูงสุดไว้ที่ ประมาณ 1000 Vp



รูปที่ 5.8 วงจรลดทอนแรงดันไลน์  $V_a, V_b, V_c$

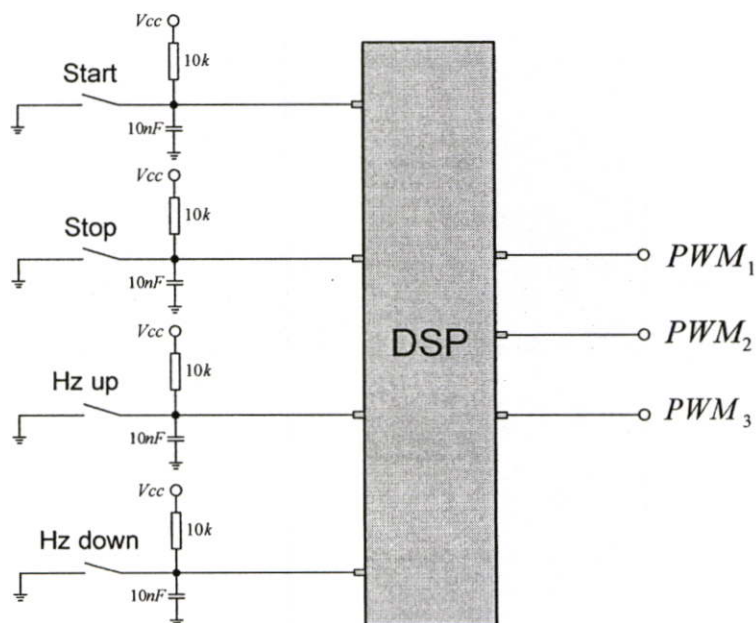
จุดประสงค์ของวงจรลดทอนแรงดัน ในรูปที่ 5.8 ก็คือการลดขนาดของแรงดันไลน์ 3 ให้มีขนาดของแรงดันลดลงจนสามารถที่จะนำไปใช้กับชุดตรวจจับแรงดันศูนย์ (zero crossing) เพื่อที่จะสร้างเป็นสัญญาณสแควเวฟ 3 เฟสและนำสัญญาณส่งต่อไปยัง FPGA



รูปที่ 5.9 วงจร zero crossing

### 5.2.4 วงจรควบคุมการทำงานและปรับค่าความถี่

วงจรควบคุมการทำงานของดิจิตอลซิกแนลโปรเซสซิ่ง (DSP) ในการทำงานของโปรแกรมได้มีการเขียนให้มีสัญญาณควบคุมจากสัญญาณอินพุต 4 สัญญาณ คือ Start, Stop, Hz up, Hz down โดยที่สัญญาณ Start จะใช้ในการเริ่มการทำงานของโปรแกรม สัญญาณ Stop จะใช้ในการหยุดการทำงานของโปรแกรมทั้งหมด สัญญาณ Hz up จะใช้ในการเพิ่มค่าความถี่ให้สูงขึ้น ส่วนสัญญาณ Hz down จะใช้ในการลดค่าความถี่ให้ต่ำลง โดยในขณะที่ความถี่มีการเปลี่ยนแปลงนั้นแรงดันที่ได้ก็จะมีการปรับตามไปด้วย



รูปที่ 5.10 วงจรควบคุมการปรับค่าความถี่และเปิดปิดการทำงาน

และสัญญาณที่สร้างออกมาเพียง 3 สัญญาณเท่านั้น คือ สัญญาณ PWM (1), PWM (2), PWM (3) ดังรูปที่ 5.10 สัญญาณทั้ง 3 นี้ได้มาจาก PWM-Module ที่ฝังอยู่ภายในตัว DSP โดยที่มีการควบคุมให้เป็นไปตามที่ได้ออกแบบไว้ให้การ on, off ของสัญญาณ PWM (1), PWM (2), PWM (3) มีการปรับค่าดีวีเรโซแปรไปตามความถี่อย่างอัตโนมัติ รูปที่ 5.11 แสดงอุปกรณ์ DSP ที่นำมาใช้

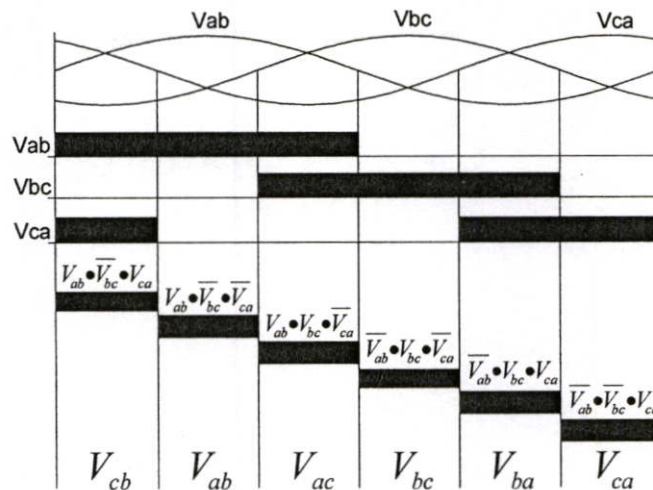


รูปที่ 5.11 อุปกรณ์ DSP

ชุดสร้างสัญญาณพีดับบลิวเอ็มนี้จาก DSP ของบริษัท ไมโครชิป โปรแกรมที่ใช้ในการเขียนก็เป็นของบริษัท ไมโครชิปเช่นเดียวกันและสัญญาณที่สร้างขึ้นมานี้จะส่งต่อไปยัง FPGA เพื่อไปสร้างเป็นสัญญาณควบคุมสวิทช์

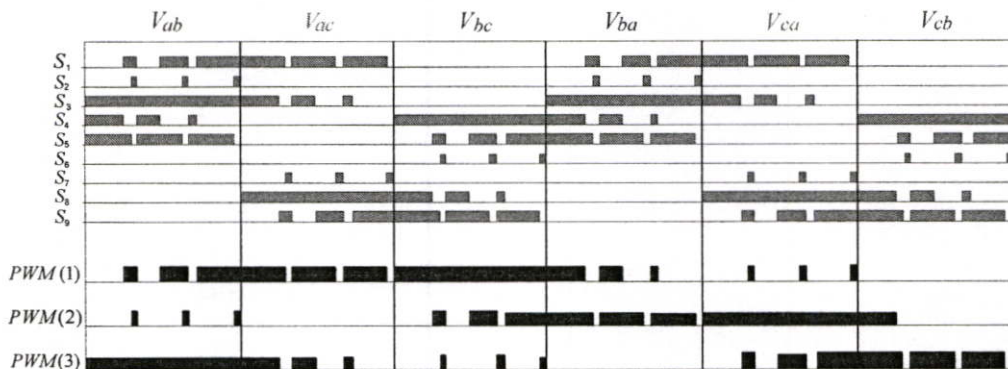
### 5.2.5 ชุดสร้างสัญญาณ 9 สัญญาณ

ในการสร้างสัญญาณพัลส์พีดับบลิวเอ็ม 9 สัญญาณนั้นเริ่มจากการรับสัญญาณของระลอกคลื่น  $V_{ab}, V_{ca}, V_{bc}$  และในกรณีที่เฟสของแรงดันไลน์อินพุทไม่สมดุลได้มีการเขียนโปรแกรมที่ชดเชยเฟสของแรงดันไลน์อินพุทแต่ละเฟสไว้ด้วย แสดงในรูปที่ 5.12 เป็นไดอะแกรมการสร้างสัญญาณ 6 ระลอกคลื่นซึ่งทั้ง 3 ระลอกคลื่นนี้จะได้นำไปเข้าใช้ใน (FPGA) เพื่อสร้างสัญญาณ 60 องศาจำนวน 6 สัญญาณคือ  $V_{ab}, V_{ac}, V_{bc}, V_{ba}, V_{ca}, V_{cb}$  ใช้ในการบอกเฟสของแรงดันไลน์ด้านเข้า สัญญาณทั้ง 6 ระลอกนี้ทำหน้าที่เลือกสวิทช์ให้ทำงานครั้งละ 6 ชุดหลังจากนั้นสวิทช์ทั้ง 6 จะถูกขับโดยสัญญาณที่ได้จาก DSP ทั้ง 3 คือ PWM1, PWM2, PWM3 รวมกับสัญญาณที่มีการอินเวอร์แล้วรวมเป็น 6 สัญญาณนำไปควบคุมสวิทช์ที่ได้ถูกเลือกไว้แล้ว



รูปที่ 5.12 ไคอะแกรมการสร้างสัญญาณ 6 ระลอกคลื่น

ซึ่งในแต่ละระลอกขับลักษณะเดียวกับอินเวอร์เตอร์เมื่อทำงานครบ 6 ระลอกทำให้สวิตช์ทั้ง 9 มีการทำงานครบทุกตัวแสดงการทำงานของสวิตช์ทั้ง 9 ดังรูปที่ 5.14 และยังมีการเขียน โปรแกรมตั้งเวลา ป้องกันไม่ให้สัญญาณควบคุมสวิตช์ทั้ง 9 ทำงานซ้อนกันไว้ใน FPGA ด้วย



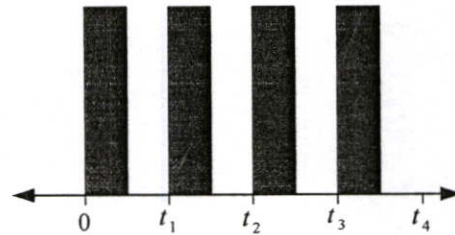
รูปที่ 5.13 ด้านล่างเป็นสัญญาณพัลส์ที่สร้างจาก DSP ส่วนด้านบนเป็นสัญญาณควบคุมสวิตช์

โปรแกรมที่ใช้ในการเขียนนั้น ใช้โปรแกรม ISE Service Pack ของ บริษัท Xilinx และเขียนด้วยภาษา VHDL สัญญาณที่สร้างขึ้นด้วยเงื่อนไขดังกล่าวแล้วจะถูกขับยังชุดขับ ไอจีบีทีที่ใช้ทั้งหมด 9 ชุด ขับ ไอจีบีทีครั้งละ 2 ตัวพร้อมกันซึ่งการต่อสวิตช์แบบ Common Emitter สามารถที่จะต่อได้เลยซึ่งมีจุดคอมมอนร่วมกันอยู่ส่วนชุดจ่ายไฟให้กับชุดขับนี้จะมีอยู่ด้วยกันทั้งหมด 9 ชุด

### 5.3 หลักการในการทำความถี่สวิตช์ซึ่งให้สูงขึ้น

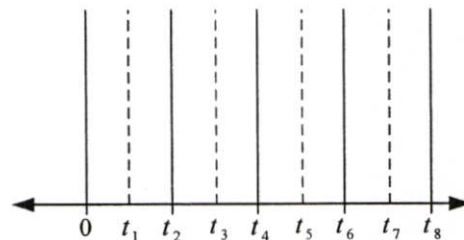
### 5.3.1 การแบ่งเป็นอัตราส่วนของแต่ละพัลส์ตามจำนวนเท่าที่ต้องการ

หลักการในการเพิ่มจำนวนพัลส์นั้นจะใช้วิธีการแบ่งพัลส์เดิมออกเป็นส่วนๆ ยิ่งมีการแบ่งออกมาก็จะทำให้ได้จำนวนพัลส์มากตามเมื่อจำนวนพัลส์ต่อไซเคิลมากความถี่สวิตชิ่งก็จะสูงขึ้นด้วย ไม่ว่าจะเป็นพัลส์รูปแบบใดที่ต่างกันก็คือในกรณีที่พีคดับลิวเอ็มมีจำนวนพัลส์น้อยจะทำให้การเพิ่มความถี่ครั้งละน้อยๆ ตามจำนวนพัลส์พีคดับลิวเอ็มนั้น วิธีการแบ่งจำนวนพัลส์สามารถทำได้ดังนี้



รูปที่ 5.14 รูปพัลส์พีคดับลิวเอ็มก่อนที่จะเพิ่มจำนวน

รูปที่ 5.15 เป็นตัวอย่างของพัลส์ที่ยังไม่ได้มีการแบ่งโดยที่เป็นพัลส์แบบที่ทุกพัลส์เท่ากัน (EPWM) ที่มีค่าดีวตี้เรโซเท่ากับ 0.5 และจะเห็นได้ว่าพัลส์แรกจะมีค่าเป็นบวกในช่วง  $0 - 0.5t_1$  ช่วงที่มีค่าเป็นศูนย์อยู่ในช่วง  $0.5t_1 - t_1$  จากนั้นทำการแบ่งคาบเวลาจาก  $t_1$  เดิมลงครึ่งหนึ่งทำให้ได้คาบเวลาใหม่ที่ลดลงดังนั้น



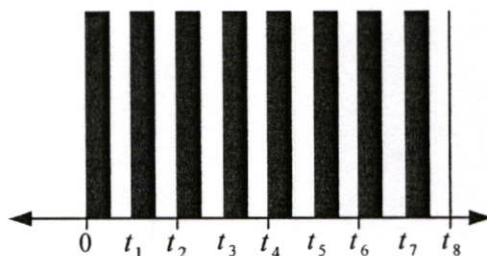
รูปที่ 5.15 รูปพัลส์พีคดับลิวเอ็มที่ได้มีการแบ่งพัลส์

$t_1$  ใหม่จะมีขนาดเพียงครึ่งหนึ่งของ  $t_1$  เดิมดังแสดงในรูปที่ 5.16 เป็นการกำหนดให้ความกว้างพัลส์ลดลงครึ่งหนึ่งแสดงเส้นปะคือคาบเวลาใหม่ที่มีค่าลดลงจากเดิมครึ่งหนึ่ง

### 5.3.2 การเพิ่มพัลส์เข้าไปเพื่อให้มีความถี่สูงขึ้น

การเพิ่มพัลส์เข้าไปทำให้ความถี่ที่ได้นั้นจะมีค่าความถี่สูงขึ้นเป็นจำนวนเท่าด้วยโดยที่ค่าต้องรักษาอัตราส่วนของพัลส์หรือว่าดีวตี้เรโซยังคงมีค่าเท่าเดิม เช่น ในกรณี que เริ่มต้นจากพัลส์พีคดับลิวเอ็ม

แบบ 12 พัลส์ต่อหนึ่งไซเคิลการแบ่งพัลส์เริ่มต้นที่แบ่ง 1 พัลส์ออกเป็น 2 พัลส์ทำให้ได้ความถี่เพิ่มขึ้นเป็น 2 เท่า ดังนั้นในกรณีนี้จะได้พัลส์พีคดับทิวเอ็มแบบ 24 พัลส์ต่อหนึ่งไซเคิลดังแสดงในรูปที่ 5.17 และถ้าแบ่งหนึ่งพัลส์ให้เป็น 3 ส่วนก็จะได้ว่า  $(12 \times 3)$  36 พัลส์ต่อหนึ่งไซเคิล



รูปที่ 5.16 รูปพัลส์พีคดับทิวเอ็มที่มีการเพิ่มความถี่สูงขึ้น โดยที่ค่าคิวตี้เรโซต่ำเดิม

ในการทดลองนี้จะแบ่งการเพิ่มพัลส์อยู่หลายระดับเพื่อที่จะรักษาความถี่สวิทซ์ซึ่งให้มีค่าอยู่ในช่วง 4 kHz ถึง 5.4 kHz แล้วยังคงให้แรงดันออกมามีค่าเท่ากับที่คำนวณไว้โดยจะแบ่งไว้ดังนี้

ที่ความถี่ 1 ถึง 2 Hz ใช้การคูณเพิ่ม เป็น 150 เท่า

ที่ความถี่ 2 ถึง 3 Hz ใช้การคูณเพิ่ม เป็น 100 เท่า

ที่ความถี่ 3 ถึง 10 Hz ใช้การคูณเพิ่ม เป็น 30 เท่า

ที่ความถี่ 10 ถึง 25 Hz ใช้การคูณเพิ่ม เป็น 12 เท่า

ที่ความถี่ 25 ถึง 50 Hz ใช้การคูณเพิ่ม เป็น 6 เท่า

ที่ความถี่ 50 ถึง 75 Hz ใช้การคูณเพิ่ม เป็น 4 เท่า

สามารถคำนวณได้จาก จำนวนพัลส์ใน 1 ไซเคิล  $\times$  ความถี่  $\times$  กับตัวคูณ

ที่ความถี่เท่ากับ 2 Hz สามารถคำนวณได้ดังนี้  $18 \times 2 \times 150 = 5400$

ที่ความถี่เท่ากับ 3 Hz สามารถคำนวณได้ดังนี้  $18 \times 3 \times 100 = 5400$

ที่ความถี่เท่ากับ 10 Hz สามารถคำนวณได้ดังนี้  $18 \times 10 \times 30 = 5400$

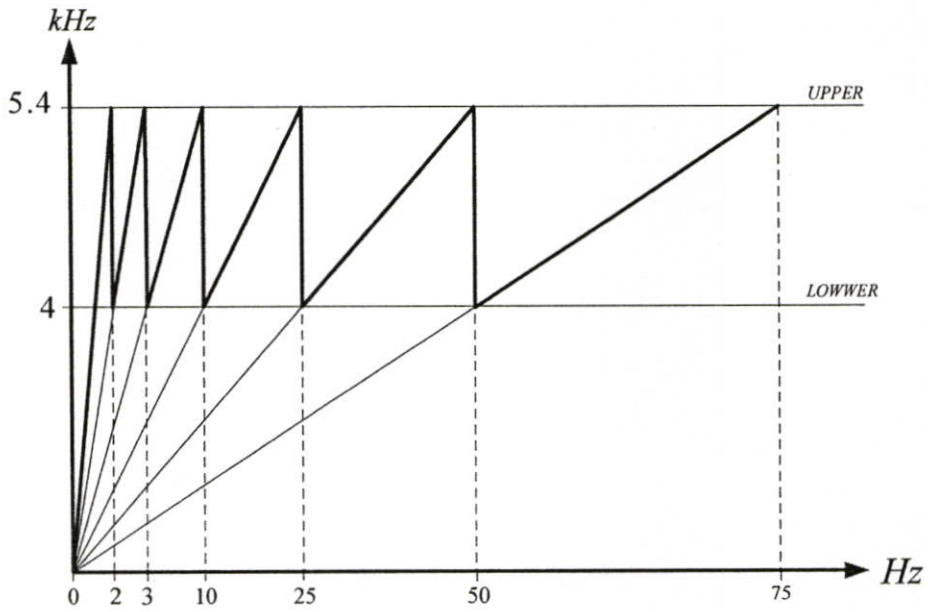
ที่ความถี่เท่ากับ 25 Hz สามารถคำนวณได้ดังนี้  $18 \times 25 \times 12 = 5400$

ที่ความถี่เท่ากับ 50 Hz สามารถคำนวณได้ดังนี้  $18 \times 50 \times 6 = 5400$

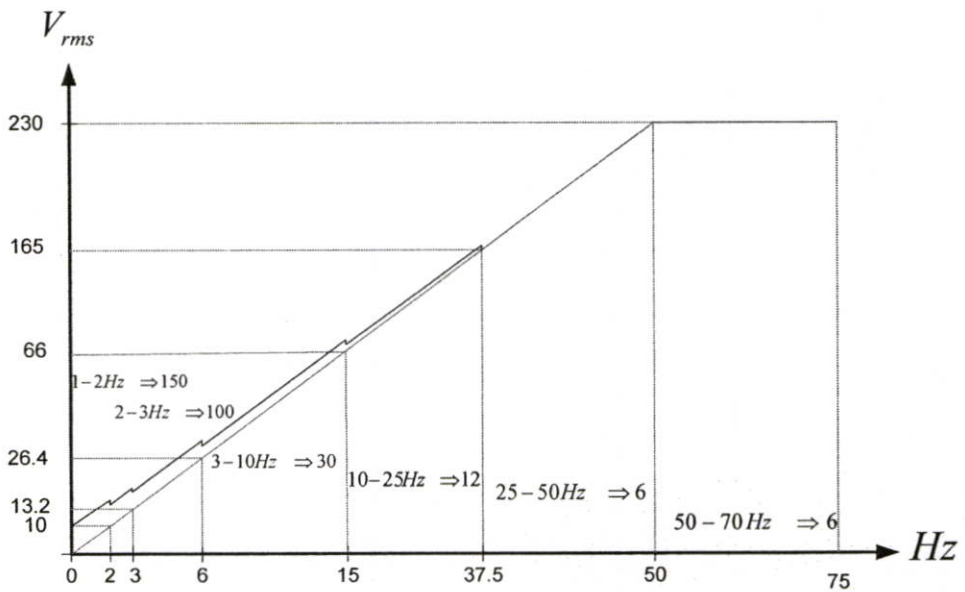
ที่ความถี่เท่ากับ 75 Hz สามารถคำนวณได้ดังนี้  $18 \times 75 \times 4 = 5400$

เมื่อนำมาสร้างเป็นกราฟค่าความถี่สวิทซ์ซึ่งต่อความถี่ความถี่เอาท์พุทดังแสดงในรูปที่ 5.18

โดยที่มีการเลือกใช้ตามย่านความถี่ที่เหมาะสมอย่างอัตโนมัติ



รูปที่ 5.17 กราฟความสัมพันธ์ระหว่างความถี่เอาต์พุตกับความถี่สวิทซ์ซึ่ง



รูปที่ 5.18 กราฟความสัมพันธ์ระหว่างความถี่เอาต์พุตกับแรงดันเอาต์พุต

จากรูปที่ 5.19 เป็นค่าแรงดันที่ได้จากการคำนวณแรงดันเอาต์พุตในกรณีที่มีการเปลี่ยนความถี่สวิทซ์ซึ่งซึ่งมีลักษณะเป็น switch charge และจะมีการเปลี่ยนแปลงความถี่สวิทซ์ซึ่งไปตามเอาต์พุตอยู่ในช่วงที่ได้กำหนดไว้

#### 5.4 การควบคุมมอเตอร์ด้วยอัตราส่วนแรงดันต่อความถี่ที่มีค่าคงที่และมีการบวสท์แบบเชิงเส้น

เพื่อให้ได้แรงบิดตลอดย่านความถี่ที่ควบคุม เนื่องจากผลของความต้านที่สเตเตอร์ในย่านความถี่ต่ำทำให้ค่าฟลักมีค่าไม่คงที่ตลอดย่านความถี่ที่ปรับ ตามที่ได้อธิบายไว้ในบทที่ 2 ที่ผ่านมาและได้แสดงการคำนวณหาค่าแรงดันที่ต้องมีการบวสท์ จากสมการที่ 2.13 ในบทที่ 2 ได้แสดงสมการหาค่าแรงดันที่ต้องการบวสท์

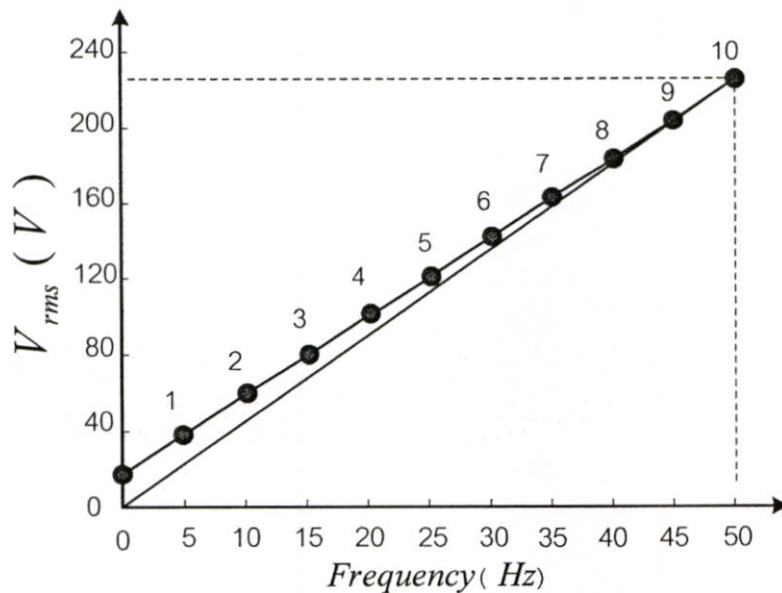
$$V_s = kf + R_s I_r$$

ความต้านทานของสเตเตอร์มอเตอร์ที่ใช้มีค่าเท่ากับ 5.5 โอห์ม กระแสมอเตอร์ที่พิกัด 3.55 A เมื่อ  $I_m$  เทียบกับ  $I_r$  ที่กระแสพิกัดมีค่าน้อยมากและคิดที่ความถี่  $f$  เป็นศูนย์ จะได้ดังนี้

$$V_s = 5.5 \times 3.55$$

$$V_s = 19.52 \text{ V}$$

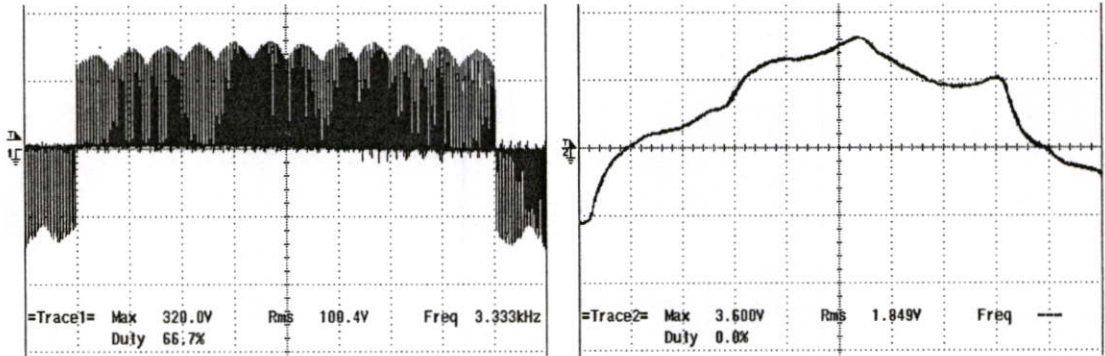
ดังนั้นที่ความถี่ 0 Hz จะต้องมีการจ่ายแรงดัน  $V_s$  มีค่าเท่ากับ 19.52 V จากนั้นจะสร้างเส้นที่จุดนี้ไปยังจุดที่พิกัดเป็นเส้นตรงจึงได้เส้นกราฟใหม่เป็นเส้นกราฟที่มีการบวสท์ค่าดังรูปที่ 5.20



รูปที่ 5.19 แสดงกราฟค่าแรงดันมอเตอร์ 220 v ความถี่ 50 Hz

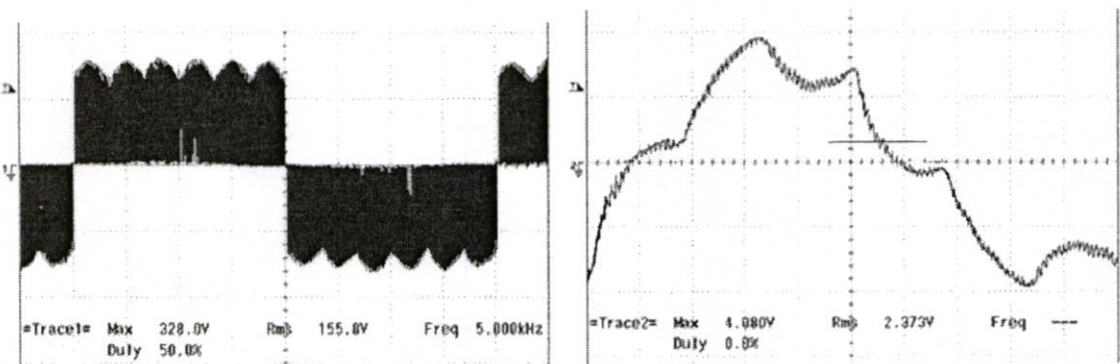
## 5.5 การเปรียบเทียบผลจากการจำลองทางทฤษฎีและผลจากการทดลอง

### 5.5.1 ผลที่ได้จากการทดลองที่ความถี่ 12.5 Hz, 25 Hz และ 50 Hz



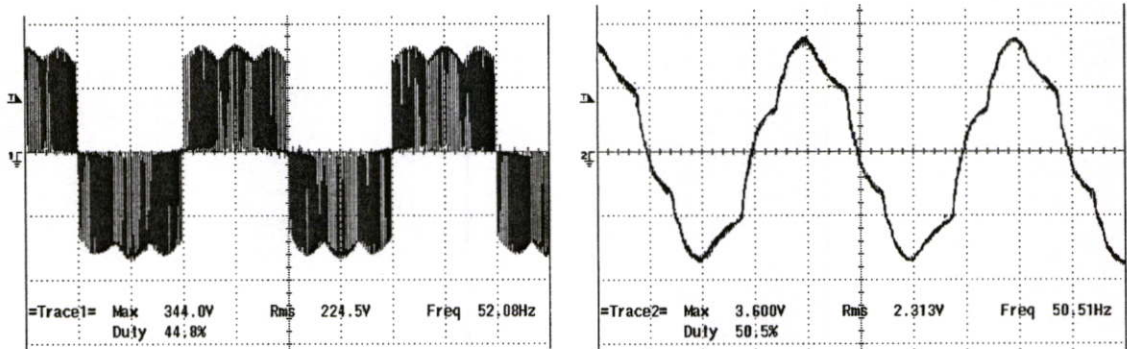
รูปที่ 5.20 แสดงผลการทดลองที่ความถี่ 12.5 Hz ด้านซ้ายเป็นแรงดันและด้านขวาเป็นกระแส

ในรูปที่ 5.21 เป็นผลการทดลองที่พิกัดของมอเตอร์อินดักชันมอเตอร์โดยการปรับความถี่ไปที่ 25 Hz ในรูปแสดงถึงค่าแรงดันเอาต์พุตทางด้านซ้ายและค่ากระแสทางด้านขวาที่ได้จากการออกแบบสัญญาณควบคุมที่ได้สร้างขึ้น



รูปที่ 5.21 แสดงผลการทดลองที่ความถี่ 25 Hz ด้านซ้ายเป็นแรงดันและด้านขวาเป็นกระแส

ในรูปที่ 5.22 เป็นผลการทดลองที่พิกัดของมอเตอร์อินดักชันมอเตอร์โดยการปรับความถี่ไปที่ 25 Hz ในรูปแสดงถึงค่าแรงดันเอาต์พุตทางด้านซ้ายและค่ากระแสทางด้านขวาที่ได้จากการออกแบบสัญญาณควบคุมที่ได้สร้างขึ้น

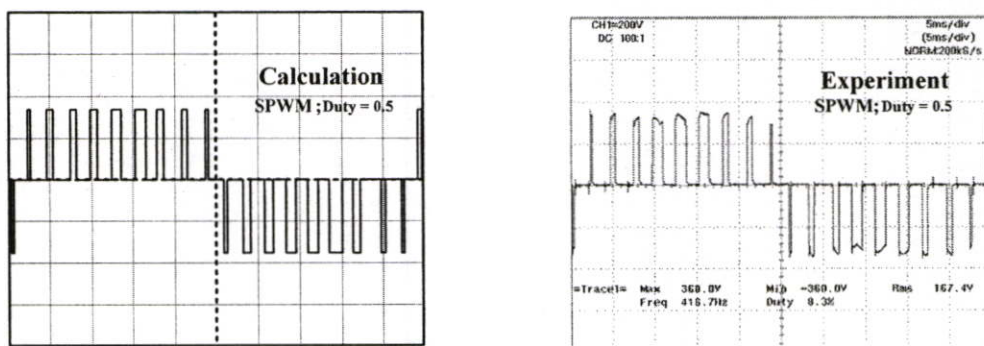


รูปที่ 5.22 แสดงผลการทดลองที่ความถี่ 50 Hz ด้านซ้ายเป็นแรงดันและด้านขวาเป็นกระแส

ในรูปที่ 5.23 เป็นผลการทดลองที่พิกัดของมอเตอร์อินดักชันมอเตอร์ โดยการปรับความถี่ไปที่ 50 Hz ในรูปแสดงถึงค่าแรงดันเอาต์พุตทางด้านซ้ายและค่ากระแสทางด้านขวาที่ได้จากการออกแบบสัญญาณควบคุมที่ได้สร้างขึ้น

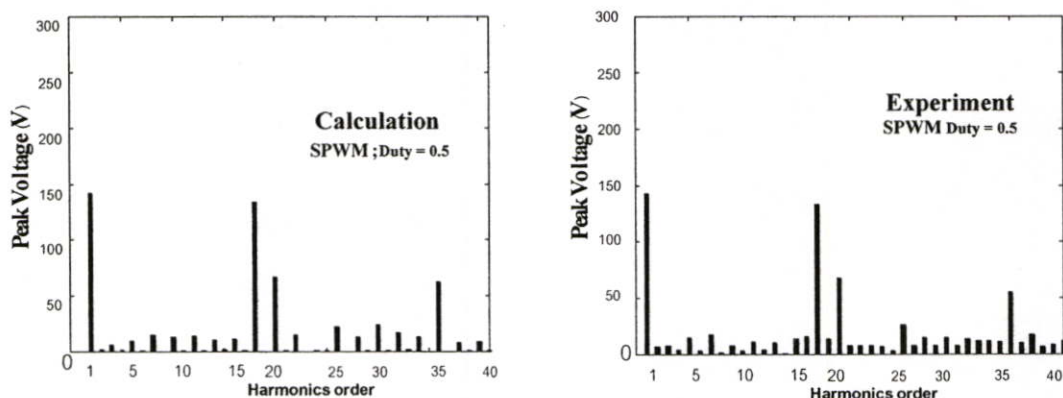
#### 5.5.2 เปรียบเทียบค่าที่ได้จากการคำนวณกับผลการทดลองในกรณีพัลส์เท่า (SPWM) 18พัลส์

ค่าที่ได้มาจากการคำนวณนั้น ได้มาจากการนำสมการที่ได้ออกแบบไว้มาพล็อตเก็บค่าที่ละจุดโดยใช้โปรแกรม MATLAB ช่วยในการคำนวณ กรณีแรกที่ค่าคิวดิเร โชมิน่าเท่ากับ 0.5 ที่ความถี่เอาต์พุตเท่ากับ 50 Hz ดังรูปที่ 5.24 เป็นการเปรียบเทียบระหว่างผลที่ได้จากการคำนวณทางรูปซ้ายและรูปด้านขวาได้จากการทดลองที่ค่าคิวดิเร โชมิน่าเท่ากับ 0.5 เมื่อเปรียบเทียบแล้วผลที่ได้ทั้งระดับแรงดันและขนาดของคิวดิเร โชมิน่าใกล้เคียงกันแต่จะต่างกันตรงบริเวณยอดของพัลส์ซึ่งค่าที่ได้จากการทดลอง



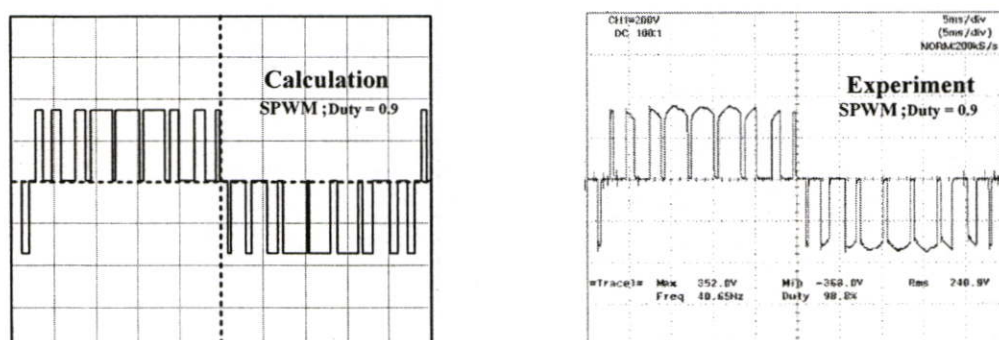
รูปที่ 5.23 เปรียบเทียบรูปคลื่นแรงดันการคำนวณกับผลการทดลองแบบพัลส์ไม่เท่า (SPWM) Duty 0.5

นั่นที่บริเวณยอดพัลส์จะมีค่าแรงดันเป็นระลอกซึ่งมีผลมาจากระลอกของคลื่นแรงดันไลน์อินพุตส่วนค่าที่ได้จากการคำนวณทางคณิตศาสตร์จะใช้ค่าเฉลี่ยดังนั้นบริเวณยอดพัลส์ทุกๆยอดจึงมีแรงดันเท่ากัน

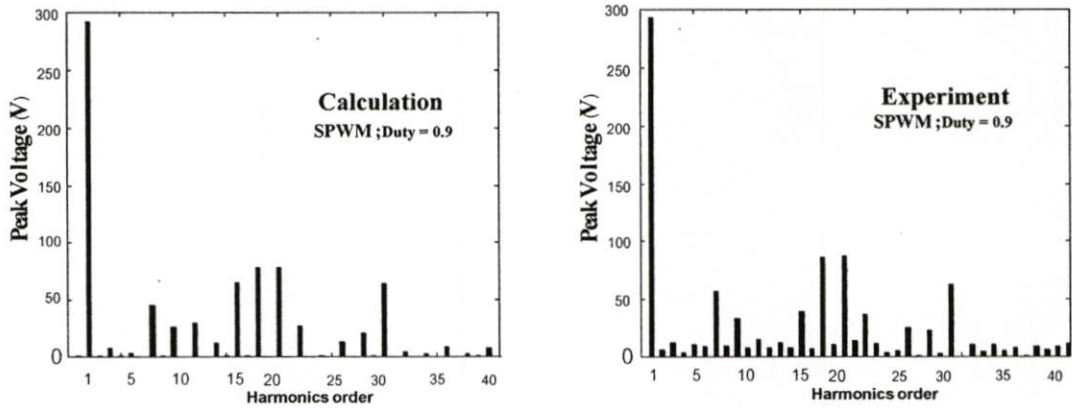


รูปที่ 5.24 เปรียบเทียบฮาร์มอนิกต่างๆการคำนวณกับผลการทดลองแบบพัลส์ไม่เท่า (SPWM) Duty 0.5

เมื่อพล็อตเป็นแท่งสเปกตรัมจะได้ดังรูปที่ 5.24 เปรียบเทียบขนาดของฮาร์มอนิกแต่ละลำดับจะเห็นว่าลำดับฮาร์มอนิกที่ได้จากการคำนวณทางด้านซ้ายของรูปที่ 5.24 มีค่าใกล้เคียงกับลำดับฮาร์มอนิกที่ได้จากการทดลองในรูปที่ 5.24 ด้านขวา และในกรณีค่าคิวตี้เรโซมีค่าเท่ากับ 0.9 ดังรูปที่ 5.25 ก็เช่นเดียวกันเป็นการเปรียบเทียบระหว่างผลที่ได้จากการคำนวณทางคณิตศาสตร์ทางรูปซ้ายและรูปด้านขวาเป็นค่าที่ได้จากการทดลองที่ค่าคิวตี้เรโซมีค่าเท่ากับ 0.9 เมื่อเปรียบเทียบแล้วผลที่ได้ระดับแรงดันและขนาดมีค่าใกล้เคียงกันเช่นกัน



รูปที่ 5.25 เปรียบเทียบรูปคลื่นแรงดันการคำนวณกับผลการทดลองแบบพัลส์ไม่เท่า (SPWM) Duty 0.9

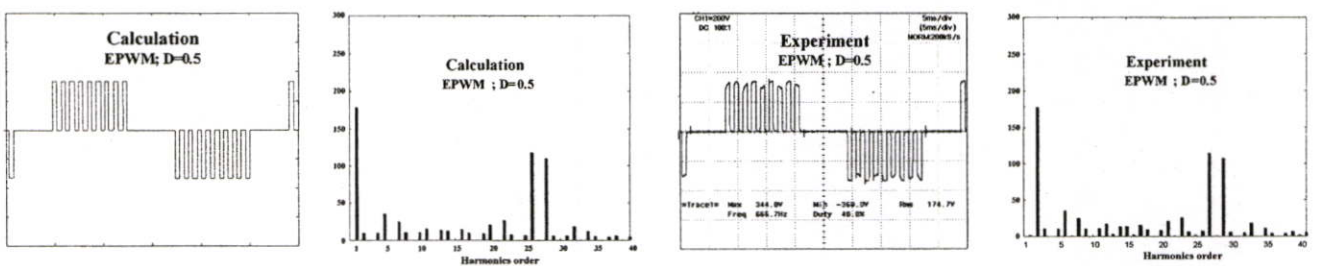


รูปที่ 5.26 เปรียบเทียบหาโมนิกส์ต่างๆการคำนวณกับผลการทดลองแบบพัลส์ไม่เท่า (SPWM) Duty 0.9

เมื่อพล็อตเป็นแท่งสเปคตัมจะได้ดังรูปที่ 5.27 เปรียบเทียบขนาดของหาโมนิกส์แต่ละลำดับจะเห็นได้ว่าลำดับหาโมนิกส์ที่จากการคำนวณทางด้านซ้ายของรูปที่ 5.27 มีค่าใกล้เคียงกับลำดับหาโมนิกส์ที่ได้จากการทดลองในรูปที่ 5.27 ด้านขวา

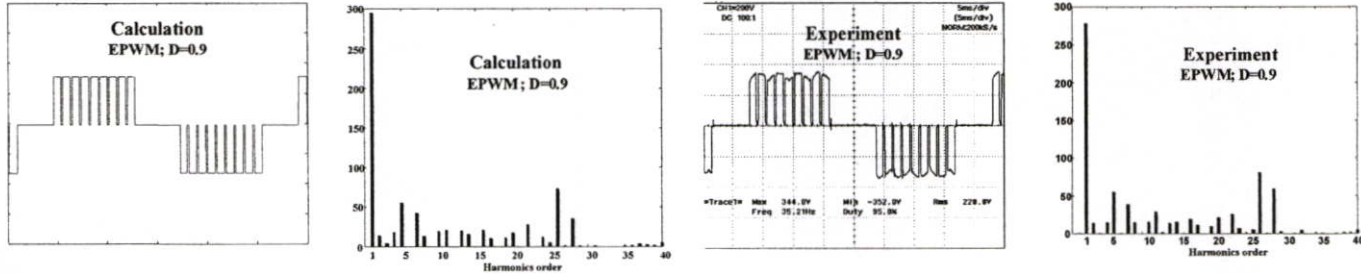
### 5.5.3 เปรียบเทียบค่าที่ได้จากการคำนวณกับผลการทดลองในกรณีพัลส์ไม่เท่า (EPWM) 18พัลส์

ค่าที่ได้มาจากการคำนวณนั้นได้มาจากการนำสมการที่ได้ออกแบบไว้มาพล็อตเก็บค่าที่ละจุดโดยใช้โปรแกรม MATLAB ช่วยในการคำนวณ กรณีแรกที่ค่าาคิวตี้เรโซมีค่าเท่ากับ 0.5 ที่ความถี่เอาท์พุทเท่ากับ 50 Hz ดังรูปที่ 5.28 เป็นการเปรียบเทียบระหว่างผลที่ได้จากการคำนวณค่าที่ได้จากการทดลองที่ค่าาคิวตี้เรโซมีค่าเท่ากับ 0.5 เมื่อเปรียบเทียบแล้วผลที่ได้ทั้งรูปคลื่นแรงดันและขนาดของหาโมนิกส์แต่ละลำดับมีค่าใกล้เคียงกัน



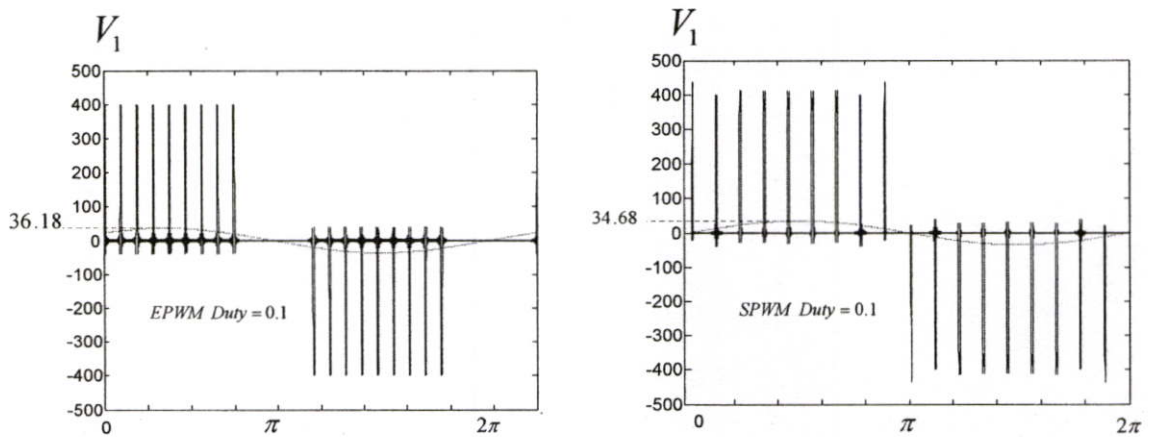
รูปที่ 5.27 เปรียบเทียบแรงดันและหาโมนิกส์ต่างๆแบบพัลส์เท่า (EPWM) Duty 0.5

รูปที่ 5.29 เป็นกรณีที่ค่าคิวดัตตี้เรโชมี่ค่าเท่ากับ 0.9 ที่ความถี่เอาท์พุทเท่ากับ 50 Hz เป็นการเปรียบเทียบระหว่างผลที่ได้จากการคำนวณค่าที่ได้จากการทดลองที่ค่าคิวดัตตี้เรโชมี่ค่าเท่ากับ 0.9 เมื่อเปรียบเทียบแล้วที่ได้ทั้งรูปคลื่นแรงดันและขนาดของฮาโมนิกส์แต่ละลำดับมีค่าใกล้เคียงกัน

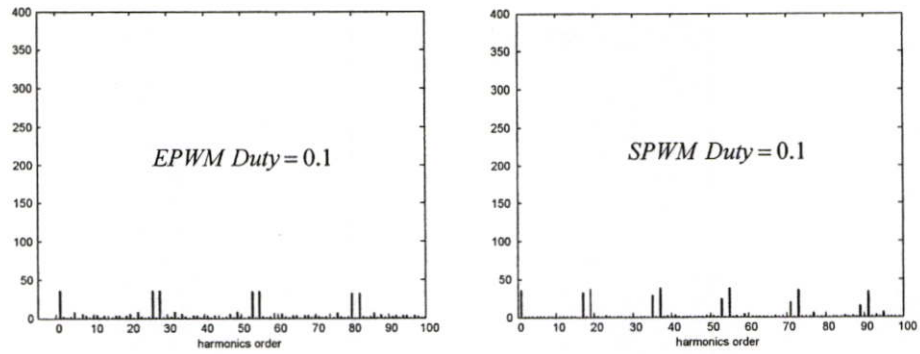


รูปที่ 5.28 เปรียบเทียบแรงดันและฮาโมนิกส์ต่างๆแบบพัลส์เท่า (EPWM) Duty 0.9

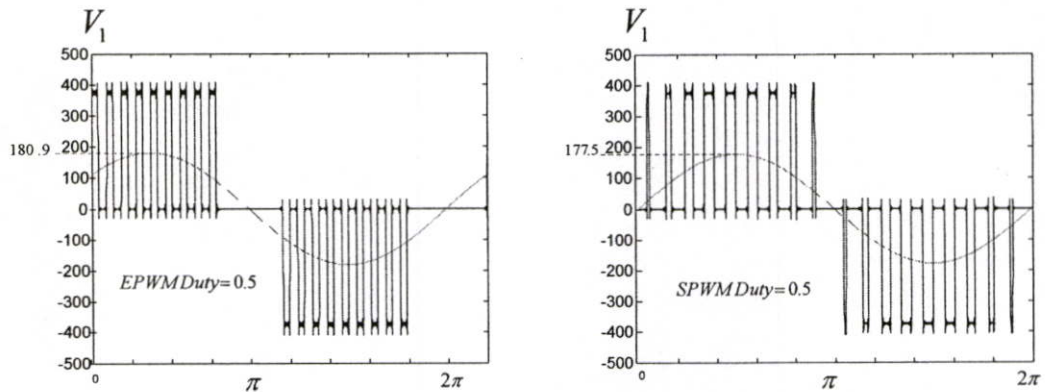
5.5.4 เปรียบเทียบค่าที่ได้จากการคำนวณแบบพัลส์เท่า (EPWM) เทียบกับแบบพัลส์ไม่เท่า (SPWM) กรณี 18 พัลส์



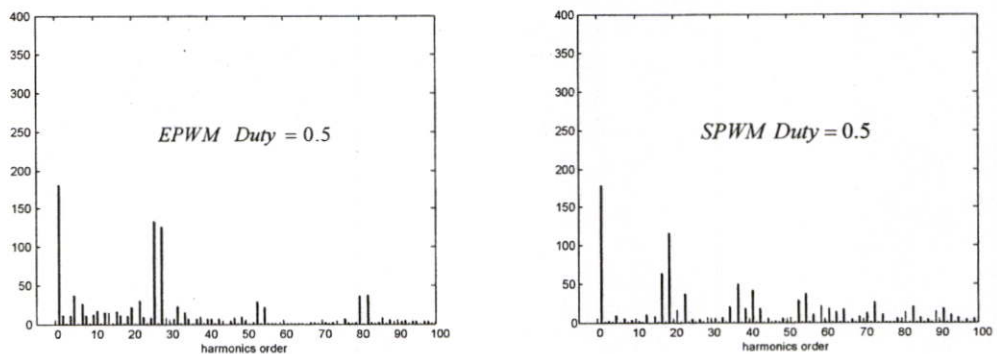
รูปที่ 5.29 การเปรียบเทียบแรงดันระหว่างแรงดันพีคดับลิวเอ็มแบบพัลส์เท่า (EPWM) และพีคดับลิวเอ็มแบบพัลส์ไม่เท่า (SPWM) ที่ค่าคิวดัตตี้เรโชมี่เท่ากับ 0.1



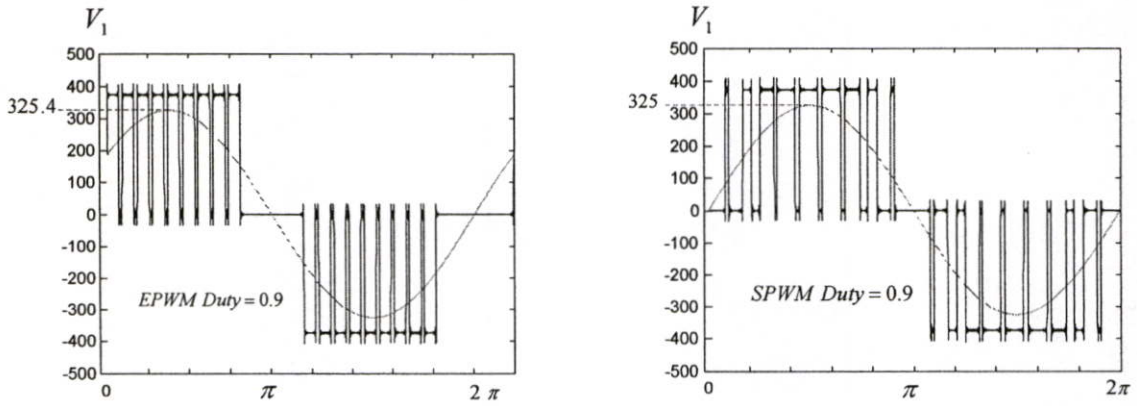
รูปที่ 5.30 การเปรียบเทียบระหว่างค่าฮาร์มอนิกของแรงดันพีคดับลิเอ็มแบบพัลส์เท่า (EPWM) และพีคดับลิเอ็มแบบพัลส์ไม่เท่า (SPWM) ที่ค่าดิวตี้เรโซเท่ากับ 0.1



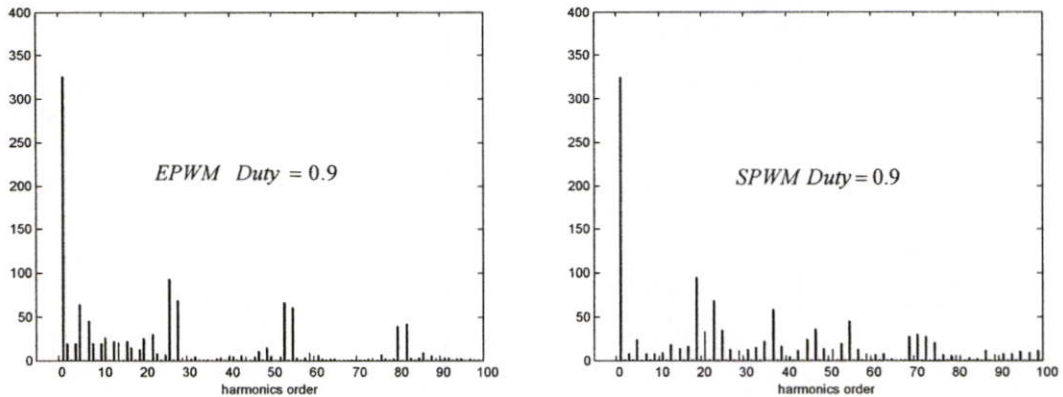
รูปที่ 5.31 การเปรียบเทียบแรงดันระหว่างแรงดันพีคดับลิเอ็มแบบพัลส์เท่า (EPWM) และพีคดับลิเอ็มแบบพัลส์ไม่เท่า (SPWM) ที่ค่าดิวตี้เรโซเท่ากับ 0.5



รูปที่ 5.32 การเปรียบเทียบระหว่างค่าฮาร์มอนิกของแรงดันพีคดับลิเอ็มแบบพัลส์เท่า (EPWM) และพีคดับลิเอ็มแบบพัลส์ไม่เท่า (SPWM) ที่ค่าดิวตี้เรโซเท่ากับ 0.5

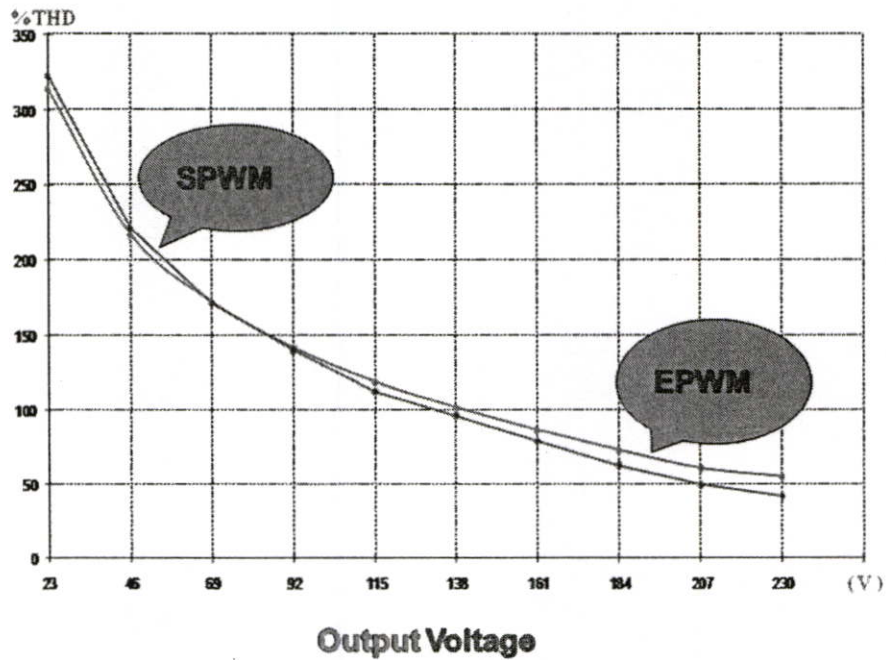


รูปที่ 5.33 การเปรียบเทียบแรงดันระหว่างแรงดันพีคดับลิเอ็มแบบพัลส์เท่า (EPWM) และพีคดับลิเอ็มแบบพัลส์ไม่เท่า (SPWM) ที่ค่าคิวตี้เรโซเท่ากับ 0.9



รูปที่ 5.34 การเปรียบเทียบระหว่างค่าฮาโมนิกส์ของแรงดันพีคดับลิเอ็มแบบพัลส์เท่า (EPWM) และพีคดับลิเอ็มแบบพัลส์ไม่เท่า (SPWM) ที่ค่าคิวตี้เรโซเท่ากับ 0.9

จากรูปที่ 5.30 ถึงรูปที่ 5.35 เป็นการแรงดันระหว่างแรงดันพีคดับลิเอ็มแบบพัลส์เท่า (EPWM) กับพีคดับลิเอ็มแบบพัลส์ไม่เท่า (SPWM) ที่ค่าคิวตี้เรโซ 0.1 – 0.9 และการเปรียบเทียบระหว่างค่าฮาโมนิกส์ของแรงดันพีคดับลิเอ็มแบบพัลส์เท่า (EPWM) กับพีคดับลิเอ็มแบบพัลส์ไม่เท่า (SPWM) ที่ค่าคิวตี้เรโซ 0.1 – 0.9 จะเห็นได้ว่าค่าฮาโมนิกส์ต่ำนั้นพีคดับลิเอ็มแบบพัลส์ไม่เท่า (SPWM) นั้นจะมีฮาโมนิกส์น้อยกว่าหรือว่ามีคุณภาพของคลื่นดีกว่า

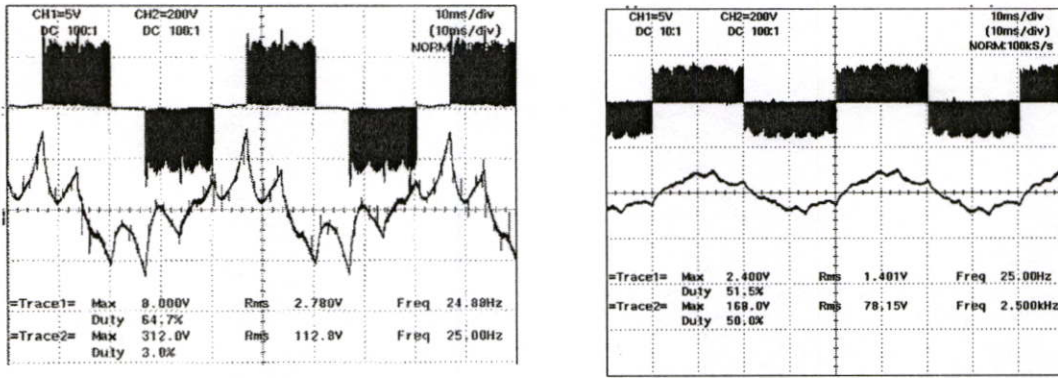


รูปที่ 5.35 เปรียบเทียบค่า THDV ของแรงดันแบบพัลส์เท่า (EPWM) กับแบบพัลส์ไม่เท่า (SPWM)

เมื่อนำรูปคลื่นแรงดันของทั้งสองแบบนี้ไปวิเคราะห์หาค่า THDV แล้วทำการเปรียบเทียบระหว่างพิคกับลิแวนของทั้งสองแบบดังรูปที่ 5.36 จะเห็นได้ว่าที่แรงดันต่ำจะมีค่า THDV แบบพัลส์ไม่เท่า (SPWM) มากกว่าเล็กน้อยแต่ที่แรงดันมีค่าสูงขึ้นจะเริ่มมีค่าลดลงจึงเหมาะที่จะนำไปใช้งาน

#### 5.5.5 การเปรียบเทียบผลการทดลองค่าแรงดันและกระแสของพัลส์เท่า (EPWM) กับพัลส์ไม่เท่า (SPWM) เมื่อนำไปใช้

เมื่อนำคลื่นแรงดันทั้งสองแบบที่ได้สร้างขึ้นมานี้ไปใช้ขับมอเตอร์เหนี่ยวนำแล้วทำการเก็บผลค่าของแรงดันและกระแสของทั้งสองแบบดังรูปที่ 5.37 แล้วนำผลมาเปรียบเทียบจากรูปสรุปผลได้ดังนี้ คลื่นแรงดันพิคกับลิแวนแบบพัลส์เท่า (EPWM) ดังรูปที่ 5.37 ด้านซ้ายคลื่นแรงดัน ไม่ต่อเนื่องทำให้กระแสที่ได้มีค่าไม่สม่ำเสมอตามลักษณะของแรงดันต่างจากคลื่นแรงดันพิคกับลิแวนแบบพัลส์ไม่เท่า (SPWM) ที่แรงดันมีความต่อเนื่องระหว่างบวกและลบไม่มีช่วงที่เป็นศูนย์ทำให้กระแสที่ได้นั้นมีความต่อเนื่องมากกว่า โดยที่เมื่อได้มีการเพิ่มจำนวนพัลส์ไปอีก 8 เท่าตัวจากจำนวน 9 พัลส์ที่นำเสนอเพื่อให้ได้จำนวนพัลส์สูงขึ้นเป็น 72 พัลส์ซึ่งปรากฏว่ารูปแบบพัลส์ SPWM จะได้กระแสมอเตอร์ที่มีลักษณะใกล้เคียงคลื่นไซน์มากกว่าแบบพัลส์ EPWM



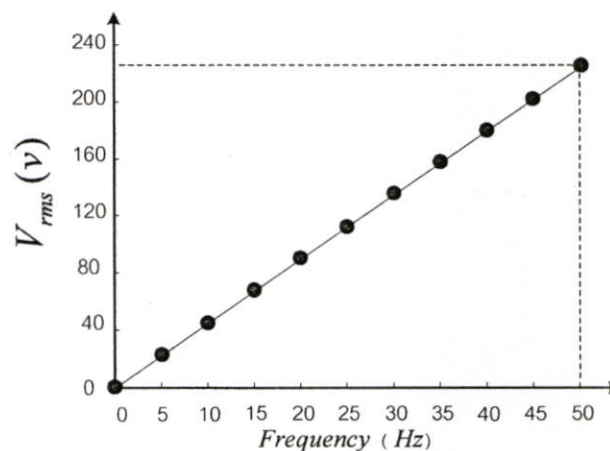
รูปที่ 5.36 เปรียบเทียบแรงดันและกระแสระหว่างคลื่นพีดับลิเวียมแบบพัลส์เท่า (EPWM) กับคลื่นพีดับลิเวียมแบบพัลส์ไม่เท่า (SPWM)

จากการที่ได้เปรียบเทียบทั้งหมดที่ผ่านมาจากการคำนวณทางคณิตศาสตร์รวมถึงผลที่ได้จากการทดลองที่ผ่านยืนยันนำมาสรุปรูปแบบคลื่นแรงดันพีดับลิเวียมที่เหมาะสมที่สุดก็คือ ในรูปแบบพัลส์ไม่เท่า (SPWM) มีความเหมาะสมมากกว่าที่จะนำมาใช้และยังมีการออกแบบให้พัลส์มีระดับดิเวียโรให้มากขึ้นจะทำให้เป็นไซน์มากขึ้นจึงได้นำคลื่นแรงดันในรูปแบบพัลส์ไม่เท่า (SPWM) ไปใช้ขับมอเตอร์เพื่อทดสอบตามพิกัดมอเตอร์ในหัวข้อต่อไป

## 5.6 ผลการทดสอบค่าแรงบิดที่ได้จากการขับมอเตอร์เหนี่ยวนำ 3-เฟส

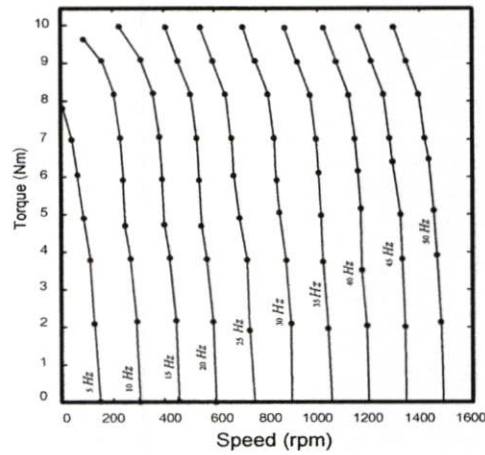
### 5.6.1 กำลังไฟฟ้าและพิกัดของมอเตอร์ที่ใช้ในการทดสอบ

ในการทดสอบหาค่าคุณสมบัติมอเตอร์พิกัดที่ใช้ มีดังนี้ ความเร็วรอบ 1420 rpm แรงดันที่พิกัด 230V, พิกัดกระแสเท่ากับ 3.55 A พิกัด



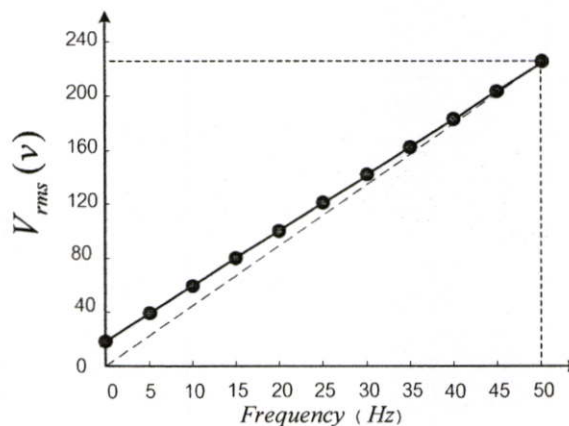
รูปที่ 5.37 กราฟความสัมพันธ์ระหว่างแรงดันต่อความถี่ที่มีค่าคงที่

เมื่อทำการขับอินคัลชันมอเตอร์ โดยที่ใช้รูปแบบแรงดันต่อความถี่ที่มีค่าคงที่ตามที่ได้ออกแบบไว้ในบทที่ 2 ดังแสดงในรูปที่ 5.36 ทำการขับที่ค่าความถี่ต่างๆตั้งแต่ 0 – 50 Hz แล้วทำการเก็บผลแรงบิดที่ความเร็วรอบต่างๆ



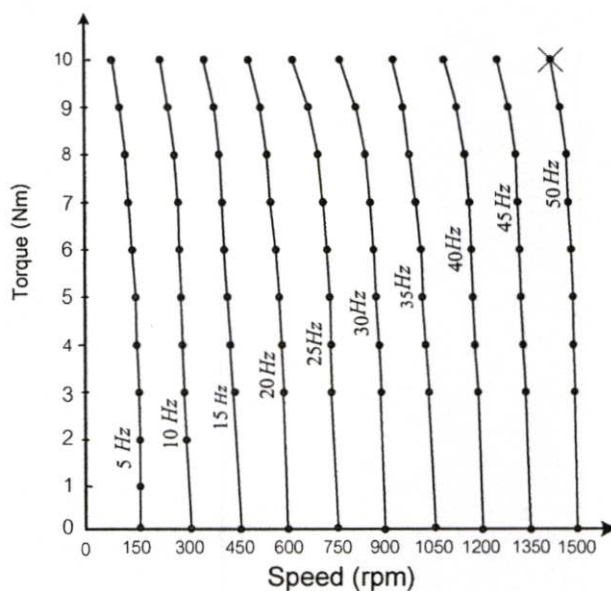
รูปที่ 5.38 กราฟความสัมพันธ์ระหว่างความเร็วรอบกับแรงบิดของมอเตอร์ (ที่ไม่มีการบูสท์แรงดัน)

ได้ดังรูปที่ 5.37 จากผลที่ได้นี้สังเกตเห็นได้ว่าในย่านความถี่ต่ำนั้นค่าแรงบิดที่ได้มีค่าลดลงไม่สามารถที่สร้างแรงบิดที่คงที่เนื่องมาจากค่าความต้านทานที่ขดลวดสเตเตอร์ตามที่ได้แสดงไว้ในบทที่ 2 ดังนั้นจึงได้มีการออกแบบให้มีการบูสท์แรงดันให้สูงขึ้นในย่านความถี่ต่ำดังแสดงในรูปที่ 5.38 และทำการเก็บผลการทดสอบอีกครั้งดังแสดงในรูปที่ 5.39



รูปที่ 5.39 กราฟความสัมพันธ์ระหว่างแรงดันต่อความถี่ที่มีค่าคงที่ (มีการบูสท์)

จากการที่มีการเพิ่มแรงดันในย่านความถี่ต่ำส่งผลให้ค่าแรงบิดมีค่าสูงขึ้นในย่านความเร็วรอบต่ำส่งผลให้สามารถสร้างค่าแรงบิดมีค่าคงในทุกความเร็วรอบได้



รูปที่ 5.40 กราฟความสัมพันธ์ระหว่างความเร็วรอบกับแรงบิดของมอเตอร์ (ที่มีการบูสต์แรงดัน)

### 5.7 สรุป

- (1) ได้กล่าวถึงอุปกรณ์ไฟฟ้าส่วนสำคัญเช่น DSP, FPGA, IGBT 2 ทิศทาง, วงจรตรวจจับ 6 ระลอกคลื่น
- (2) การแบ่งจำนวนพัลส์ในแต่ละครึ่งไซเคิลของคลื่น PWM พร้อมกับหลักการคำนวณการ Boost เพื่อชดเชยแรงดันในย่านความถี่ต่ำ
- (3) มีการเปรียบเทียบผลการซิมูเลตและทดลองกรณีคลื่น EPWM และ SPWM ที่ค่าดีวีเร โชนต่างๆซึ่งปรากฏว่าได้ผลทางทฤษฎีและผลการทดลองใกล้เคียงกัน

## บทที่ 6

### สรุปผลการวิจัยและข้อเสนอแนะ

#### 6.1 บทนำ

ประเด็นที่สำคัญคือ Matrix Converter จะประกอบด้วยสวิตช์สองทาง 9 ชุดและจะทำงานครั้งละ 6 ชุดตามระลอกคลื่นไลน์การไฟฟ้าด้านอินพุตและในกลุ่มของสวิตช์ 6 ชุดนี้สามารถที่จะออกแบบการทำงานได้หลายลักษณะ โดยที่ยังคงสามารถสร้างเฟสลับ 3 เฟสได้เช่นเดียวกัน รูปแบบที่ใช้ในการขับจึงได้ถูกสร้างขึ้นมาเพื่อทำการทดสอบในทางทฤษฎีที่สามารถคำนวณได้ตลอดจนได้สร้างเครื่องต้นแบบเพื่อใช้ทดลองและนำผลที่ได้จากการทดลองนี้ไปสร้างเป็นแรงดันเอาต์พุตที่ดับบลิวเอ็มที่มีอัตราส่วนความถี่ต่อแรงดันเอาต์พุตที่มีค่าคงที่โดยที่สามารถปรับขนาดของแรงดันเอาต์พุตได้จากค่าของควิตีโรโฆและยังได้ออกแบบความถี่สวิตช์ซึ่งให้มีค่าสูงขึ้นเพื่อลดฮาร์โมนิกส์ความถี่ต่ำที่ใกล้เคียงความถี่พินคาเมลทอล

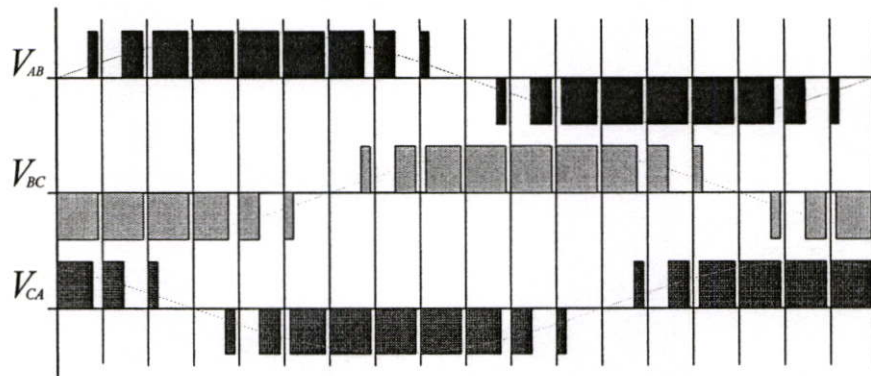
จากทั้งหมดที่ได้กล่าวมาแล้วตั้งแต่บทที่ 1 ถึงบทที่ 5 พอดีสรุปเป็นประเด็นสำคัญได้ดังนี้

#### 6.2 ความสัมพันธ์ระหว่างแรงดันอินพุตกับสวิตช์ควบคุม

การทำงานของเมตริกซ์คอนเวอร์เตอร์จะประกอบด้วยสวิตช์ 9 ตัวการต่อสวิตช์ทั้ง 9 สวิตช์ซึ่งจะต่อโดยตรงระหว่างแหล่งจ่ายไฟ 3 เฟสไปยังมอเตอร์ในลักษณะ  $3 \times 3$  ในเฟส  $V_a$  จะด้วยสวิตช์  $S_1, S_2, S_3$  ในเฟส  $V_b$  จะด้วยสวิตช์  $S_4, S_5, S_6$  และในเฟส  $V_c$  จะด้วยสวิตช์  $S_7, S_8, S_9$  ซึ่งสวิตช์ทั้ง 9 ตัวนี้จะทำงานครั้งละเพียง 6 ตัวเท่านั้นขึ้นอยู่กับระลอกของแรงดันไลน์ฟูไลน์ด้านอินพุตเช่นระลอกคลื่นที่ 1 ซึ่งเป็นแรงดัน  $V_{ab}$  เข้ามาเฉพาะสวิตช์  $S_1, S_2, S_3, S_4, S_5, S_6$  ที่จะมีโอกาสที่จะทำงาน และในระลอกอื่นก็จะทำงานเรียงลำดับไป  $V_{ab}, V_{ac}, V_{bc}, V_{ba}, V_{ca}, V_{cb}$  จำนวนรวม 6 ระลอก

#### 6.3 การวิเคราะห์สมการแรงดันด้านออก ( $V_{o,1}$ )

การคำนวณแรงดันด้านออก  $V_{o,1}$  สำหรับกรณีคลื่นรูปแบบพัลส์เท่า (EPWM) และพัลส์ไม่เท่า (SPWM) การคำนวณแรงดันด้านออก  $V_{o,1}$  ในกรณีนี้สามารถทำได้โดยการตั้งช่วงอินทิเกรตของแรงดันแต่ละพัลส์ร่วมกับการใช้สมการของอนุกรมฟูเรียร์ เพื่อคำนวณหาองค์ประกอบของคลื่น fundamental  $V_{o,1}$  จากคลื่นในรูปแบบพัลส์เท่า EPWM และพัลส์ไม่เท่า (SPWM)

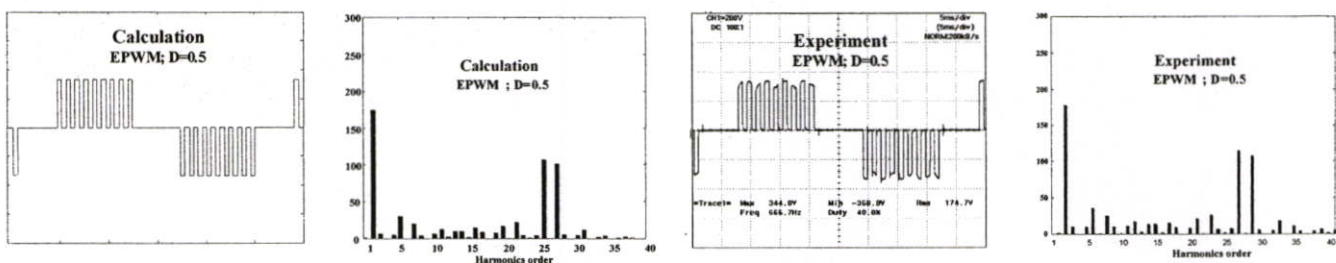


รูปที่ 6.1 คลื่นแรงดันเอาต์พุตไลน์ทูไลน์  $V_{AB}, V_{BC}, V_{CA}$

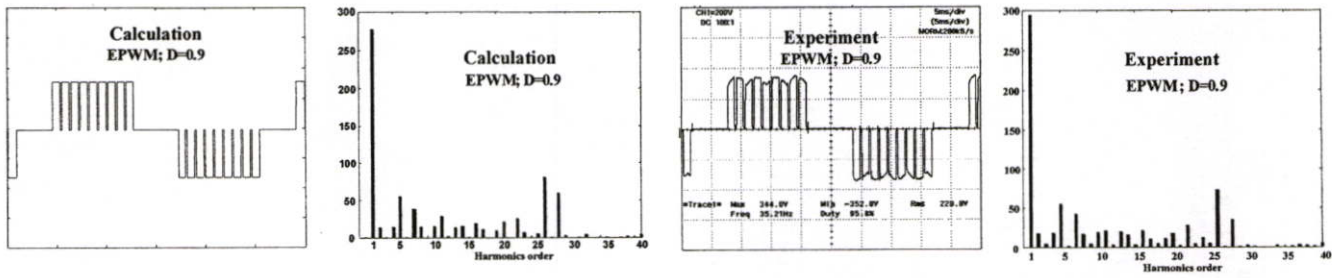
โดยในวิทยานิพนธ์ฉบับนี้ได้กำหนดรูปแบบขึ้นในลักษณะดังแสดงด้วยคลื่นแรงดัน line-to-line  $V_{AB}, V_{BC}, V_{CA}$  ดังในรูปที่ 6.1 คลื่นในแต่ละเฟสจะมีจำนวน 9 พัลส์เท่ากันในช่วงครึ่งคาบเวลาหรือ 18 พัลส์ในหนึ่งคาบเวลาของความถี่ 50 Hz ที่ค่า Duty Ratio ของ Pulse ซึ่งกำหนดให้เท่ากับ 0.9 โดยสามารถคำนวณค่าความถี่สวิตช์ซึ่งของวงจรนี้ได้เท่ากับ  $18 \times 50 = 900$  Hz โดยจะปรับ Duty Ratio ไว้ที่ค่าสูงสุดเท่ากับ 0.9

6.4 นำหลักการที่ได้ออกแบบไว้มาปฏิบัติแล้วเก็บค่าผล

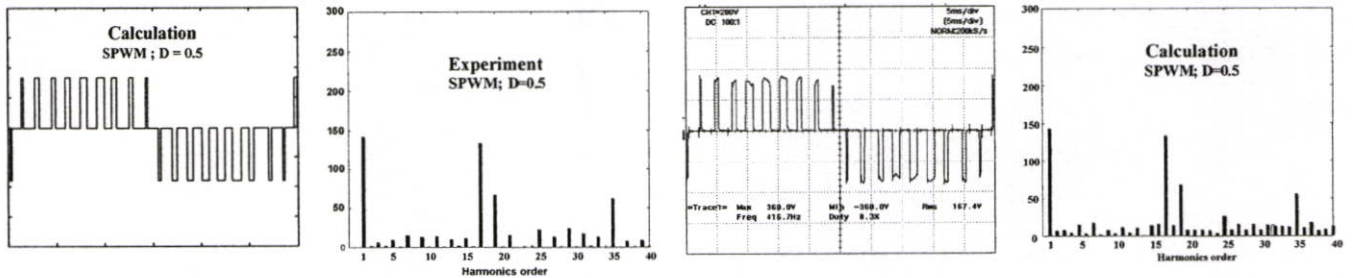
ที่ได้ของแรงดันพีคดับลิวและค่าของกระแสแต่ละแบบมาเปรียบเทียบคุณสมบัติทางไฟฟ้า เพื่อให้เห็นถึงข้อเด่นและข้อด้อยระหว่างวิธีการสร้างพัลส์แบบพัลส์เท่า (EPWM) และพัลส์ไม่เท่า (SPWM) เพื่อเป็นการยืนยันความถูกต้องจากการทดลองนี้จากหลักการเดียวกันนั้นได้นำสมการมาเชื่อมโยงจากโปรแกรม MATLAB



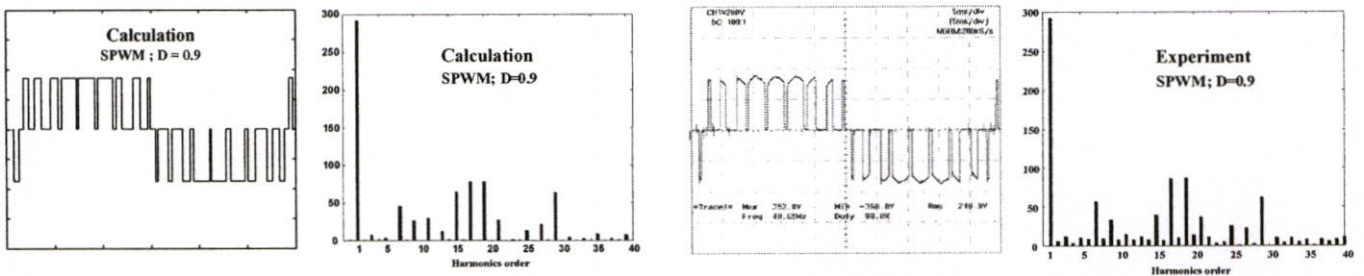
รูปที่ 6.2 แบบพัลส์เท่า (EPWM) Duty cycle D = 0.5 กรณี 18 พัลส์



รูปที่ 6.3 แบบพัลส์เท่า (EPWM) Duty cycle  $D = 0.9$  กรณี 18 พัลส์



รูปที่ 6.4 พัลส์ไม่เท่า (SPWM) Duty cycle  $D = 0.5$  กรณี 18 พัลส์



รูปที่ 6.5 พัลส์ไม่เท่า (SPWM) Duty cycle  $D = 0.9$  กรณี 18 พัลส์

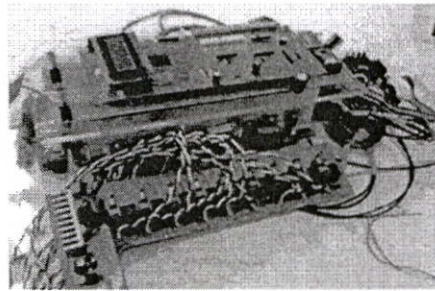
รูปที่ 6.2 แสดงการเปรียบเทียบระหว่างผลการคำนวณและผลการทดลองของคลื่นและสเปกตรัมของแรงดันเอาต์พุตกรณีคลื่นแบบ (EPWM) Duty cycle  $D = 0.5$  กรณี 18 พัลส์ ซึ่งจะเห็นว่าให้ผลที่ใกล้เคียงกัน

รูปที่ 6.3 แสดงการเปรียบเทียบระหว่างผลการคำนวณและผลการทดลองของคลื่นและสเปกตรัมของแรงดันเอาต์พุตกรณีคลื่นแบบ (EPWM) Duty cycle  $D = 0.9$  กรณี 18 พัลส์ ซึ่งจะเห็นว่าให้ผลที่ใกล้เคียงกัน

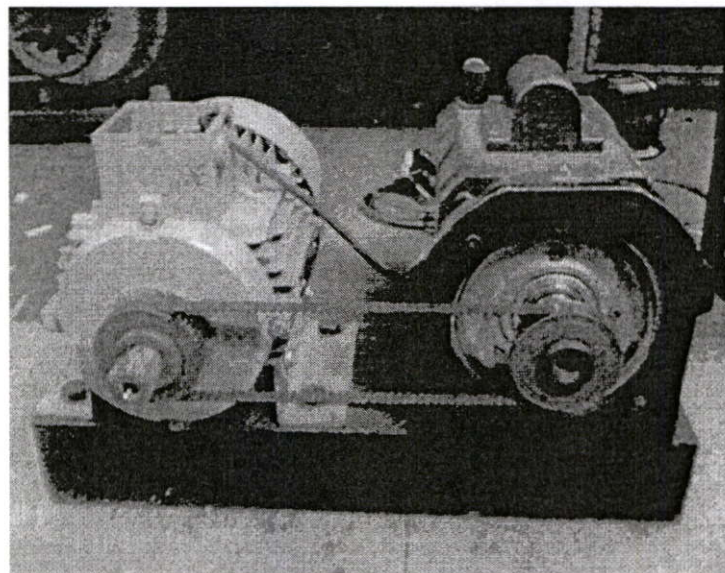
รูปที่ 6.4 แสดงการเปรียบเทียบระหว่างผลการคำนวณและผลการทดลองของคลื่นและสเปกตรัมของแรงดันเอาต์พุตกรณีคลื่นแบบพัลส์ไม่เท่า (SPWM) Duty cycle  $D = 0.5$  กรณี 18 พัลส์ซึ่งจะเห็นว่าให้ผลที่ใกล้เคียงกัน

รูปที่ 6.5 แสดงการเปรียบเทียบระหว่างผลการคำนวณและผลการทดลองของคลื่นและสเปกตรัมของแรงดันเอาต์พุตกรณีคลื่นแบบพัลส์ไม่เท่า (SPWM) Duty cycle  $D = 0.9$  กรณี 18 พัลส์ ซึ่งจะเห็นว่าให้ผลที่ใกล้เคียงกัน

### รูปเครื่องที่ใช้



รูปที่ 6.6 รูปเมตริกคอนเวอร์เตอร์ที่ใช้ในการทดลอง



รูปที่ 6.7 รูปมอเตอร์ที่ใช้ในการทดลอง

## 6.5 สรุป

(1) ได้นำเสนอหลักการสร้างคลื่นแรงดัน PWM ทั้งแบบขนาดพัลส์เท่า (EPWM) และพัลส์ไม่เท่า (SPWM) ที่มีจำนวน 18 พัลส์ ต่อหนึ่งคาบเวลาเพื่อใช้กำหนดรูปแบบของสัญญาณควบคุมวงจร Matrix Converter โดยใช้ DSP และ FPGA เป็นตัวกำหนดและสร้างสัญญาณ PWM พร้อมทั้งการเปรียบเทียบผลการทดลองกับค่าที่คำนวณได้

(2) รูปแบบของแรงดัน PWM 3 – Phase ที่สร้างขึ้นนี้สามารถกำหนดจากแรงดันไลน์ของแหล่งจ่าย 50 Hz และค่า Duty Ratio ของคลื่น PWM Pulse ซึ่งการคำนวณภายใต้ความสัมพันธ์ดังกล่าวจะต้องอาศัยการแตกอนุกรมฟูเรียร์เพื่อคำนวณหาองค์ประกอบของคลื่นแรงดัน fundamental  $V_1$

(3) จากการเปรียบเทียบผลการคำนวณและผลการทดสอบปรากฏว่าคลื่นแรงดันเอาต์พุตที่มีความกว้างพัลส์ไม่เท่า (SPWM) จะสามารถขับมอเตอร์ด้วยกระแสที่มีลักษณะคลื่นใกล้เคียงไซน์มากกว่าในกรณีคลื่นแรงดันเอาต์พุตที่มีความกว้างพัลส์เท่า (EPWM) และความแตกต่างของคลื่นกระแสทั้งสองประเภทนี้จะเห็นได้ชัดเมื่อจำนวนพัลส์เพิ่มมากขึ้น

## เอกสารอ้างอิง

- [1] Alesina A. and Venturini and of Nine-Switch Direct AC-AC Optimum-Amplitude [I] M.G.B., "Analysis Design IEEE Transactions on Power Vol.No.1., January 1989, pp10-112..Converters", Electronics, A IEEE.. "Matrix Converter, technology
- [2] Wheeler, P.W.. Rodriguez Clare J.C. and Empringham J., Review", 2002. Transactions on Industrial Electronics. Vol. 49. No. April "Comparison of Calculated and Measured Switching
- [3] Mathieu Roy, Laurent Gonthier, and Christine Anceau, "The MBS (Mos Bidirectional Switch), a new MOS switch with reverse blocking voltage" EPE 99-Lausanne, 1999

ภาคผนวก

ภาคผนวก ก.

## ผลงานเกี่ยวกับวิทยานิพนธ์ที่ได้รับการตีพิมพ์เผยแพร่

ต้น จำปีทอง และ วิริยะ พิเชฐจำเริญ “เอซี-เอซี เมตริกซ์คอนเวอร์เตอร์สามเฟสความถี่สวิทซึ่ง 1.8kHz เพื่อใช้ขับเคลื่อนมอเตอร์เหนี่ยวนำ” การประชุมวิชาการทางวิศวกรรมไฟฟ้าครั้งที่ 30 (EECON-30) 25-26 ตุลาคม 2550.



The EECON-30 Conference Joins the Eightieth Birthday Anniversary

Celebration of His Majesty the King Bhumibol Adulyadej

# 30<sup>th</sup> Electrical Engineering Conference

## การประชุมวิชาการทางวิศวกรรมไฟฟ้า ครั้งที่ 30

หนังสือรวมบทความที่นำเสนอในการประชุม เล่ม 1

- ไฟฟ้ากำลัง (PW)
- อิเล็กทรอนิกส์กำลัง (PE)
- ไฟโตนิคส์ (PH)
- คอมพิวเตอร์และเทคโนโลยีสารสนเทศ (CP)

# Volume I



โดย  
 ภาควิชาวิศวกรรมไฟฟ้า ภาควิชาวิศวกรรมอิเล็กทรอนิกส์และโทรคมนาคม  
 ภาควิชาวิศวกรรมระบบควบคุมและเครื่องมือวัด ภาควิชาวิศวกรรมคอมพิวเตอร์  
 คณะวิศวกรรมศาสตร์ มหาวิทยาลัยเทคโนโลยีพระจอมเกล้าธนบุรี

ณ โรงแรมเฟลิกซ์ ริเวอร์วิว รีสอร์ท กาญจนบุรี  
 25 - 26 ตุลาคม 2550



FACULTY OF ENGINEERING  
**KMUTT**  
**EECON - 30**

## A 1.8-kHz -Switching Frequency 3- Phase AC-AC Matrix Converter for Induction Motor

### Drive

### เอซี-เอซี เมทริกซ์คอนเวอร์เตอร์สามเฟสความถี่สวิตซิง 1.8 kHz เพื่อใช้ขับมอเตอร์เหนี่ยวนำ

ตัน จำปีทอง วิริยะ พิเชษฐจำริญ

ภาควิชาวิศวกรรมไฟฟ้า คณะวิศวกรรมศาสตร์ สถาบันเทคโนโลยีพระจอมเกล้าเจ้าคุณทหาร ลาดกระบัง

ถ. ลาดกระบัง ลาดกระบัง กรุงเทพฯ 10520 โทร. 02-7373000 ต่อ 3515และ3516 Email: kpviyria@kmitl.ac.th

#### บทคัดย่อ

บทความวิจัยนี้ได้นำเสนอเอซี-เอซี เมทริกซ์คอนเวอร์เตอร์สามเฟสเพื่อใช้ขับมอเตอร์เหนี่ยวนำสามเฟสโดยการปรับรอบด้วยความถี่ในย่าน 0 - 50 Hz ภายใต้เงื่อนไขอัตราส่วนแรงดันโวลต์ fundamental ด้านเอาต์พุต  $V_1$  ต่อความถี่ fundamental  $f_1$  ที่มีค่าคงที่ ในส่วนแรกจะกล่าวถึงรายละเอียดการออกแบบสัญญาณควบคุมสวิตซ์ทั้ง 9 ของวงจรซึ่งมีความสัมพันธ์กับแรงดันโวลต์อินพุต  $V_L$  และรูปแบบของแรงดัน PWM 3 เฟส ที่ได้กำหนดขึ้นด้วยจำนวน Pulse และ Duty Ratio รวมทั้งความถี่ จากนั้นจะเป็นการคำนวณแรงดัน  $V_1$  ที่สัมพันธ์กับ  $f_1$  ในลักษณะเชิงเส้นโดยอาศัยการแตกอนุกรมฟูเรียร์ของคลื่น PWM เพื่อคำนวณหาองค์ประกอบ  $V_1$  ที่มีความสัมพันธ์กับค่า Duty Ratio และแรงดันโวลต์  $V_L$  ในตอนท้ายยังได้สร้างเครื่องต้นแบบของคอนเวอร์เตอร์สามเฟสเพื่อใช้ขับโหลดมอเตอร์เหนี่ยวนำ 3 Phase และได้ทดสอบหาเส้นกราฟความสัมพันธ์ระหว่างแรงบิดและความเร็วรอบที่ค่าความถี่ต่างๆ โดยใช้มอเตอร์เหนี่ยวนำ 3 Phase ขนาด 2 hp พิกัดแรงดัน กระแสเท่ากับ 230 V 5.9 A

**คำสำคัญ :** เมทริกซ์คอนเวอร์เตอร์, ขับมอเตอร์, ปรับแรงดันและความถี่

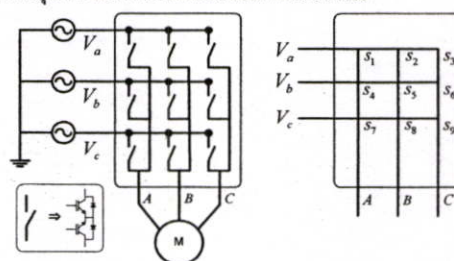
#### Abstract

This paper presents a 3-phase AC-AC matrix converter for variable speed drive of a 3-phase induction motor under a constant voltage-to-frequency ratio  $V_1/f_1$  with variable frequency control range from 0 -50 Hz. First, the design of control signal for 9 IGBT switches will be described in details. These signals are variable in shape depending on the ac line input voltage  $V_L$  and the desired 3-phase PWM pattern which is again variable by changing the parameter of duty ratio and frequency. Then, the calculation of voltage  $V_1$  to obtain a constant ratio of  $V_1/f_1$  will be proposed, using the principle of Fourier analysis to calculate the fundamental component  $V_1$  of the PWM pattern which is also variable depending on duty ratio and the line voltage  $V_L$ . Moreover, a prototype of the 3-phase AC-AC matrix converter has been constructed and actually operated to drive the 3-phase induction motor and the test result was obtained for various motor speed-torque curve, using a 3- Phase 2 hp induction motor with rated voltage and current of 220 V 5.9 A

**Keywords:** matrix converter, motor drive, VVVF

#### 1. บทนำ

ในการปรับรอบ Induction Motor 3-Phase ทั่วไปจะอาศัยการแปลงกำลังไฟฟ้า 2 ขั้นตอน คือ AC-DC และ DC-AC แรงดัน AC ที่ได้นี้จะใช้ในการปรับแรงดันและความถี่ (VVVF) เพื่อป้อนให้กับ Induction Motor ในลักษณะรูปแบบที่กำหนด การแปลงกำลังไฟฟ้า 2 ขั้นตอนนี้จะทำให้มีการสูญเสียกำลังไฟฟ้าเพิ่มขึ้น เพื่อลดขั้นตอนการแปลงและการสูญเสียดังกล่าว ในงานวิจัยนี้จึงได้ทำการออกแบบ AC-AC Matrix Converter 3- Phase เพื่อให้เหลือการแปลงกำลังไฟฟ้าเพียงขั้นตอนเดียวจากแหล่งจ่ายไฟสลับ 3 - Phase เป็นแหล่งจ่ายไฟสลับที่สามารถปรับเปลี่ยนแรงดันและความถี่ที่สามารถกำหนดอัตราส่วนได้ ในการออกแบบ Matrix Converter ที่นำเสนอในงานวิจัยนี้จะใช้ Digital Signal Processor (DSP) เป็นตัวสร้างสัญญาณในส่วนแรก 3 สัญญาณ จากนั้นจะใช้ Field-Programmable Gate Array (FPGA) ในการแปลงสัญญาณทั้ง 3 นี้เป็น 9 สัญญาณและส่งต่อไปยังวงจรขยายสัญญาณเพื่อนำไปใช้ในการควบคุมการทำงานของ Matrix Converter ซึ่งมีสวิตซ์ IGBT สองทิศทางจำนวน 9 สวิตซ์ เพื่อให้ทำหน้าที่ตัดต่อแรงดันโวลต์เป็นแรงดัน PWM 3 -Phase ที่มีแรงดันและความถี่ในอัตราส่วนที่สามารถกำหนดได้จากพิกัดแรงดันและความถี่ของมอเตอร์เหนี่ยวนำ 3 - Phase ลักษณะแรงดัน PWM 3 - Phase ของ Matrix Converter ที่ใช้ในการควบคุมความเร็วรอบมอเตอร์จะมีจำนวน Pulse



ก) วงจร Converter ที่นำเสนอ ข) วงจรสมมูลของรูป (ก)  
รูปที่ 1 วงจร AC-AC Matrix Converter 3 เฟสขับโหลดมอเตอร์

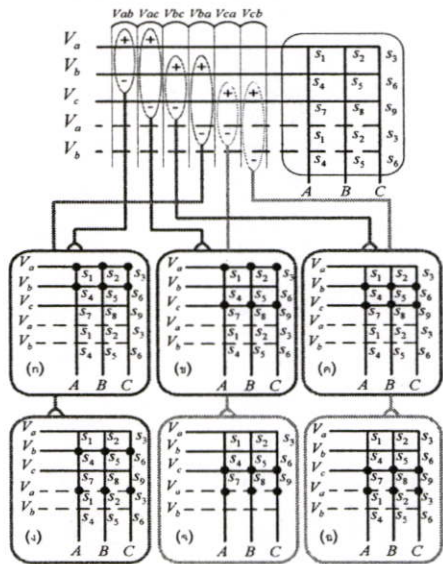
ที่ปรากฏในหนึ่ง Cycle ของคลื่น PWM หรือความถี่สวิตซิงซึ่งที่เท่ากับ 36 Pulse หรือ 1.8 kHz โดยที่คลื่น PWM ที่ได้นี้สามารถเขียนเป็นสมการทางคณิตศาสตร์ที่สามารถนำไปใช้ในการออกแบบเพื่อกำหนดความกว้างของ Pulse PWM โดยกำหนดได้จากค่า Duty Ratio และกำหนดความสูงของ Pulse โดยกำหนดได้จากระดับ

แรงดันโวลต์ ลักษณะ Pulse PWM ที่ได้จากการคำนวณสามารถเลือกปรับลดความถี่ fundamental ได้จาก 50 Hz จนถึง 0 Hz อย่างต่อเนื่อง โดยมีค่าอัตราส่วนระหว่างแรงดัน โวลต์ และความถี่ที่ป้อน Motor คงที่

ในบทความวิจัยนี้ยังได้ทำการทดสอบขับ Induction Motor 3-Phase ด้วย Matrix Converter ที่ได้ออกแบบและพัฒนาขึ้นเพื่อทดสอบหาเส้นกราฟคุณสมบัติ Speed- Torque ที่ค่าความถี่ต่างๆ ซึ่งปรากฏว่าให้ผลการทำงานเป็นที่น่าพอใจ

**2. ความสัมพันธ์ระหว่างแรงดัน อินพุต กับสวิตช์ควบคุม**

ในรูปที่ 1(ข) สามารถนำมาพิจารณาหลักการการทำงานของ Matrix Converter จากวงจรสมมูลของ Matrix Converter ได้โดยการขยายแนวคิดด้วยการเพิ่มแรงดันแหล่งจ่าย Phase a (Va) และ Phase b (Vb) จากวงจรสมมูลของ Matrix Converter ทั้งนี้เพื่อให้เข้าใจหลักการทำงาน



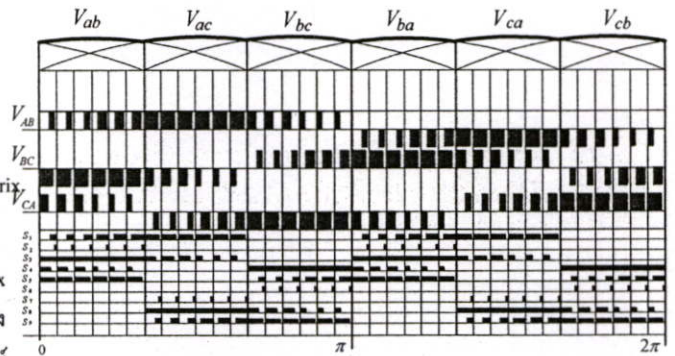
รูปที่ 2 หลักการพิจารณาเลือก 6 สวิตช์ออกจากรวมจำนวน 9 สวิตช์ของ Matrix Converter ในช่วงแต่ละระลอกคลื่นแรงดันโวลต์ที่มีค่าสูงสุด

ของ AC - AC Matrix Converter ได้ง่ายขึ้น โดยหลักการของ Matrix Converter นี้จะป้อนแรงดัน 3 Phase Vab, Vbc, Vca ทางด้านซ้ายของ Matrix Converter ซึ่งประกอบด้วยสวิตช์ในแถวที่ 1 คือ  $s_1, s_2, s_3$  สวิตช์ในแถวที่ 2 คือ  $s_4, s_5, s_6$  และสวิตช์ ในแถวที่ 3 คือ  $s_7, s_8, s_9$  และเมื่อเพิ่มแรงดันเฟส a (Va) และแรงดันเฟส b (Vb) เข้าทางด้านซ้ายดังแสดงด้วยเส้นประอีก 2 เฟสเพื่อป้อนสวิตช์ชุดเดิมของแต่ละเฟสก็จะได้สวิตช์เป็นจำนวนรวม 5 แถวในบล็อกที่เหลี่ยมสวิตช์ดังกล่าวจะทำหน้าที่ในการตัดต่อแรงดันเฟส Va, Vb, Vc, Va, Vb จากอินพุตด้านซ้ายให้มาออกเป็นแรงดันเอาต์พุต  $V_{AB}, V_{BC}, V_{CA}$  ที่อยู่ในบริเวณส่วนล่างของสวิตช์โดยแรงดันโวลต์  $V_{ab}, V_{ac}, V_{bc}, V_{ba}, V_{ca}, V_{cb}$  จำนวนรวม 6 ระลอกซึ่งมีช่วงมุมระลอกละ 60 องศา นั้นประกอบขึ้นจากแรงดันแหล่งจ่าย 3 Phase 50 Hz จะมีช่วงละ 60 องศาต่อ 1 ระลอกมีทั้งหมด 6 ช่วงเพื่อเรียกกันเป็นแรงดัน dc ที่มีระดับแรงดันสูงสุดเมื่อเทียบกัน

ระหว่างเฟสในช่วงนั้นๆ แรงดัน dc ที่เกิดจากแรงดัน line -to- line 6 ระลอกจะเกิดขึ้นในช่วงเวลา 1 Cycle ของ 50 Hz ดังนั้นในระลอกที่ 1 ซึ่งเป็นแรงดัน Vab เข้ามาทางด้านโวลต์ a และ b เฉพาะสวิตช์  $s_1, s_2, s_3, s_4, s_5, s_6$  เท่านั้นที่จะมีโอกาสทำงาน ดังแสดงด้วยรูป 2 (ก) ในโคจรแอมส่วนล่าง และเมื่อแรงดัน line - to - line ในระลอกที่ 2,3,4,5,6 ดังในรูป (ข),(ค),(ง),(จ),(ฉ) เข้ามาในลำดับถัดๆ ไปจนครบ Cycle ก็จะมีสวิตช์อื่นๆ ที่จะมีโอกาสทำงานได้ครั้งละ 6 ตัวเช่นกัน ดังแสดงในส่วนล่างของโคจรแอมด้วยรูปที่ 2(ข), 2(ค), 2(ง), 2(จ) และ 2(ฉ) ตามลำดับในโคจรแอมส่วนล่าง

**3. หลักการออกแบบสัญญาณควบคุมสวิตช์**

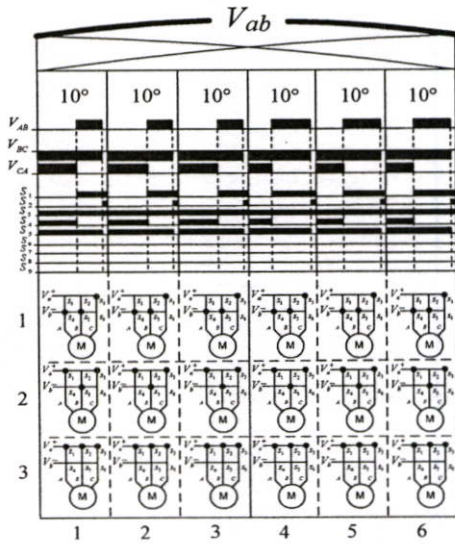
จากรูปแบบแรงดัน PWM เอาต์พุต และแรงดันโวลต์ 50 Hz ในการออกแบบสัญญาณควบคุมเพื่อใช้ป้อนสวิตช์ทั้ง 9 ในวงจร Matrix Converter นั้น ก่อนอื่นจะต้องกำหนดรูปแบบคลื่น PWM ของแรงดันเอาต์พุตในแต่ละเฟส ซึ่งต้องมีลักษณะเดียวกันแต่จะมีมุมต่างเฟสต่างกันชุดละ 120 องศา โดยในงานวิจัยนี้ได้กำหนดรูปแบบขึ้นในลักษณะ ดังแสดงด้วยคลื่นแรงดัน line-to-line  $V_{AB}, V_{BC}, V_{CA}$  ดังในส่วนบนของรูปที่ 3 คลื่นในแต่ละเฟสจะมีจำนวน 18 Pulse เท่ากันในช่วงครึ่งคาบเวลาหรือ 36 Pulse ในหนึ่งคาบเวลาของความถี่ 50 Hz ที่ค่า Duty Ratio ของ Pulse ซึ่งกำหนดให้เท่ากับ 0.8 โดยสามารถคำนวณหาความถี่สวิตช์ซึ่งของวงจรนี้ได้เท่ากับ  $36 \times 50 \times 10^{-3} = 1.8 \text{ kHz}$  โดยจะปรับ Duty Ratio ไว้ที่ค่าสูงสุดเท่ากับ 0.8 และสามารถปรับความถี่ของคลื่นแรงดัน PWM เอาต์พุตนี้ได้อย่างต่อเนื่องโดยมีช่วงการปรับความถี่เท่ากับ 50 Hz



รูปที่ 3 รูปแบบสัญญาณควบคุมสวิตช์ในวงจร Matrix Converter

ลักษณะคลื่น PWM ดังกล่าวสามารถนำมาพิจารณาร่วมกับระลอกคลื่นทั้ง 6 ของแรงดันโวลต์ที่มีในหนึ่ง Cycle ของแรงดันแหล่งจ่าย 50 Hz เพื่อใช้ในการกำหนดลักษณะรูปแบบของสัญญาณควบคุมของสวิตช์ทั้ง 6 ที่ได้เลือกไว้แล้วด้วยแรงดันโวลต์แต่ละระลอกในวงจร Matrix Converter ที่นำเสนอ โดยในการออกแบบสัญญาณควบคุมในแต่ละ Cycle สามารถแบ่งออกได้เป็น 6 ส่วนโดยแต่ละส่วนจะตรงกับช่วงแต่ละระลอกคลื่นทั้ง 6 และแต่ละส่วนจะมีการพิจารณาที่เหมือนกัน ดังนั้นในการพิจารณาจะกล่าวถึงการออกแบบเฉพาะในระลอกคลื่นที่ 1 ซึ่งเป็นของแรงดัน line-to-line  $V_{ab}$  เท่านั้น ในหนึ่งระลอกคลื่นของแรงดันโวลต์  $V_{ab}$  ซึ่งมีช่วงมุม

1/6 ของ Cycle หรือ 60 องศาสามารถนำมาแบ่ง เป็น 6 ส่วนเท่ากัน สำหรับกรณี 36 Pulse ในส่วนที่ 1 ซึ่งมีช่วงระยะมุม 10 องศาเมื่อพิจารณา



รูปที่ 4 การกำหนดสัญญาณควบคุมสวิตซ์ในช่วงแรงดันโวลต์  $V_{ab}$

รูปแบบ PWM ของแรงดันโวลต์  $V_{AB}$ ,  $V_{BC}$ ,  $V_{CA}$  ปรากฏว่าสามารถแบ่งออกเป็นส่วนย่อยๆ ได้ 3 ส่วน โดยมีอัตราส่วนจากส่วนย่อยที่ 1 ถึงส่วนย่อยที่ 3 จะมีค่าเท่ากับ  $[(0.8) \times (0.6) \times 10] : [(0.8) \times (0.4) \times 10] : [0.2 \times 10]$  โดยที่ค่า 0.8 เป็น Duty Ratio ของ PWM Pulse ที่เลือกกำหนดไว้ในกรณีนี้ สำหรับในส่วนย่อยที่ 1 ซึ่งมีช่วง PWM Pulse เท่ากับ  $0.8 \times 0.6 \times 10 = 4.8$  องศา ในขณะที่แรงดัน  $V_{AB}$  มีค่าเป็นศูนย์,  $V_{BC}$  มีค่าเป็นลบ และ  $V_{CA}$  มีค่าเป็นบวกสวิตซ์ทั้ง 6 ที่ได้เลือกไว้จะทำงานเพียง 3 ตัวคือ  $s_3, s_4, s_5$  ดังแสดงในตำแหน่งโคออดิเนต (1,1) เพื่อให้ได้แรงดันโวลต์ 3 phase ตามที่กำหนด ดังนั้นในช่วงนี้สวิตซ์ทั้ง 3 จะต้องมีสัญญาณ Pulse เข้ามาดังแสดงในรูปต่อไป สำหรับในส่วนย่อยที่ 2 ซึ่งมีช่วง PWM Pulse เท่ากับ  $0.8 \times 0.4 \times 10 = 3.2$  องศาในขณะที่แรงดัน  $V_{AB}$  มีค่าเป็นบวก,  $V_{BC}$  มีค่าเป็นลบ และ  $V_{CA}$  มีค่าเป็นศูนย์สวิตซ์ทั้ง 6 ที่ได้เลือกไว้จะทำงานเพียง 3 ตัวคือ  $s_1, s_3, s_5$  ดังแสดงในตำแหน่งโคออดิเนต (2,1) เพื่อให้ได้แรงดันโวลต์ 3 phase ตามที่กำหนด ดังนั้นในช่วงนี้สวิตซ์ทั้ง 3 จะต้องมีสัญญาณ Pulse เข้ามาดังแสดงในรูป ในส่วนสุดท้ายซึ่งเป็นส่วนย่อยที่ 3 นั้นมีช่วง PWM Pulse เท่ากับ  $0.2 \times 10 = 2$  องศา ในขณะที่แรงดัน  $V_{AB}$  มีค่าเป็นศูนย์,  $V_{BC}$  มีค่าเป็นศูนย์และ  $V_{CA}$  มีค่าเป็นศูนย์สวิตซ์ทั้ง 6 ที่ได้เลือกไว้จะทำงานเพียง 3 ตัวคือ  $s_1, s_2, s_3$  ดังแสดงในตำแหน่งโคออดิเนต (3,1) เพื่อให้ได้แรงดันโวลต์ 3 phase ตามที่กำหนด ดังนั้นในช่วงนี้สวิตซ์ทั้ง 3 จะต้องมีสัญญาณ Pulse เข้ามาดังแสดงในรูปในส่วนที่ 2 และ 3 ซึ่งค่ามีช่วงระยะมุม 10 องศา นั้นจะมีรูปแบบของแรงดัน PWM เหมือนในส่วนที่ 1 ทุกประการ ดังนั้นการพิจารณาจะเริ่มด้วยส่วนที่ 4 ซึ่งมีช่วงระยะมุม 10 องศาเช่นกันแต่เนื่องจากขั้นตอนการพิจารณาจะเหมือนการพิจารณาในส่วนที่ 1 ทุกประการแต่ต่างกันเฉพาะในส่วนของข้อมูลที่ได้หลังเสร็จสิ้นการพิจารณา ดังนั้นจึงนำข้อมูลที่ได้ทั้งหมดในส่วนที่ 4 นี้มาเขียนสรุปเป็นตารางเพื่อเปรียบเทียบกับข้อมูลในส่วนที่ 1 ซึ่งได้พิจารณาโดย

ละเอียดไว้แล้วดังแสดงในตารางที่ 1 ในส่วนที่ 5 และ 6 ซึ่งต่างมีช่วงระยะมุม 10 องศา นั้นจะมีรูปแบบของแรงดัน PWM เหมือนในส่วนที่ 4 ทุกประการ

ตารางที่ 1 อัตราส่วน PWM Pulse ของส่วนย่อยที่ 1, 2 และ 3

ข้อมูลกรณี 36 Pulse	ช่วงระยะมุม 10 องศาของ 3 ส่วนย่อยรวมกัน		
อัตราส่วน PWM Pulse	ส่วนย่อยที่ 1	ส่วนย่อยที่ 2	ส่วนย่อยที่ 3
กรณีส่วนที่ 1	(0.6)(0.8)(10)	(0.4)(0.8)(10)	(0.2)(10)
กรณีส่วนที่ 4	(0.4)(0.8)(10)	(0.6)(0.8)(10)	(0.2)(10)

4. การคำนวณค่าอัตราส่วนคงที่ของแรงดัน fundamental  $V_1 / f_1$

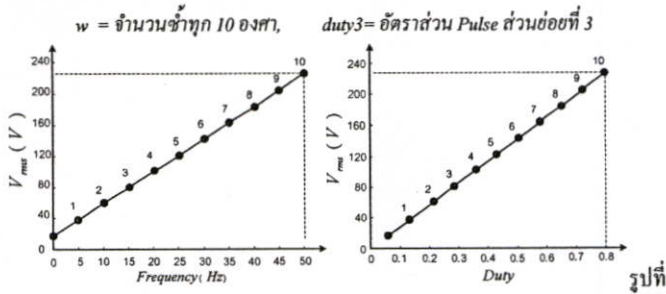
ในการนำแรงดันคลื่น PWM3 เฟสเพื่อใช้ขับโหลดมอเตอร์เหนี่ยวนำ 3 เฟสที่ความเร็วรอบต่างๆ นั้นจำเป็นต้องคำนวณหาค่า rms ของแรงดัน  $V_1$  เพื่อให้อัตราส่วนระหว่างแรงดัน  $V_1$  และความถี่  $f_1$  มีค่าคงที่ทั้งนี้เพื่อให้มอเตอร์สามารถจ่ายโหลดทอร์คสูงสุด ได้อย่างสม่ำเสมอตลอดช่วงการปรับรอบด้วยความถี่การคำนวณแรงดัน  $V_1$  ในกรณีนี้จะเริ่มด้วยการนำคลื่นแรงดัน PWM3 เฟสที่ได้ออกแบบไว้มาทำการวิเคราะห์หาองค์ประกอบของคลื่นทั้งหมดด้วยหลักการของอนุกรมฟูเรียร์เพื่อหาค่าเฉพาะองค์ประกอบของคลื่นแรงดัน fundamental โดยค่า rms แรงดัน  $V_1$  ที่ได้ จะมีความสัมพันธ์กับค่า Duty Ratio ของ PWM Pulse และค่า rms ของแรงดันโวลต์ของแหล่งจ่าย 50 Hz ซึ่งผลจากการคำนวณคลื่น PWM 3 เฟสที่ได้ออกแบบไว้โดยหลักการอนุกรมฟูเรียร์

$$V_1 = \left[ \frac{V_L}{n\pi} \sum_{x=0}^{x=nn} \sin \left[ \frac{(x-0.2)n\pi}{6w} \right] - \sin \left[ \frac{(x-0.2-0.8duty)1\pi}{6w} \right] + \sin \left[ \frac{(x-0.2+1w)n\pi}{6w} \right] - \sin \left[ \frac{(x-0.2-0.8duty2+1w)n\pi}{6w} \right] + \sin \left[ \frac{(x-0.2+2w)n\pi}{6w} \right] - \sin \left[ \frac{(x-0.2-0.8duty3+2w)n\pi}{6w} \right] + \sin \left[ \frac{(x-0.2+3w)n\pi}{6w} \right] - \sin \left[ \frac{(x-0.2-0.8duty3+3w)n\pi}{6w} \right] + \sin \left[ \frac{(x-1+0.8duty2+4w)n\pi}{6w} \right] - \sin \left[ \frac{(x-1+4w)n\pi}{6w} \right] + \sin \left[ \frac{(x-1+0.8duty+5w)n\pi}{6w} \right] - \sin \left[ \frac{(x-1+5w)n\pi}{6w} \right] - \sin \left[ \frac{(x-0.2+6w)n\pi}{6w} \right] + \sin \left[ \frac{(x-0.2-0.8duty1+6w)n\pi}{6w} \right] - \sin \left[ \frac{(x-0.2+7w)n\pi}{6w} \right] + \sin \left[ \frac{(x-0.2-0.8duty2+7w)n\pi}{6w} \right] - \sin \left[ \frac{(x-0.2+8w)n\pi}{6w} \right] + \sin \left[ \frac{(x-0.2-0.8duty3+8w)n\pi}{6w} \right] - \sin \left[ \frac{(x-0.2+9w)n\pi}{6w} \right] + \sin \left[ \frac{(x-0.2-0.8duty3+9w)n\pi}{6w} \right] - \sin \left[ \frac{(x-1+0.8duty2+10w)n\pi}{6w} \right] + \sin \left[ \frac{(x-1+10w)n\pi}{6w} \right] - \sin \left[ \frac{(x-1+0.8duty1+11w)n\pi}{6w} \right] + \sin \left[ \frac{(x-1+11w)n\pi}{6w} \right] \right] \times \cos(n\omega t) + \left[ \frac{V_L}{n\pi} \sum_{x=0}^{x=nn} \cos \left[ \frac{(x-0.2)n\pi}{6w} \right] - \cos \left[ \frac{(x-0.2-0.8duty1)n\pi}{6w} \right] + \cos \left[ \frac{(x-0.2+1w)n\pi}{6w} \right] - \cos \left[ \frac{(x-0.2-0.8duty2+1w)n\pi}{6w} \right] + \cos \left[ \frac{(x-0.2+2w)n\pi}{6w} \right] - \cos \left[ \frac{(x-0.2-0.8duty3+2w)n\pi}{6w} \right] + \cos \left[ \frac{(x-0.2+3w)n\pi}{6w} \right] - \cos \left[ \frac{(x-0.2-0.8duty3+3w)n\pi}{6w} \right] + \cos \left[ \frac{(x-1+0.8duty2+4w)n\pi}{6w} \right] - \cos \left[ \frac{(x-1+4w)n\pi}{6w} \right] + \cos \left[ \frac{(x-1+0.8duty+5w)n\pi}{6w} \right] - \cos \left[ \frac{(x-1+5w)n\pi}{6w} \right] - \cos \left[ \frac{(x-0.2+6w)n\pi}{6w} \right] + \cos \left[ \frac{(x-0.2-0.8duty1+6w)n\pi}{6w} \right] - \cos \left[ \frac{(x-0.2+7w)n\pi}{6w} \right] + \cos \left[ \frac{(x-0.2-0.8duty2+7w)n\pi}{6w} \right] - \cos \left[ \frac{(x-0.2+8w)n\pi}{6w} \right] + \cos \left[ \frac{(x-0.2-0.8duty3+8w)n\pi}{6w} \right] - \cos \left[ \frac{(x-0.2+9w)n\pi}{6w} \right] + \cos \left[ \frac{(x-0.2-0.8duty3+9w)n\pi}{6w} \right] - \cos \left[ \frac{(x-1+0.8duty2+10w)n\pi}{6w} \right] + \cos \left[ \frac{(x-1+10w)n\pi}{6w} \right] - \cos \left[ \frac{(x-1+0.8duty1+11w)n\pi}{6w} \right] + \cos \left[ \frac{(x-1+11w)n\pi}{6w} \right] \right] \times \sin(n\omega t) \quad (1)$$

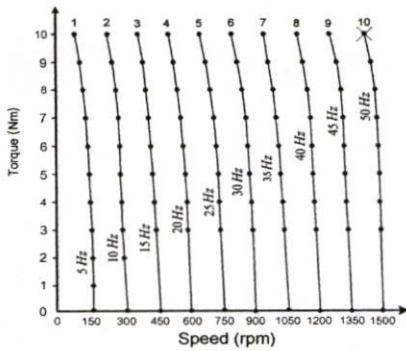
โดยที่

$V_L$  = ค่าเฉลี่ยระลอกคลื่น,  $duty1$  = อัตราส่วน Pulse ส่วนย่อยที่ 1

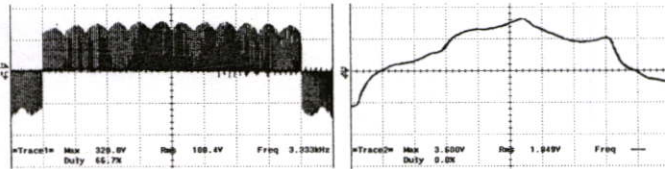
$V_1$  = แรงดัน fundamental PWM,  $duty2$  = อัตราส่วน Pulse ส่วนย่อยที่ 2



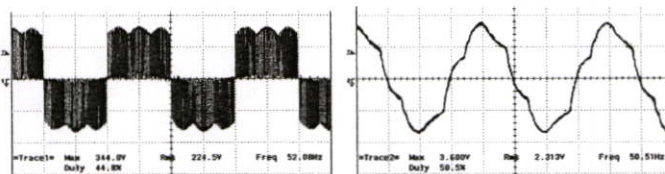
รูปที่ 5 ความสัมพันธ์  $V_1$  vs  $f_1$  รูปที่ 6 ความสัมพันธ์  $V_1$  vs Duty Ratio



รูปที่ 7 เส้นกราฟแสดงความสัมพันธ์ระหว่างแรงบิดและความเร็วรอบที่ค่าความถี่ต่างๆภายใต้เงื่อนไขอัตราส่วน  $V_1/f_1$  เท่ากับค่าคงที่



รูปที่ 8 แรงดันเอาต์พุต line-to-line และกระแสฟาสของมอเตอร์ที่ 12.5 Hz



รูปที่ 9 แรงดันเอาต์พุต line-to-line และกระแสฟาสของมอเตอร์ที่ 50 Hz

สำหรับกรณีเครื่องต้นแบบที่ใช้คลื่น PWM จำนวน 72 Pulse ในหนึ่ง cycle โดยใช้หลักการของคลื่น PWM จำนวน 36 Pulse ที่ได้นำเสนอในรูปที่ 3 แต่ได้เพิ่มจำนวนเป็น 2 เท่า ทำให้สามารถคำนวณหาค่าแรงดัน  $V_1$  ความถี่ของ  $V_1$  ที่ใช้ขับมอเตอร์ในขณะนั้นค่าแรงดัน  $V_1$  ที่ใช้ในกรณีนี้สามารถนำมาแสดงได้ดังสมการ(1) และค่าอัตราส่วนคงที่ระหว่างแรงดัน  $V_1$  และความถี่  $f_1$  สามารถเขียนแสดงเป็นเส้นกราฟได้ดังรูปที่ 5 ส่วนในรูปที่ 6 จะเป็นเส้นกราฟที่แสดงความสัมพันธ์ระหว่างแรงดัน  $V_1$  กับ Duty Ratio ของ Pulse โดยเส้นกราฟที่ได้มีค่าความยาวได้เงื่อนไขของ แรงดันไลน์  $V_{ab}, V_{ac}, V_{bc}$  เท่ากับ 300 Vrms จากแรงดัน PWM3 เฟสซึ่งได้ออกแบบตามหลักการที่ได้นำเสนอไปแล้วนั้นสามารถนำมาสร้างเป็นเครื่องต้นแบบ

ซึ่งเมื่อนำมาขับโหลดมอเตอร์เหนี่ยวนำ 3 เฟสก็จะให้เห็นกราฟความสัมพันธ์ระหว่างทอร์ก-ความเร็วรอบที่ความถี่ต่างๆ พร้อมคลื่นแรงดันกระแสดังแสดงในรูปที่ 7 รูปที่ 8 และ 9 ตามลำดับ

5. สรุป

จากหลักการที่ได้นำเสนอทั้งหมดเกี่ยวกับ Matrix Converter 3-เฟสนั้นสามารถสรุปประเด็นสำคัญ ได้ดังนี้

1. ได้นำเสนอหลักการสร้างแรงดันคลื่น PWM ที่มีจำนวน 36 Pulse ต่อหนึ่งคาบเวลาเพื่อใช้กำหนดรูปแบบของสัญญาณควบคุมวงจร Matrix Converter โดยใช้ DSP และ FPGA เป็นตัวกำหนดและสร้างสัญญาณ PWM พร้อมกับผลการทดลองโดยเพิ่มจำนวน PWM Pulse เป็น 72 Pulse
2. รูปแบบของแรงดัน PWM 3-Phase ที่สร้างขึ้นนั้นสามารถกำหนดจากแรงดันไลน์ของแหล่งจ่าย 50 Hz และค่า Duty Ratio ของคลื่น PWM Pulse ซึ่งการคำนวณภายใต้ความสัมพันธ์ดังกล่าวจะต้องอาศัยการแตกอนุกรมฟูเรียร์เพื่อคำนวณหาองค์ประกอบของคลื่น fundamental
3. จากหลักการที่ได้นำเสนอทั้งหมดจึงได้นำมาสร้าง matrix Converter 3-เฟส เพื่อขับมอเตอร์ขนาดพิกัด 2 hp, 230 v, 5.9 A 1420 rpm, โดยสามารถปรับรอบมอเตอร์ได้อย่างต่อเนื่องทุกค่าความถี่

เอกสารอ้างอิง

[1] S.; Ammann, U.; Rees, S.; " Power Electronics Specialist Conference, 2003 PESC'03.2003 IEEE 34<sup>th</sup> Annual" Volume 3, 15-19 June 2003 Page(s):1275-1280vol.3  
 [2] B.W.; Hess, H.L.; Johnson, B.K.; Katsis, DC.; " Power Symposium, 2005. Proceedings of the 37<sup>th</sup> Annual North American 23-25 Oct. 2005 Page(s):151 -158

ประวัติผู้เขียนบทความ



**ต้น จำปีทอง** การศึกษาวชิวัตวิศวกรรมศาสตรบัณฑิต สาขาวิชาวิศวกรรมไฟฟ้า จากสถาบันเทคโนโลยีพระจอมเกล้า เจ้าคุณทหารลาดกระบัง กำลังศึกษาในระดับปริญญาโทสาขาวิศวกรรมไฟฟ้า สถาบันเทคโนโลยีพระจอมเกล้า เจ้าคุณทหารลาดกระบัง



**วิริยะ พิเชฐจำริญ** การศึกษาวชิวัตวิศวกรรมศาสตรบัณฑิต (เกียรตินิยมอันดับสอง) จากสถาบันเทคโนโลยีพระจอมเกล้าเจ้าคุณทหาร ลาดกระบัง ปริญญาโทจากมหาวิทยาลัยโตเกียว และปริญญาเอก

จากมหาวิทยาลัยเมจิ ประเทศญี่ปุ่น ปัจจุบันดำรงตำแหน่งรองศาสตราจารย์ประจำภาควิชาวิศวกรรมไฟฟ้า คณะวิศวกรรมศาสตร์ สถาบันเทคโนโลยีพระจอมเกล้าเจ้าคุณทหารลาดกระบัง ทำงานวิจัยด้านอิเล็กทรอนิกส์กำลัง และการประยุกต์ใช้งานอิเล็กทรอนิกส์กำลัง



ชื่อ - นามสกุล  
วัน เดือน ปีเกิด  
ประวัติการศึกษา

นาย ต้น จำปีทอง  
08 พฤศจิกายน พ.ศ. 2521 ที่จังหวัดนครปฐม  
พ.ศ. 2542 สำเร็จการศึกษาระดับประกาศนียบัตรวิชาชีพ  
ชั้นสูง สาขาวิชาช่างไฟฟ้ากำลัง แผนกไฟฟ้า  
วิทยาลัยเทคนิคนครปฐม

พ.ศ. 2546 สำเร็จการศึกษาระดับปริญญาตรี  
วิศวกรรมศาสตรบัณฑิต สาขาวิชาวิศวกรรมไฟฟ้า  
ภาควิชาวิศวกรรมไฟฟ้า คณะวิศวกรรมศาสตร์  
สถาบันเทคโนโลยีพระจอมเกล้าเจ้าคุณทหารลาดกระบัง  
ความชำนาญเฉพาะด้าน

- 1) ไฟฟ้ากำลัง,มอเตอร์,อินเวอร์เตอร์,เมตริกซ์คอนเวอร์เตอร์
- 2) เอชซี-เอชซี เมตริกซ์คอนเวอร์เตอร์สามเฟสความถี่สวิตซิ่ง  
1.8 kHz เพื่อใช้ขับมอเตอร์เหนี่ยวนำ

ผลงานวิจัย

พ.ศ. 2550

บทความเรื่อง "A 1.8-kHz-Switching Frequency 3-Phase  
AC-AC Matrix Converter for Induction Motor Drive"  
เอชซี-เอชซี เมตริกซ์คอนเวอร์เตอร์สามเฟสความถี่สวิตซิ่ง  
1.8 kHz เพื่อใช้ขับมอเตอร์เหนี่ยวนำ การประชุมวิชาการ  
ทางวิศวกรรมไฟฟ้า(EECON)ครั้งที่30, 2550,หน้า500-503

ปัจจุบัน

เป็นนักศึกษาระดับปริญญาโท บัณฑิตวิทยาลัย  
คณะวิศวกรรมศาสตร์  
สถาบันเทคโนโลยีพระจอมเกล้าเจ้าคุณทหารลาดกระบัง